

Prof. univ. dr. Mircea Buruian

GHID PRACTIC DE RADIOLOGIE MEDICALĂ

Volumul 1

Colaboratori:

Şef lucr. dr. Daniela Podeanu
Asist. univ. dr. Andrada Treaba
Asist. univ. dr. Iunius Simu
Prep. univ. dr. Beata Baroti

2006

CUPRINS

1. Radiațiile X. Formarea imaginii radiologice	2
1.1. Radiațiile X.....	2
1.1.2. Mecanismul de producere al razelor X.....	2
1.1.3. Structura atomului	4
1.1.4. Proprietățile razelor X	6
1.1.5. Aparatura de röntgen-diagnostic.....	6
1.1.6. Noțiuni generale de dozimetrie.....	10
1.1.7. Protecția în radiologie.....	11
1.2. Formarea imaginii radiologice	13
1.2.1. Formarea imaginii radioscopice	13
1.2.2. Formarea imaginii radiografice	14
1.2.3. Artefactele produse prin procesare automată și manuală.	18
1.3. Mediile de contrast radiologice	19
1.3.1. Definiție și structura de bază	19
1.3.2. Reacțiile de intoleranță	20
2. Radiodiagnosticul aparatului respirator	28
2. 1. Metode de investigație ale aparatului respirator.....	28
2. 1. 1. Examenul radioscopic televizat.....	28
2. 1. 2. Examenul radiografic simplu.....	28
2. 1. 3. Examenul angiografic	28
2. 1. 4. Examenul bronhoscopic și bronhografic	28
2. 1. 5. Examenul scintigrafic pulmonar	28
2. 1. 6. Examenul digrafic.....	28
2.1.7. Examenul prin tomografie computerizată.....	29
2.2. Anatomia radiologică a arborelui traheo-bronșic și a plămânilor în diverse incidențe.....	30
2.2.1. Radiografia toracică standard în incidența de față (postero-anterioară)	30
2.2.2. Radiografia pulmonară în incidență de profil (latero-laterală)	31
2.2.3. Radiografia toracică în incidențele oblice OAD și OAS (cu incidențele complementare OPD și OPS).....	31
2.3. Vascularizația pulmonară	31
2.3.1. Trunchiul arterei pulmonare	32
2.3.2. Rețeaua venoasă pulmonară	33
2.4. Segmentația pulmonară	33
2.4.1. Segmentația pulmonară pe dreapta.....	33
2.4.2. Segmentația pulmonară pe stânga	34
2.4.3. Lobii supranumerari	36
2.5. Imaginea toracică normală	36
2.5.1. Planul de examinare.....	36
2.5.2. Sursele de eroare ale imaginii toracice normale.....	36
2.6. Leziunile elementare pleuro-pulmonare.....	37
2.6.1. Opacitatea	37
2.6.2. Transparentele pulmonare.....	39
2.6.3. Imaginile mixte sau imaginile hidro - aerice	40
2.7. Sindroamele radiologice toraco-pleuro-pulmonare.....	41
2.7.1. Sindromul de umplere alveolară.....	41
2.7.2. Sindromul bronșic.....	41
2.7.3. Sindromul interstițial.	44

2.7.4. Sindromul vascular	44
2.7.5. Sindromul pleural	45
3. Radiodiagnosticul aparatului respirator (II).....	47
3.1. Malformațiile congenitale bronhopulmonare.....	47
3.1.1. Malformațiile congenitale bronho-pulmonare:.....	47
3.1.2. Anomaliile traheii și bronșiilor	49
3.1.3. Anomaliile scizurale	49
3.1.4. Malformațiile vasculare pulmonare.....	50
3.2. Radiodiagnosticul bronșitelor.....	52
3.2.1. Bronșita (bronșiolita capilară)	52
3.2.2. Bronșita cronică.....	52
3.2.3. Bronhostenoza	52
3.3. Radiodiagnosticul pneumopatiilor	53
3.3.1. Radiodiagnosticul pneumopatiilor acute	53
3.3.2. Radiodiagnosticul pneumoniei atipice (virotice).....	55
3.3.3. Radiodiagnosticul pneumoniei cronice	56
3.4. Radiodiagnosticul bronhopneumoniilor	56
3.5. Radiodiagnosticul supurațiilor pulmonare	60
3.5.1. Abcesul pulmonar	60
3.5.2. Gangrena pulmonară.....	62
3.5.3. Bronșiectaziile	62
3.6. Radiodiagnosticul afecțiunilor inhalatorii pleuro-pulmonare	64
3.6.1. Pneumoatmozele.....	64
3.6.2. Pneumonefelozele.....	64
3.6.3. Pneumoconiozele.....	64
4. Radiodiagnosticul aparatului respirator (III)	67
4.1. Radiodiagnosticul tuberculozei pulmonare	67
4.1.1. Tuberculoza pulmonară primară.....	67
4.2. Radiodiagnosticul afecțiunilor pleurale.....	78
4.2.1. Pleurezia uscată (pleurita)	78
4.2.2. Pleurezia lichidiană.....	79
4.2.3. Simfizele pleurale	82
4.2.4. Calcificările pleurale.....	83
4.2.5. Pneumotoracele	83
4.2.6. Tumorile pleurale.....	85
4.3. Radiodiagnosticul tumorilor pulmonare.....	85
4.3.1. Tumorile pulmonare benigne.....	86
4.3.2. Tumorile maligne pulmonare.....	89
4.3.3. Tumorile maligne pulmonare secundare (metastazele)	102
5. Radiodiagnosticul aparatului cardio-vascular	109
5.1. Metodele de investigație ale aparatului cardio-vascular	109
5.1.1. Examenul radiosopic televizat	109
5.1.2. Examenul teleradiografic toraco-mediastino-pleuro-pulmonar.....	109
5.1.3. Examenul radiokimografic	109
5.1.4. Tomografia plană lineară	109
5.1.5. Radiofotografia medicală (RFM).....	109
5.1.6. Angiocardiografia	110
5.1.7. Cateterismul cardiac	110
5.1.8. Ecocardiografia.....	110
5.1.9. Scintigrafia cardio-vasculară	110

5.1.10. Computer tomografia helicoidală	110
5.1.11. Explorarea prin rezonanță magnetică	110
5.1.12. Manevre și tehnici speciale de examinare asociate	111
5.2. Anatomia radiologică a cordului și a marilor vase	111
5.2.1. Imaginea cordului și vaselor mari în incidența de față	111
5.2.2. Imaginea cordului și vaselor mari în incidența de profil stâng	113
5.2.3. Imaginea cordului și vaselor mari în incidență OAD (oblică anterioară dreaptă)	113
5.2.4. Imaginea cordului și vaselor mari în incidență OAS (oblică anterioară stângă)	114
5.2.5. Imaginea cordului și vaselor mari după administrarea de substanțe de contrast.	115
5.3. Aspectul radiologic pe grupe de vârstă	115
5.4. Radiodiagnosticul malformațiilor congenitale cardiovasculare	116
5.4.1. Clasificarea cardiopatiilor congenitale cardiovasculare	116
5.4.2. Principalele tipuri de malformații congenitale cardiovasculare	117
6. Radiodiagnosticul aparatului cardiovascular (II).....	135
6.1. Leziuni valvulare dobândite	135
6.1.1. Semiologia radiologică elementară în leziunile valvulare dobândite	135
6.1.2. Modificările patologice ale circulației pulmonare	138
6.2. Insuficiența cardiacă	156
6.2.1. Insuficiența cardiacă hemodinamică	156
6.2.2. Insuficiența cardiacă dismetabolică	158
6.3. Bolile pericardului	158
6.3.1. Anatomie radiologică	158
6.3.2. Absența parțială a pericardului	159
6.3.3. Pericardita exudativă	159
6.3.4. Diverticolul pericardic	161
6.3.5. Pericardita închistată	161
6.3.6. Calcificările pericardice	162
6.3.7. Simfiza foițelor pericardice	162
6.3.8. Simfizarea foiței pericardice parietale cu alte structuri mediastinale	162
6.3.9. Pneumopericardul	163
6.4. Bolile aortei	163
6.4.1. Alungirea și derularea	163
6.4.2. Aneurismele aortice	164
6.4.3. Aneurismul de trunchi brahio-cefalic	166
6.4.4. Aneurismul arterei subclaviculare	167
6.4.5. Aneurismul sinusului Valsalva	167
6.4.6. Reducerea diametrelor aortei	167
6.4.7. Creșterea opacității aortei	167
6.5. Cordul și procesele patologice pleuro-pulmonare	167
6.5.1. Cordul și hipertensiunea arterială	167
6.5.2. Cordul în afecțiunile miocardice	167
7.1. Radiodiagnosticul afecțiunilor mediastinale	170
7.1.1. Topografia mediastinală	170
7.1.2. Metodele de investigație ale afecțiunilor mediastinale	171
7.1.3. Principalele afecțiuni mediastinale	175
7.1.4. Clasificarea topografică în patologia mediastinală pe etaje	178
7.1.5. Patologia mediastinală pe etaje	179

7.2. Radiodiagnosticul diafragmului	189
7.2.1. Anatomie radiologică.....	189
7.2.2. Relaxarea diafragmatică	190
7.2.3. Hernia diafragmatică	191
7.2.4. Interpoziția freno-hepatică de colon transvers (sindrom Chilaiditi).....	192
7.2.5. Abcesul subfrenic	193
7.2.6. Megadiafragmul.....	194
8. Radiodiagnosticul tubului digestiv	196
8.1. Pregătirea generală a bolnavului pentru examenul radiologic al tubului digestiv	196
8.2. Tehnica examinării radiologice a tubului digestiv.....	196
8.3. Radiodiagnosticul faringelui și esofagului	197
8.3.1. Anatomia radiologică a faringelui	197
8.3.2. Anatomia radiologică a esofagului	198
8.3.3. Examenul radiologic al faringelui și esofagului	198
8.3.4. Malformațiile congenitale ale esofagului	200
8.3.5. Dilatațiile esofagului.....	201
8.3.6. Dilatațiile localizate	203
8.3.7. Diverticuli funcționali Barsony-Polgar	205
8.3.8. Alte tulburări funcționale.....	206
8.3.9. Afecțiuni inflamatorii ale esofagului	206
8.3.10. Ulcerul esofagian	208
8.3.11. Tumorile esofagului	209
8.3.12. Varicele esofagiene	213
8.3.13. Corpii străini esofagieni.....	214
8.3.14. Sclerodermia	215
8.3.15. Radiodiagnosticul esofagului operat	215
9. Radiodiagnosticul tubului digestiv (II): stomacul și duodenul.....	219
9.1. Radiodiagnosticul stomacului	219
9.1.1. Anatomie și fiziologie	219
9.1.2. Explorarea radiologică a stomacului	220
9.1.3. Malformații congenitale ale stomacului	224
9.1.4. Gastritele.....	225
9.1.5. Ulcerul gastric.....	226
9.1.6. Tumori benigne.....	229
9.1.7. Tumori maligne.....	230
9.1.8. Stomacul operat	235
9.2. Radiodiagnosticul duodenului	240
9.2.1. Considerații preliminare	240
9.2.2. Noțiuni de anatomie radiologică.....	241
9.2.3. Metodele radiologice de investigație ale duodenului	242
9.2.3. Ulcerul duodenal bulbar	245

**LUCRAREA PRACTICĂ
NR.1**

**RADIAȚIILE X. FORMAREA
IMAGINII RADIOLOGICE**

1.1. Radiațiile X

1.1.1. Noțiuni elementare.

1.1.2. Mecanismul de producere al razelor X.

1.1.3. Structura atomului.

1.1.4. Proprietățile razelor X.

1.1.5. Aparatura de roentgen – diagnostic.

1.1.6. Noțiuni generale de dozimetrie.

1.1.7. Protecția în radiologie.

1.2. Formarea imaginii radiologice.

1.2.1 Formarea imaginii radioscopice.

1.2.2. Formarea imaginii radiografice.

**1.2.3. Artefacte produse prin procesare
automată și manuală.**

1.3. Mediile de contrast radiologice.

1.3.1. Definiție și structură de bază.

1.3.2. Reacțiile de intoleranță.

1. RADIAȚIILE X. FORMAREA IMAGINII RADIOLOGICE

1.1. RADIAȚIILE X

1.1.1. Noțiuni generale

Din punct de vedere al interesului urmărit în radiologia convențională, radiațiile se împart în:

- **Radiații corpusculare** au suport masic imediat și energie cinetică, iar cele ondulatorii sunt fără suport masic imediat însă cu energie electromagnetică.
Radiațiile corpusculare au energia transportată din atom în spațiu, sub formă de energie cinetică, pe suportul unor particule care părăsesc atomul și se pot sesiza cu precizie prin mijloacele actuale.
- **Radiații ondulatorii** - electromagnetice (exteriorizate prin dublu câmp electric și electro - magnetic, numite și radiații electro - magnetice) - au o energie care se constată în jurul atomului din care emană, ca o însușire a acelui atom pus într-o anumită stare fizică specială, fără ca din atom să plece vreo particulă sesizabilă cu mijloacele actuale de investigație.
S-a demonstrat însă că și energia electromagnetică este “corpusculară”, în sensul că este fragmentabilă numai în unități cuantice, deci poate fi considerată ca formată din unități energetice numite „*fotoni*”.

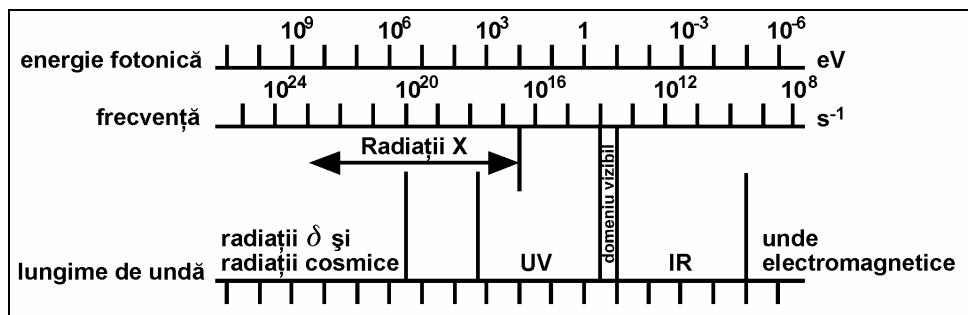


Fig. 1.1 Spectrul radiațiilor electromagnetice

Natura radiațiilor Röntgen

Energia radiantă cât și radiațiile corpusculare, provin din modificările energetice, care se produc în intimitatea atomilor.

Aceste modificări se pot produce în mod spontan, sau pot fi provocate în mod artificial. Producerea radiațiilor, în general, este un fenomen atomic, care constă în modificările energetice produse în structura atomului.

Radiațiile X sunt radiații de tip electromagnetic, fiind produse cu ajutorul unor generatori de radiații.

1.1.2. Mecanismul de producere al razelor X

Dacă un electron în mișcare accelerată, deci încărcat cu o mare energie cinetică izbește un atom, atunci el este frânat brusc din mișcarea lui ; prin această frânare, energia lui cinetică se transformă astfel:

- parte din această energie este luată de către un electron al atomului izbit (acel electron trece pe o orbită mai periferică, sau este proiectat în afara atomului), producându-se astfel razele corpusculare. Atomul din care un electron a fost îndepărtat devine ionizat. Atomul în care un electron a fost deplasat pe o altă orbită mai periferică, se constituie în atom “excitat”;

- cea mai mare parte din energia cinetică se transformă în căldură ;
- altă parte din energia cinetică rămâne eventual a acelui electron care a venit din afară, folosindu-i acestuia pentru a rămâne în sistemul atomic ;
- în sfârșit, o foarte mică parte din energia cinetică se transformă în energie electromagnetică, care se manifestă în jurul acelui atom, constituind razele Röntgen.

Se produc deci raze Röntgen ori de câte ori electronii în mișcare foarte rapidă, se lovesc de corpuri materiale, unde produc dislocări de electroni de pe orbitele energetice ale atomilor acestor corpuri. Pentru a se menține echilibrul atomului, electronii de pe orbitele mai periferice, ale corpului izbit, vor lua locul electronilor dislocați de pe orbitele mai centrale. Din acest salt de pe un nivel energetic pe altul, în sensul menționat mai sus, rezultă un plus de energie, care constituie razele Röntgen.

Aceste raze au fost descrise prima oară de Wilhelm Conrad Röntgen în anul 1895, și denumite raze X, după necunoscuta X din matematică.

Așadar pentru producerea de raze Röntgen este nevoie mai întâi de producerea unui fascicol de electroni liberi, care apoi să fie proiectați cu mare viteză spre o țintă, nivel la care interacțiunea energiei radiante cu obstacolul material îmbracă aspecte variate. Modificările suferite de energia radiantă la diverse nivele în corpul omenesc alcătuiesc în ansamblul lor elemente utile, pe care fascicolul de raze X le poate transmite examinatorului sub formă de imagini radiologice, produse datorită modificărilor care au loc în fascicolul de raze X la nivelul țesuturilor și organelor de examinat.

Toate fenomenele care se produc sunt considerate manifestări de interrelații proprii razelor X și materiei, care se produc între fotoni și particulele materiale la nivel subcelular, îndeosebi cu electronii periferici din atomii regiunii examinate.

În această ordine de idei, cele mai importante manifestări ale acestor interrelații sunt **efectul Compton, efectul Thomson, efectul fotoelectric și efectul de materializare**, care duc la **formarea de perechi de electroni**.

1.1.2.1. Generatorii de radiații

Generarea razelor X are loc cu ajutorul unor tuburi generatoare de raze X (**tuburi COODLIGE**) și cu ajutorul acceleratoarelor de electroni.

1.1.2.1.1. Tubul Coolidge

Este construit dintr-un tub de sticlă în care se află un vid foarte avansat:

De la nivelul catodului, după ce filamentul (confectionat din wolfram) a fost adus la incandescență (efect termo-ionic), electronii aflați sub forma unui nor electronic sunt accelerați cu ajutorul unei mari diferențe de potențial și proiectați pe anodul tubului, unde prin interacțiunea cu acesta (având în componență metale greu fuzibile ca reniu, molibden, wolfram) iau naștere razele X.

La tuburile moderne, anodul se rotește în timpul bombardării cu electroni, astfel că în unitatea de timp electronii cad pe o suprafață mai mare, ceea ce face ca durata de funcționare să fie mai mare.

1.1.2.1.2. Acceleratorul de electroni

Reprezintă cea de a doua modalitate de producere a razelor X sub forma acceleratorului linear și betatronului.

Acceleratorul linear accelerează electronii emiși de catod pe etape, după un traiect linear; electronii trec printr-o serie de cilindri de lungimi crescânde, energia electronilor la ieșirea din accelerator fiind proporțională cu lungimea dispozitivului, atingând valori între 5-40 MeV.

Betatronul este format dintr-un electromagnet alimentat de un curent alternativ, electronii fiind accelerați printr-un câmp magnetic. Când câmpul electro-magnetic alternativ crește, electronii eliberați de un filament încălzit, accelerați cu ajutorul unei diferențe de potențial de 50. 000-60. 000 V sunt injectați în inelul de fier, unde întâlnesc o țintă de tungsten care va emite radiații X de foarte mare energie.

1.1.3. Structura atomului

1.1.3.1. Efectul Compton

Are loc ori de câte ori un foton incident cu energie mare intră în coliziune cu un electron slab fixat pe unul din învelișurile periferice ale atomului, căruia îi transmite o parte din energia lui inițială sub formă de energie cinetică; datorită acestei interacțiuni electronul părăsește atomul și capătă o direcție diferită de cea a fotonului incident; acest electron este transformat în *electron Compton* sau *electron de recul*.

Caracteristica efectului Compton o constituie difuziunea fotonului incident și nu transferul sau absorbția de energie în mediul unde a avut loc interacțiunea.

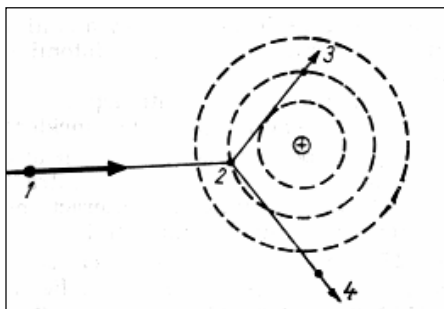


Fig. 1.2. Ilustrarea efectului Compton:

- 1 - foton incident,
- 2 - electron periferic,
- 3 - foton difuzat,
- 4 - electron de recul.

1.1.3.2. Efectul Thomson

Reprezintă un alt aspect al interacțiunii foton-electron constând din abaterea fotonului incident de la direcția lui inițială, fără ca să se cedeze energie atomului, situație în care energia nu este transferată, ea este conservată.

1.1.3.3. Efectul fotoelectric

Are loc în toate cazurile în care un foton incident expulzează un electron din învelișurile atomului căruia îi cedează întreaga lui energie.

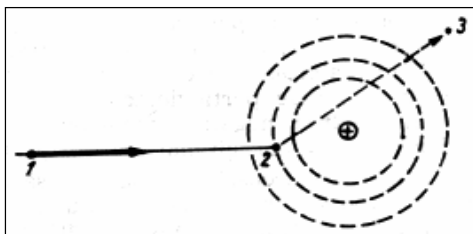


Fig. 1.3. Ilustrarea efectului fotoelectric:

- 1 - foton incident,
- 2 - electron situat pe orbita,
- 3 - fotoelectron.

1.1.3.4. Producerea de perechi

Reprezintă o altă formă de interacțiune a fotonilor cu materia și constă în transformarea energiei fotonilor incidenti în materie, fiind un efect de materializare a electronilor sub formă de "perechi de particule", pereche compusă dintr-un electron pozitiv (pozitron) și un electron negativ (negatron).

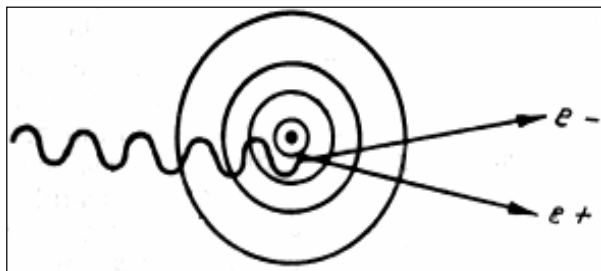


Fig. 1.4. Ilustrarea producerii de perechi:

e^+ - electron pozitiv (pozitron)

e^- - electron negativ (negatron)

Interacțiunea dintre fotonii razelor X și materie poate avea loc separat sau concomitent la nivel molecular, atomic, electronic sau nuclear. În interacțiunea cu un mediu material o parte din fotonii incidenți ai fascicolului de raze X rămân în regiunea examinată; acești fotoni sunt pierduți pentru fascicolul incident prin efect Compton, efect Thomson și efect fotoelectric; o altă parte din fascicolul incident, cei care nu au dispărut în urma coliziunii, traversează mediul material fără să fi suferit vreuna din modificările caracteristice acestor efecte.

Fracțiunea din numărul fotonilor incidenți care a dispărut în urma efectelor Compton, fotoelectric și de materializare a electronilor reprezintă așa zisul **coeficient de atenuare sau de absorbție** și el însumează coeficienții fiecăreia dintre efectele discutate; atenuarea este fenomenul fizic prin care un corp material diminuează sau anulează intensitatea unei radiații ajunse la nivelul său.

Cunoașterea coeficientului de atenuare este deosebit de importantă în practica radiodiagnosticului deoarece el arată măsura în care regiunea examinată modifică și atenuează energia fascicolului de raze X.

Fracțiunea de energie incidentă transferată electronilor secundari, adică fotoelectronilor, electronilor Compton și electronilor proveniți prin efectul de materializare din regiunea unde a acționat fascicolul de raze X sub formă de energie cinetică reprezintă **coeficientul de absorbție**.

Bragg și Pierce (1914) au arătat că absorbția razelor X este proporțională cu numărul atomic la puterea a patra din corpul traversat; drept consecință structurile cu număr atomic mare vor atenua mai mult fascicolul de raze X, iar din punct de vedere radiologic vor fi mai opace pentru energia radiantă. Fiind absorbite în raport cu puterea a patra a numărului atomic de masă razele X vor determina la nivelul ecranului sau pe filmul radiografic imagini variate, după cum structurile străbătute au în compoziția lor elemente cu număr atomic diferit, ceea ce se poate constata în cazul absorbției radiațiilor de către un segment scheletic, care va absorbi o cantitate mult mai mare de energie radiantă decât părțile moi din jurul său, deoarece calciul prezent în oase are un număr atomic care este mult mai mare decât suma numerelor atomice din elementele părților moi.

Absorbția razelor X este influențată de grosimea structurilor anatomice studiate în sensul că ea va fi cu atât mai mare cu cât este mai mare grosimea elementului respectiv; această dependență a absorbției de grosimea regiunii examinate este exprimată de coeficientul de absorbție, care indică fracțiunea radiației absorbite într-un cm grosime. Absorbția razelor X poate fi exprimată printr-o funcție exponențială, formula absorbției fiind:

$$I_i = I_0 \alpha e^{\alpha d}$$

în care I_i = intensitatea radiației emergente, I_0 = intensitatea radiației incidente, α = coeficientul de atenuare liniar al obiectului examinat, d = grosimea obiectului, e = baza logaritmilor naturali = 2,71828.

1.1.4. Proprietățile razelor X

În funcție de lungimea lor de undă, radiațiile pot fi:

- Radiații X moi, cu lungimi de undă mari (cuprinse între 1-5Å), având energie și putere de penetrație redusă,
- Radiații X dure cu lungimi de undă mici (0, 001Å), având energie și putere de penetrație mare.

Proprietățile razelor X sunt următoarele:

- Razele X se răspândesc sferic din sursa care le emană, sub formă de fascicol divergent.
- Razele X se propagă în linie dreaptă, cu o viteză de 300. 000 km/sec.
- Razele X au o penetrabilitate invers proporțională cu lungimea de undă.
- Intensitatea razelor X scade cu pătratul distanței.
- Razele X sunt absorbite de corpurile prin care trec, absorbția fiind direct proporțională cu numărul atomic de masă la puterea lungimea de undă la puterea 3, densitatea și grosimea obstacolului.
- Razele X determină fenomenul de luminiscentă.
- Razele X determină efecte de fotosensibilitate (reduc emulsia de bromură de argint la argint metalic).
- Razele X produc ionizare - are loc ionizarea gazelor prin care trec.
- Razele X au efecte biologice asupra țesuturilor vii prin ionizări și prin excitații care produc alterații în materia vie.

1.1.5. Aparatura de röntgen-diagnostic

Orice instalație radiologică se compune din două părți principale:

- aparat propriu zis.
- accesorii.

1.1.5.1. Aparatul propriu-zis.

Se compune din următoarele elemente principale:

- tubul radiogen,
- transformatorul de înaltă tensiune,
- transformatorul de încălzire (sau de joasă tensiune),
- cablurile sau troleele,
- masa de comandă.

1.1.5.1.1. Tubul radiogen constituie partea cea mai importantă și cea mai delicată a unei instalații radiologice.

El constă dintr-un balon, construit dintr-o sticlă specială, fabricată pentru a rezista la temperaturi deosebit de ridicate. Balonul are două tuburi laterale, situate unul în fața celuilalt, cu vid aproape absolut; în tuburi sunt montați doi electrozi: unul este catodul, iar în fața lui, anodul sau anti-catodul.

Catodul reprezintă polul negativ al tubului. El este format dintr-un filament de tungsten, dispus în formă de spirală. Anodul reprezintă polul pozitiv al tubului. El este format dintr-un

aliaj de metale greu fuzibile, care au proprietatea de a transmite rapid căldura primită, facilitând în felul acesta și răcirea tubului produsă și prin rotația sa (3000 ture/min).

Anodul are în partea sa centrală o pastilă de tungsten, care constituie focarul tubului, cunoscut în mod curent sub denumirea de focus.

Filamentul catodic este adus în stare de incandescență de un transformator de încălzire, sau de joasă tensiune, care transformă curentul de la rețea în curent de 6 - 12 volți și 3 - 5 amperi. Filamentul devenit incandescent, emite particule foarte mici, formate din electroni care se află într-o stare de maximă mișcare datorită incandescenței. Electronii fiind de sarcină electrică negativă, sunt atrași de anod, care reprezintă polul pozitiv al tubului. Dirijarea electronilor spre anod este favorizată, la tuburile moderne, de o așa numită piesă de concentrație. Această piesă este un fel de cilindru, care înconjoară filamentul catodic, cilindru care fiind încărcat tot cu electricitate negativă, va respinge electronii, conform principiului electric cunoscut al respingerii sarcinilor electrice de același fel. Electronii plecați de la catod, constituie "razele catodice".

Atât catodul cât și anodul sunt puși în legătură, prin cabluri sau trolee, cu transformatorul de înaltă tensiune.

Anodul se încălzește foarte mult și din această cauză el se poate deteriora. Dacă ajunge la incandescență, poate emite el însuși electroni, care bombardând catodul, îl poate distruge; din acest motiv este absolut obligatorie răcirea anodului în timpul funcționării. Această răcire se poate obține:

- cu apă,
- cu aer (la aparatele vechi),
- cu ulei dielectric,
- mixt (la aparatele moderne).

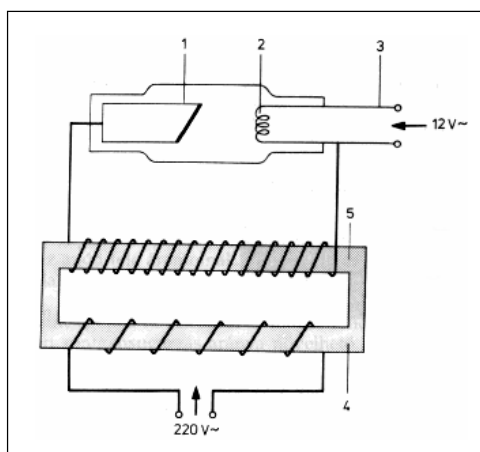


Fig. 1.5. Schiță reprezentând tubul de raze X și sursa de alimentare (transformatorul cu cele două bobine) conectat la rețeaua de 220 V.

1: Anod 2: Catod 3: Filament de încălzire
4: bobină primară 5: bobină secundară

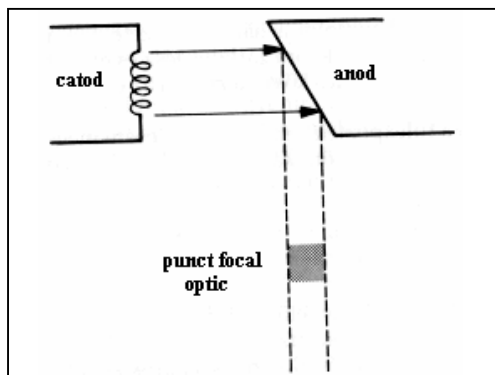


Fig. 1.6. Schiță reprezentând detalii cu focarul termic și optic al tubului de raze X.

1.1.5.1.2.. Transformatorul de înaltă tensiune

Transformă tensiunea obișnuită de la rețea în tensiune înaltă; tensiunea înaltă va crea o diferență mare de potențial electric între cei doi poli.. Cu cât diferența de potențial va fi mai mare, cu atât forța de izbire a electronilor în focarul anodului va fi mai mare, cu atât electronii de pe orbitele mai centrale vor fi dislocați, cu atât se vor produce raze Röntgen mai pătrunzătoare (mai dure). Practic deci, cu cât tensiunea aplicată la bornele tubului va fi mai mare, cu atât penetrabilitatea lor, adică calitatea, duritatea lor va fi mai mare.

Transformatorul este format din două bobine separate, bine izolate, situate față în față pe un cadru pătrat sau rectangular de fier moale.

Raportul dintre numărul de spire al bobinei secundare și cel al bobinei primare, se numește **raport de transformare**; în exemplul dat, raportul de transformare este 500.

1.1.5.1.3. Transformatorul de joasă tensiune

Este necesar pentru aducerea la incandescență a filamentului catodic.

Acest transformator are un aranjament invers al bobinelor: bobina primară are un număr mare de spire, iar cea secundară are un număr redus de spire. Raportul de transformare este aranjat în așa fel încât să ne furnizeze o tensiune de 6 - 12 V și 3 - 5 A, exact cât ne este necesar pentru aducerea la incandescență a filamentului catodic.

Curentul de înaltă tensiune, așa cum este el transformat de transformatorul de înaltă tensiune, nu este propriu pentru o perfectă funcționare a tubului radiogen, deoarece acest curent își schimbă sensul la capetele tubului, fiind odată în sens negativ iar data următoare, de sens pozitiv. Aceasta face ca în mod practic numai o semi-undă a curentului alternativ să poată fi folosită de tub. Pentru a remedia acest neajuns, s-a interpus un fel de întrerupător automat, denumit *ventil*, *supapă* sau *kenotron*.

1.1.5.1.4. Masa de comandă

Este dispozitivul care servește la punerea în funcție și la oprirea aparatului.

Masa de comandă este înzestrată cu o serie de aparate care permit:

- măsurarea curentului de la rețea (voltmetrul),
- măsurarea intensității curentului (miliampermetrul),
- măsurarea timpului,
- butonul de punere în funcțiune și de oprire a instalației.

1.1.5.1.5. Trolee (cabluri)

Curentul de încălzire a filamentului, precum și curentul de înaltă tensiune sunt conduse de la transformatoarele respective prin trolee sau cabluri

1.1.5.2. Accesoriiile unei instalații radiologice**1.1.5.2.1. Stativul**

Este un sistem de susținere a tubului radiogen, al ecranului și al bolnavului.

1.1.5.2.2. Ecranul

Este fixat într-o ramă port-ecran. Ecranul se compune din două elemente principale: un carton, de obicei de mărime 30/40 sau 35/35 cm care este acoperit cu un strat de emulsie fină dintr-o sare fluorescentă, de obicei platinocianură de bariu sau sulfură mixtă de cadmiu și zinc. De port-ecran mai sunt fixate și alte piese, care ne facilitează examenul radio-logic:

- diafragma - dispozitiv care ne permite limitarea fascicolului radiogen, în funcție de regiune examinată;
- seriograful - un dispozitiv care permit executarea radiografiilor în serie;
- compresorul - un dispozitiv care permite comprimarea anumitor regiuni de examinat;

- grila anti-difuzoare Lysholm - un dispozitiv care servește la eliminarea razele secundare, și ca atare, la obținerea unei mai bune calități a imaginii.

1.1.5.2.3. Dispozitivele de centrare

Sunt reprezentate de acele dispozitive de care ne folosim pentru localizarea și centrarea razei centrale, care are un rol foarte important pentru reușita radiografiilor, mai ales în radiografia stomatologică. Aceste dispozitive sunt telescopice, luminoase și sub formă de conus centralizator (centror).

1.1.5.2.4. Dispozitivele de fixare

Ne permit imobilizarea diverselor regiuni de examinat, în scopul evitării mișcării în timpul expunerii, pentru a evita apariția artefactelor de mișcare. Aceste dispozitive se compun din piese care apasă (saci de nisip) și din piese care trag (benzi de tracțiuni elastice sau neelastice)

1.1.5.2.5. Dispozitivele de compresie

Sunt piese care permit comprimarea diverselor regiuni de examinat. Acestea sunt necesare pentru:

- a feri mâna radiologului de pericolul expunerii prelungite la raze, știut fiind că mănușile nu conferă o protecție integrală față de razele directe;
- a elimina razele secundare emise de regiunea de examinat, de a micșora cantitatea acestor raze dăunătoare pentru medic, bolnav și pentru imaginea radiologică.

1.1.5.2.6. Dispozitivele pentru eliminarea razelor secundare

Razele secundare, indiferent de procesul formării lor, jenează în mod apreciabil imaginea radiosopică și radiografică, în sensul că lipsesc imaginea de claritate și netitate.

Locurile cele mai obișnuite unde se produc aceste radiații secundare, la o instalație radiologică, sunt:

- la nivelul tubului (la anod, la nivelul sticlei),
- în aer (între tub și regiunea de examinat),
- la nivelul regiunii de examinat (de cele mai multe ori),
- la diversele piese ale stativului, care vin în contact cu fascicolul incident.

Pentru eliminarea razelor secundare, ne folosim în practică de dispozitive care cuprind diafragma, grila antidifuzoare, localizatorul și dispozitivele de compresie (lingura lui Holzknacht sau compresorul lui Chaoul).

Diafragma este formată din patru lamele de plumb așezate una în fața alteia, la locul ieșirii razelor din tub și acționate de la distanță prin două cabluri de oțel. Cu cât va fi mai mic spațiul liber dintre lamelele de plumb, deci cu cât se va diafragma mai mult, cu atât vor fi mai puține raze secundare și cu atât imaginea va fi mai netă.

Grila antidifuzoare este un dispozitiv format dintr-o serie de lamele de plumb, groase de 0,1 mm și înalte de 0,3 mm așezate paralel unele de altele la o distanță de 0,3 mm unele de altele.

Aceste lamele au o ușoară înclinație, corespunzătoare fascicolului Röntgen, valabilă numai pentru o anumită distanță, înclinație numită focalizarea lamelor. Lamelele de plumb se mișcă uniform în timpul expunerii, grație unui mecanism special. Principiul de funcționare este acela că orice rază parazită (secundară), nu va putea străbate spațiul dintre lamele și lovindu-se de ele, va fi absorbită de acestea.

O grilă specială extra-plată, care stă vertical în spatele ecranului (Lysholm - Schönander), se folosește de obicei la radiografii executate la ecran (seriografii în special).

Localizatorul este o piesă din lemn care în marginile exterioare conține plumb și se adaptează la tub cu scopul dublu de a micșora fasciculul de raze Röntgen și în același timp de a elimina razele secundare care se formează la ieșirea din tub.

1.1.6. Noțiuni generale de dozimetrie

1.1.6.1. Dozimetria

Reprezintă disciplina care se ocupă cu studiul tehnicii și posibilităților de măsurare a dozelor de radiații.

Dozele măsurate sunt exprimate în sistemul röntgenologic și radiobiologic.

1.1.6.2. Unități de măsură pentru radiații

Rad-ul servește la măsurarea dozei primite și reprezintă energia absorbită sub formă de radiații ionizate pe unitatea de masă. Un rad corespunde la 10^{-2} jouli pe kilogram corp iradiat. Astăzi sistemul metric internațional recomandă utilizarea gray-ului - simbol Gy - care reprezintă doza primită de un corp iradiat care absoarbe 1 joule pe kg. Un gray este deci echivalentul a 100 de rad.

Rem-ul este unitatea care reprezintă nocivitatea biologică a radiațiilor și înseamnă **“Rad equivalent man”**. El este egal cu produsul dozei absorbite exprimată în rad de către un factor de calitate Q care evaluează gradul de nocivitate al diferitelor tipuri de radiații.

Röntgenul reprezintă doza de radiații Röntgen sau gamma a căror emisie corpusculară asociată produce în condiții fizice normale un număr de $2,1 \times 10^{10}$ perechi de ioni cu sarcină electrică de un franklin. ($1\text{Fr} = \frac{1}{3} \times 10^{-9}$ C. Dacă această mărime se raportează în funcție de timp se obține o altă mărime numită **doză-debit**.

Doza integrală este o altă mărime definită ca produsul dintre doza de radiație și masa corpului iradiat.

În *sistemul radiobiologic* avem trei mărimi fundamentale:

- **doza absorbită (D)** este raportul dintre energia W absorbită de un corp iradiat și masa m a acestuia, respectiv: având ca unitatea de măsură radul definit prin relația $1\text{ rad} = 100\text{ erg/g}$;
- **doza biologică (B)** evaluează efectele biologice ale radiațiilor în funcție de doza absorbită D, unde unitatea de măsură este remul definit ca fiind doza biologică când un gram din țesutul iradiat absoarbe prin inter-mediul particulelor ionizate energia de 100/ergi;
- **parametrul spectral**, definit ca densitate liniară medie de ioni (numărul de perechi de ioni produși în medie pe unitatea de lungime a traiectoriei particulei ionizate), fie ca transfer liniar mediu de energie (energie transferată mediului de către particula ionizată pe unitatea de lungime a traiectoriei acesteia).

Sistemul internațional de unități de măsură este un sistem unitar care cuprinde:

- **becquerelul** (simbol Bq) utilizat pentru activitate (viteză de dezintegrare) este egal cu o transformare (dezintegrare) nucleară pe secundă: $3,7 \times 10^{10}$ dezintegrări pe secundă este egal cu un curie (simbol Ci),
- **gray-ul** (simbol Gy) utilizat ca unitatea de măsură pentru doza absorbită este egal cu 1 joule/kg (J/kg) ; 1 gray este egal cu 100 rad;
- **sievert-ul** (simbol Sv), utilizat ca unitate de măsură pentru doza biologică și este egal cu 100 rem.
- **coulomb-ul** (simbol C) utilizat ca unitate de măsură pentru doza de radiație radiologică; un coulomb este egal cu 3876 röntgen.

Unitățile SI prezintă multipli și submultipli cu prefixe și simboluri specifice care sunt prezentate mai jos.

Prefixe pentru unitățile SI:

Factor	Prefix	Simbol	Factor	Prefix	Simbol
10^{18}	Exa	E	10^{-3}	mili	M
10^{15}	Peta	P	10^{-6}	micro	μ
10^{12}	Tera	T	10^{-9}	nano	N
10^9	Giga	G	10^{-12}	pico	P
10^6	Mega	M	10^{-15}	femto	F
10^3	Kilo	K	10^{-18}	atto	A

Relațiile dintre unitățile SI și unități care nu aparțin SI:

Mărime fizică	Unități SI	Unități aparținând SI	Relații
Activitate	Bequerel (Bq) 1 bequerel=1/s	Curie (Ci)	$1\text{Bq}=2,7*10^{11}\text{Ci}=27\text{pCi}$ $1\text{Ci}=3,7*10^{10}\text{Bq}=37\text{GBq}$
Doza absorbită	gray (Gy) 1 Gy = 1J/kg	Rad	1 Gy = 100 rad 1 rad = 0,01Gy = 10mGy
Doza Biologică	sievert (Sv) 1 Sv = 1J/kg	Rem	1 Sv = 100 rem 1 rem = 0,01 Sv = 10 mSv
Expunere	coulomb/kg (C/kg)	Röntgen	$1\text{C/kg}=3876\text{R}=3,876\text{kR}$ $1\text{R}=2,58*10^{-4}\text{c}$

(după M.R.Găleşanu-1982)

1.1.7. Protecția în radiologie

Activitatea zilnică de investigare radiologică trebuie să se desfășoare după anumite norme care au drept scop protejarea atât a personalului de specialitate cât și a pacienților; trebuie luate o serie de măsuri de protecție atât în potriva riscului de electrocutare prin curenții de joasă și înaltă tensiune cât și împotriva riscului mutagen al radiațiilor.

1.1.7.1. Protecția împotriva curentului electric

- Aparatele radiologice se montează obligatoriu cu priză de pământ; este cea mai importantă măsură împotriva electrocutării.
- Încăperile trebuie să fie pardosite cu material dielectric: lemn, linoleum, cauciuc, plăci aglomerate, învelitori plastice etc.
- În încăperea de radiologie nu trebuie să existe țevi aparente din instalația de apă și gaz neizolate sau calorifere neprotejate cu grilaj de lemn.
- Aparatele radiologice nu se ating niciodată cu mâna umedă.
- Piese de la aparatele cu care venim în contact : butoane, întrerupătoare, comutatoare, relee de timp, ștehere etc. trebuie să fie din materiale izolatoare și în bună stare în vederea utilizării.
- Siguranțele electrice să fie bine calibrate; o supradozare poate determina accidente grave.
- Nu se ating piesele interne ale unui aparat cu mâna, dacă o parte a corpului vine în contact cu un conductor pus la pământ (țevi de apă, calorifer etc.) - acest deziderat poartă printre specialiști denumirea de “regula lucrului cu o mână în buzunar”.

- Spațiul din jurul aparatelor de radio-diagnostic trebuie amenajat încât să permită deplina libertate de mișcare.
- Extinctorul pentru incendiile prin scurt-circuit electric trebuie obligatoriu să facă parte din dotare și să fie în stare de funcționare.

1.1.7.2. Protecția împotriva radiațiilor X

Persoanele care lucrează în serviciile de radiologie, dacă nu respectă cu strictețe măsurile de protecție, prin acumularea de doze mici de radiații timp îndelungat pot suferi unele acțiuni vătămătoare, și anume:

- **leziuni ale pielii** - radiodermită cronică a mâinilor, gambelor și feței, care se manifestă prin piele uscată (produsă de distrugerea glandelor sebacee și sudoripare), apariția teleangiectaziilor, modificări pigmentare, apariția de ulcere trofice cu potențial de malignizare;
- **leziuni ale organelor hematopoetice**, caracterizate prin modificări ale seriei albe, leucopenii cu ușoară eozinofilie și limfocitoză; apariția neutropeniilor reprezintă un semn de agravare care poate conduce până la anemii aplastice și leucemii;
- **leziuni ale gonadelor**, interesând elementele cele mai sensibile, spermatogoniile și foliculii maturi ovarieni.
- **leziuni ale oului fecundat** în primele luni de sarcină, care în timpul organogenezei pot produce malformații; embrionul mai mare de 4-5 luni nu mai este sensibil în mod special la acțiunea radiațiilor Röntgen;
- produse prin fenomenul de ionizare, datorat în special radiațiilor cu lungime de undă mai mare, **cataracte timpurii**;
- corolar al însumării tuturor acțiunilor nocive ale radiațiilor Röntgen, **îmbătrânirea precoce**.

Pentru diminuarea iradierilor profesionale sunt preconizate o serie de măsuri privind construcția aparatelor röntgen, măsuri ce se referă la montarea aparatelor în laboratorul radiologic și măsuri de protecție propriu-zisă.

- **Echipamentul de protecție al personalului de radiologie** - șorț și mănuși confecționate din cauciuc care conține săruri de plumb sau bariu, cu un echivalent de absorbție de 0,5 mm plumb - nu este suficient și nu exclude izolarea în camere separate. Acest echipament, care acoperă numai regiunile mai importante, se recomandă numai pentru medicii care lucrează la ecranul radiosopic.
- **Încăperile în care sunt instalate aparatele de radiodiagnostic** se aleg cu grijă, pentru a fi separate de sălile de așteptare, cabinete medicale sau stomatologice, birouri, locuințe, adică izolate pentru oamenii care rămân timp îndelungat în încăperea respectivă prin specificul preocupărilor lor și care pot fi iradiați accidental, necontrolat.
- Este de preferat ca încăperile cu aparate röntgen să aibă pereții exteriori sau spre culoare de trecere. Dacă acest lucru nu este posibil se cere izolarea pereților mai subțiri de 30 cm cu tencuială conținând barită, vopsire cu vopsea de bariu sau căptușirea lor cu tablă de plumb.
- Pentru personalul care manipulează aparatele de radiologie există un sistem de control dozimetric, de înregistrare și supraveghere continuă.
- Controlul se efectuează la instalarea și darea în folosință a aparatelor, atunci când pentru eliberarea autorizațiilor de funcționare, serviciul de dozimetrie măsoară dozele de radiații existente în încăpere, la diferite distanțe de aparat, în spatele paravanelor de plumb și în camerele învecinate.
- Fără autorizație de funcționare emisă de Comisia Națională de Control a Activităților Nucleare - CNCAN, un aparat röntgen nu poate fi exploatat.

- Înregistrarea și supravegherea continuă a personalului se efectuează prin înființarea unei fișe dozimetrice în care se consemnează lunar dozele primite și înregistrate cu ajutorul fotodozimetrelelor. Acestea sunt filme radiologice foarte sensibile, plasate între filtre absorbante de diferite grosimi. La dezvoltare, în funcție de înnegrirea diferențiată prin filtre, se stabilește doză recepționată de purtătorul fotodozimetrului. Supravegherea continuă este completată prin efectuarea unui control medical complex din 6 în 6 luni.
- Spre deosebire de personalul de radiologie, care este iradiat pe toată suprafața corpului cu doze mici dar repetate zilnic, iradiații neprofesional suportă iradiieri cantitative mai mari dar pe zone limitate. Pentru aceștia există pericolul de a suferi leziuni radiologice ale pielii la nivelul porții de intrare, în cazul iradierilor repetate.
- Se consideră doza maximă admisă pentru toată viața, în zona porții de intrare a fasciculului de radiații la radiografiile dentare, de 100 r.
- Pentru limitarea iradierii bolnavilor se recomandă limitarea strictă a fasciculului de radiații pe regiunea interesată, acoperirea cu materiale de protecție a sternului și gonadelor, întrebuințarea unei tehnici de precizie pentru a nu repeta examenul, întrebuințarea de materiale proaspete și de bună calitate (filme, revelator), precum și indicarea cu discernământ a examenului radiologic.

Deși nu poate fi incriminată iradierea radiologică neprofesională pentru apariția leucemiilor și tumorilor maligne, deși este foarte greu să se considere vinovată de apariția malformațiilor la nou-născuți, totuși este imperativ necesar ca medicii clinicieni să cunoască limitele și posibilitățile pe care le oferă examenul radiologic. Această cunoaștere constituie factorul de bază în vederea înlăturării excesului de radiografii și a limitării indicațiilor acestora.

1.2. FORMAREA IMAGINII RADIOLOGICE

Deoarece razele X sunt “invizibile” este necesar ca ele să fie convertite în imagine vizibilă, luminoasă cu ajutorul unor detectori reprezentați de ecranul radiosopic și filmul radiografic.

1.2.1. Formarea imaginii radiosopice

Imaginea radiosopică are la baza ei una din proprietățile esențiale ale razelor X: absorbția.

După ce au străbătut elementele structurale ale corpului examinat, razele X sunt absorbite în mod inegal, în funcție de structura chimică (numărul atomic de masă), lungimea de undă, densitatea și grosimea corpului/organului examinat. Odată ajunse la ecranului aparatului, produc prin fenomenul de luminiscentă iluminarea ecranului care are în constituția lui săruri speciale de platino-cianură de bariu sau sulfură mixtă de zinc și cadmiu.

Imaginea radiosopică este o imagine pozitivă deoarece elementele opace pentru razele X, deci radioabsorbante, apar întunecate sub forma **opacității**, în vreme ce elementele transparente, deci neabsorbante ale razelor X, apar luminoase sub forma **transparenței**.

Deci imaginea radiosopică, din punct de vedere fizic este formată dintr-un complex de opacități și transparențe, realizând diverse nuanțe de cenușiu, de la negru la alb, cauzate de absorbția inegală a razelor X de către regiunea examinată.

Dacă această imagine radiosopică este pusă pe un film radiografic, vorbim de formarea imaginii radiografice.

1.2.2. Formarea imaginii radiografice

La baza formării imaginii radiografice stă în afara absorbției, proprietatea razelor X de a impresiona emulsia fotosensibilă a filmului radiografic medical (reprezentată de bromura de argint).

Impresionarea substanțelor fotosensibile este un corolar al acțiunii chimice a razelor X.

Filmul radiografic medical este compus dintr-un suport (poliester), care are pe ambele părți o emulsie fotosensibilă de bromură de argint în gelatină (gelatino-bromură de argint).

Filmele radiografice medicale utilizate au următoarele dimensiuni: **13/18, 18/24, 24/30, 30/40, 15/40 și 35/35**: ele sunt introduse în casete corespunzătoare acestor dimensiuni, casete având în interior folii sau ecrane întăritoare.

Ecranele întăritoare sunt dispozitive care au încorporate în ele substanțe fluorescente la acțiunea razelor X, având rolul de a ajuta ca filmul să se impresioneze mai bine; acest lucru reduce mult timpul de expunere și iradierea în mod implicit.

Ecranele intensificatoare UNIVERSAL 100 sunt fabricate pe suport de poliester, ceea ce conferă produsului o bună rezistență. Cu toate acestea se recomandă ca manipularea să se facă cu foarte mare atenție, în special în ceea ce privește menținerea strictă a planeității în procesul de dezambalare și asamblare. În caz contrar, există pericolul apariției cutelor pe ecran care vor determina deteriorarea imaginii pe film. Structura ecranului intensificator UNIVERSAL 100 este alcătuită dintr-un suport de poliester pe care este depusă o substanță cu conținut de **wolframat de calciu (CaWO_4)**. Ecranele corespund clasei de sensibilitate 100, conform DIN 6867/1.

Pentru curățirea ecranelor intensificatoare se utilizează un material textil curat, umezit, care nu lasă scame; cu un agent de curățire se șterge ușor toată suprafața ecranului, apoi se lasă deschisă caseta aproximativ 10 minute, pentru a permite evaporarea solventului.

Nu se va pune niciodată caseta deschisă pe cant pentru uscare, deoarece aceasta poate provoca deformarea ecranelor. Ca agent de curățire se recomandă folosirea alcoolului etilic de puritate foarte ridicată; nu se recomandă folosirea alcoolului etilic, sau a spirtului medicinal.

Filmele radiografice și ecranele întăritoare se introduc în casete de același mărime cu filmele (dimensiuni amintite anterior).

Casetele sunt formate din aluminiu și plumb, având rolul de a proteja filmul (pentru a nu se voala).

Filmul se scoate din casetă în camera obscură, unde se dezvoltă prin trecere succesivă prin revelator și fixator. După fixare, filmul se spală și se usucă fiind apoi interpretat la negatoscop (dispozitiv cu iluminare dirijată a filmului).

În stratul sensibil la radiații al filmului, strat format de gelatinoiodobromură de argint, cristalele de bromură de argint au atomii de argint și brom așezați simetric: în jurul unui atom de argint sunt 6 atomi de brom, iar în jurul fiecărui atom de brom sunt 6 atomi de argint.

Gelatinoiodobromura de argint mai conține și urme fine de sulf, cu rol în maturizarea chimică a materialului sensibil și care sulf se combină cu bromura de argint, dispusă în emulsie sub formă de nuclee distribuite egal. Rolul sulfurii de argint este legat de declanșarea procesului de înnegrire a bromurii de argint.

Sub influența energiei radiante a razelor X, bromura de argint se ionizează și pune în libertate electronii, care sunt captați în nucleele de sulfură de argint, care se încarcă cu sarcină electrică negativă.

Nucleele de sulfură de argint conțin viitoarea imagine radiografică și care în acest stadiu nu este încă vizibilă, aceasta fiind imaginea latentă.

Cu ocazia dezvoltării în camera obscură are loc separarea argintului de brom, separare începută în jurul nucleelor de dezvoltare; argintul astfel eliberat, devenit subbromură de argint este redus de substanțele revelatorului și se oxidează, înnegrindu-se.

La nivelul filmului unde acțiunea razelor X a fost mai puternică, se formează nuclee de dezvoltare, cantitatea de argint care se reduce fiind mare; în locurile unde acțiunea razelor X a fost mai slabă, nucleele de dezvoltare sunt mai puține, ceea ce face ca în mod implicit și argintul redus să fie mai puțin din punct de vedere cantitativ.

Filmul radiografic se scoate din revelator în momentul în care în nucleele de dezvoltare ionizate, argintul a fost redus, în vreme ce argintul legat încă de brom și neionizat nu a fost redus.

Dacă această fază nu este atinsă, filmul nu are contrast, este de aspect gri-spălăcit, deoarece nu s-a redus suficient argint și nu s-a fixat pe suport; pe de altă parte dacă se depășește această fază prin prelungirea peste normal a timpului de dezvoltare, filmul este de asemenea lipsit de contrast, voalat, gri-închis, deoarece s-au redus și atomii de argint din zonele neimpresionate de radiații și în care argintul era încă legat de brom.

Prin procesul de fixare, argintul neoxidat este dizolvat, la acest nivel filmul fiind transparent.

Densitatea optică de înnegrire este exprimată de logaritmul zecimal al opacității stratului sensibil : zonele iradiate de 10 ori mai mult vor avea o densitate optică $\log_{10}10=1$. Zonele care vor fi iradiate de 100 ori mai mult vor avea densitatea egală cu $10 \cdot 100=2$ adică vor fi de două ori mai opace.

Această diferențiere în trepte a gradului de înnegrire proporțională iradierii stă la baza definirii noțiunii de **contrast**; este o caracteristică a filmului radiografic medical, legată direct de granulația stratului sensibil, care se definește prin latitudinea de înnegrire în trepte de alb-negru.

Cu cât treptele sunt mai numeroase între cele două extreme, cu atât contrastul este mai bun iar detaliile mai multe.

Un film bun este apreciat după următoarele elemente :

- **contrast**: raportul între negru și alb al unei imagini ;
- **netitate**: vizibilitatea cât mai clară a conturilor ;
- **detaliu**: evidențierea a cât mai multe elemente de finețe pe o anumită unitate de suprafață.

1.2.2.1. Legile formării imaginii radiografice

1.2.2.1.1. Particularități și legi ale formării imaginii radiografice

1. Proiecția conică: fascicolul incident, având o formă conică, va imprima imaginii caracteristicile imaginii conice ; în acest sens este de reținut că :

a. în proiecție conică, imaginea radiologică a unui obiect ne apare mai mică sau mai mare, după cum obiectul este mai aproape sau mai departe de tub. Pentru ca o imagine să fie cât mai apropiată de cea reală, este necesar ca obiectul să fie cât mai apropiat de film sau de ecran.

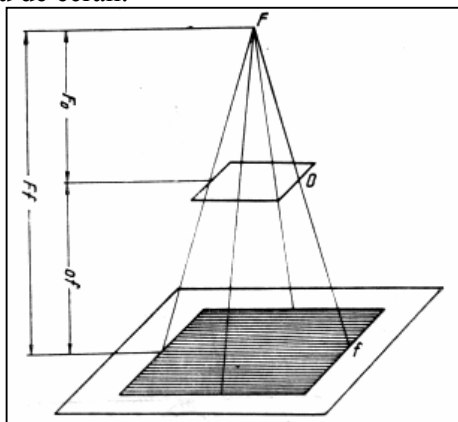


Fig. 1.7. Ilustrarea dependenței efectului de mărire de distanța obiect-sursă și obiect film;

f - focarul tubului; *o* - obiectul de examinat;
fo - distanța focar-obiect; *of* - distanța obiect -film;
Ff - distanța focar-film.

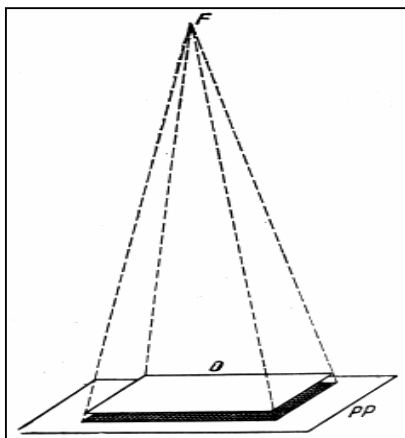


Fig. 1.8. Imaginea obiectului este de mărime apropiată de mărimea reală, prin creșterea distanței focar-obiect și micșorarea distanței obiect-plan de proiecție.

b. în afară de mărimea imaginii prin proiecția conică perpendiculară, această imagine suferă deformări importante, când proiecția conică este oblică.

c. Un obiect așezat în fascicolul de raze Röntgen. poate da imagini diferite, după poziția pe care acest obiect o are în proiecția conului; de aceea, pentru a cunoaște poziția exactă a obiectului, este nevoie în mod practic de a-l privi din mai multe incidente și poziții.

d. o altă caracteristică a proiecției conice este fenomenul paralaxei - conform acestui fenomen. imaginile obiectelor situate în planuri diferite, adică la distanțe diferite de planul proiecției, își schimbă poziția una față de cealaltă, atunci când deplasăm tubul de raze sau deplasăm obiectul.

Dintr-un ansamblu de două obiecte, obiectul a cărei imagine parcurge pe ecran (sau pe film) o distanță mai mare (când deplasăm tubul sau ansamblul de obiecte față de tub), este cel aflat mai departe de ecran sau film, comparativ cu obiectul care parcurge o distanță mai mică. Fenomenul paralaxei este fundamental în radiologia generală și în radiologia stomatologică, pentru localizarea, în special a corpurilor străine.

2. Legea sumăției planurilor:

Imaginea radiologică a unei anumite regiuni, reprezintă suma imaginilor diferitelor elemente ale segmentului traversat, elemente așezate în planuri diferite în calea fascicolului de raze Röntgen. Așa se explică de ce la os vedem o serie de opacități liniare, datorate traveelor, fiecare travee reprezentând sumația traveelor așezate în planuri diferite.

3. Legea substracției planurilor,

Când un corp radiotransparent este suprapus unui radioopac îi absoarbe acestuia o parte din opacitate.

4. Legea incidentelor tangențiale:

Într-o imagine radiologică va apare un contur precis numai când raza incidentă atinge tangențial suprafața unui obiect opac pentru razele Röntgen sau când atinge suprafețe care separă două obiecte de opacități diferite.

Practic când o rază incidentă atinge tangențial o suprafață, vom obține o trăsătură bine desenată a imaginii radiografice. Când o rază incidentă este tangentă la o linie și nu la o suprafață, nu vom obține o linie precisă ci un contur șters. Această lege ne face să înțelegem de ce unele trăsături ale imaginii radiologice apar sau dispar la variații mici de incidență.

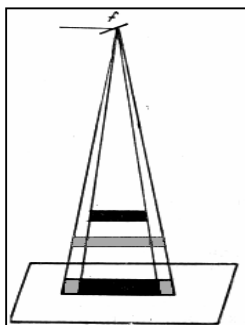


Fig. 1.9. Ilustrarea efectului de sumație ca rezultat al însumării imaginilor diferitelor elemente structurale ale regiunii de examinat.

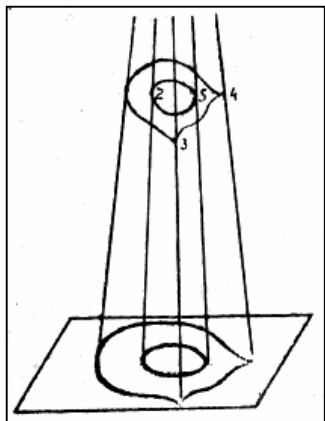


Fig. 1.10. Ilustrarea “legii incidențelor tangențiale”: fascicolul tangent la suprafețele curbe ale obiectului va produce contur net, în timp ce crestele vor apare șterse în imagine.

De asemenea, tot această lege ne explică eventualitatea de producere a unor trăsături care ne pot înșela în interpretare, și care pot explica ștergerea de pe imaginea radiologică a unor detalii importante.

Proprietățile pe care se bazează practica radiodiagnosticului

1. Se răspândesc sferic în jurul punctului din care emană.

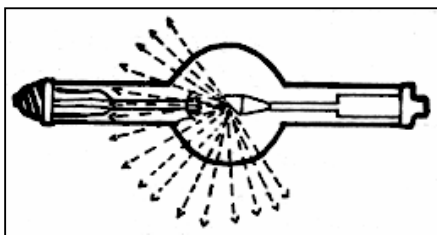


Fig. 1.11. Răspândirea sferică și propagarea în linie dreaptă a razelor X.

2. Se propagă în linie dreaptă, radiar de la acel punct.
3. Se propagă cu viteză foarte mare, egală cu viteza luminii (300 000 km pe secundă) ; pentru distanțele pe care le folosim noi în medicină se propagă fără pierdere de timp.
4. Intensitatea lor scade invers proporțional cu pătratul distanței; deoarece se răspândesc sferic în spațiu, această proprietate este ușor de înțeles.

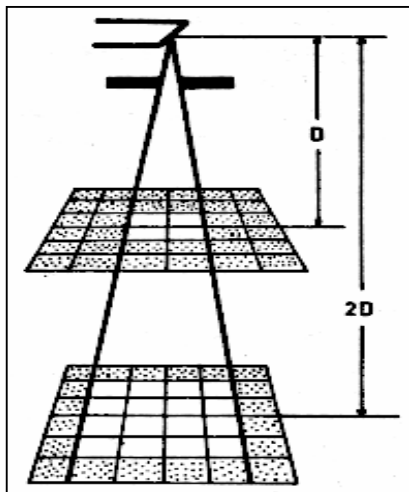


Fig. 1.12. Scăderea intensității fascicolului de raze X direct proporțional cu pătratul distanței

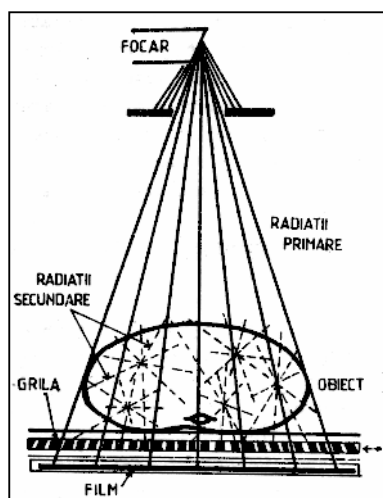


Fig. 1.13. Fenomenul de difuziune.

Razele Röntgen sunt absorbite de corpuri; o parte din razele Röntgen care ajung la nivelul unui corp sunt absorbite de acel corp, iar restul trec dincolo de el.

Absorbția constă în transformarea energiei radiante la nivelul atomilor acelui corp în alte forme de energie ca raze secundare, lumină, căldură, fenomene fotochimice, etc. Razele secundare sunt de două feluri: corpusculare și ondulatorii; ele ionizează gazele prin care trec, însușire pe care se bazează aparatele care măsoară cantitatea de raze Röntgen, adică dozimetrele. Cele ondulatorii denumite “raze de difuziune”, alterează netitatea imaginilor, pentru care motiv trebuie eliminate prin “diafragmele antidifuzoare”.

1.2.3. Artefactele produse prin procesare automată și manuală.

Artefactele pot să fie datorate condițiilor de mânăuire a filmelor, posibilităților de apariție în procesarea automată și în procesarea manuală.

a. Artefacte datorate condițiilor de mânăuire a filmelor.

Artefactele cauzate de condițiile de mânăuire a filmelor se pot datora următoarelor cauze:

- artefacte statice, datorate manevrării grosolane a filmelor în condiții de umiditate scăzută sau frecarea de ecranele de amplificare ;
- descărcări electrostatice produ-se în timpul transportării filme-lor în condiții de temperatură crescută și cu nivele scăzute de umiditate ;
- descărcări electrostatice la contactul cu mănuși din fire sintetice sau haine ;
- folosirea ecranelor de amplificare după curățirea lor cu materiale uscate care au indus electricitate statică ;
- filmul a fost îndepărtat rapid de ecranele întăritoare ;
- scoaterea rapidă a filmului dintr-un teanc de filme ;
- încărcarea electrostatică a procesorului automat ;
- manevrarea filmului pe un banc de lucru murdar ;
- căderea filmului pe podea ;
- praful și murdăria de pe ecran, zgârierea învelișului protector ;
- lipirea filmelor pe ecranele de amplificare sau între ele datorită unei umidități crescute ;
- amprente digitale ;
- artefacte datorate unei presiuni înalte și umidități joase înaintea expunerii ;
- artefacte datorate presiunii înalte și umidității crescute după expunere.

Comentariu : *întotdeauna coala de film se manipulează cu două mâini, prin prindere de două colțuri opuse și nu se prinde cu trei degete !*

După prelucrare și uscare finală este permis orice mod de manipulare.

Curățirea ecranelor întăritoare se face întotdeauna conform instrucțiunilor și nicidecum cu materiale uscate care prin frecare induc electricitate statică.

b. Artefactele produse în procesarea automată.

Această categorie de artefacte poate avea cauze multiple, după cum urmează :

- tava în care se pune filmul a fost umedă sau udă ;
- amestec inadecvat al soluțiilor de dezvoltare ;
- defecte produse în perioada de dezvoltare-fixare ;
- suprafață aspră a rolei ;
- rolă dispusă excentric ;
- apăsare prea puternică a rolei, generând o presiune neadecvată pe film ;
- transport inadecvat al filmului în procesor ;
- temperatură de uscare prea ridicată ;
- scurgere inadecvată a apei de spălare ;
- curent de aer neuniform cauzând artefacte de uscare, vizibile cu o lumină reflectată.

c. Artefactele produse în procesarea manuală.

Recunosc drept cauze următoarele :

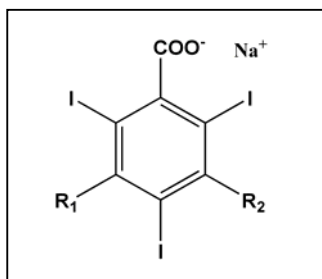
- stropirea cu lichid de procesare, înaintea procesării care cauzează artefacte negre în cazul stropirii cu revelator și apă și artefacte albe, prin stropirea cu fixator sau ulei ;
- amestec inadecvat al soluțiilor de revelator sau fixator ;
- murdărie pe suporturile de atârănare
- nefolosirea soluțiilor de stopaj și neefectuarea spălării intermediare ;
- uscarea filmului fără îndepărtarea petelor de apă.

1.3. Mediile de contrast radiologice

Principiul de acțiune al produselor de contrast iodate se bazează pe relația direct proporțională cu conținutul lor în iod, care având un număr atomic ridicat mărește atenuarea razelor X în esență prin efect fotoelectric, având loc o creștere a densității structurilor luate în studiu față de zonele adiacente.

1.3.1. Definiție și structura de bază

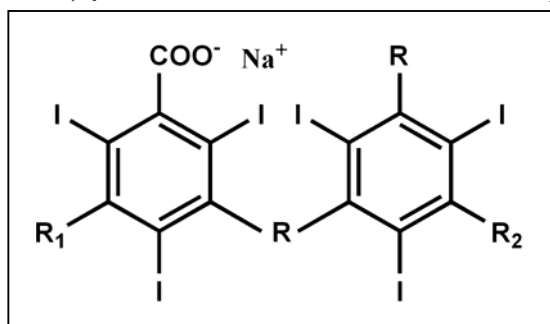
Structura de bază a produselor de contrast iodate este un compus organic, de tip ciclu benzenic, pe care sunt fixați trei atomi de iod în pozițiile 2, 4 și 6, care poartă în poziția 1 o funcție salină acidă. Atomii de C din pozițiile 3 și 5 poartă un radical care generează specificitatea produsului. Disociate în soluții, produsele având trei atomi de iod se descompun în două particole, având o activitate osmotică cu un raport iod particulă de 3/2 sau 1,5. Ca urmare a osmolarității lor foarte ridicate (1500-2200 osm./kg H₂O) comparativ cu osmolaritatea plasmatică (300 mosm./kg H₂O), aceste produse sunt clasificate în **produse cu osmolaritate înaltă**, sau **HOCM (high osmolality contrast media)**



Monomer ionic
(3 atomi de iod/2 particole)

Scăderea osmolarității se poate face în două moduri : prin cuplarea a două structuri de bază pentru a forma un dimer ionic hexaiodat, care conservă funcția acidă pe primul ciclu benzenic în poziția unu și care în soluție se descompun în două particole cu raport de 6/2 sau 3. A doua posibilitate constă în substituirea funcției acide din poziția unu a unui produs triiodat cu un radical R solubil. Aceste produse sunt monomeri nonionici, care în soluție pentru trei atomi de iod nu se comportă ca o particulă activă osmotic, având un raport de 3/1 sau 3.

Osmolaritatea acestei generații de produse este scăzută și se situează între 600 și 800 mosm/kg, fiind denumite **produse cu osmolaritate joasă** sau **LOCH (low osmolality contrast media)** și osmolaritatea lor rămâne de 3 ori superioară osmolarității plasmatică.



Dimer ionic
(6 atomi de iod/2 particule)

Etapa următoare de reducere a osmolarității dimerilor hexaiodați non-ionici s-a realizat prin substituirea funcției acide din poziția unu a unui dimer ionic cu 6 atomi de iod la o moleculă rezultând un raport de 6/1 sau 6, ajungându-se la osmolaritate apropiată de cea a plasmei, astfel că ele sunt denumite **produse izoosmolare** sau medii de contrast izoosmolare, sau **IOCM (iso osmolality contrast media)**.

1.3.2. Reacțiile de intoleranță

Diversele reacții de intoleranță se manifestă prin simptome grupate în funcție de severitatea și de mecanismul de producere. De reținut că nu există în literatură un consens clar în privința clasificării lor.

Clasificarea se limitează de obicei la reacțiile inițiale și distinge în general 4 categorii mari: **reacții minimale, moderate, severe și totale**. Primele două formează grupul incidentelor, iar ultimele două pe cel al accidentelor.

1.3.2.1. Tipuri de reacții de intoleranță

1. **Reacțiile minimale** sunt cele care nu necesită tratament. În această categorie intră grețurile, un episod unic de vărsătură, răgușeala, tusea, strănutul, vertijul, urticaria localizată, congestia nazală, angoasa pasageră și cefaleea pasageră ; nu s-a convenit dacă să se introducă senzația de gust dezagreabil și căldura pasageră în momentul injecției.

2. Reacțiile moderate sunt cele cu rezoluția rapidă a simptomelor care nu necesită tratament (simpla așteptare) sau care reclamă tratament simplu ambulator. În această categorie intră urticaria generalizată, vărsăturile repetate, palpitațiile, dispneea, durerile toracice, durerile abdominale, cefaleea sever, edemul laringian, peribucal, periorbital, crizele de astm, indispozițiile pasagere și modificările moderate ale tensiunii arteriale. Este de notat faptul că unii autori include aceste reacții în funcție de măsura în care necesită un tratament ambulator, în categoria reacțiilor grave ceea ce implică trecerea lor din categoria de incident în cea de accident.

3. Reacțiile grave pun în discuție prognosticul vital și necesită un tratament specializat, mergând uneori până la conduita de reanimare. Acest grup de reacții include manifestări generale și/sau de organ : accident respirator grav (cianoză, edem laringian obstructiv), hipotensiune prelungită, infarct, tulburări severe de ritm, opriri cardiace, edem pulmonar acut, alterări ale conștienței, convulsii ; tot aici poate fi introdusă și insuficiența renală acută.

4. Decesele constituie accidente care pot surveni în primele 15 minute de la injectare, fiind excepționale; ordinul de mărime aproximativ al reacțiilor letale este la ora actuală de 1/100000 de examinări. Unii autori americani dau o cifră anuală de 100 decese la 10 milioane de injectări intravasculare (Lawrence-1991), observate mai ales după alergiile medicamentoase și după înțepăturile de himenoptere.

1.3.2.2. Prevenirea accidentelor de intoleranță

Prevenirea complicațiilor trebuie să înceapă cu anumite reguli de prescriere a produselor de contrast, în care pe primul loc se situează alegerea potrivită a produsului și în care să primeze argumentele folosirii mediilor de contrast cu osmolaritate scăzută.

Doza utilizată în administrarea de contrast trebuie să fie pentru un produs cu 350 mg I/ml, de la 1 la 3cc/kg cu doza maximă de 1 g Iod/kg. Nu trebuie uitată respectarea unei pauze de 5 zile între două examinări care cer utilizarea de cantități importante de contrast ; necesitatea pauzei înaintea reexaminării trebuie să țină cont de dozele utilizate și se va face sub acoperirea unei bune hidratări, după ce în prealabil a fost verificată absența insuficienței renale secundare.

Un alt aspect foarte important vizează incompatibilitatea fizico-chimică cu alte produse introduse pe cale intravasculară în organism ; nu se vor amesteca următoarele produse:

- vasodilatatoarele cu produsele ionice
- antihistaminicele
- sedativele
- sulfatul de protamină
- antimitoticele.

În principiu este convenabil a nu se amesteca nici un mediu de contrast cu nici un alt fel de medicament, oricare ar fi acela.

Accidentul rămâne total imprevizibil. El poate surveni după injectarea produsului, chiar în absența unui factor de risc preexistent, fără semne premonitorii, astfel că nici o tehnică sau precauție nu ne poate pune la adăpost.

Pentru a nu avea incidente sau accidente, medicul radiolog va avea o serie de **gesturi preventive** și etape de respectat astfel radiologul va utiliza un echipament adecvat tratamentului și va da dovadă de o vigilență sporită dacă examinarea se face la distanță de un serviciu de reanimare.

Factorul esențial de prognostic în caz de accidente este oprirea examinării și **acordarea unui ajutor medical specializat, de calitate, rapid, eficient și concret.**

În terapie se vor respecta următoarele etape:

- validarea indicației de efectuare a examinării;
- echipament medical adecvat necesar la dispoziția medicului atât pentru diagnosticul tipului de reacție cât și pentru tratament;
- cunoașterea precisă a procedurii de salvare;

- accesul rapid la un număr de apel în caz de urgență sub forma firului roșu;
- utilizarea unei căi de abord utile și stabile, de maximă eficacitate, care se va lăsa pe loc după injectare (cateter și nu ac cu aripioare de tip fluturaș);
- cunoașterea patologiei pacientului și a tratamentului pe care îl urmează, cu alegerea produsului de contrast adecvat, care să dea un diagnostic cât mai precis ;
- hidratare suficientă înaintea examinării ;
- prezența unui minim de 2 persoane pe lângă medic, a treia persoană fiind indispensabilă în caz de accident, având în vedere multitudinea de gesturi terapeutice necesare ;
- conduita examenului se va desfășura cu calm pentru a nu crește anxietatea pacientului (acest factor putând agrava sau iniția reacții grave) sau a echipei de îngrijire (care poate fi sursa de panică ce prejudiciază examinarea) ;
- respectarea folosirii materialelor de unică folosință.

Gesturile preventive vor fi urmate de **gesturi diagnostice** privind observarea atentă a pacientului:

- **respirația** : dispnee inspiratorie, stridor, tiraj (edem laringian), dispnee expiratorie (bronhospasm);
- **culoarea** : cianoza (hipoxia - de căutat la nivelul mucoasei bucale modificările de culoare), roșeața (manifestări anafi-lactoide), paloarea (șoc vagal);
- **aspectul cutanat** : edemul facial, periorbital, urticaria, aspectul oripilat al pielii (manifestări de ordin anafilactoid), transpirațiile (șoc vagal) ;
- **tensiunea arterială** : prăbușită în caz de șoc (sistolica sub 80 mm Hg!) ; această valoare trebuind comparată cu cifrele de bază - un hipertensiv cu 180 mm Hg are o hipotensiune severă la 120 mm Hg!!.
- **pulsul** (radial, carotidian, femural) : tahicardie în care ajunge mai mare de 100, cum avem în colaps cardiovascular sau șoc anafilactic ; acest semn nu este prezent la bolnavii tratați cu beta blocante, care prezintă bradicardie (mai mic de 50 în șocul vagal!)

Gesturile preventive și diagnostice vor fi urmate de **gesturi curative**, în care cronologia etapelor este următoarea :

1. se va chema în caz de accident grav un reanimator sau personal calificat de la SMURD, printr-un cod de apel de urgență;
2. se va nota ora la care a survenit accidentul;
3. se va verifica la pacientul intubat libertatea căilor aeriene, deoarece există riscul unei detubări sau decanulări;
4. se va adapta ajutorul la tipul de accident;
5. se va nota în cazul unei reacții severe că se impune oprirea administrării contrastului.

1.3.2.3. Tratamentul accidentelor de intoleranță

Accidentul respirator

În caz de accident grav se va face intubarea pacientului.

N.B.: nu face intubarea cel care nu se pricepe și care nu este obișnuit și familiarizat cu această manevră !

Se pot întâlni două tipuri de manifestare : **bronhospasmul** (criză de astm cu dispnee expiratorie) și **edemul laringian** (dispnee inspiratorie cu stridor).

Ele pot fi sau nu acompaniate de manifestări anafilactoides cutanate și semne de detresă respiratorie (cianoză). Tratamentul inițial impune administrarea de OXIGEN plus VENTOLIN (în bronhospasm) și ADRENALINĂ S.C. (în edem laringian și bronhospasm sever).

ADRENALINA se va administra pe cale intravenoasă cu verificarea atentă a tensiunii arteriale prin diluarea unei fiole de 1 mg/ml în 10 ml ser fiziologic, ca doză inițială în reacții limitate ; în cazuri severe 2 ml !

Doza se repetă la 5 minute chiar în caz de ameliorare.

Dacă adrenalina este ineficace se recurge la NORADRENALINĂ. Asocierea urticariei va necesita administrarea de antihistaminice, la care se vor mai adăuga corticoizi și bronhodilatatoare.

Accidentul circulator

Este consecința vasoplegiei cu hipovolemie centrală asociată sau nu cu o insuficiență miocardică. El se manifestă prin :

- hipotensiune cu bradicardie (lipsind la pacienții sub beta blocante),
- cu sau fără manifestări anafilactoides concomitente.

Tratamentul inițial va consta din : OXIGEN + REFACERE VOLEMICĂ + ADRENALINĂ !

Oxigenul se va administra în debit liber la debutul accidentului, iar în reacții moderate în doză de 3 litri/minut.

Refacerea volemică (umplerea) se va face cu ser fiziologic 0,9%; va fi rapidă și masivă utilizând

- calea venoasă periferică inițială
- la nevoie completată cu o altă cale periferică sau calea venoasă femorală, iar dacă este nevoie cu folosirea unei derivații (sistem de robinet cu 3 căi) la care o seringă de 50 cc permite injectarea sub presiune a perfuziei.

Cantitatea de lichid necesară variază de la 1 litru în 20 minute la mai mult, având în vedere că pierderea poate atinge 3 litri în 10 minute (ca urmare a vasodilatației periferice și a creșterii permeabilității capilare), pentru a menține o presiune sistolică în jur de 8 la 10 mm Hg. De reținut că este nevoie și de ridicarea membrelor inferioare atât cât este posibil pentru a ajuta refacerea volemică.

Adrenalina se va administra numai după ce s-a început refacerea (umplerea) volemică (dacă nu reîntoarcerea venoasă rămâne insuficientă). Pe cale intravenoasă, fiolele de 1 mg/ml se vor dilua în 10 ml de ser fiziologic, cu o doză inițială în reacțiile limitate de 0,2 mg, fie 2 ml sau mai mult în cazurile severe ; se va repeta la 5 minute chiar în caz de ameliorare (timpul mediu 3 minute pe cale intravenoasă).

Tratamentul secundar va avea aceleași scopuri ca și cel de bază pe care îl va completa.

- Dacă adrenalina este ineficace se va da noradrenalină : o fiolă de 8 mg în 500 cc de glucoză 5%, cu un debit de 10 picături/minut, respectiv câte o picătură la fiecare 6 secunde.
- La pacienții cu hipotensiune refractară la catecolamine și la cei aflați sub beta blocante se va administra glucagon (conservat la frigider), respectiv 1mg în 500 cc de glucoză 5% cu un debit de 60 picături/minut (adică o picătură la fiecare secundă!).
- În caz de **oprire cardiacă** se va aplica o lovitură pe stern și se va asigura funcția cardiorespiratorie. În acest sens se va trece la ventilație și intubare dacă condițiile permit, iar dacă nu se va face ventilație mecanică pe masca de oxigen în debit liber, cu capul în hiperextensie (pentru a avea liberă filiera aeriană), subluxând maxilarul în față (manevră care permite căderea limbii și care poate să substituie punerea unei canule Guedel uneori dificil de introdus).

N.B. : ventilația este prealabilă masajului cardiac pentru că este inutil transportul unui sânge neoxigenat !!

Se continuă refacerea volemică, concomitent cu administrarea de adrenalină în bolus, repetat la nevoie ; dacă situația o impune se va aplica **șoc electric extern** la nevoie !!

Alte reacții :

Edemul pulmonar acut va necesita oxigen administrat în poziție ridicată și o doză de furosemid de 20-40 mg intravenos.

Convulsiile se vor trata cu 5-10 mg diazepam intravenos.

Angorul va necesita derivați nitrați sub formă de spray, pulverizați sub limbă, de 1-2 ori la 3 minute.

Extravazările vor reclama pansament rece (pungă cu gheață) și pomadă cu hialuronidază; dacă extravazarea este importantă se vor injecta intradermic 1-2 fiole de Hyaluronidase Choavy 250 U.I., în funcție de cantitatea extravazată. Gestul chirurgical va fi excepțional de rar.

1.3.2.4. ȘOCUL ANAFILACTIC

Reprezintă accidentul major care survine brutal, fiind rezultatul unei reacții antigen-anticorp, de o gravitate extremă, în care prognosticul vital poate fi în joc de la început, odată cu apariția primelor semne cardio-vasculare, cutaneomucoase și digestive.

În etiologia șocului anafilactic sunt incriminate :

- medicamente : antibiotice, antialgice, soluții de reumplere ;
- agenți anestezici ;
- venin de șarpe, venin de himenoptere ;
- produși iodați ;
- produși alimentari ;
- produși alergeni, polen, prafuri.

Diagnosticul se bazează pe anamneza pacientului și/sau date de la aparținător și de la anturaj, insistându-se asupra modului în care a evoluat simptomatologia.

Contextul clinic de evoluție este complex, cu o simptomatologie care necesită o foarte bună cunoaștere a acesteia.

Semne cardio-vasculare

- puls filiform ;
- tensiune arterială prăbușită, chiar nemăsurabilă (diferențiala micșorată) ;
- marmurări ;
- auscultație : tahicardie, asurzirea zgomotelor cardiace.

Semne respiratorii :

- polipnee, dispnee laringială, bronhospasm ;
- auscultație : raluri sibilante difuze.

Semne cutaneo-mucoase :

- prurit, urticarie, rash, edem Quincke ;
- extremități calde.

Semne digestive :

- grețuri, vărsături ;
- dureri abdominale, diaree.

ECG :

- traseu normal, tahicardie ;
- tulburări de ritm de tip extra-sistolic;
- tulburări de polarizare difuze, semne de ischemie – leziune.

Elemente de gravitate :

- vârsta, terenul, tarele asociate ;
- timpul scurs până la acordarea îngrijirii medicale ;
- detresă respiratorie acută ;
- tulburări ale conștienței de la obnubilare până la comă ;
- convulsii ;
- **STOP CARDIO-RESPIRATOR**

Conduita de urmat :**În toate cazurile :**

- oprirea administrării substanței presupus cauzatoare
- oxigenoterapie pe mască
- abord venos periferic (14-16 G)
- reumplere vasculară : cristaloide (2'-3000 ml) și
- adrenalină :
 - 1 mg diluat în 10 ml ser fiziologic
 - injecția fracționată, ml/ml IVD a soluției până la obținerea unei presiuni arteriale corecte
- hidrocortizon : 500 mg IVD repetat la fiecare 4 ore
- luarea repetată a pulsului și tensiunii arteriale
- supraveghere : monitorizare, ECG, SpO₂.

În caz de semne de detresă vitală :

- detresă respiratorie acută ;
- tulburări ale conștienței ;
- convulsii ;
- insuficiență cardio-circulatorie, ;
- se continuă tratamentul deja început și se face **intubație cu ventilație mecanică**.
- intubație traheală :
 - pe cale orală,
 - cu o sondă de calibru suficient (7,5-8 mm)
 - eventual după inducția anestezică Hypnovel (0,05 mg/kg IVD) și Hypnomidate (0,3 mg/kg IVD)
- constantele ventilației mecanice :
 - fracțiune inspirată de oxigen =1, se adaptează în funcție de valoarea saturației periferice în oxigen ;
 - volum curent = 8-10 ml/kg ;
 - frecvența respiratorie = 14-16 respirații pe minut.

Dacă șocul persistă, în ciuda unui tratament bine condus se continuă reumplerea vasculară cu adrenalină : 1mg/oră cu seringă electrică, posologie de adaptat în funcție de răspunsul hemodinamic.

Transportul se face numai după restabilirea hemodinamicii.

Supravegherea are în vedere :

- starea de conștiență ;
- colorația tegumentelor ;
- auscultația cardio-pulmonară ;
- puls, presiune arterială, monitorizare ;

- frecvența respiratorie, saturația periferică în oxigen.

Supravegherea ventilației mecanice:

- fracțiunea inspirată de oxigen ;
- volum curent, frecvență, spirometrie ;
- presiunea de insuflație ;
- capnometrie .

Diagnostic diferențial :

- astm acut grav ;
- reacția anafilactoidă ;
- alte stări de șoc.

DE ȘTIUT :

- oprirea sistematică a tuturor substanțelor presupuse responsabile de șoc anafilactic;
- soluțiile de reumplere (Dextran) pot fi responsabile de reacții anafilactice ;
- în absența căii venoase rapid accesibile, adrenalina poate fi administrată pe cale subcutanată sau endotraheală ;
- adrenalina este tratamentul specific, iar cortizonii întăresc efectul ei ;
- au fost descriși ischemizanți miocardici autentici în timpul șocului anafilactic ;
- adrenalina nu trebuie administrată pe aceeași linie de perfuzie cu bicarbonatul, din cauza inactivării fizico-chimice ;
- în caz de bronhospasm inducția anestetică poate fi făcută cu Ketalar (3-5 mg/kg IVD)
- în caz de edem Quinke sau de astm alergic se poate practica nebulizare cu adrenalină (1 mg/5 mg de ser fiziologic cu un debit de 6-8 ml/minut)

DE EVITAT:

- abordul venos central sistematic;
- utilizarea antihistaminicelor, care sunt inefficiente în faza acută ;
- administrarea de produse anestezice cunoscute alergizante.

1.3.2.5. Aspectele juridice ale utilizării mediilor de contrast radiologice

Injectarea produselor de contrast constituie un act medical care angajează responsabilitatea medicilor care lucrează în domeniul radiologiei.

Medicul radiolog va trebui:

- să verifice indicația și necesitatea examinării;
- să accepte sau să refuze efectuarea examinării dacă riscul nu i se pare justificat comparativ cu beneficiul scontat;
- să se informeze asupra patologiei pacientului și să caute dinainte factorii de risc,
- să informeze pacientul asupra riscurilor probabile;
- să se asigure că pacientul are o pregătire adecvată în raport cu tipul investigației;
- să verifice dacă alegerea produsului de contrast este conformă cu practicile reco-mandate;
- să se asigure că modalitățile de injectare sunt conforme bunelor practici (calea de injectare, doza, intervalul dintre doze);
- să se asigure că pacientul supraviețuiește după injectarea contrastului;
- să se asigure asupra posibilităților de tratare a reacțiilor secundare;
- să posede toate mijloacele tehnice și de procedură pentru a putea trata un eventual accident.

LUCRAREA PRACTICĂ NR.2

RADIODIAGNOSTICUL APARATULUI RESPIRATOR

2.1. Metode de investigație ale aparatului respirator.

2.2. Anatomia radiologică a arborelui traheo-bronșic și a plămânilor în diverse incidențe.

2.3. Vascularizația pulmonară.

2.4. Segmentația pulmonară.

2.5. Imaginea toracică normală.

2.6. Simptome clinice de bază în stabilirea diagnosticului pozitiv radiologic.

2.7. Leziuni elementare pleuro-pulmonare.

2.8. Sindroamele radiologice toraco-pleuro-pulmonare.

2. RADIODIAGNOSTICUL APARATULUI RESPIRATOR

2. 1. Metode de investigație ale aparatului respirator

Investigația radiologică a afecțiunilor pulmonare dispune de un număr de metode de examinare, care se completează reciproc prin informațiile furnizate, dacă metodele respective au fost aplicate corect și cu competență.

2. 1. 1. Examenul radioscopic televizat

Constituie metoda principală de examinare a toracelui.

Datele pe care le oferă privesc starea de ansamblu a cutiei toracice, participarea ei la mișcările respiratorii, starea apexurilor pulmonare, starea regiunilor hilare (pulsatiile vaselor), starea regiunii bazelor pulmonare (mobilitatea diaframelor și aspectul sinusurilor cardio și costodiafragmatice).

Este un examen a cărui valoare este în funcție de pregătirea profesională a celui care îl efectuează.

2. 1. 2. Examenul radiografic simplu

Reprezintă transpunerea pe un film radiografic medical a imaginii radioscopice. Ca și examenul radioscopic prezentat mai sus, examenul radiografic se poate efectua fără substanțe de contrast (aparatură respirator oferă un contrast natural) sau se pot asocia și substanțe de contrast, procedându-se la efectuarea de radiografii în diferite incidențe (AP, PA, profil, oblice, etc.).

2. 1. 3. Examenul angiografic

Constă în injectarea în arborele vascular a contrastului:

- opacifierea arterelor pulmonare se realizează **angio-pneumografia**,
- opacifierea venelor - **flebografia**
- prin opacifierea vaselor limfatice - **limfografia**.

Necesită o pregătire adecvată a bolnavului (în vederea prevenirii accidentelor alergice la substanțele de contrast), examinarea efectuându-se în echipă și cu o aparatură performantă.

2. 1. 4. Examenul bronhoscopic și bronhografic

Reprezintă o metodă prin care se vizualizează lumenul endobronșic, fiind însoțită sau nu de administrarea de contrast; anestezia mucoasei bronșice suprimă reflexul de tuse și implicit contrastul introdus în bronșii opacifiază arborele traheo-bronșic.

2. 1. 5. Examenul scintigrafic pulmonar

Constă din injectarea i.v. a unor particule marcate radioactiv și detectarea externă a radiației gama emisă de acestea în urma distribuției și localizării la nivelul sistemului arterio-capilar pulmonar. Avantajele de ordin fizic și radio-biologic ale **Technețiului (Tc-99m)**, au impus înlocuirea utilizării iodului și indiului.

Actualmente cea mai largă utilizare chimică o are Tc-99m sub formă de macroagregate de albumină umană (Tc-99mMAA).

2. 1. 6. Examenul digrafic

Se realizează prin efectuarea pe același film radiografic a două expuneri (una în expirație și una în inspirație), pentru a putea aprecia mobilitatea diaframelor și cutiei toracice.

2.1.7. Examenul prin tomografie computerizată

Este o metodă radiologică ce utilizează pentru analiza structurilor anatomice un fascicol de raze X, care traversează corpul de radiografiat ; după traversarea corpului cantitatea de radiații X atenuată (datorită absorbției) este preluată de un ansamblu de detectori, în coroană care au în componența lor un cristal ionizabil, care prin efectul de scintilație transformă energia fonică într-o cuantă de lumină. Cuanta de lumină este apoi transformată într-un microcurent electric, iar acesta este amplificat (**semnal analogic**) și transmis sub forma unei informații numerice unei unități de calcul (**semnal digital**).

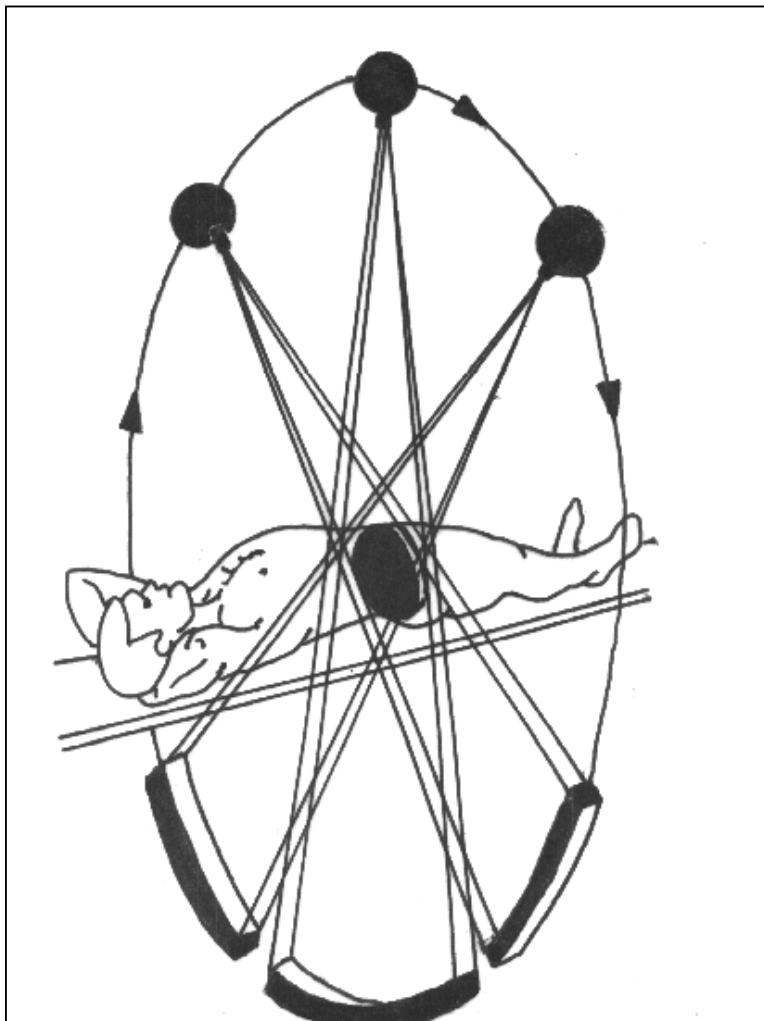


Fig. 2.1. Ansamblul sursă-detectori se rotește 360° în jurul regiunii de examinat; fascicolul de raze X, puternic colimat, traversează regiunea respectivă, cantitatea de raze X atenuată datorită absorbției, fiind preluată de detectori dispuși în coroană, conținând gaze nobile, transformând energia fonică în cuantă de lumină ; cuanta de lumină este transformată în micro curent electric, iar aceste este amplificat (**semnal analogic**) și transmis sub formă de informație numerizată unei unități de calcul (**semnal digital**) ; unitatea de calcul, prin prelucrări construiește

În unitatea de calcul, după mai multe prelucrări pe calculator, informația numerică primită este afișată pe un monitor TV sub forma unei „pete” de culoare gri, care are dimensiunile strict proporționale cu cele ale punctului imaginar care i-a dat naștere și a cărei intensitate este direct proporțională cu intensitatea fascicolului primit de cristalul de scintilație sau gazul nobil (xenon).

Există o scară de nuanțe de gri, **scara Hounsfield** care se extinde de o parte și de alta a valorii 0 (care este densitatea apei), cu valori cuprinse între -1000 (densitatea aerului) și +1000 (densitatea compactei osoase).

2. 1. 8. Examenul prin rezonanță magnetică

Explorarea prin rezonanță magnetică are la bază fenomenul de rezonanță magnetică nucleară pentru care în 1952 cercetătorii americani Block și Purcell au fost distinși cu premiul Nobel pentru fizică.

După ce bolnavul a fost așezat pe masa de examinare, acestuia i se atașează un dispozitiv special numit **antena emițătoare-receptoare de radio frecvență**, a cărei conformație este în funcție de regiunea explorată.

După ce a fost introdus în magnet, se efectuează (pe baza unor parametri de lucru specifici metodei) secțiuni în trei planuri respectiv, axial, sagital și coronal (localizatoare) care vor servi la efectuarea explorării propriu-zise pe baza alegerii unor noi parametri de explorare.

Prin antena emițătoare-receptoare se aplică un impuls de radiofrecvență în zona explorată, impuls care este apoi recepționat de pe fiecare punct al suprafeței secțiunii, transmis sub formă de semnal computerului care construiește imaginea și o afișează pe monitor prin prelucrare digitală.

Intensitatea semnalului poate fi crescută, egală sau scăzută, respectiv se vorbește de **hipersemnal**, **izosemnal**, **hiposemnal** care este specific pentru țesutul muscular, grăsos, osos, etc.

2.2. Anatomia radiologică a arborelui traheo-bronșic și a plămânilor în diverse incidențe

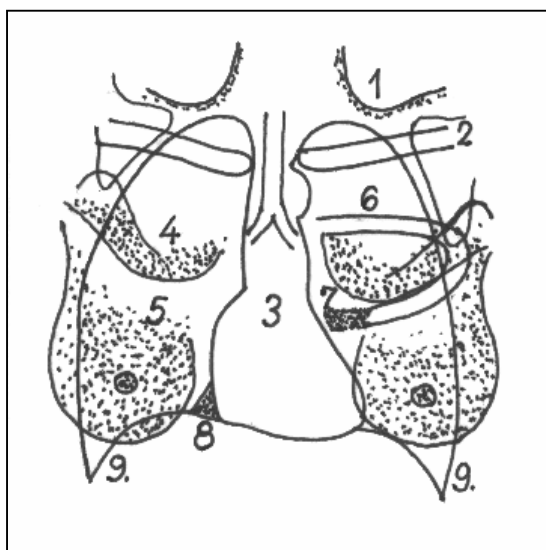


Fig. 2.2. Teleradiografie toracică în incidență postero-anterioară – părțile moi, toracice și scheletice:

1 – pliul cutanat al bazei gâtului, 2 – clavicula, 3 – cordul și vasele de la baza lui, 4 – mușchiul mare pectoral cu pliul cutanat al peretelui anterior al axilei, 5 – glanda mamară cu mamelonul, 6 – arcul costal posterior, 7 – arcul costal anterior, 8 – ligamentul freno-pericardic drept, 9 – sinusurile costo-diafragmatice.

2.2.1. Radiografia toracică standard în incidența de față (postero-anterioară)

Imaginea plămânilor și mediastinului au suprapuse peste ele elementele conținătorului toracic, format din scheletul toracic și părțile moi.

Scheletul toracic este format din coloana dorsală, stern, coaste și clavicule; uneori se poate observa o parte din cei doi omoplați.

Imaginea sternului și a coloanei toracale apar suprapuse cu opacitatea mediastinului.

Coastele se proiectează sub forma a două arcuri: unul anterior (cu marginea superioară concavă cranial și cea inferioară concavă caudal - adică invers față de cele anterioare).

Claviculele au extremitatea sternală simetrică față de coloana vertebrală, simetria fiind element de control al bunei centrări a radiografiei toracice.

Părțile moi ale conținătorului toracic sunt reprezentate de mușchiul sterno-cleido-mastoidian (care realizează cu tegumentul ce se reflectă din fosa supraclaviculară „V”-ul apical), mușchii pectorali, sânii și mameloanele.

Caudal, limita inferioară este dată de diafragm.

De o parte și de alta a opacității mediastinale se proiectează cele două arii transparente date de cei doi plămâni. Se disting un contur drept și un contur stâng, format din două și respectiv trei arcuri (vezi ortocardiograma normală). La baze, mediastinul formează niște unghiuri cu diafragmul-sinusurile costo-diafragmatice.

Transparența celor două câmpuri pulmonare diferă în cele 3 teritorii concentrice, de la hil la periferie, în funcție de componenta vasculară și interstițială pulmonară.

2.2.2. Radiografia pulmonară în incidență de profil (latero-laterală)

Ne pune în evidență plămânii suprapuși, imaginea lor fiind sumată în parte cu mediastinul și conținătorul toracic: anterior imaginea este delimitată de stern, posterior de coloana vertebrală și arcurile costale posterioare; musculatura scapulo-humerală și cei doi omoplați acoperă și maschează imaginea vârfurilor pulmonare.

Opacitatea dată de cord și marile vase ocupă o mare parte din imaginea de profil, delimitând două spații - **spațiul retrosternal (al lui Grawitz)** și **spațiul retrocardiac (al lui Holzknecht)**.

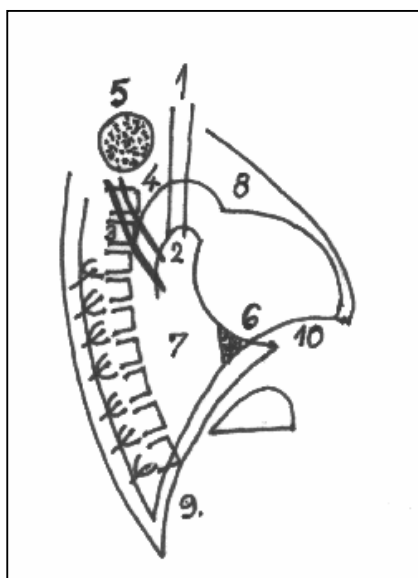


Fig. 2.3. Teleradiografie toracică în incidență de profil:

1,2 – claritate traheală, 3,4 – omoplați, 5 – capul humeral, 6 – ligamentul freno-pericardic și vena cavă inferioară, 7 – spațiul clar retrocardiac, 8 – spațiul clar retrosternal, 9 – cupola diafragmatică stângă, 10 – cupola diafragmatică dreaptă

Cele două hemidiafragme, cu convexitatea dispusă cranial, realizează cu pereții toracici sinusurile costo-diafragmatice - anterior și posterior.

Situată deasupra opacităților cordului, crosa aortică formează sub ea fereastra aortică în care sunt proiectate elementele suprapuse ale hilurilor pulmonare.

2.2.3. Radiografia toracică în incidențele oblice OAD și OAS (cu incidențele complementare OPD și OPS)

Reprezintă incidențe în care bolnavul are o poziție oblică anterioară sau posterioară (dreaptă sau stângă) față de planul filmului, realizându-se un unghi de 45-55° (vezi radiodiagnosticul aparatului cardiovascular).

2.3. Vascularizația pulmonară

Vascularizația pulmonară are o dublă sursă, reprezentată de mica circulație (ramificațiile arterelor și venelor pulmonare) și de vascularizația sistemică (arterele și venele bronșice).

2.3.1. Trunchiul arterei pulmonare

În porțiunea sa inițială se confundă cu opacitatea mediastinală (vezi și capitolul de cord).

Marginea sa stângă formează o parte din arcul mijlociu al conturului stâng al opacității mediastinale, ramificându-se în artera pulmonară dreaptă și artera pulmonară stângă.

Artera pulmonară dreaptă realizează o imagine de crosă, având sub ea un spațiu clar, inter-cardiohilar : **spațiul Delherm-Chaperon**.

Artera pulmonară stângă este în parte mascată de trunchiul arterei pulmonare, fiind situată mai sus decât cea dreaptă. Cele două artere se divid dichotomic, până la periferie, unde în 1/3 externă nu mai pot fi urmărite (mantaua pulmonară Felix).

Pe radiografia de profil cele două artere pulmonare se proiectează în fereastra aortică, suprapuse, cu un mic decalaj între ele.

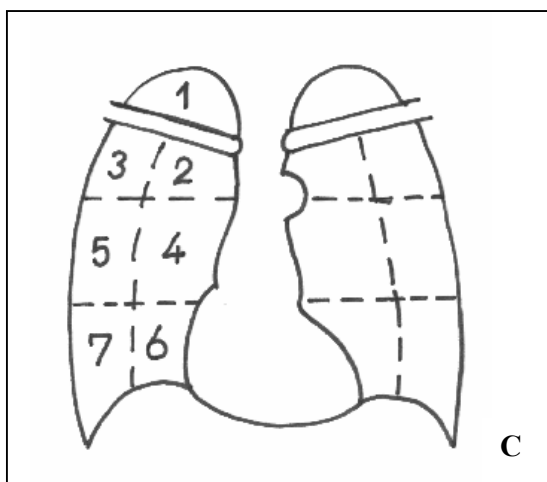
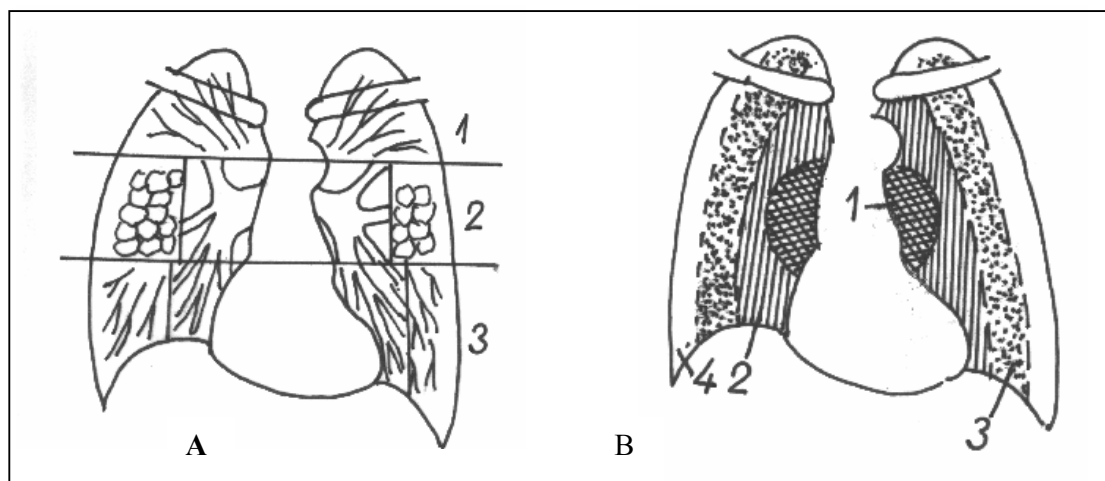


Fig 2.4. A - structura vascularizației pulmonare:

1 – nucleul central hilar, 2 – rețeaua primară, 3 – rețeaua secundară, 4 – mantaua lui Felix ;

B - individualizarea desenului pulmonar după regiuni topografice :

1 – regiunea vârfulor, 2 – regiunea hilurilor, 3 – regiunea bazelor ;

C - împărțirea topografică regională a ariilor pulmonare – divizarea câmpurilor pulmonare :

1 – regiunea vârfului supra-claviculară, 2,3 – regiunea infraclaviculară, 4,5 – regiunea hilară și axilară, 6,7 – regiunea bazei (bază medială și bază externă).

Desenul pulmonar propriu-zis este alcătuit din rețeaua principală și secundară. Periferia mantiei pulmonare pe o lățime de 1-2 cm este cunoscută sub numele de mantaua lui Felix.

Desenul pulmonar se instituie la naștere. El prezintă unele varietăți și tipuri:

- tipul normal sau magistral;
- tipul cu vase largi sau tipul bogat;
- tipul cu vase subțiri sau tipul sărac (inversul precedentului);

- tipul cu vase axiale;
- tipul cu imagini inelare și curbilinii.

Individualizarea desenului pulmonar, după regiuni topografice:

- la vârf - aspect de evantai;
- în regiunea mijlocie a câmpurilor pulmonare - rețeaua secundară;

Topografic, ariile pulmonare pot fi împărțite convențional în sens vertical în trei etaje, separate prin două linii orizontale, paralele, care sunt tangente la arcurile costale, anterioare 2 și 4 sau care trec prin polul superior, respectiv inferior al hilurilor pulmonare (fig. 2.5. C).

2.3.2. Rețeaua venoasă pulmonară

Au traiecte mai rectilinii, la distanță de bronșii și de arterele pulmonare pe care le însoțesc. Ele converg radiar spre atriul stâng și realizează raporturi anatomice diferite față de elementele arteriale: la polul superior al hilului venele apar lateral și inferior de artere, iar la polul inferior ele întretaie orizontal traiectul vertical al arterelor.

În incidența de profil, venele se află în fața arterelor, aspect vizibil de altfel la pneumoangiografie.

Caracterele normale ale desenului pulmonar:

- hilurile pulmonare au formă de virgulă, cel stâng fiind mai sus situat;
- vasele se divid spre periferie în câte două ramuri - dichotomic;
- opacitatea vasului este omogenă pe tot traiectul;
- conturul vasului este regulat, fiind bine precizat;
- calibrul se reduce treptat spre periferie, desenul pulmonar dispărând în treimea externă, realizând mantaua pulmonară;
- cele două câmpuri pulmonare prezintă caractere simetrice ale desenului pulmonar;
- pe angiocardiografie, desenul pulmonar se suprapune pe arterele opacificate cu substanță de contrast.

2.4. Segmentația pulmonară

Segmentația pulmonară este în strânsă legătură cu ramificațiile arborelui bronșic și ale arterelor pulmonare, realizând unități de formă piramidală cu vârful spre hil și baza la periferie.

2.4.1. Segmentația pulmonară pe dreapta

Realizează următoarele aspecte, pe cei trei lobi:

lobul superior	segmentul apical
	segmentul dorsal
	segmentul ventral
	segmentul axilar
lobul mediu	segmentul lateral
	segmentul medial
lobul inferior	segment apical (Fowler)
	segmentul bazal anterior
	segmentul bazal medial
	segmentul bazal lateral

	segmentul posterior	bazal
--	------------------------	-------

2.4.2. Segmentația pulmonară pe stânga

La nivelul lobului superior însumează segmentele lobului superior și mijlociu drept: culmenul cu segmentele apical, anterior și posterior, lingula cu segmentele superior și inferior.

La nivelul lobului inferior stâng segmentația este identică cu cea a lobului inferior drept, lipsind segmentul bazal-medial, în locul lui având cordul.

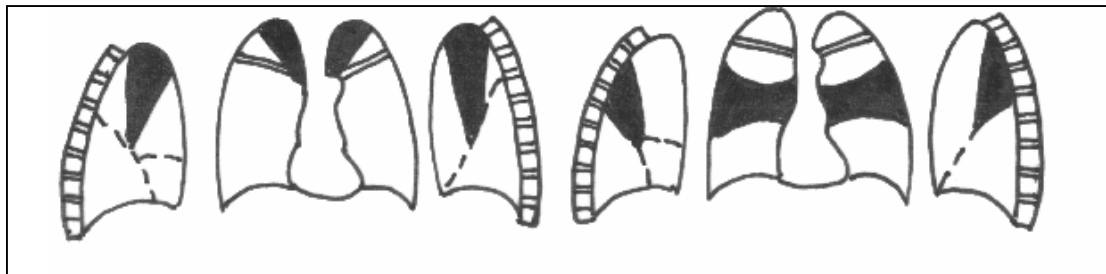


Fig. 2.5. Segmentul apical al lobului superior drept și stâng

Fig. 2.6. Segmentul dorsal al lobului superior drept și stâng

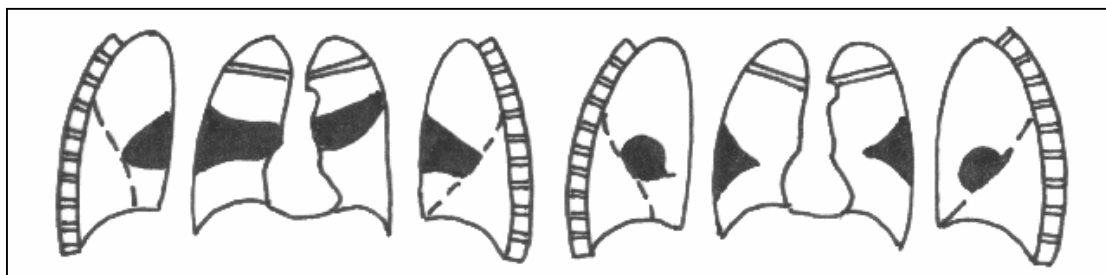


Fig. 2.7. Segmentul ventral al lobului superior drept și stâng

Fig. 2.8. Segmentul axilar al lobului superior drept și stâng

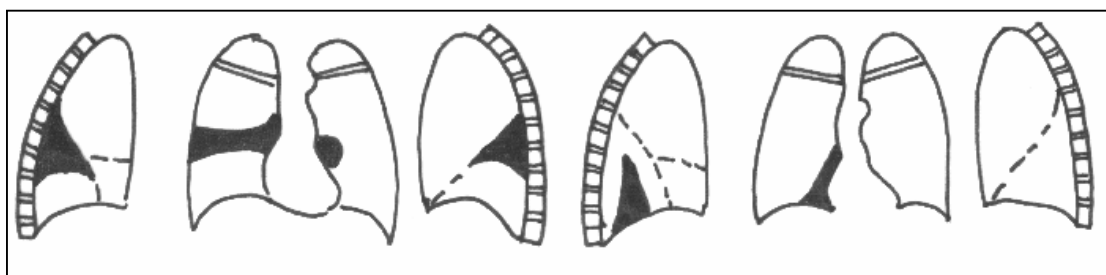


Fig. 2.9. Segmentul lateral din lobul mijlociu drept și lingular superior stâng

Fig. 2.10. Segmentul paracardiac al lobului inferior drept, fără echivalență pe stânga

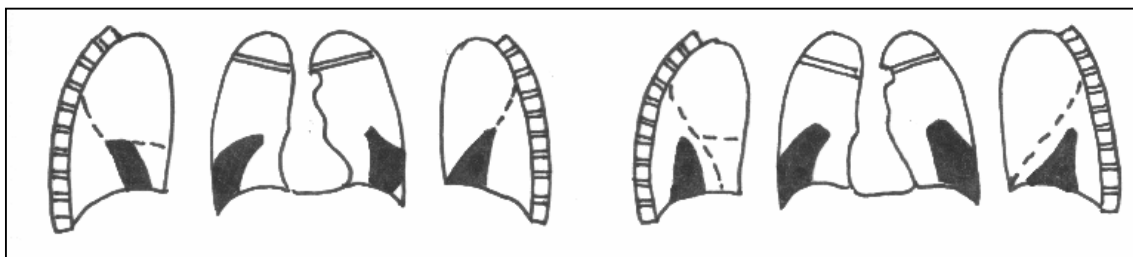


Fig. 2.11. Segmentul apical al lobului inferior drept și stâng

Fig. 2.12. Segmentul medial din lobul mijlociu drept și lingular inferior stâng

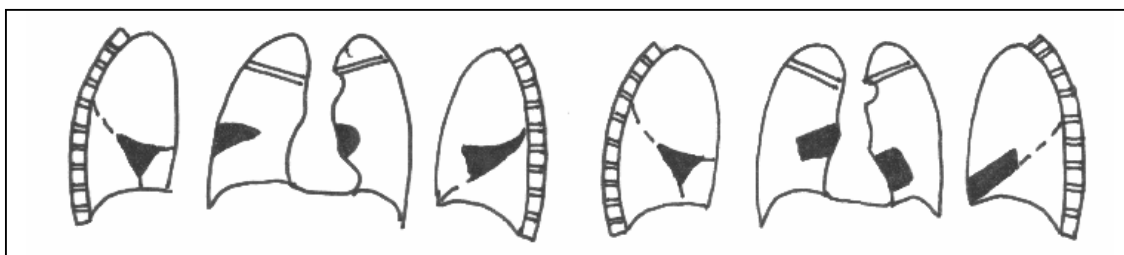


Fig. 2.13. Segmentul bazal anterior al lobului inferior drept și stâng

Fig. 2.14. Segmentul bazal extern al lobului inferior drept și stâng

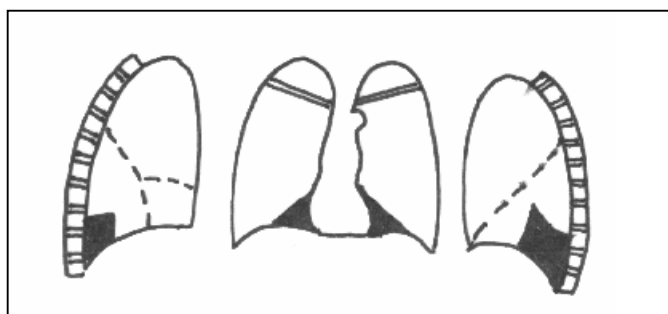


Fig. 2.15. Segmentul bazal posterior al lobului inferior drept și stâng

2.4.3. Lobii supranumerari

Consecința scizurilor supranumerare:

- lobul venei azygos dat de mezoul bulbului venei azygos ectopice - **pseudolobul lui Wrisberg**
- **lobul Fowler** prin scizura Devé
- **lobul cardiac** prin scizura medială.

2.5. Imaginea toracică normală**2.5.1. Planul de examinare**

Cuprinde:

- **identificarea regiunii radiografiate,**
- **punerea în poziție,**
- **descrierea propriu-zisă.**

Repere pentru punerea în poziție normală:

- semnul de dreapta sau stânga (sau right/left),
- conturul opacității mediastinale pe dreapta și pe stânga (vezi ortocardiograma normală),
- aspectul hilurilor pulmonare,
- poziția hemidiaframelor,
- prezența camerei cu aer a stomacului pe stânga și a opacității ficatului pe dreapta.

În mod convențional; ariile pulmonare au fost împărțite prin trasarea unor linii convenționale care trec prin limita superioară, respectiv inferioară a hilurilor pulmonare (sau tangenta la arcul costal anterior II și IV):

Treimea superioară (regiunea vârfurilor pulmonare)	împărțită în două de claviculă - porțiunea supraclaviculară și cea infraclaviculară
treimea medie (regiunea hilurilor pulmonare)	porțiune medială și una laterală
regiunea bazelor	dată de treimea inferioară putând avea și ea o porțiune medială și una laterală

Leziunile elementare pleuro-pulmonare vor fi descrise pe baza criteriilor:

- **stabilirea naturii leziunii (opacitate?, transparență?, imagine mixtă?)**
- **localizarea topografică (pulmon drept, stâng, regiunea bazelor?, vârfurilor? etc.)**
- **forma leziunii - se va exprima în figuri geometrice**
- **conturul leziunii - precis/imprecis delimitat**
- **dimensiunile leziunii - în mm/cm**
- **structura - omogenă?, neomogenă?**
- **intensitatea - mică?, medie?, mare?**
- **raportul cu elementele anatomice de vecinătate sau alte leziuni din jurul imaginii patologice.**

2.5.2. Sursele de eroare ale imaginii toracice normale

Generate de elementele scheletului toracic	malformații costale
	cartilaje costo-sternale calcificate
	omoplații proiectați în câmpurile pulmonare;
	tubercul costal gigant.
Generate de părțile moi	musculatura toracică
	sânii mari
	sânii femeilor tinere
	sânii femeilor în vârstă
	sânul amputat

Generate de alte elemente anatomice și patologice extra și intrapulmonare	pneumosânul
	mamelonele scleroase
	emfizemul subcutanat
	nevii pigmentari toracici
	ganglioni cervicali calcificați
	gușa plonjantă calcificată
	opacitatea mușchiului sternocleidomastoidian
	ligamentul costo-pericardic
	punga de grăsime de la apexul cordului
	megaesofagul
	scolioza coloanei dorsale
	elemente vestimentare
	părul mare și lung
	barbă mare la bărbați
	pete de contrast pe ecran

2.6. Leziunile elementare pleuro-pulmonare

1. opacități	2. transparente	3. imagini mixte (opacități+transparente)
--------------	-----------------	---

2.6.1. Opacitatea

Reprezintă scăderea transparenței pulmonare produsă de o modificare patologică care absoarbe o cantitate mai mare de raze X (scăderea până la dispariție a aerului din alveole).

1. Sediul:

- regiunea câmpului pulmonar afectat (vârf, hil, bază)
- localizarea topografică în funcție de lobi, segmente, scizuri.

Localizarea mai poate fi precizată și pe baza unor semne radiologice:

- **semnul Bernou:** stabilirea apartenenței unor opacități la plămân sau la elementele învecinate (perete toracic, diafragm, mediastin) după aspectul unghiului de contact.

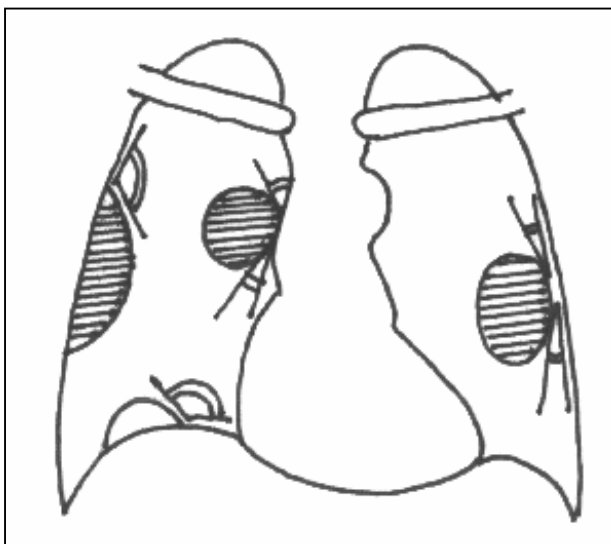


Fig 2.16. Semnul Bernou : stabilirea apartenenței unei opacități la plămâni sau la elementele învecinate, după aspectul unghiului de contact – opacitățile parenchimatoase fac unghi ascuțit cu zona de contact, iar opacitățile ce aparțin zonei de contact, fac unghi obtuz.

- **semnul siluetei:** ține cont de legea sumăției și incidențelor tangențiale și permite localizarea unor opacități în plan sagital pe radiografia de față, sau în plan frontal pe radiografia de profil, în

funcție de situația topografică a unor elemente anatomice din cutia toracică. Astfel conturul unei opacități este bine precizat dacă în jurul ei se află un alt mediu de absorbție (aer alveolar).

Dacă cele două opacități care au același indice de absorbție vin în contact, contururile lor se șterg datorită contopirii lor. O pneumonie de lob mediu care vine în contact cu marginea dreaptă a cordului, va șterge acest contur, în vreme ce o pneumonie de lob inferior nu-l va șterge, deoarece lobul mediu conține aer și astfel silueta cordului va fi pusă în evidență.

- **semnul cervico-toracic** este tot un semn al siluetei: o opacitate care lărgeste mediastinul superior aparține regiunii cervicale dacă își pierde conturul supraclavicular, iar dacă și-l continuă este situată în vârful plămânului.

- **semnul superpoziției hilare** se referă la vizualizarea arterelor din hil: în cazul când cordul este mărit, vasele sunt înglobate progresiv în cord și nu se mai văd; la fel și adenopatiile care înglobează vasele, vor șterge contururile, spre deosebire de altă opacități dispuse anterior sau posterior de hil (și care se vor vizualiza pe un clișeu dur).

- **brohnoograma aeriană** corespunde vizualizării bronșiilor din parenchimul pulmonar ale cărui alveole devin opace în cadrul sindromului de umplere alveolară; vizualizarea unor alveole aerate pe fondul unor alveole opace, realizează alveograma aeriană.

2. Numărul:

- unice sau multiple
- pe unul sau ambele câmpuri pulmonare.

3. Forma:

- rotunde;
- ovalare, cu diametre între 1-6 cm;
- neovalare, având diametrul sub 1 cm, cu aspect rotund, poligonal sau neregulat;
- segmentare/lobalare când intersectează un lob sau un segment (opacități sistematizate);
- lineare când sunt situate în interstițiul extralobular sau lobular, în scizuri și pleură, în procese infiltrative;
- reticulare când sunt produse de opacități lineare care se întretaie, formând o rețea;
- poliociclice (adenopatii tumorale)
- stelate când denotă procese cicatriciale.

4. Dimensiunile: după dimensiuni opacitățile pot fi:

- **opacități nodulare mici:**

	Simbol	Diametru
Punctiforme	p	până la 1, 5 mm
Miliare	q (m)	1,5-3 mm
Nodulare	r(n)	3-10 mm

Apar în: pneumoconioze, tuberculoză, carcinoză pulmonară.

- **opacități mari** care pot fi:

	Dimensiune
Categoria A	diametru între 1-5 cm
Categoria B	mai mari decât cele macronodulare a căror suprafață totală nu depășește o treime dintr-un câmp pulmonar

Categoria C	depășesc mai mult de o treime dintr-un câmp pulmonar
-------------	--

Apar în: TBC, pneumonii, bronhopneumonii, metastaze, etc.)

5. Conturul:

- **net, bine delimitat** (ex. chist hidatic) ;
- **net și linear**, prin delimitarea perfectă printr-o linie continuă (ex.: pleurezia închistată) ;
- **difuz, imprecis delimitat** (ex.: congestia pulmonară) ;
- **invadat**, cu penetrarea în structurile din jur (ex.: cancerul exobronșic).

6. Structura

- omogenă
- neomogenă

7. Intensitatea – (consecința directă a absorbției razelor X de către elementele anatomice traversate, normale sau patologice):

- mică (voalare)
- medie (transpar coastele, asemănătoare intensității opacității mediastinale)
- mare (depășește intensitatea opacității mediastinale).

8. Raporturile și relațiile cu elementele morfologice din jur:

- tracționate (fibrotorace), aspirate (atelectazie),
- comprimate
- deplasate prin împingere (fluidotorace masiv).

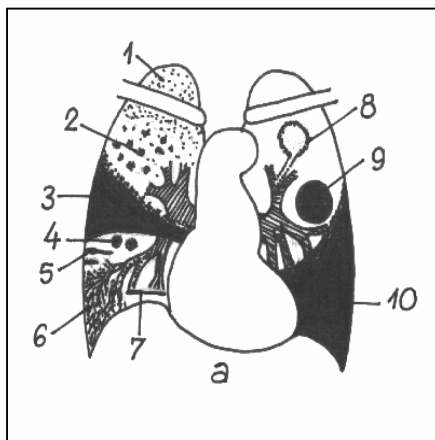


Fig. 2.17. Leziuni elementare pleuro-pulmonare:

1-opacități miliare, 2-opacități micronodulare, 3-opacitate segmentară, 4-opacități nodulare, 5-opacități liniare, 6-opacități reticulare, 7-atelectazie lamelară, 8-cavernă drenată, 9-opacitate macronodulară, 10-pleurezie exudativă

2.6.2. Transparențele pulmonare

Localizare: în țesut pulmonar și/sau patologic.

- localizate, circumscrise, precis delimitate prin perete propriu
- difuze, imprecis conturate.

2.6.2.1. Hipertransparențele circumscrise

- congenitale
- dobândite.

Apar prin:

- proces de distrucție și eliminare a parenchimului pulmonar dintr-o anumită zonă (ex.: cavernă, abces pulmonar total evacuat)
- mecanism de hiperinflație alveolară cu ventil de tip expirator (bule de emfizem)

Mărimea: diferită

Forma: diferită

Grosimea peretelui:

- subțire - natură congenitală
- gros - proces dobândit.

2.6.2.2. Hipertransparențele difuze

Creșterea transparenței celor două câmpuri pulmonare pe:

- anumită zonă, fără o delimitare precisă
- plămân întreg

Caracteristici	Diagnostic
extinse, fără desen pulmonar cu localizare latero-toracică	- pneumotorace
difuze, cu desen pulmonar prezent, unilaterale sau bilaterale	- emfizem obstructiv - astm bronșic în criză

2.6.3. Imaginile mixte sau imaginile hidro - aerice

Combinație a celorlalte două leziuni elementare prezentate mai sus (opacități + transparente).

Sistematizate	aspect tipic radiologic de imagine hidro-aerică, compusă din opacitate lichidiană și hipertransparență deasupra ei, separate de un nivel care se menține orizontal, indiferent de poziția bolnavului
Nesistematizate	nu prezintă caracteristicile celor precedente; asocierea opacitate-hipertransparență poate lua cele mai deosebite forme și aspecte

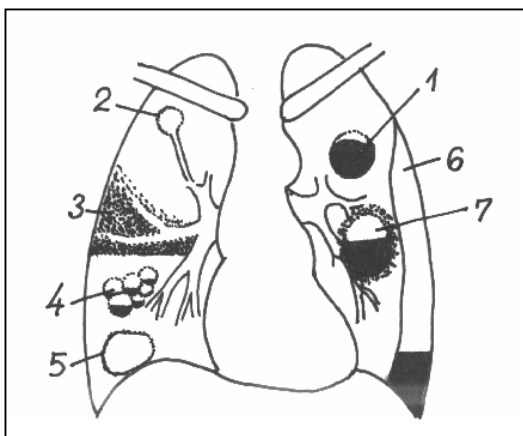


Fig 2.18. Hipertransparențe circumscrie:

1-chist hidatic fisurat, 2-cavernă cu bronhie de drenaj, 3-bronhogramă aeriană pe fond de pneumonie, 4-plămân polichistic suprainfectat, 5-chist aerian congenital, 6-fluido-pneumotorace laterotoracic stâng, 7-abces pulmonar după vomică.

2.7. Sindroamele radiologice toraco-pleuro-pulmonare

Are loc afectarea patologică predominantă a unor elemente structurale pulmonare (alveole, bronșii, interstițiu, vascularizație, pleură).

2.7.1. Sindromul de umplere alveolară.

- unitatea anatomică elementară - **acinul**
- dispariția aerului alveolar dintr-o porțiune mai mult sau mai puțin extinsă a parenchimului pulmonar și înlocuirea lui prin lichid exudat – de natură inflamatorie sau alergică, transsudat, sânge, lichid de aspirație) sau proliferarea celulară, de densitate hidrică
- opacitate pulmonară datorată confluenței și sumăției opacităților alveolare

	Diagnostic	Caracteristici
Localizate	pneumonie	caracter sistematizat, prin extensie segmentară sau lobară, când delimitarea lor devine netă prin scizura care le oprește extinderea
Difuze	edem pulmonar alveolar	nu vor mai respecta sistematizarea bronhopulmonară

- prezintă bronhogramă sau alveologramă aeriană.

Se întâlnește în:

- pneumonia alveolară
- bronhopneumonie
- edem pulmonar alveolar
- infarctul pulmonar

2.7.2. Sindromul bronșic.

Leziuni ale pereților bronșici sau obstrucție a lumenului.

- îngroșarea pereților bronșici - inel cu perete gros (în proiecție ortogradă) sau ca opacitate linară, pe traiectul bronșiei.
- stenoza bronșică - modificările caracteristice stenozei inspiratorii, expiratorii sau mixte.
- obstrucția bronșică (de cauză intrinsecă, mai frecventă, sau extrinsecă) - resorbția aerului din teritoriul tributar bronșiei respective și la apariția unei opacități pulmonare retractile.

Opacitățile pulmonare retractile

Mecanisme fiziopatologice:

➤ **Opacități pulmonare retractile prin obstrucție bronșică (atelectazia resorbtivă):**

Cauze:

- de natură mecanică (corp străin, cancer bronhopulmonar, adenopatii etc.)
 - de natură reflexă (spasm al parenchimului pulmonar)
 - prin hipoventilație alveolară (intoxicații cu morfină, barbiturice, decubit dorsal prelungit etc.).
- Datorită obstrucției bronșice teritoriul tributar acestei bronșii nu va mai fi ventilat, iar aerul din alveole se resoarbe în sânge.
 - Alveolele se colabează printr-un act reflex ce produce o contracție a fibrelor elastice și musculare din pereții bronșiolelor și alveolelor.
 - Dacă persistă mai mult timp, apare un edem de origine capilară.

Simptomatologie - în funcție de mărimea teritoriului atelectatic

Atelectazii - mici - nu apar simptome

- mari - dispnee și retrații costale.

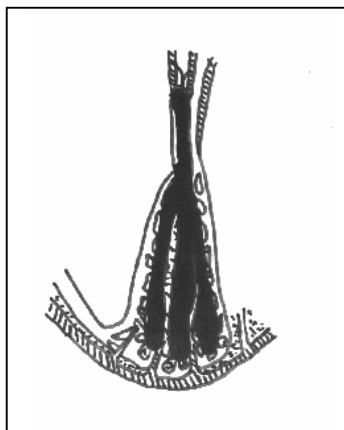


Fig 2.19. Atelectazie resorbtivă
prin obstrucție mecanică (corp străin, cancer, adenopatii) și prin hipoventilație alveolară (intoxicații cu morfină, barbiturice, decubit dorsal prelungit etc)

Aspectul radiologic - depinde de sediul obstrucției bronșice (lobară, segmentară sau subsegmentară) precum și de starea ventilației colaterale.

Semnele radiologice directe	Opacitate omogenă sistematizată (lobară sau segmentară)
	fără bronhograma aeriană
	bine delimitată
	Margini mai mici decât regiunea normală respectivă
Semnele radiologice indirecte (în funcție și de mărimea bronșiei obturate)	deplasarea organelor mediastinale (trahee, cord, esofag) spre opacitate
	pendularea inspiratorie a mediastinului spre opacitate, vizibilă radiosopic
	ridicarea cupolei hemidiafragmului respectiv
	modificarea poziției și formei hilului prin atragerea lui spre opacitatea atelectatică
	hiperinflație pulmonară de vecinătate și micșorarea spațiilor intercostale în zona de atelectazie

Formă particulară - atelectazia în bandă (Fleischner).

Describe în:

- afecțiuni pulmonare (pneumopatii, tumori)
- extrapulmonare (peritonite, tumori abdominale),

Dispar o dată cu afecțiunea cauzală.

Radiologic: benzi opace, de obicei orizontale sau oblice, cel mai des supradiafragmatic.

Patogenia: obstrucția ramurilor bronșiolelor terminale nu dă de obicei atelectazie, deoarece plămânul din afara zonei de obstrucție fiind bine ventilat, prin comunicările cu alveolele vecine, sunt ventilate și alveolele din zona cu obstrucție. Când însă se constată o diminuare generală a ventilației pulmonare, apar mici arii de atelectazie, deoarece și alveolele din jurul focarului obstruat au o ventilație deficitară.

➤ **Colapsul pulmonar de cauză pleurală (atelectazia pasivă).**

Colaps = teritoriu pulmonar cu conținut aerian scăzut datorită unei compresiuni extrapulmonare sau extraalveolare, ce va produce colabarea parenchimului pulmonar, comunicarea cu exteriorul fiind însă liberă.

- Reducerea volumului alveolar > hipotransparență în regiunea respectivă, fără a se respecta sistematizarea pulmonară.

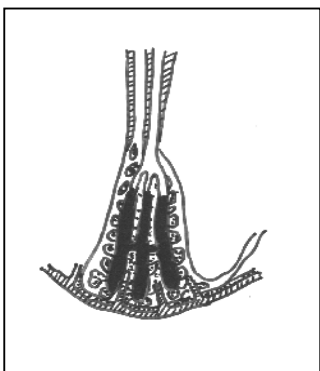


Fig 2.20. Atelectazie pasivă :
conținut aerian scăzut prin
compresie extra-pulmonară și extra-
alveolară, cu colabare de parenchim
pulmonar dar comunicare cu
exteriorul liberă

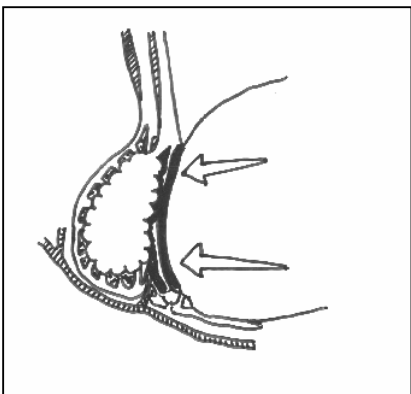


Fig 2.21. Atelectazie compresivă
datorită vecinătății cu procese
expansive pulmonare sau
mediastinale, care au tendință de
expansiune și creștere în volum
cu colabarea alveolelor din
imediata vecinătate.

Se întâlnește în: pneumotorace, colecții pleurale, toracoplastie.

➤ **Colapsul pulmonar prin compresiune (atelectazia compresivă).**

- Localizat, în jurul unei opacități (tumoră pulmonară sau mediastinală) sau transparente (bula de emfizem, chist aerian) care au tendința la expansiune, la creșterea în volum și prin aceasta colabează alveolele din jur.

➤ **Colapsul pulmonar prin fibroza pulmonară cicatricială (atelectazia cicatricială).**

- Apare datorită tendinței retractile și de organizare scleroasă în diferite procese fibroase localizate sau difuze (cicatrici tuberculoase, postsupurative, fibroze mutilante difuze etc.).

➤ **Colapsul pulmonar prin creșterea tensiunii superficiale la nivelul pereților alveolari (atelectazia adezivă).**

- Prin lipsa surfactantului sau inactivarea lui, va crește tensiunea superficială la nivelul pereților alveolari, determinând colabarea alveolelor.

Apare în: boala membranelor hialine a nou-născutului sau în pneumo-patiile post-iradiere.

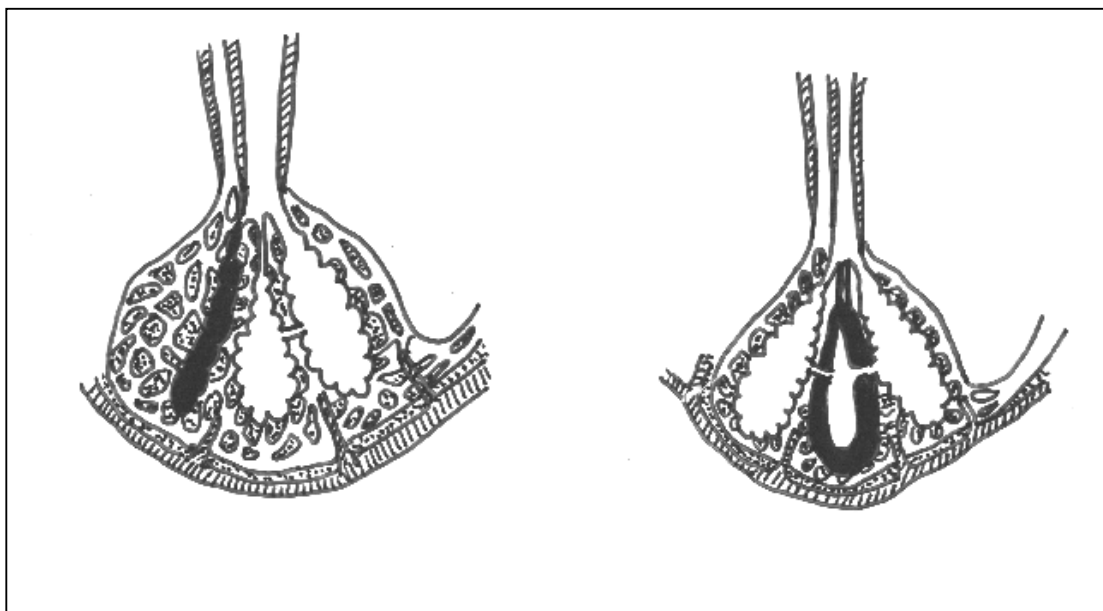


Fig. 2.22. Atelectazie cicatriceală

Fig. 2.23. Atelectazie adezivă

2.7.3. Sindromul interstițial.

Reprezintă ansamblul modificărilor radiologice produse prin îngroșarea țesutului interstițial pulmonar produsă prin edem interstițial, de diferite cauze.

Radiologic:

- aspectul de “sticlă mată”
- aspectul reticular
- aspectul nodular
- aspectul reticulo-nodular
- aspectul de “fagure de miere”.

Caracterele radiologice comune în sindromul interstițial:

- topografia difuză, fără sistematizare
- conturarea netă
- densitatea slabă
- lipsa tendinței la confluere
- evoluția lentă.

2.7.4. Sindromul vascular.

Modificările radiologice ale vascularizației pulmonare induse de tulburări la nivelul acestei circulații.

Analiză sistematică a vascularizației pulmonare în ansamblu, comparativ pe cele două câmpuri pulmonare și între vârfuri și baze, precum și în detaliu, în următoarele zone:

- hilară
- infrahilară
- intercleidohilară
- în porțiunea mijlocie externă a câmpilor pulmonari
- în porțiunea bazală externă, bilateral.

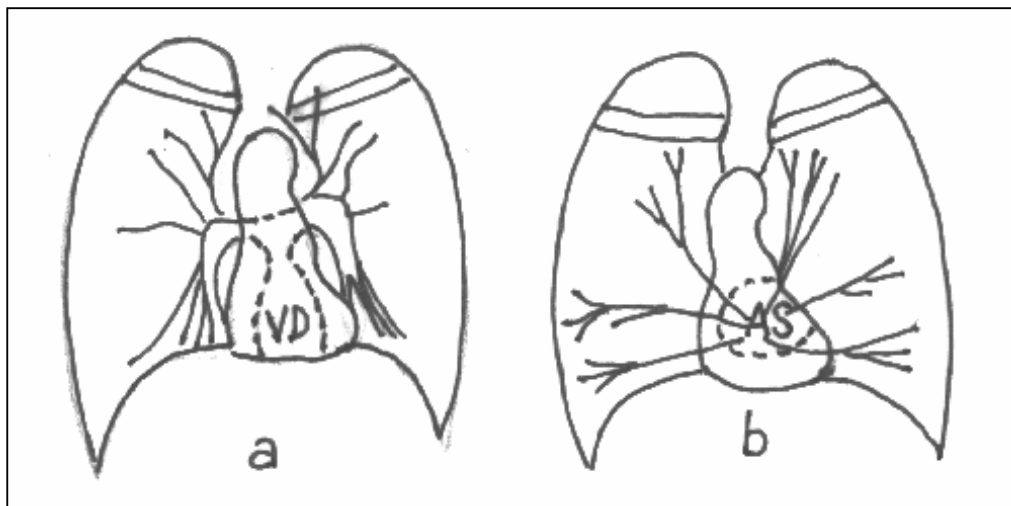


Fig 2.24. Orientarea spațială a vaselor pulmonare : a – artere, b – vene.

Criterii de diferențiere radiologică între opacitățile vasculare, arteriale și venoase:

- orientarea spațială a vaselor (arterele au un traiect pulmonar situat mai vertical iar venele au un traiect mai orizontal)
- unghiul mai ascuțit de dichotomizare arterială
- unghiul mai obtuz de confluire venoasă
- conturul arterial net
- conturul venos mai flou, datorită prezenței transsudatului.

Sindroame fiziopatologice ale modificărilor vascularizației pulmonare constau în aspectul de oligemie, hiperemie (prin modificări de debit) și hipertensiunea arterială, venoasă sau mixtă (prin modificarea rezistențelor vasculare pulmonare).

2.7.5. Sindromul pleural

Este definit de colecția pleurală cu lichid liber în marea cavitate pleurală.

Radiologic se traduce printr-o opacitate bazală, care urcă laterotoracic, descriind o curbă a cărei concavitate privește cranio-medial, cu delimitare difuză. În funcție de cantitatea de lichid apare și deplasarea mediastinului în partea opusă opacității. Pe radiografiile în decubit lateral, cu raza orizontală, opacitatea va ocupa porțiunea de clivă a hemitoracelui respectiv.

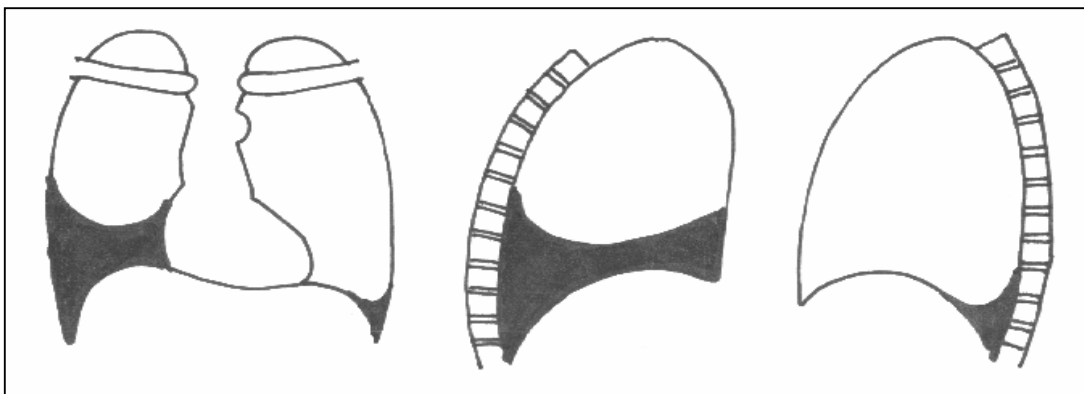


Fig. 2.25. Colecție lichidiană bilaterală în cantitate mare pe dreapta, redusă pe stânga, cu limita superioară concavă cranial.

LUCRAREA PRACTICĂ NR.3

RADIODIAGNOSTICUL APARATULUI RESPIRATOR (II)

3.1. Malformațiile congenitale bronho- pulmonare.

**3.1.1. Malformațiile congenitale bronho-
pulmonare.**

3.1.2. Anomaliile traheii și bronșiilor

3.1.3. Anomaliile scizurale.

3.1.4. Malformațiile vasculare pulmonare.

3.2. Radiodiagnosticul bronșitelor.

3.2.1. Bronșita (bronșiolita capilară).

3.2.2. Bronșita cronică.

3.2.3. Bronhostenoza

3.3. Radiodiagnosticul pneumopatiilor.

3.3.1. Radiodiagnosticul pneumopatiilor ac.

**3.3.2. Radiodiagnosticul pneumoniei atipice
(virotice).**

3. RADIODIAGNOSTICUL APARATULUI RESPIRATOR (II)

3.1. Malformațiile congenitale bronhopulmonare

Examenul radiologic va viza punerea în evidență a unor malformații bronho-alveolare și a unor malformații vasculare.

Malformațiile bronho-alveolare includ:

- **anomalii pulmonare,**
- **anomalii ale traheii și bronșiilor**
- **anomalii scizurale.**

Anomaliile pulmonare:

- **agenezie**
- **aplazie**
- **hipoplazie parțială/totală**
- **plămân supra-numerar.**

3.1.1. Malformațiile congenitale bronho-pulmonare:

3.1.1.1. Agenezia pulmonară

Lipsa unui pulmon, respectiv a parenchimului și sistemului bronho-vascular.

3.1.1.2. Aplazia pulmonară

Lipsa parenchimului și a vaselor pulmonare, cu prezența unei bronhii rudimentare.

3.1.1.3. Hipoplazia parțială/totală pulmonară

Prezența unor rudimente bronșice și parenchimotoase.

Radiologic:

- absența parțială sau totală a transparenței pulmonare la nivelul unui hemitorace
- îngustarea spațiilor intercostale
- ascensionarea hemidiafragmului
- atracția cordului și a mediastinului.

În 60% din cazuri se asociază și alte anomalii cardio-vasculare, osoase, diafragmatice, etc.

3.1.1.4. Plămânul polichistic

Prezența unor hipertransparențe buloase multiple, mai mult sau mai puțin deformate, intersectate.

Aspect radiografic:

- “fagure de miere”,
- “ciorchine de strugure”,
- “bule de săpun”
- “în rețea”

3.1.1.5. Chistul aerian pulmonar

- hipertransparențe rotunde, ovalare
- volum mijlociu
- fin conturate.

3.1.1.6. Chistul bronhogenic

- greu de diferențiat de sechestrația pulmonară
- opacitate rotunjită/ovalară, dispusă în lobii inferiori, omogenă, bine circumscrisă, solitară, de dimensiuni variabile.

3.1.1.7. Bronșiectazia congenitală

Malformație congenitală independentă sau asociată cu alte malformații, intrând în componența unor sindroame complexe (exemplu: sindrom Kartagener – dextro-cardie, sinuzită, bronșiectazie).

Radiologic:

- opacități sistematizate, retractile/neretractile, în lobul inferior sub forma unui triunghi paracardiac - triunghiul bronșiectatic
- bronhografic - creștere a diametrului lumenului bronșic
- imagini hipertransparente multiple, circumscrise, de aspect chistic.

3.1.1.8. Hamartocondromul**Forme:**

- intrapulmonară
- endobronșică

Forma intrapulmonară:

- opacitate, rotunjită sau polilobată, de mărime variabilă, cu zone de calcificare în interior; poate să se infecteze sau să producă atelectazie prin obstrucție
- are în componența sa cartilaj, mușchi, țesut conjunctiv fibros (care predomină), grăsimi și elemente epiteliale; practic nu se poate vorbi de hamartocondrom fără componenta cartilaginoasă
- se dezvoltă în plin parenchim pulmonar sau în lumenul unei bronșii, cu sediul periferic și anterior, dar și în apropierea hilului pulmonar
- clinic este asimptomatic, descoperirea fiind pur întâmplătoare

Radiologic: structura omogenă, conturul bine delimitat, regulat, uneori polilobulat.

- calcificările, ca indicator al benigneității sunt rar prezente; în lipsa calcificărilor imaginile sunt greu de diferențiat de o tumoră pulmonară malignă.
- în evoluția sa, se poate excava, cu apariția cavernei de dimensiuni variabile.

Forma endobronșică:

- dezvoltare la nivel endobronșic
- bronhoscopia obiectivează tumora sub forma unei mase rotunde, dure, polipoide, mamelonată, de obicei mobilă în lumenul bronșic
- grad de obstrucție bronșică variabil.

3.1.1.9. Sechestrația pulmonară

- grup de anomalii sau stări de graniță cu malformații vasculare
- teritoriul cu caracter mixt, vascular și pulmonar nu mai are legături funcționale cu restul plămânului

- sediul teritoriului sechestrat poate fi în plin parenchim pulmonar, când se vorbește de sechestrație intralobară sau poate dispus în afara plămânului, situație în care se constată varianta extralobară
- sechestrația intralobară poate prezenta două variante:
 - **tipul Pryce** când se constată absența unei bronhii segmentare sau sub formă de bont;
 - **tipul LeBrigand-Duprez** când se pune în evidență un mugure bronșic aberant sau arbore bronșic refulat de masa chistică.
- prezența unei imagini anormale postero-bazale cu vascularizație prin arteră sistemică anormală.
- sechestrația extralobară este legată de aortă printr-un pedicul vascular mai lung sau mai puțin lung care poate avea legătură cu tubul digestiv.
 - radiografic zona sechestrată se prezintă sub forma unei opacități ovalare, relativ omogene, fie sub forma unei imagini hidro-aerice, situată frecvent în segmentul postero-bazal al lobului inferior stâng;
 - aerul este rar prezent și numai când există comunicare cu tubul digestiv.
 - examenul angiografic poate pune în evidență situația anormală a vasului care irigă un asemenea teritoriu pulmonar.
 - examenul bronhografic pune în evidență lipsa unor legături între arborele bronșic și teritoriul pulmonar anormal.

3.1.1.10. Plămânul supranumerar

- excepțional de rar întâlnit în cadrul bolilor congenitale pulmonare bronho-alveolare.

3.1.2. Anomaliile traheii și bronșiilor

Formează cea de a doua grupă a malformațiilor bronho-alveolare anomalii morfologice și topografice.

Anomalii morfologice:

- diverticuloza traheală
- traheo-bronho-megalia
- traheomalacia
- fistula eso-traheo-bronșică
- îngustarea congenitală a traheii
- atrezia bronșică congenitală
- bronșiectazia congenitală
- sindromul Kartagener etc.

Anomalii topografice:

- bronhiile traheale
- bronhia lobară dedublată
- plămânul în oglindă.

3.1.3. Anomaliile scizurale

Cuprind:

- variante banale ale scizurilor normale
- scizuri suplimentare
- false scizuri cu 4 foițe tip azygos
- teritoriu pulmonar cu bronhii ectopice separate de rest prin scizuri.

3.1.4. Malformațiile vasculare pulmonare

Cuprind:

- malformațiile arteriale
- venoase
- mixte
- malformații ale circulației limfatice
- anomalii ale cordului și vaselor mari cu creșterea sau diminuarea consecutivă a fluxului sangvin pulmonar, etc.

3.1.4.1. Sindromul MacLeod

- constituit de absența sau întreruperea proximală a unei artere pulmonare primitive drepte sau stângi
- plămânul de partea anomaliei este hipoplazic și este vascularizat de circulația bronșică.

Radiologic:

- hipertransparența difuză a plămânului afectat, realizând aspectul de plămân hipertransparent cu hil mic, fără semne de distensie a hemitoracelui
- în inspir profund hipertransparența crește prin fenomenul de “air trapping”, iar mediastinul se deplasează spre partea sănătoasă, în timp ce plămânul opus este hiperdestins, bine vascularizat

Angiopneumografia:

- arteră pulmonară de dimensiuni foarte reduse, cu ramuri emergente abia vizibile
- circulație arterială bronșică cu origine din aortă

3.1.4.2. Hipoplazia arterei pulmonare

- foarte greu de diferențiat de aflusul scăzut de sânge din embolismul pulmonar

3.1.4.3. Originea anormală a arterei pulmonare stângi din artera pulmonară dreaptă

- originea aberantă a arterei pulmonare trece posterior de bronșia principală dreaptă, apoi anterior de trahee și posterior de esofag și apare în hilul pulmonar stâng, realizând astfel raporturi anatomice anormale sau “lațul pulmonar”
- compresii ale bronșiei principale drepte, cu grade diferite de hiperinflație obstructivă sau chiar atelectazie dreaptă
- angiopneumografia confirmă diagnosticul

3.1.4.4. Stenoza sau coarctația arterei pulmonare

- anomalie rară, unică sau multiplă, asociată cu dilatare poststenotică
- diagnosticul se pune numai angio-cardiografic

3.1.4.5. Aneurismele congenitale ale arterei pulmonare

- rare, de obicei asociate cu fistule arterio-venoase, sechestrații bronho-pulmonare, anomalii cardiovasculare
- evidențiate numai angiografic.

3.1.4.6. Drenajul venos pulmonar anormal

- se poate face în VCS, sinusul coronar, atriul drept, vena portă, vena hepatică sau vena cavă inferioară etc.

- hipertensiune venoasă pulmonară cu edem pulmonar interstițial, dar cu imagine cardiacă normală

3.1.4.7. Dilatațiile varicoase ale venelor pulmonare

- extrem de rare, în literatura mondială fiind raportate 20 de cazuri până în 1956
- venele pulmonare prezintă dilatații și tortuozități până la intrarea în atriul stâng
- **radiologic:** opacitate rotundă-ovalară, omogenă, densă, cu contur neregulat, dispusă în 1/3 medie, în vecinătatea atriului stâng.
- manevrele Valsalva și Muller la examenul radiosopic demonstrează natura vasculară a leziunii prin modificările dimensionale ale opacităților
- **examenul angiocardiografic** este cel care precizează diagnosticul pozitiv.

3.1.4.8. Malformațiile mixte arterio-venoase

Sunt reprezentate de fistulele arteriovenoase și anevrismele arterio-venoase.

a) Fistulele arterio-venoase

- comunicare între artera și vena pulmonară, fiind unice sau multiple
- leziunile sunt situate subpleural și peribronhovascular
- **radiologic** se constată opacitate intensă rotundă sau ovalară, omogenă, cu contur net, uneori lobulată, cu dimensiuni între unul și câțiva centimetri, dispuse în 2/3 din cazuri în lobii inferiori
- **manevrele Valsalva și Muller** dovedesc natura vasculară a leziunii: manevra Valsalva îi crește dimensiunile iar manevra Muller diminuează diametrul opacității.

b) Anevrismele arterio-venoase

- denumite și **angioame pulmonare**, fiind de natură congenitală
- clinic, când șuntul arterio-venos este mare, bolnavul prezintă dispnee și cianoză care apar cel mai adesea aproape de pubertate; bolnavul prezintă degete hipocratice și poliglobulie
- hemoptizia - poate fi primul simptom al afecțiunii, element decisiv pentru diagnostic.

Radiologic:

- opacitate rotundă, densă, omogenă, bine delimitată, adesea alungită, lobată, înconjurată de parenchim normal
- opacitățile sunt mai frecvent multiple, dispuse într-un câmp sau ambele câmpuri pulmonare, cu predilecție în lobii inferiori și în lobul mediu.

Angiocardiografia: confirmă originea vasculară a leziunilor, precizând dispoziția, topografia, conexiunile vasculare și numărul real al anevrismelor.

3.1.4.9. Malformațiile circulației limfatice

- congenitale sau dobândite
- blocajul ductului toracic sub diferite forme, cu producerea de chilotorax și dilatația limfaticelor
- cele mai frecvente sunt cele dobândite
- **limfangiograma** evidențiază sediul, comunicarea cu limfaticele pulmonare sau cu spațiul pleural în unele cazuri evidențiindu-se cauza.

3.1.4.10. Anomaliile asociate bronhoalveolare și arteriovenoase

- anomalii rare, constau din hipoplazia parțială a plămânului drept, cu sau fără hipoplazia arterei pulmonare drepte, cu anomalii ale arborelui bronhic drept, cu retur venos pulmonar drept anormal spre vena cavă inferioară
- circulația în plămânul drept este preluată de artere sistemice, cu șunt arterio-venos stâng-drept.

3.1.4.11. Anomalii ale cordului și marilor vase cu creșterea consecutivă a fluxului sanguin pulmonar

- DSA, DSV, persistența de canal arterial, cu șunt dreapta-stânga ce cresc debitul sanguin pulmonar (detalii la malformațiile cardiace congenitale)

3.1.4.12. Anomaliile cordului și marile vase cu scăderea consecutivă a debitului sanguin pulmonar

- stenoza arterei pulmonare
- tetralogia Fallot
- boala Ebstein etc.

3.2. Radiodiagnosticul bronșitelor

Din punct de vedere radiologic în bronșite nu se constată modificări; uneori se pot pune în evidență unele complicații pulmonare asociate: zone de atelectazie, mici focare pneumonice.

3.2.1. Bronșita (bronșiolita capilară)

Se caracterizează la examenul radiologic prin emfizem (datorat îngustării de lumen), cu focare mici de atelectazie; în caz de evoluție prelungită, datorită cicatricilor fibroase poate apare bronșiolita obliterantă.

3.2.2. Bronșita cronică

Radiologic:

- semne de emfizem
- hiluri pulmonare mărite
- în stadii avansate se realizează bronhopneumopatia cronică obstructivă.

3.2.3. Bronhostenoza

Tulburare a ventilației bronho-pulmonare datorită îngustării incomplete a unei bronșii mari, al cărei lumen este redus la 1/3 (Hitzenberger), sediul obstrucției putând fi în lumen (prin corpi străini), în peretele bronșic (polipi, tumori) sau în afara bronșiei (compresie extrinsecă).

Bronhostenoza prin corpii străini se caracterizează prin semne statice și dinamice.

Semne statice:

- poziția înaltă a diafragmului respectiv;
- deplasarea mediastinului de aceeași parte;
- scăderea transparenței hemitoracelui respectiv;
- micșorarea ariei toracice.

Semnele dinamice (provocate):

- date de deplasarea și pendularea mediastinului în cele două faze (inspir, expir) ale actului respirator (**semnul lui Holzkecht-Iacobson**) puse în evidență prin respirație forțată, prin **proba tusei a lui Hitzenger**.
- deplasarea mediastinului se face de partea bolnavă, cu ascensionarea diafragmului de partea respectivă.

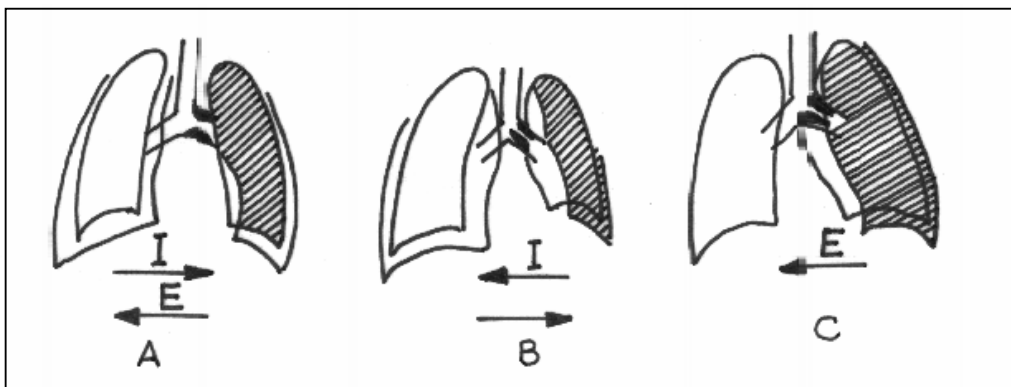


Fig. 3.1. Stenoză bronșică cu pendularea mediastinului:

A – stenoză bronșică mixtă (pendularea mediastinului), B – stenoză bronșică inspiratorie (atracție inspiratorie spre partea cu stenoză), C – stenoză bronșică expiratorie (împingere expiratorie spre partea opusă stenoză); I = inspir, E = expir .

3.3. Radiodiagnosticul pneumopatiilor

3.3.1. Radiodiagnosticul pneumopatiilor acute

În funcție de stadiul de evoluție, modificările radiologice vor fi oglinda celor morfopatologice.

Faze de evoluție:

- **faza de congestie alveolară** - pereții alveolari îngroșați - radiografic prezintă drept corespondent radiologic **voalul difuz**;

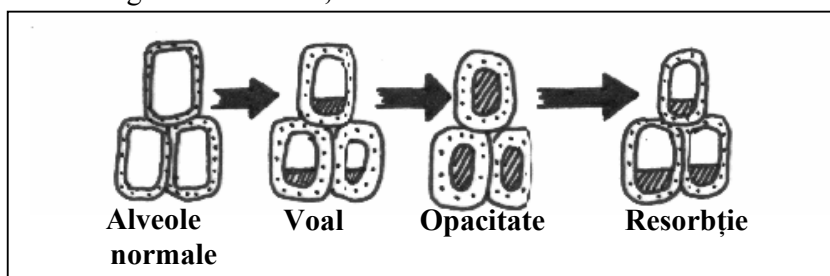


Fig. 3.2. Faze de evoluție ale procesului acut pneumonic tipic.

- **faza de hepatizație roșie** - pe lângă pereții alveolari îngroșați apare exudatul seros, care treptat ocupă alveolele ce nu mai conțin aer - radiografic constatăm **opacitate de intensitate medie**;

- **faza de hepatizație cenușie** se caracterizează prin scăderea opacității în intensitate, precum și scăderea edemului alveolar, când alveolele conțin un rest fluid și începe să reintre

aerul în ele – radiografic **opacitate neomogenă**, în funcție de gradul de opacitate, deoarece se trece la faza de resorbție:

➤ **faza de resorbție și vindecare completă** a procesului când dispare edemul alveolar și restul fluid - radiografic se constată treptat **transparență pulmonară normală**.

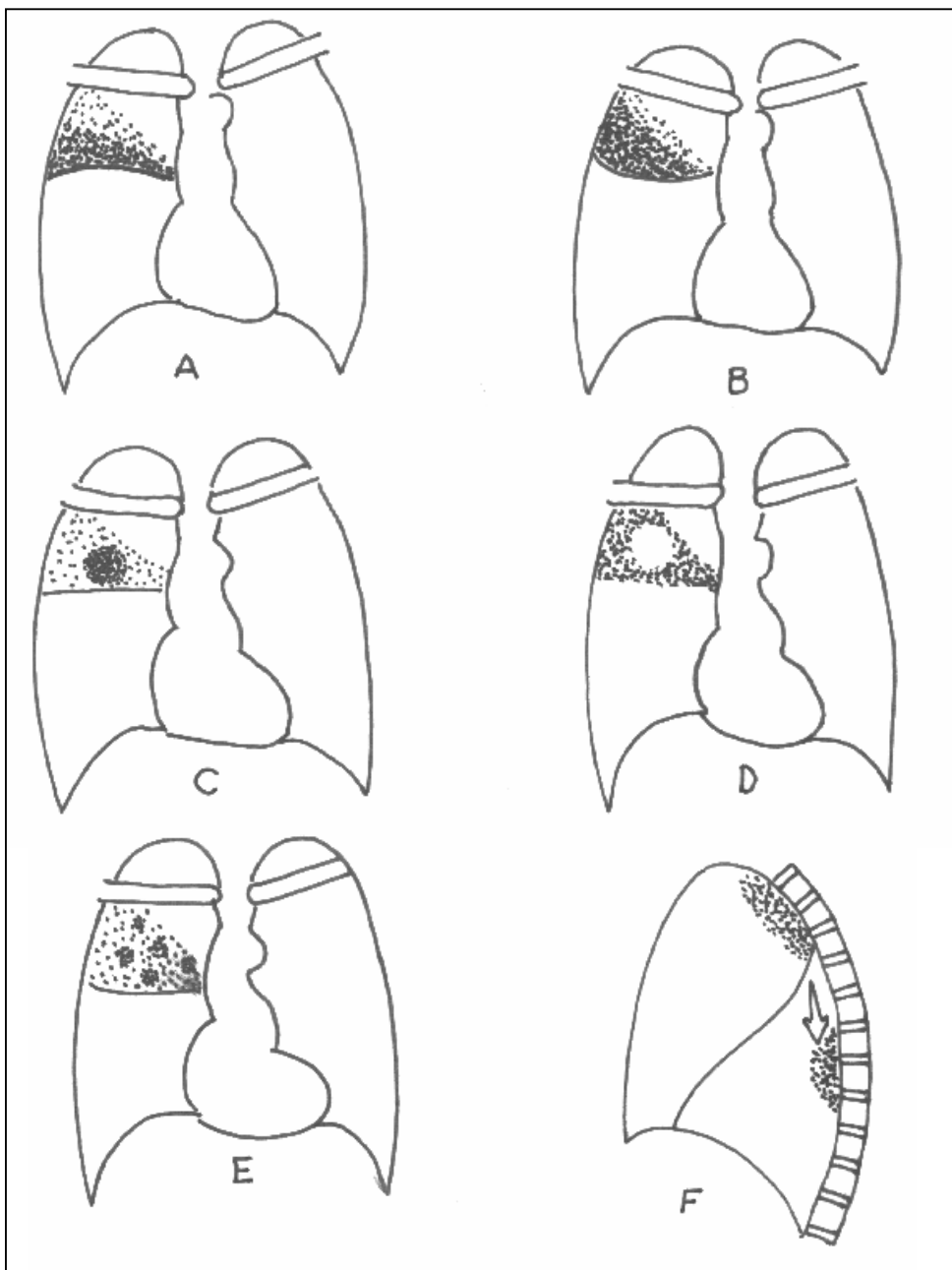


Fig. 3.3. Modalități de evoluție ale procesului acut pneumonic tipic:

A – rezorbție periferică cu aspirarea scizurii orizontale, B – compresia scizurii orizontale, C – rezorbție de la periferie spre centru, D – rezorbție de la centru spre periferie, E – rezorbție în tablă de șah, F – pneumonie migratorie (ditelectatică paravertebrală).

Deoarece arsenalul terapeutic actual este foarte bogat (antiinflamatoare, antibiotice, etc.) vom constata prezența unor procese patologice segmentare și nu lobare.

Diagnosticul diferențial radiologic:

Opacitățile segmentare vor fi diferențiate de alte afecțiuni care dau imagini radiografice asemănătoare, dar al căror context clinic de evoluție este particular și caracteristic:

- cancerul pulmonar periferic;
- pneumonia bacteriană;
- pneumonia cazeoasă
- epituberculoza;
- pneumonia cu B. Friedlander;
- pneumonia interstițială;
- bronhopneumonia pseudo-lobară;
- atelectazia prin obstrucție;
- infarctul pulmonar;
- supurațiile pulmonare;
- colecțiile lichidiene din mica scizură, marea scizură, marea cavitate pleurală.

3.3.2. Radiodiagnosticul pneumoniei atipice (virotice)

Radiologic se pun în evidență aspecte extrem de variate, izolate sau asociate :

- hiluri mari opace, imprecis conturate;
- cordoane opace prin edem și infiltrații peribronho-vasculare, care pleacă de la hil spre periferie, mai ales spre bază și posterior;
- voalare circumscrișă a unei zone pulmonare;
- desen pulmonar accentuat (prin accentuarea tramei interstițiale) realizând aspecte în rețea, reticulo-nodulare, etc. ;
- prezența de cordoane hilare terminate în “măciucă” (prin atelectazie) - semn de mare valoare diagnostică;
- aspectul de “evantai” în inspir forțat prin îndepărtarea cordoanelor peribronho-vasculare ca și diminuarea opacității prin distensie alveolară - semn de importanță diagnostică

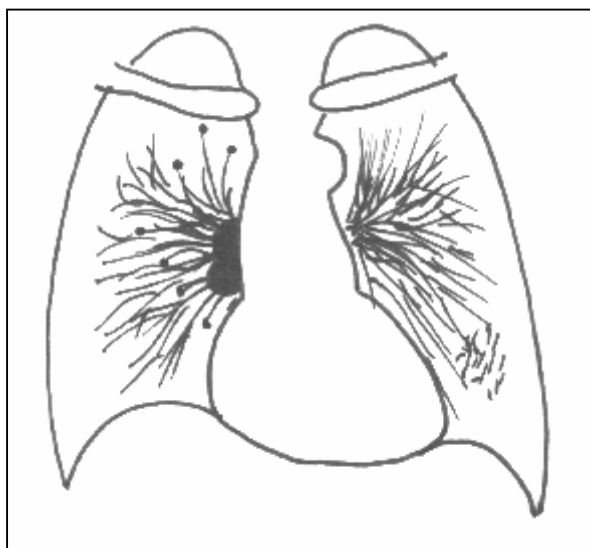


Fig. 3.4. Pneumonie virotică (atipică):

hiluri mari, imprecis conturate, cordoane opace prin edem și infiltrație peribronho-vasculară, cordoane hilare terminate în măciucă etc.

3.3.3. Radiodiagnosticul pneumoniei cronice

context clinic foarte polimorf și neobișnuit (uneori sursa unor regretabile erori).

Radiodiagnostic:

- focar pneumonic neresorbit, lângă care apar focare noi;
- fibroză retractilă cu tracționări;
- scizura, mediastinul și peretele toracic sunt deviate spre focar;
- apariția bulelor de emfizem și a atelectaziei (datorită tulburărilor de ventilație)

Notă: Este obligatoriu diagnosticul diferențial cu cancerul pulmonar.

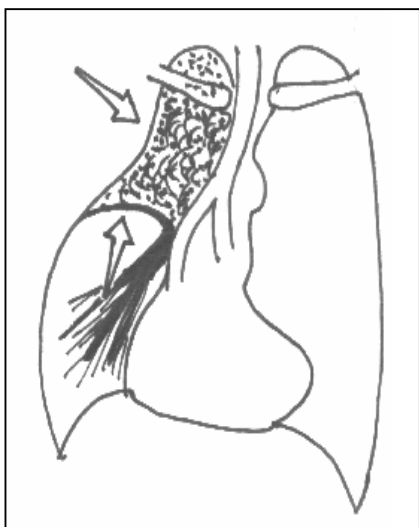


Fig. 3.5. Pneumonie cronică lob superior drept:
fibroză retractilă cu tracționări pe fondul unui focar pneumonic neresorbit, cu apariția de focare noi și deformarea regională a hemitoracelui.

3.4. Radiodiagnosticul bronhopneumoniilor

- fenomene inflamatorii axate pe o bronhiolă care are lumenul obstruat, în jurul ei aflându-se concomitent toate stadiile procesului pneumonic

Radiografic:

- prezența de **noduli bronho-pneumonici**;
- desen bronhovascular accentuat la nivel hilar, dând hilului un caracter difuz;
- ganglionii hilari pot fi tumefiați, realizând un hil mare.

Nodulul bronhopneumonic

- leziunea principală
- centrat de o bronhiolă cu pereții inflamați, plini cu hipersecreție
- alveole pline cu exudat mucos
- opacitatea de bază, având în jurul ei, la periferie o congestie simplă cu dilatarea vaselor, ceea ce realizează o opacitate mai redusă.
- opacitățile pot fi miliare, micronodulare și nodulare de diferite dimensiuni
- mare variabilitate a aspectului de la un examen la altul, într-un timp relativ scurt.

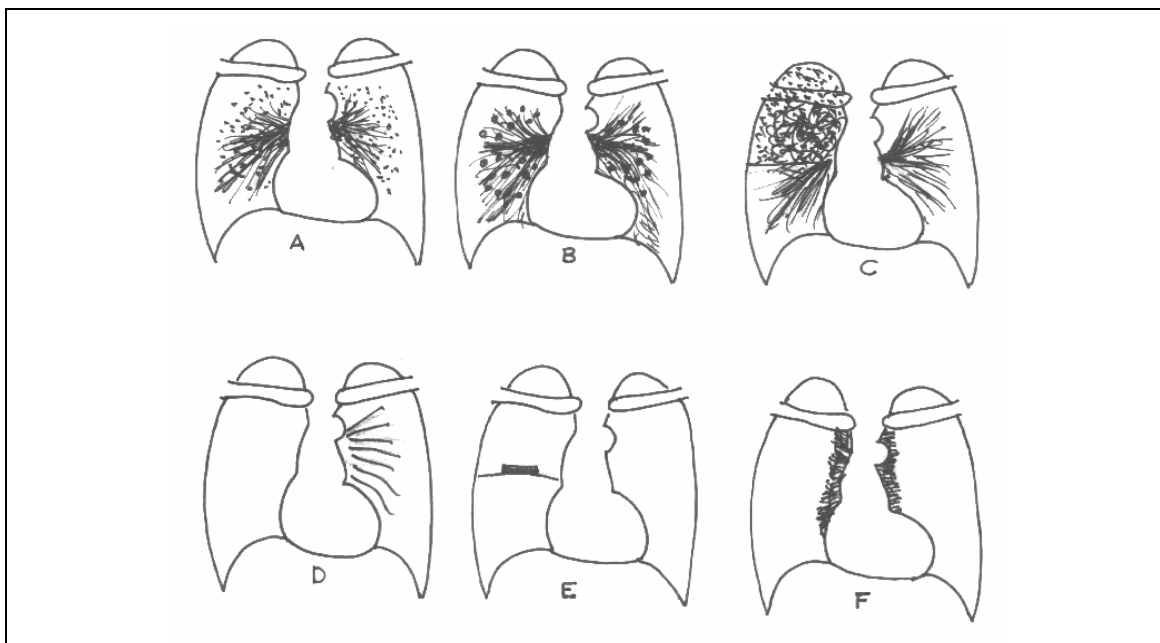


Fig. 3.6. Forme de bronhopneumonie:

A – micronodulară, B – nodulară, C – pseudo-lobară, D – parahilară stângă, E – parascizurală orizontală dreaptă, F – paravertebrală.

Bronho-pneumonia stafilococică

- entitate deosebită, cu aspecte radiologice particulare
- afectează copii în primul an de viață
- manifestările radiologice reflectă cu fidelitate substratul anatomo-patologic al procesului.
- **leziunea elementară este nodulul stafilococic**, opacitate miliară sau nodulară, proiectată pe un fond de hipertransparență pulmonară sau de desen pulmonar accentuat
 - din confluența nodulilor stafilococi rezultă microabcesul stafilococic, urmat de apariția imaginilor buloase (prin mecanism de ventil expirator) și a revărsatelor lichidiene (în peste 90% din cazuri).

Diagnosticul diferențial radiologic al opacităților micronodulare:

- TBC miliar acut;
- TBC miliar cronic;
- carcinoza miliară secundară;
- pneumoconioza gr. II;
- pneumonia virotică cu determinări virale;
- hemosideroza pulmonară;
- bronhopneumonia cu micro-noduli;
- sarcoidoza pulmonară;
- boala Hodgkin;
- microlitiaza alveolară.

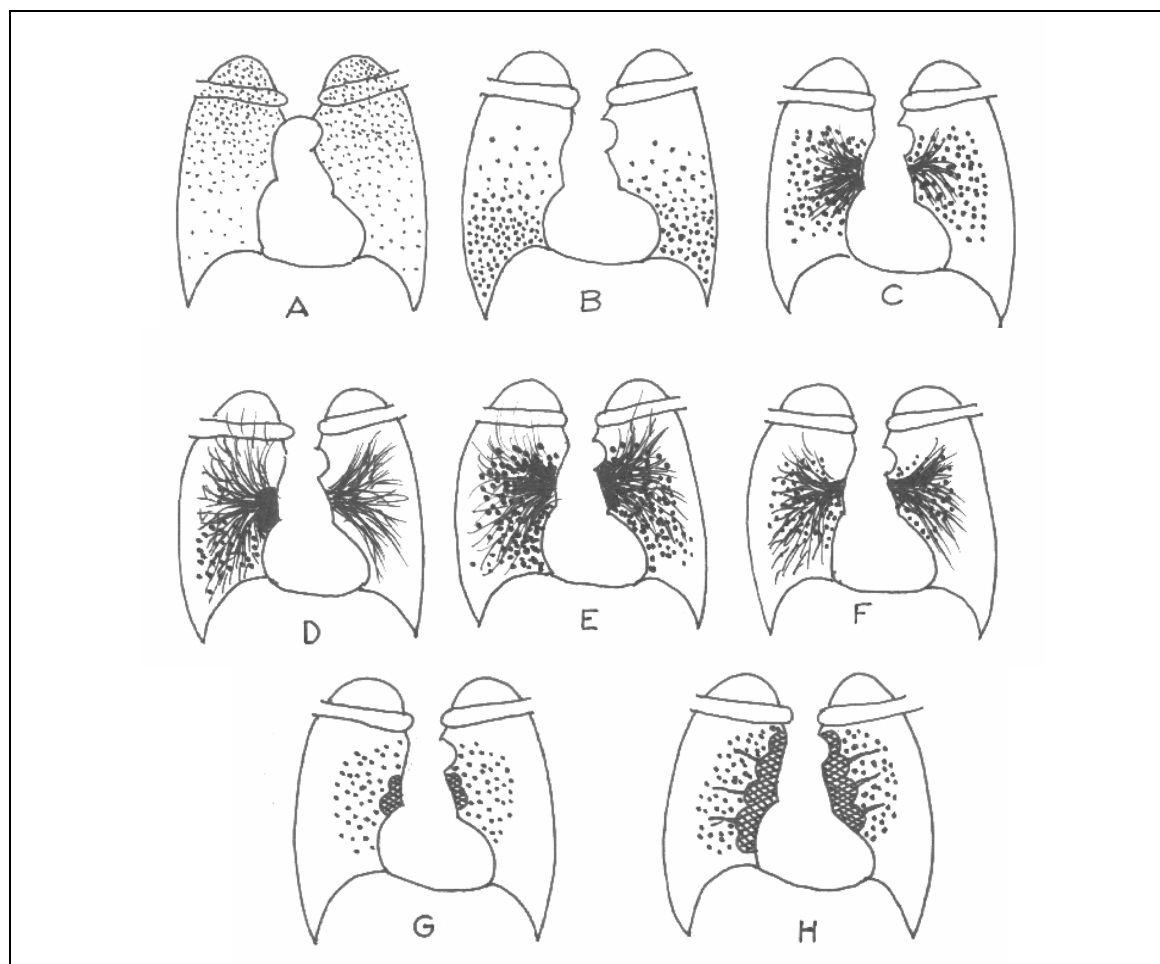


Fig. 3.7. Opacități micronodulare:

A – tuberculoză miliară acută, B – carcinoză miliară, C – pneumoconioză stadiul II, D – pneumonie atipică, E – hemosideroză pulmonară, F – bronhopneumonie, G – sarcoidoză pulmonară, H – limfogranulomatoză malignă Hodgkin.

Diagnosticul diferențial radiologic la opacităților nodulare (dimensiuni de 0, 5-1, 5 cm):

- bronhopneumonia bacteriană;
- bronhopneumonia tuberculoasă;
- bronhopneumonia stafilococică;

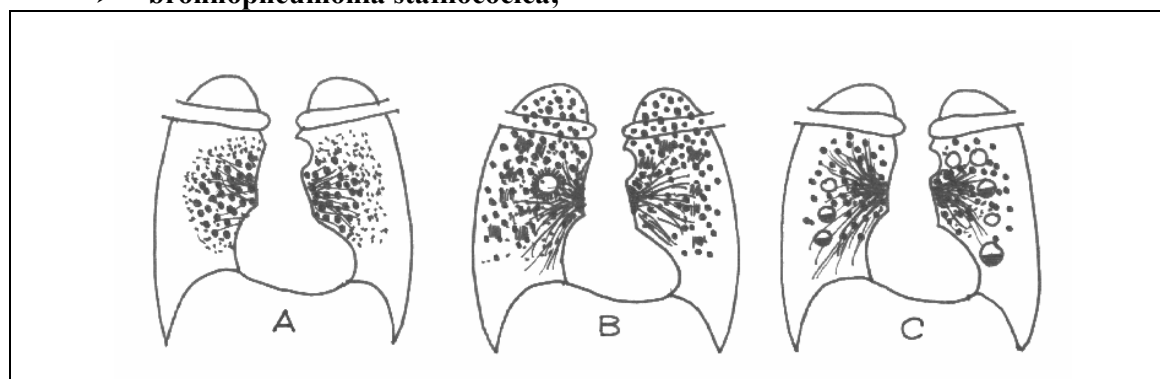


Fig. 3.8. Opacități nodulare:

A - bronhopneumonie bacteriană, B – bronhopneumonie tuberculoasă, C – bronhopneumonie stafilococică

Diagnosticul diferențial radiologic al opacităților nodulare solitare (cu dimensiuni între 1,5-3,0 cm):

- infiltrat precoce Assmann;
- infiltrat Löffler;
- tuberculom pulmonar;
- cavernă plină;
- abcesul pulmonar (înainte de vomică)
- chistul hidatic pulmonar;
- tumori pulmonare benigne;
- cancer pulmonar periferic;
- metastază pulmonară solitară;
- pleurezie închistată interlobar.

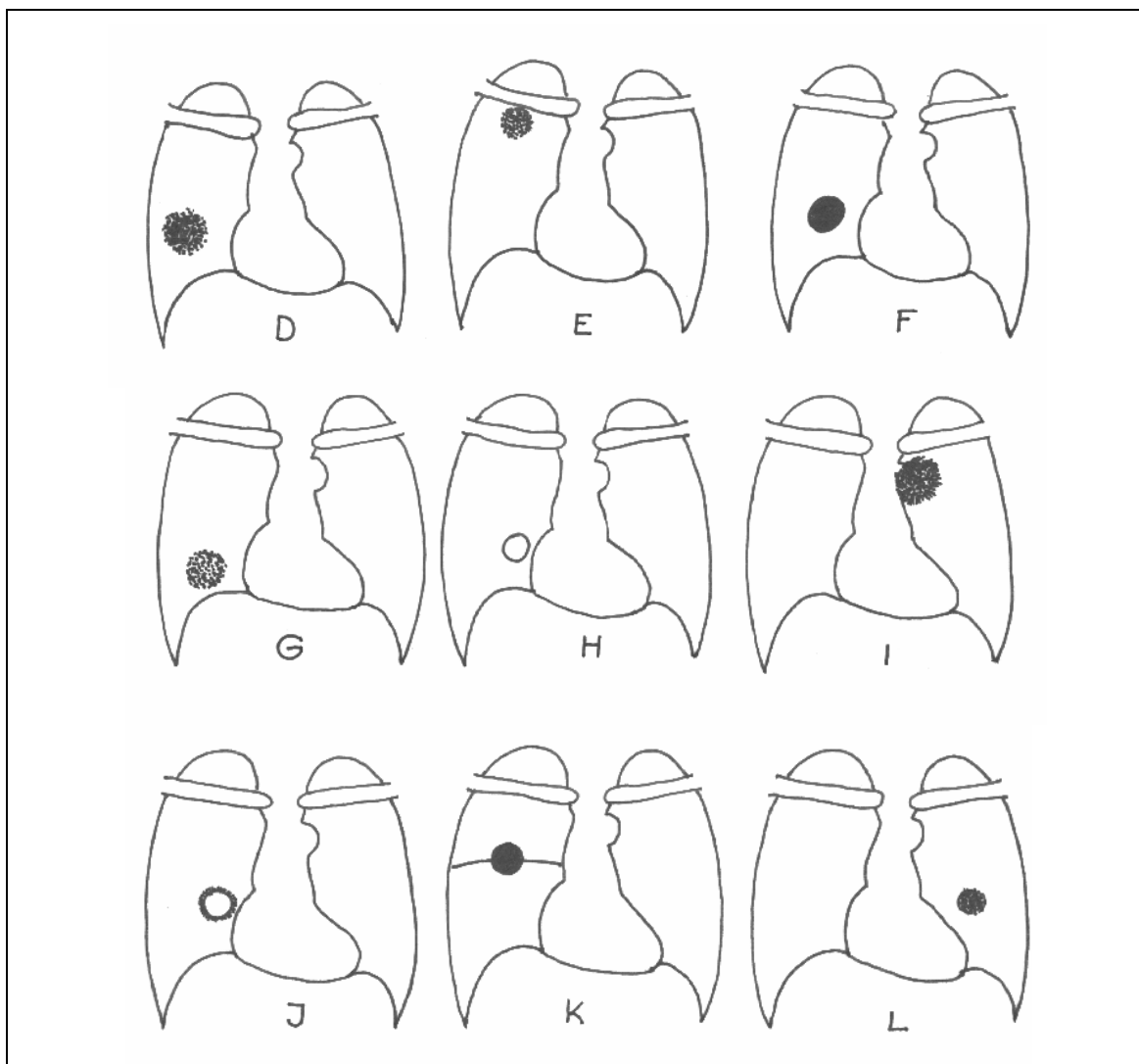


Fig. 3.9. Opacități nodulare solitare (1,5 - 3 cm diametru):

A – infiltrat precoce Assmann, B – tuberculom, C – infiltrat fugace Löffler, D – abces pulmonar înainte de vomică, E – cavernă plină, F – chist hidatic, G – infarct pulmonar, H – tumoră benignă, I – cancer pulmonar periferic, J – chist aerian infectat, K – pleurezie închistată interlobar, L – metastază solitară.

Diagnosticul diferențial radiologic al opacităților nodulare mari (peste 3 cm în diametru):

- chist hidatic pulmonar;
- cancer pulmonar periferic;
- tuberculom;
- ganglioni paramediastinali măriți patologic;
- goma sifilitică;
- pleurezii închistate.

3.5. Radiodiagnosticul supurațiilor pulmonare

- o abcesul pulmonar
- o gangrena pulmonară
- o broșiectazia.

3.5.1. Abcesul pulmonar

Este caracterizat din punct de vedere al evoluției prin două etape distincte:

- înainte de vomica purulentă când are aspectul unei pneumonii segmentare, având o intensitate mare a opacității,
- după vomică, realizând imaginea mixtă, hidro-aerică.

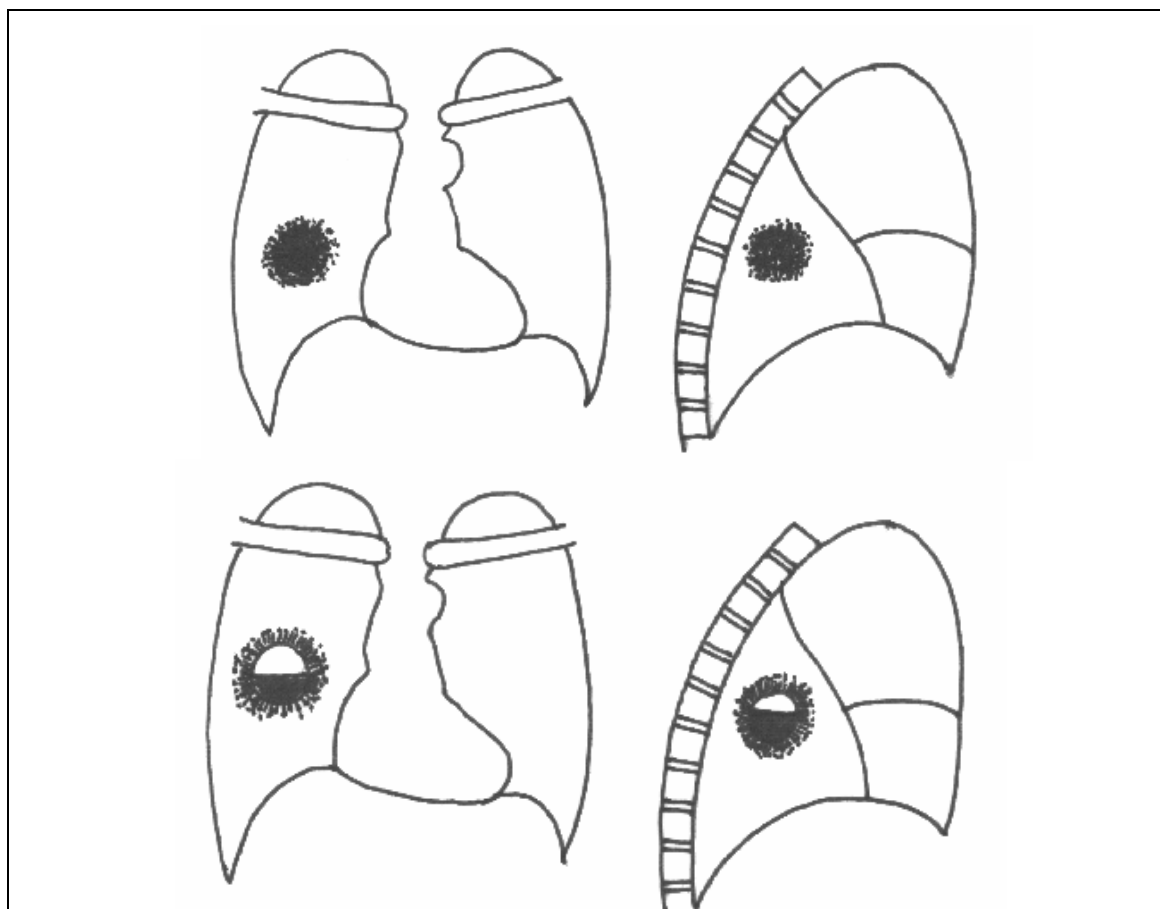


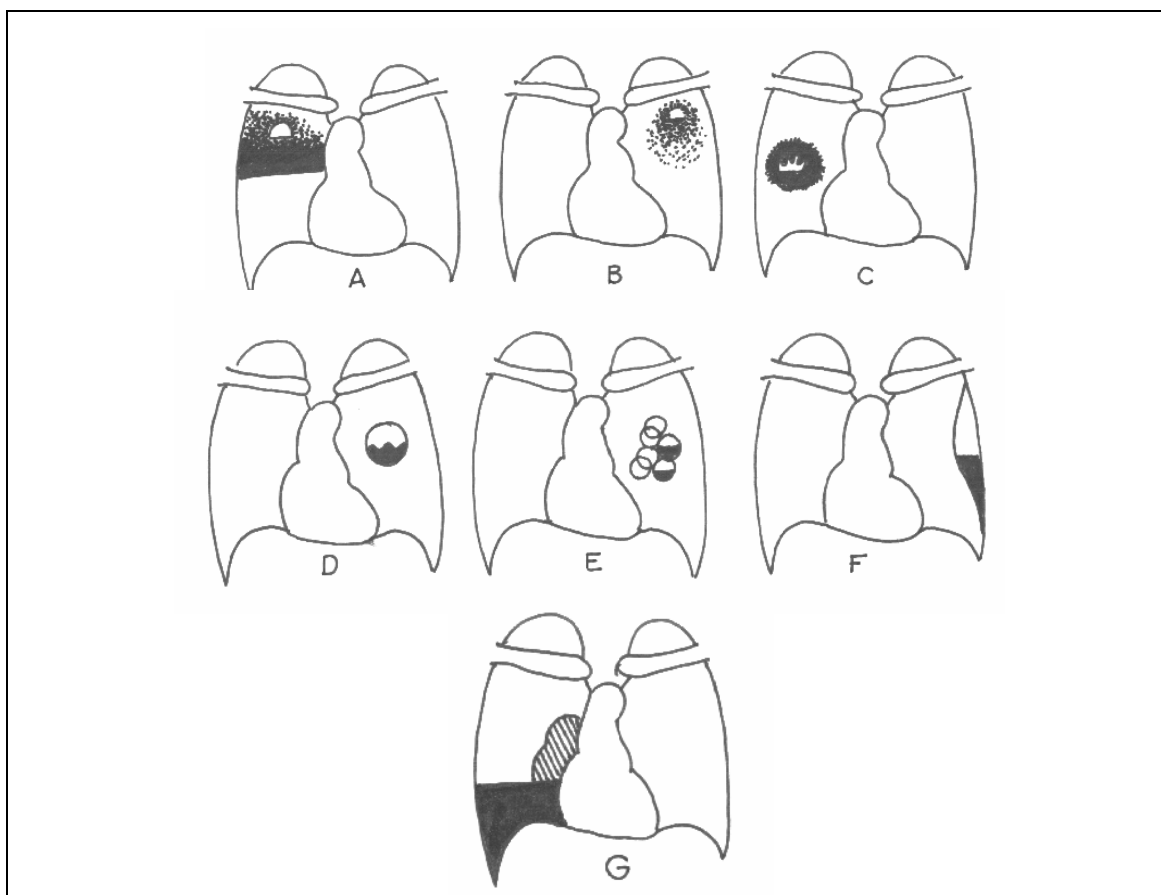
Fig. 3.10. Abces pulmonar al lobului inferior drept înainte și după vomica purulentă.

Diagnosticul diferențial radiologic:

- se va face în funcție de țesutul afectat:

A. Imagini hidro-aerice primare:**I. Imagini hidro-aerice prin procese patologice parenchimatoase:**

- cavernă TBC după eliminare parțială;
- cancer pulmonar infectat și excavat;
- chist hidatic pulmonar după vomică;
- atelectazie pulmonară infectată și excavată;
- micoză pulmonară supra-infectată și excavată;
- plămân polichistic supra-infectat;
- chist aerian infectat;
- infarct pulmonar excavat;
- silicom excavat;
- hematom pulmonar post-traumatic excavat;

**Fig. 3.11. Imagini mixte hidro-aerice:**

A – abces pulmonar, B – cavernă tuberculoasă, C – cancer pulmonar excavat, D – chist hidatic după vomică, E – plămân polichistic infectat, F – colecție pleurală hidroaerică de perete toracic, G – fluido-pneumo-torace.

II. Imagini hidro-aerice prin procese patologice bronșice:

- bronșiectazii nespecifice infectate;
- bronșiectazii specifice;

III. Imagini hidro-aerice prin procese patologice pleurale:

- fluido-pneumo-toracele;
- colecții hidro-aerice închistate în scizuri și în marea cavitate;

IV. Imagini hidro-aerice prin procese patologice digestive:

- hernii hiatale;
- hernia intratoracică de colon;
- diverticolul esofagian de pulsione descins în mediastin;
- megadolicoesofagul;

B. Imagini hidro-aerice secundare:

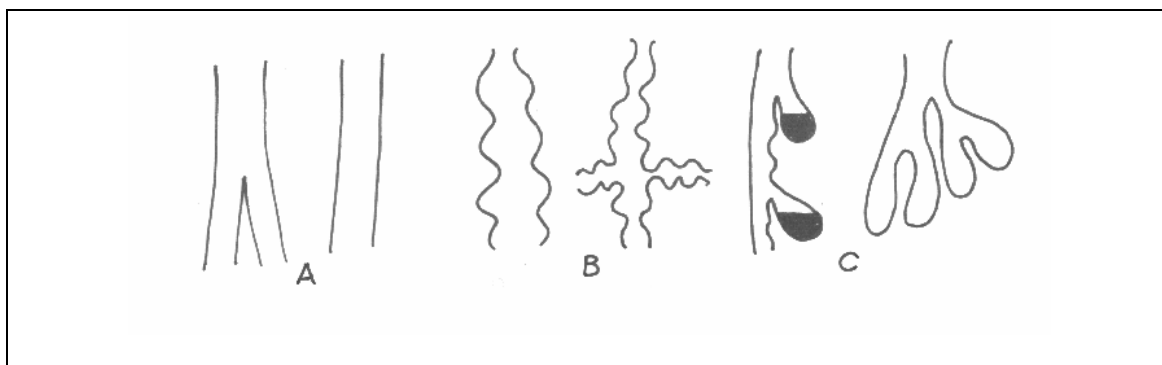
- malformative
- neoplazice
- traumatiche
- imunologice.

3.5.2. Gangrena pulmonară

- entitate asemănătoare abcesului pulmonar după vomică, la care s-a supraadăugat o suprainfecție cu germeni anaerobi
- diagnosticul diferențial radiologic va fi făcut cu afecțiunile amintite anterior

3.5.3. Bronșiectaziile

- dilatarea (ectazia) sub diferite forme a arborelui bronșic.
- pot fi:
 - cilindrice;
 - moniliforme (varicoase);
 - sacciforme.

**Fig. 3.12. Tipuri de dilatații bronșice:**

A – cilindrice, B – moniliforme, C – saculare –ampulare.

Examenul radiografic simplu și cu substanță de contrast (bronhografia) pune în evidență aspecte multiple:

- imagine în tuburi pline
- imagine în “lemn găurit de carii”
- imagini sub formă de rozetă Ameuille
- imagini în “bule de săpun”
- opacitate triunghiulară paracardiacă bazală sub formă de triunghi bronșiectatic, Rist-Becanson
- dilatații cilindrice și moniliforme
- imagini sub formă de tuburi amputate și tuburi goale
- imagini ampulare
- imagini sacciforme.

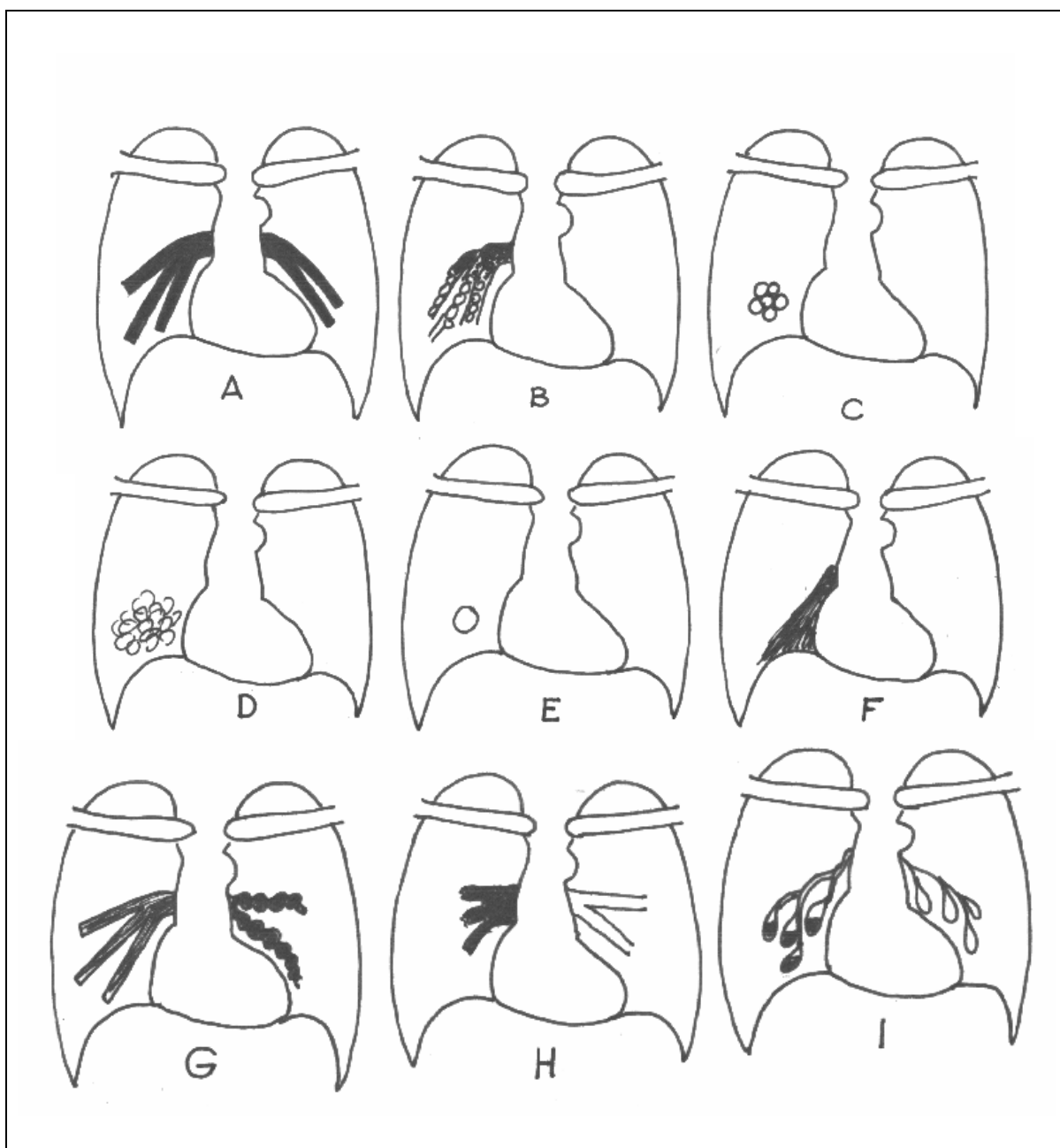


Fig. 3.13. Tipuri de bronșiectazii:

A – imagine în tuburi pline, B – imagine în “lemn găurit de carii”, C – imagine în rozetă Ameuille, D – imagine în “bule de săpun”, E – cavernă bronșiectatică, F – triunghi bronșiectatic, Rist-Becanson, G – dilatații cilindrice și moniliforme, H – imagini de tuburi amputate și tuburi pline, I - dilatații sacciforme și ampulare

3.6. Radiodiagnosticul afecțiunilor inhalatorii pleuro-pulmonare

În această grupă sunt cuprinse pneumoatmozele, pneumonefelozele și pneumoconiozele.

3.6.1. Pneumoatmozele

Reprezintă inhalarea timp îndelungat a unor **gaze toxice** cu răsunet asupra țesutului leuro-pulmonar

3.6.2. Pneumonefelozele

Reprezintă inhalarea timp îndelungat a unor **lichide toxice**, fin dispersate, urmate de modificări pleuro-pulmonare.

3.6.3. Pneumoconiozele

- cauzate de inhalarea timp îndelungat a unor **particule fine, solide**, dispersate sub formă de praf, a căror denumire este strâns legată de natura particulelor inhalate: bioxid de siliciu (silicoză), antracit (antracoză), beriliu (berilioză), etc.
- reacția la nivel pleuropulmonar este în funcție de natura chimică a particulelor, dimensiunile, concentrația, durata expunerii și sensibilitatea individuală.
- silicoza cuprinde următoarele stadii:
 - stadiul 0 (sau presilicoză)** : opacități lineare reticulare date de impregnarea țesutului pulmonar care se extind până la jumătatea câmpului pulmonar bilateral;
 - stadiul I** : opacitățile lineare (reticulația) din stadiul anterior ating periferia câmpului pulmonar și încep să apară micronoduli pe acest fond;

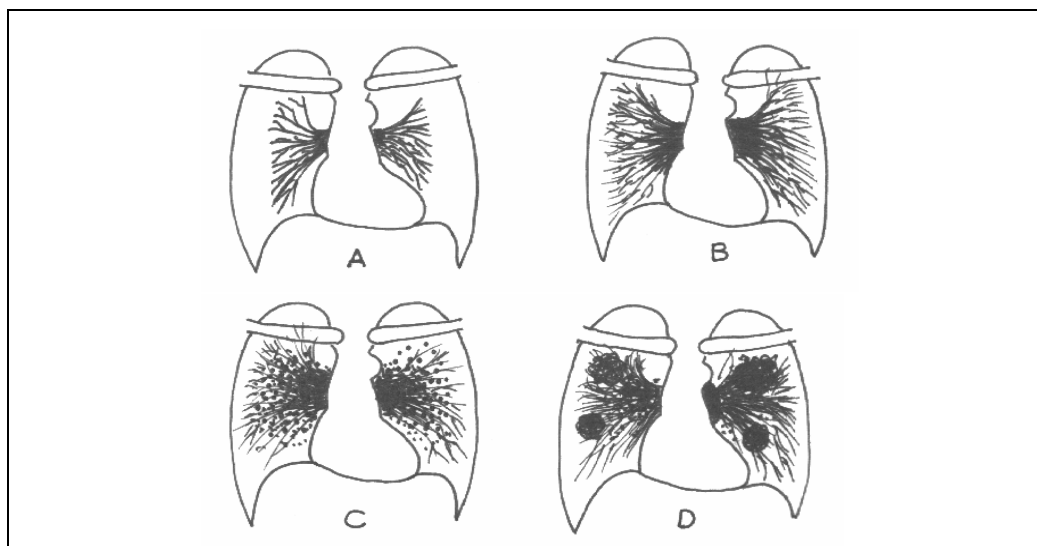


Fig. 3.14. Stadii de evoluție ale silicozei: A-stadiul 0, B-stadiul 1, C-stadiul 2, D-stadiul 3

- stadiul II** : apar opacități sub formă de micronoduli peste opacitățile din stadiul I - sunt respectate vârfurile și bazele pulmonare, fiind mai mulți în regiunea hilurilor pulmonare - apare **aspectul de pom înflorit, sau pom de primăvară**;
- stadiul III** - opacitățile micronodulare confluează dând aspectul **pseudo-tumoral**.

Complicația majoră a silicozei este grefarea infecției tuberculoase pe plămânul deja afectat, realizându-se **silico-tuberculoza**. Diagnosticul diferențial radiologic se face cu afecțiunile pleuro-pulmonare care dau imagini similare, în funcție de stadiul de evoluție al silicozei : plămânul de stază, cc. pulmonar secundar, tuberculoză, sarcoidoză, etc.

LUCRAREA PRACTICĂ NR.4

RADIODIAGNOSTICUL APARATULUI RESPIRATOR III

4.1. Radiodiagnosticul tuberculozei pulmonare.

4.1.1. Tuberculoza pulmonară primară

4.1.2. Tuberculoza pulmonară secundară

4.2. Radiodiagnosticul afecțiunilor pleurale.

4.2.1. Plerezia uscată (pleurita).

4.2.2. Pleurezia lichidiană.

4.2.3. Simfizele pleurale.

4.2.4. Calcificările pleurale.

4.2.5. Pneumotoracele.

4.2.6. Tumorile pleurale.

4.3. Radiodiagnosticul tumorilor pulmonare.

4.3.1. Tumorile pulmonare benigne.

4.3.2. Tumorile pulmonare maligne.

4. RADIODIAGNOSTICUL APARATULUI RESPIRATOR (III)

4.1. Radiodiagnosticul tuberculozei pulmonare

- **sursa principală de infecție** este bolnavul eliminator de BK prin sputa baciliferă
- **poarta de intrare** a infecției poate fi aeriană directă (picături bacilifere) și indirectă (praf bacilifer), digestivă (alimente contaminate) și foarte rar cutaneo-mucoasă.
- radiologic, aspecte variate, oglindind diversitatea leziunilor patologice care survin în evoluția tuberculozei.

Ciclul infecției tuberculoase în organism are două etape distincte:

a) **infecția primară**, caracterizată prin prezența **complexului primar Ranke**, format din:

- **afect primar;**
- **limfangită;**
- **adenopatie.**

b) **infecția secundară** produsă prin reactivarea unor leziuni vechi primare sau post-primare, având drept leziune de bază **infiltratul precoce de tip Assmann**.

Contactul bacilului tuberculozei cu țesuturile și reacțiile locale produc mai multe tipuri principale de **leziuni** la nivelul plămânului : **proliferative, exudative, cazeoase și fibroase**.

Leziunea proliferativă

- prezența nodulului epiteloid, care se dezvoltă oriunde în plămân: septuri alveolare, peribronșic, perivascular, interlobar și subpleural.
- nodulii confluează, fiind înconjurați de țesut de granulație
- se pot cazeifica, în final fibrozându-se.

Leziunea exudativă

- caracteristic tuberculozei secundare, fiind favorizat de rețeaua vasculară densă și vecinătatea imediată cu spațiile aerice în care se poate acumula exudatul
- evoluția poate fi spre resorbție, cazeificare ulcerare și fibrozare.

Leziunea cazeoasă

- caracterizată printr-o masă de necroză
- se poate deshidrata și calcifica
- lichefierea cazeumului poate crea premisa evacuării cu apariția cavernei.

Leziunea fibroasă

- caracterizată prin apariția unui țesut de fibroză, ca reacție de răspuns a țesutului conjunctiv la agresiunea microbiană
- remanierea fibroasă determină alterări structurale lobulare, distorsiuni bronșice, retracții mediastinale, costale, diafragmatice, scizurale, etc.

4.1.1. Tuberculoza pulmonară primară

- **primoinfecția tuberculoasă**

- prezența complexului primar tuberculos descris de Ranke, format din 3 elemente distincte.

4.1.1.1. Afectul primar

Radiologic

- opacitate nodulară, omogenă având între 0, 2-2 cm diametru, localizată în segmentele cele mai bine ventilate (posterior, lateral, bazal) ale lobilor superiori și inferiori
- aspect de focar pneumonic limitat
- este dificil de evidențiat în unele situații când:
 - ✓ este de dimensiuni prea mici;
 - ✓ este mascat de leziuni pneumonice sau pleurale de vecinătate;
 - ✓ s-a produs excavare;
 - ✓ s-a resorbit.

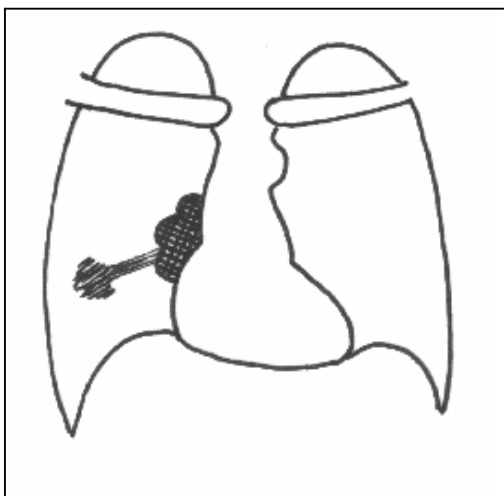


Fig 4.1. Complex primar florid Ranke
cu cele trei elemente componente : afect primar, limfangită, adenopatie.

Posibilitățile de evoluție ale afectului primar:

- **resorbție completă**, cu revenirea la normal a transparenței pulmonare;
- **calcificare**, când conturul devine neregulat, net cu intensitate mare;
- **exulcerare** cu apariția **cavernei primare**;
- **fibrozare și încapsulare** cu formarea de tuberculoame;
- **extinderea** la un întreg lob, cu apariția unei imagini triunghiulare, cu vârful în hil.

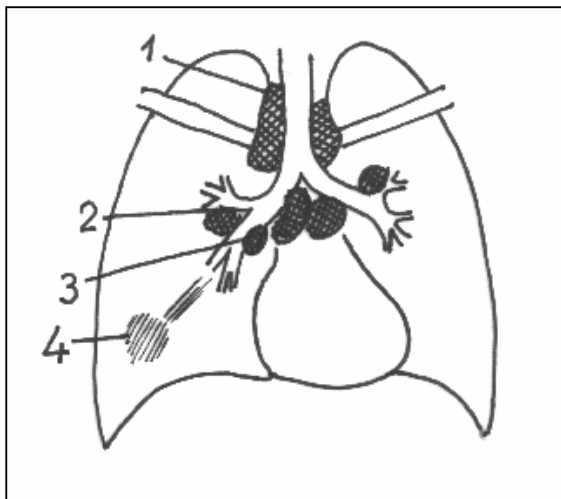


Fig. 4.2. Primo - infecția tuberculoasă:
1) adenopatii laterotraheale, 2) adenopatii interbronșice, 3) adenopatii intertraheo-bronșice, 4) afect primar

4.1.1.2. Limfangita

- opacități lineare discrete care se interpun între afectul primar și adenopatie
- cel mai des se confundă cu vasele din regiune
- în funcție de poziția afectului primar față de hilul pulmonar, opacitățile lineare vor fi mai scurte sau mai lungi
- când afectul este foarte mare sau prea aproape de hil, limfangita nu mai poate fi pusă în evidență.

4.1.1.3. Adenopatia

- opacități ovalare, unice sau multiple
- adesea cu contur policiclic
- mărimi variabile, uni sau bilateral (prin prinderea ganglionilor limfatici hilari, paratraheali și de bifurcație)
- elementul cel mai bine reprezentat din triada complexului primar și totodată cel mai evocator. la copil este adesea unicul element de manifestare a primoinfecției

Cele 3 elemente realizează aspect sub formă de “**halteră**” sau în “**telefon**”, aspect care se constată mai rar; de obicei se pot observa afectul și adenopatia care realizează complexul primar bipolar.

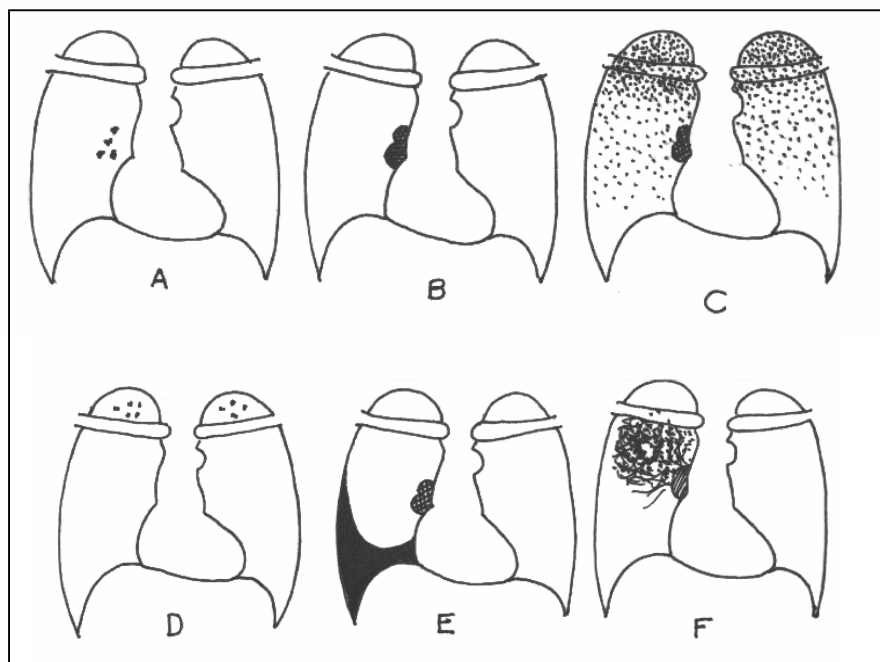


Fig. 4.3. Tuberculoza primară și principalele modalități de evoluție ale complexului primar:
A – vindecare cu calcificări hilare, B – adenopatie hilară dreaptă, C – diseminare miliară cu adenopatie, D – noduli Simon, E – pleurezie exudativă, F – pneumonie cazeoasă.

4.1.1.4. Evoluția complexului primar

- **vindecare prin calcificări**
- **persistența adenopatiei**
- **diseminare miliară**
- **diseminare în focare Simon**
- **pleurezie sero-fibrinoasă**
- **pneumonie cazeoasă**

4.1.1.5. Complicațiile primoinfecției tuberculoase pot fi localizate

- la nivel de bronșii (fistule adenobronșice, stenoză bronșică extrinsecă, atelectazie)
- la nivel pleural (pleurezia TBC) precum
- la nivel pulmonar (atelectazii, pneumonii cazeoase, etc.

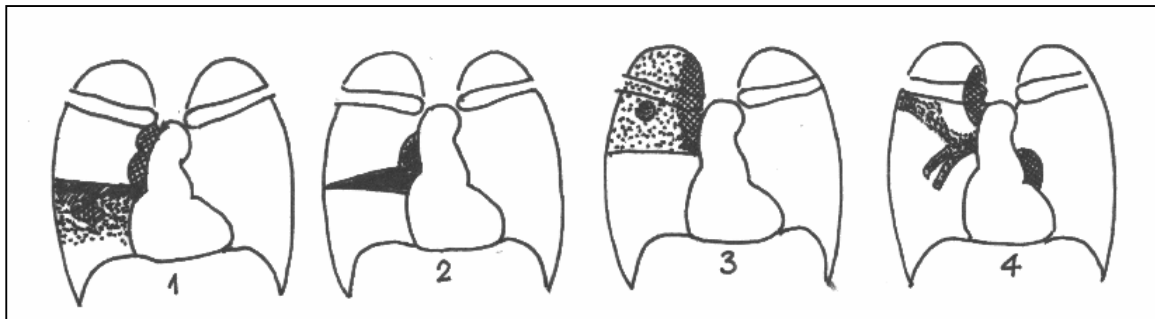


Fig. 4.4. Complex primar complicat - epituberculoză (congestie perifocală):
 1) epituberculoză de lob mijlociu drept, 2) epituberculoză de aspect triunghiular centrată de scizura orizontală (triunghiul Sluka-Eisler), 3, 4) aspecte în evoluție spre vindecare (4).

4.1.1.6. Complicațiile generalizate ale prima infecției tuberculoase

- cale limfogenă
- cale bronhogenă (brohno-pneumonia pseudolobară)
- cale hematogenă (generalizată = granulie TBC ; localizată = noduli Simon, Ashoff)

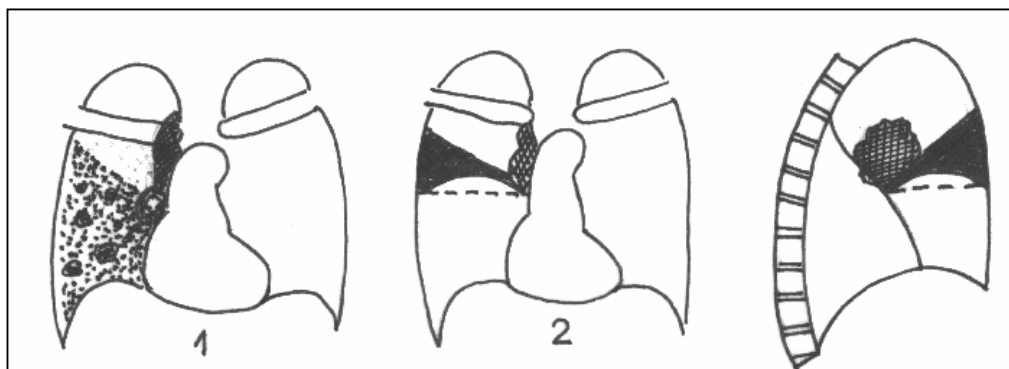


Fig. 4.5. Complicații bronșice ale complexului primar:
 1) cavernă ganglionară hilară dreaptă după fistulă ganglio-bronșică, cu focare de bronhopneumonie, 2) atelectazia segmentului ventral al lobului superior drept, cu aspirarea scizurii orizontale (față și profil drept)

Diagnosticul diferențial radiologic al diseminărilor pe cale bronhogenă se face cu:

- bronhopneumonia bacteriană
- bronhopneumonia stafilococică
- metastazele pulmonare
- pneumoconioza de stadiul II, III

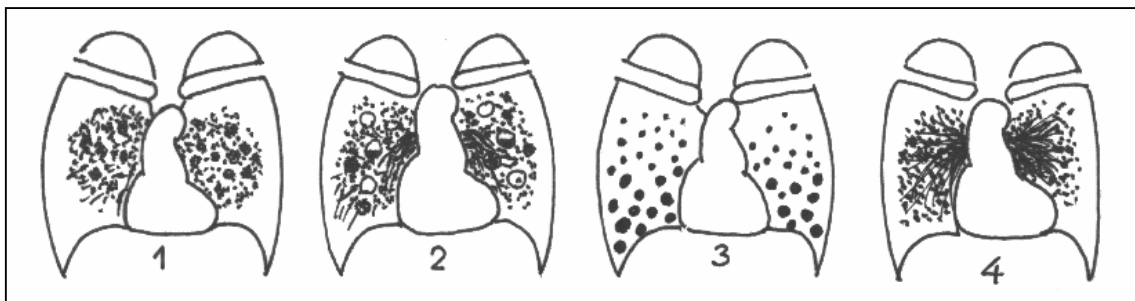


Fig 4.6. Diseminarea bronhogenă – diagnostic diferențial:

1) bronhopneumonia bacteriană, 2) bronhopneumonia stafilococică, 3) metastaze pulmonare, 4) pneumoconioza în stadiul II/III.

4.1.1.7 Caverna tuberculoasă

- complicație foarte gravă, deoarece odată cu apariția ei se poate instala faza de ftizie a complexului primar (deci la interferență de stadii)
- diseminări bronhogene parenchimatoase care schimbă brusc aspectul clinic, evolutiv și prognosticul tuberculozei primare

Radiologic

- caverna primară este instalată pe unul din elementele complexului primar
- caractere de cavernă rigidă, cu o dinamică lentă
- urmată în scurt timp de la apariția ei de instalarea de noi focare de diseminare, cu caractere exudative.

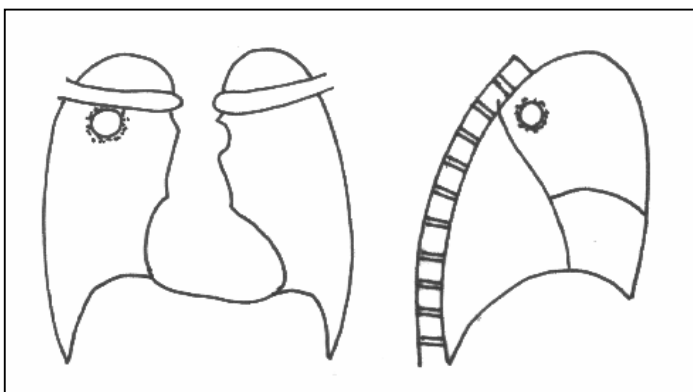


Fig 4.7. Cavernă tuberculoasă

4.1.2. Tuberculoza pulmonară secundară

- se datorează reactivării focarelor stabilizate sclero-calcare ale tuberculozei primare, în condițiile în care rezistența organismului este scăzută
- poate continua stadiul primar, dacă sunt create anumite condiții patogenice
- apare de obicei la adolescenți și adulți tineri
- interval liber între prima infecție bacilară și constituirea infiltratelor precoce tuberculoase.

4.1.2.1. Infiltratele precoce

- nodulii calcar, stelați și bine conturați care își păstrau aspectul timp îndelungat, capătă un halou inelar de intensitate subcostală, cu contur șters, care are tendință la extindere periferică.
- nodulul central calcar se fragmentează, pierde din intensitate prin resorbția calciului, pentru ca până la urmă să se integreze în masa elementului periferic nemaiputând fi diferențiat de el
- procesul de congestie perifocală și resorbție a focarului calcar, poate interesa mai mulți noduli deodată, noduli care cu timpul confluează și dau naștere la **infiltratul nodular apical**
- infiltratul se cazeifică și are dinamica obișnuită a focarului cazeos, putându-se fibroza, excava sau încapsula pentru a da naștere unui întreg lanț de leziuni diseminate, care vor constitui în caz de evoluție nefavorabilă ftizia cronică evolutivă.

4.1.2.2. Infiltratul rotund precoce subclavicular ASSMANN

- **leziunea elementară de debut a tuberculozei secundare**, sub formă de focar exsudativ, dispus de preferință în segmentul dorsal, retro sau subclavicular

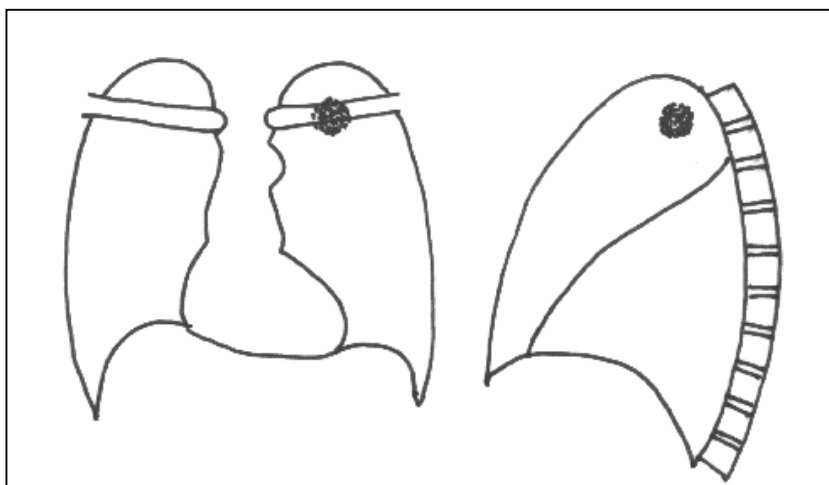


Fig 4.8. Infiltrat precoce rotund retroclavicular Assmann.

Radiologic:

- opacități rotunde, de 1-3 cm diametru
- caracter de leziune exsudativă
- intensitate mică
- contur șters
- structură omogenă
- dinamică radiologică foarte vie
- resorbția sau excavația se pot derula pe un interval de 2-3 săptămâni, făcând astfel ca urmărirea radiologică să se facă în etape scurte.
- procesul de resorbție are loc în majoritatea cazurilor de la periferie spre centru, cu reducerea diametrului acestuia, urmată de restitutio ad. integrum din punct de vedere radiologic
- alte posibilități de evoluție sunt:
 - ✓ resorbție parțială cu fibroză și calcificare, rămânând un "câmp de indurație" ;
 - ✓ cazeificare urmată de închis-tarea cu țesut de fibroză și transformare în tuberculom (cazeom) ;

- ✓ cazeificarea alveolitei și apoi excavarea cu formarea de cavernă denumită și cavernă precoce ; la scurt timp după constituirea cavernei pot fi descoperite focare exsudative de diseminare bronhogenă în vecinătate, realizând aspect de "infiltrate fiice".

Diagnosticul diferențial radiologic: foarte dificil, elucidarea lui putându-se face în baza urmăririi în dinamică și în timp a imaginii, existând în unele cazuri și posibilitatea de examen histopatologic după toracotomia exploratorie:

- **cancerul nodular rotund periferic**, care are o evoluție relativ rapidă și nu este influențat de medicația tuberculostatică ;
- **sarcomul pulmonar**, de asemenea cu o dinamică foarte vie ;
- **metastaza pulmonară** unică, solitară, care apare sub forma unei opacități nodulare bine conturate, la o persoană cu un cancer primar în alt organ ;
- **caverna plină**, rezultată în urma obliterării bronhiei de drenaj ;
- **chistul hidatic pulmonar**, care crește foarte încet, având probe biologice revelatoare ;
- **infiltratul fugace Löffler** are asociat pe hemogramă cu un procent mare de eozinofile, cu o dinamică extinsă pe un interval de 10-14 zile ;
- **tuberculomul**, care are intensitate mai mare, contur net, cu antecedente bacilare precise.

4.1.2.3. Infiltratul nebulos periferic RAEDEKER

- infiltrat mai frecvent decât cel precedent
- proces întins de alveolită exsudativă intricată de leziuni de proliferare, mase de collagen și fibroză,
- în ansamblu aspect neomogen, proteiform.

Radiologic: este expresia substratului morfologic descris

- opacitate extinsă, cu interesarea aproape în întregime a unui segment (dorsal sau apical inferior)
- uneori afectarea ambele segmente, cu intensitate predominant subcostală, structură neomogenă datorită prezenței unor opacități mai intense corespunzătoare focarelor proliferative și fibroase, ceea ce realizează în ansamblu un aspect de "nebulosă astrală"
- dinamica acestui tip de infiltrat este mult mai lentă (elementele proliferative și fibroase retrocedează doar în parte și foarte încet)
- apariția în masa opacității de imagini de hipertransparență, corespondent al ulceratiilor și al bulelor suflate prin procese cu mecanism de ventil expirator.

Diagnosticul diferențial radiologic:

- **pneumonia francă lobară**
- **abcesul pulmonar neevacuat**
- **infarctul pulmonar**
- **tumorile pulmonare**

În toate cazurile diferențierea o face aspectul clinic, datele de laborator, precum și dinamica imaginii sub tratament tuberculostatic.

Pneumonia lobară

- debut clinic acut cu frison, febră, tuse seacă sau productivă
- radiologic - opacitate segmentară sau lobară, cu evoluție sub tratament de 2-3 săptămâni,
- fără decelarea bacilului Koch în spută

Pneumonia virotică

- debut clinic acut, cu hiperpirexie

- radiologic-opacități lineare hilio-bazale, pe fondul unor hiluri mărite, difuz conturate bilateral

- titrul aglutinelor la rece mult crescut
- absența bacilului Koch în spută

Atelectazia pulmonară

- opacitate lobare sau segmentare omogene
- caracter aspirativ

Pneumonia cronică

- opacitate trenantă
- localizare segmentară sau subsegmentară
- fără semne de impregnare bacilară
- baciloscopie negativă
- tratament tuberculostatic ineficace.

Infarctul pulmonară

- apare la bolnavi cardiaci, la bolnavi cu tromboflebite în perioada post-operatorie etc.
- opacitate rotundă sau cu aspect segmentar apărută pe un teren trombogen
- context clinic evolutiv dominat de junghi toracic brutal cu hemoptizie

Supurațiile pulmonare

- opacități de aspect segmentar care după vomică devin neomogene
- debut clinic acut
- sputa mucopurulentă în cantitate crescută
- leucocitoza mare, în absența bacilului Koch în medii de cultură

4.1.2.4. Infiltratul pneumonic segmentar

- strict sistematizat pe unul sau mai multe segmente (uneori fiind prins un lob întreg)
- opacitate omogenă (greu de diferențiat de o pneumonie francă lobară)

Diagnosticul diferențial - cu procese pulmonare care la examenul radiologic dă opacități extinse:

- **pneumonia bacteriană**
- **bronhopneumonia pseudolobară**
- **pneumoniile mixte**
- **atelectaziile pulmonare**
- **supurațiile pulmonare în faza de debut**
- **pneumonia cazeoasă, etc.**

4.1.2.5. Infiltratul precoce perihilar

- rezultat sigur al unei fistule adeno-bronșice
- aspect de alveolită exsudativă,
- opacitate nesistematizată
- dinamică radiologică ca și a infiltratului nebuloz periferic

Diagnosticul diferențial radiologic:

- **infiltratul pulmonar virotic** manifestat prin hil mare difuz conturat, de opacitate subcostală dispusă de obicei hilo-bazal, pe fondul căreia apar opacități liniare și nodulare ; clinic debut brusc, cu alterarea stării generale, confirmată și de creșterea marcată a titrului aglutinelor la rece ;

- **cancerul pulmonar central** forma bronhogenă ramificată se manifestă prin mărirea imaginii hilului, cu benzi radioopace care infiltrează regiunea peri-hilară, examenul bronhoscopic cu biopsie fiind cel care punctează clar diagnosticul pozitiv.
- **pneumonia segmentului apical inferior** se traduce la examenul radiologic printr-o opacitate situată în regiunea hilului, difuz conturată și care pe imaginea de profil se proiectează posterior în segmentul apical inferior (Fowler).

Elementele radiologice diferențiale între tuberculoza primară și tuberculoza secundară

Tuberculoză primară	Tuberculoză secundară
Localizare oriunde în câmpul pulmonar	Localizare adesea în treimea superioară
Adenopatie regională	Fără adenopatie regională
Evoluție spre fibroză și calcificare a nodulilor cu vindecare completă	Evoluție spre lichefiere și formare de cavernă, fără reacție fibroasă importantă
După vindecare, persistența șancrului de inoculare în parenchimul pulmonar, însoțit, uneori de opacități liniare spre hil ; calcificări ganglionare	Vindecarea se face, uneori, fără fibroză ; alteori evoluție spre o tuberculoză fibro- sau ulcero-cazeoasă
În caz de evoluție își poate face apariția o bronhopneumonie bacilară sau o diseminare miliară	În caz de evoluție rapidă și de infecție virulentă se poate constitui o pneumonie cazeoasă cu ulceratii importante sau diseminare miliară acută

4.1.2.6. Forme evolutive de ftizie

Principalele aspecte radiologice ale tuberculozei secundare cronice sunt reprezentate de:

- **tuberculoza ulcero-cazeoasă,**
- **tuberculoza fibro-cazeoasă cavitărară cronică,**
- **tuberculoza în focare nodulare.**

A. Tuberculoza ulcero-cazeoasă

- substratul morfologic este reprezentat de focare de alveolită specifică (pneumonie cazeoasă) și focare de bronhoalveolită tuberculoasă (bronho-pneumonie cazeoasă)

Radiologic:

- opacități de diferite forme și dimensiuni, difuz conturate, de intensitate medie, omogene sau neomogene
- opacitățile pot conflua prin periferia lor, putând să apară excavatele și cavernele traduse prin imagini de hipertransparență
- prin evoluție favorabilă pot apare leziuni fibroase cu aspect de noduli și benzi bine delimitate, alături de leziunile exsudative, rezultând forma ulcero-fibroasă

B. Tuberculoza fibro-cazeoasă cavitărară cronică

- localizare în regiunile pulmonare superioare unilateral sau bilateral
- leziuni de tip exsudativ (opacități cu forme și dimensiuni variate, intensitate medie și contur difuz)
- asociere cu leziuni de tip productiv (manifestate prin opacități nodulare și în benzi, net delimitate, de intensitate medie)
- asociere cu leziuni sclerocalcare cu caracter retractil (hil apicalizat și deplasat lateral, pahipleurită cu calcificări în placard și retractor hemitoracelui respectiv)
- mozaic de leziuni cu imagini hipertransparente, ca expresie a excavatelor și imagini de caverne cu pereți groși și uneori cu aspect hidro-aeric

Diagnosticul pozitiv:

- caracterul secundar al tuberculozei;

- localizarea și extinderea procesului;
- caracterul activ sau stabilizat al procesului.

Diagnosticul diferențial radiologic:

✓ pneumoniile bacteriene

- în perioada de resorbție, opacitatea este neomogenă prin resorbția exsudatului alveolar, ca răspuns pozitiv la tratamentul antibiotic aplicat
- evoluția ciclică și absența bacilului Koch în spută

✓ supurațiile pulmonare

- radiologic - opacitate neomogenă
- examenul de spută este esențial, ca și testul terapeutic aplicat

✓ bronșiectaziile infectate

- opacifierea neomogenă a unei arii pulmonare
- caracter recidivant sezonier
- tratamentul antibiotic elucidează diagnosticul

✓ cancerul pulmonar

- opacitate cu caracter infiltrativ
- tendință la dezvoltare extensivă ;

✓ micozele pulmonare

- opacifiere neomogenă asemănătoare cu cea din tuberculoza pulmonară
- absența bacilului Koch
- prezența elementelor fungice în mediile de cultură

✓ sarcoidoza pulmonară sau boala Besnier-Boeck-Schaumann

- opacități hilare simetrice, în aripi de fluture, de la care pleacă opacități lineare în funcție de stadiul de evoluție (mediastinal, mediastino-pulmonar, pulmonar).

C. Tuberculoza în focare nodulare

- formă specială de tuberculoză pulmonară secundară cu leziuni nodulare mici de origine post-primară (noduli Simon) sau secundară, în special noduli Aschoff-Puhl, Malmross-Heldwall
- activitate incertă.

Radiologic: mici noduli, uneori vizibili doar pe radiografii foarte bine executate, cu caractere fibro-calcare sau mai rar exsudative.

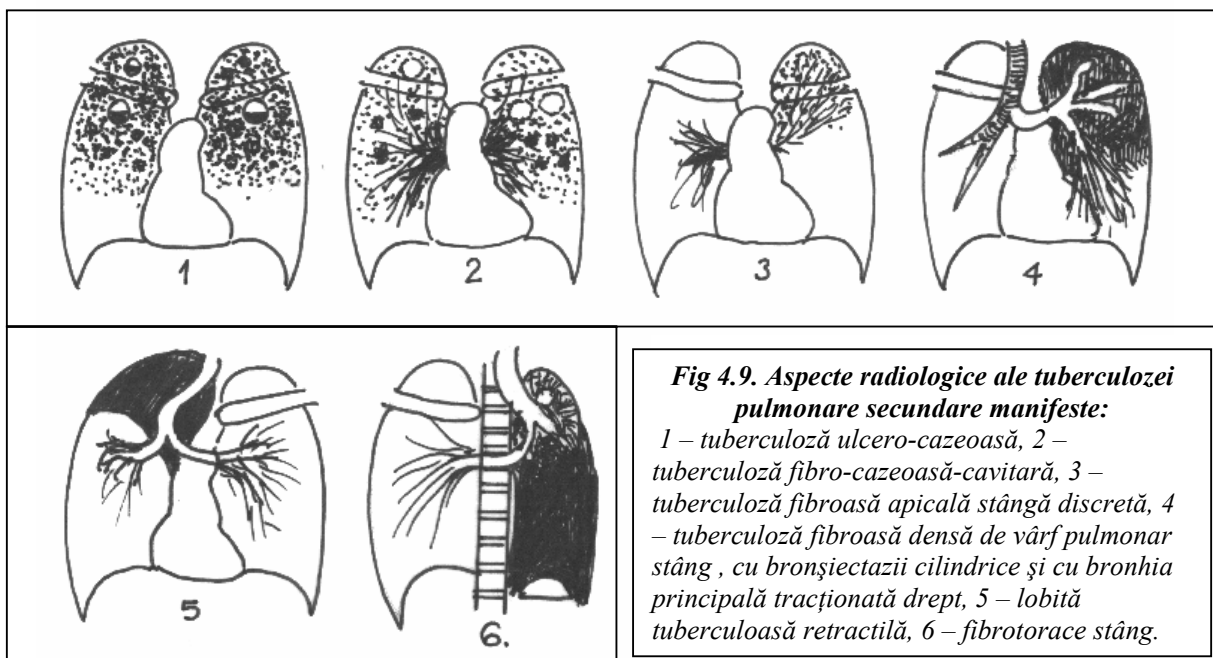


Fig 4.9. Aspecte radiologice ale tuberculozei pulmonare secundare manifeste:

1 – tuberculoză ulcero-cazeoasă, 2 – tuberculoză fibro-cazeoasă-cavitară, 3 – tuberculoză fibroasă apicală stângă discretă, 4 – tuberculoză fibroasă densă de vârf pulmonar stâng, cu bronșiectazii cilindrice și cu bronhia principală tracționată dreaptă, 5 – lobită tuberculoasă retractilă, 6 – fibrotorace stâng.

D. Tuberculoza cazeoasă circumscrișă

- formă specială de evoluție a tuberculozei pulmonare secundare, când focarele cazeoase se închistează, transformându-se în cazeoame sau tuberculoame
- tuberculomul pulmonar este constituit de un focar cazeos, cu formă sferică, închistat printr-un țesut de fibroză, închistare produsă asupra unui afect primar, a unui infiltrat precoce, a unui focar de pneumonie cazeoasă sau a unei caverne a cărei bronșie de drenaj a fost obliterată. În interiorul tuberculomului se pot depune săruri calcare, conferindu-i un aspect neomogen
- dimensiuni variabile, între 1-3 cm, putând ajunge până la 6 cm

Radiologic:

- opacitate macronodulară, cu contur net delimitat, structură neomogenă datorită calcificărilor
- topografie de obicei în regiunile superioare ale plămânilor, fiind staționar multă vreme

Diagnosticul diferențial radiologic:

- infiltratul precoce rotund Assmann
- caverna plină
- infiltratul fugace Löffler
- chistul hidatic pulmonar
- cancerul pulmonar periferic
- metastaza pulmonară solitară
- unele tumori pulmonare benigne.

E. Tuberculoze secundare cu predominanța leziunilor fibroase

- leziunile inițiale de tip exsudativ sunt urmate rapid de modificări scleroase, datorită hiperplaziei țesutului conjunctiv
- tuberculozele fibroase pot să fie sistematizate, difuze sau nesistematizate

F. Tuberculozele fibroase sistematizate

- întărirea desenului interstițial peribronhovascular
- se asociază în evoluție leziuni bronșitice și de emfizem pulmonar.

G. Tuberculozele fibroase nesistematizate

- de obicei localizate, nerespectând structurile anatomice pe care le invadează
- caracter mutilant
- reprezentate de complexe primare calcificate, fibroze după tuberculoze secundare ulcero-cazeoase cavitare și pahipleurite după colecții pleurale.

Sclerozele apicale discrete

- produse în urma diseminărilor hematogene paucibacilare
- radiologic - aspectul de benzi și nodului sclero-calcari, cu pahipleurită apicală cu festoane care se întind spre parenchimul pulmonar
- uneori se pun în evidență opacități nodulare uni sau bilateral sub forma nodulilor Simon.

Sclerozele dense (ftizia fibrozantă)

- urmarea fibrozării unei tuberculoze ulcero-cazeoase-cavitare
- mai des unilaterală, pe un lob superior (lobita retractilă)
- radiologic - opacifierea intensă neomogenă datorită dilatațiilor bronșice, bulelor de emfizem și unor excavate, localizate mai ales la lobul superior.

Fibrotoraxul (plămânul distrus)

- opacifierea masivă, neomogenă a unui întreg hemitorace, mai ales a celui stâng;
- pe fondul acestei opacități se constată zone transparente, expresia dilatațiilor bronșice, a unor caverne sau bule de emfizem;
- se asociază modificări retractile: hemitoracele respectiv este redus dimensional, coastele sunt apropiate, organele mediastinale sunt tracționate spre blocul de condensare, iar hemidiafragul este ascensionat;

Diagnosticul diferențial:

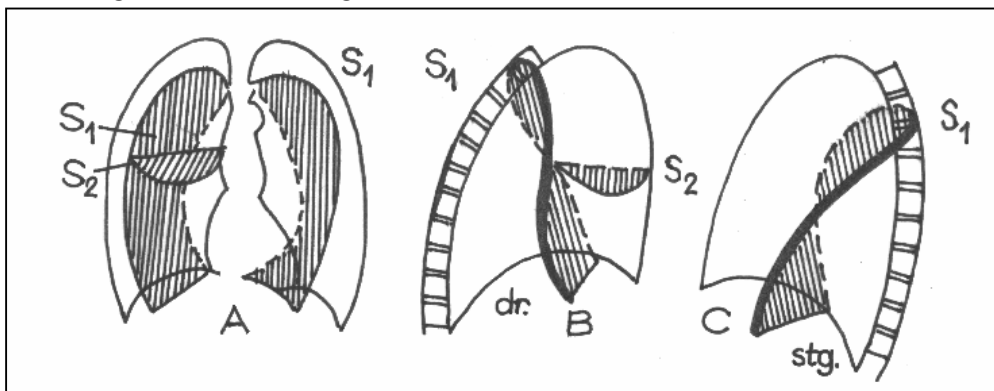
- **colecțiile pleurale masive**
 - opacitate de intensitate mare, care ocupă întregul hemitorace;
 - creșterea în dimensiuni a hemitoracelui respectiv;
 - efect de masă asupra structurilor anatomice de vecinătate.
- **atelectazia** unui plămân prin obstrucția bronșiei principale
 - opacitate masivă., omogenă, sistematizată, cu caracter aspirativ asupra organelor mediastinale;
- **pneumonia** interesând un întreg plămân
 - opacitate masivă, omogenă, de intensitate medie;
 - nu se asociază cu modificări asupra organelor vecine;
 - apajul celor cu o rezistență scăzută la infecții (alcoolici, bolnavi infectați HIV, tare imunitare etc.).

4.2. Radiodiagnosticul afecțiunilor pleurale

- afecțiuni de sine stătătoare sau asociate cu alte afecțiuni pulmonare
- aspectele radiologice sunt și în funcție de proiecția anatomică a foițelor pleurale

4.2.1. Pleurezia uscată (pleurita)

- reacție inflamatorie a pleurei fără lichid, cu fibrină localizată pe pleura parietală
- examenul radiologic este sărac în privința semiologiei; hipomobilitatea hemidiafragmului poate fi singurul semn radiologic .

**Fig. 4.10. Planul scizurilor (după Fischgold):**

A – imagine de față, B – profil drept, C – profil stâng ; S1 – planul mării scizuri, S2 – planul micii scizuri.

4.2.2. Pleurezia lichidiană

- dată de acumularea în cantități diferite a lichidului în marea cavitate pleurală, în pleurele interlobare, mediastinale și diafragmatice
- se distinge o pleurezie lichidiană liberă și una închistată la diferite nivele

4.2.2.1. Pleurezia lichidiană liberă

- semne directe: **opacitatea de intensitate mare, de tip lichidian**
- semne indirecte: din partea mediastinului, diafragmului, plămânului și cutiei toracice

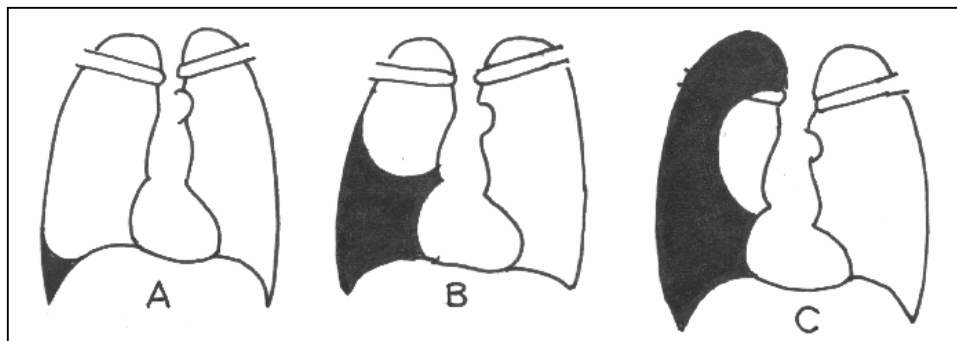


Fig 4.11. Colecții pleurale:

A – cantitate mică de lichid (100-300cmc), B – cantitate mijlocie de lichid (1000-1500 cmc), C – cantitate mare de lichid (peste 1500cmc), având limita superioară concavă cranial.

- **colecțiile foarte mici de lichid** (de exemplu cele sub 60 cmc)
 - nu se evidențiază la examenul radiologic
 - prezente doar o hipomobilitate diafragmatică de partea colecției, cu un contur ușor estompat al acestuia
- **în colecțiile mici**
 - lichid între 100-300 cmc
 - opacitate de intensitate scăzută, sub formă de voal, localizată în sinusul costo-diafragmatic, lateral și posterior
 - mobilă cu mișcările respiratorii și în funcție de mișcările bolnavului
- **colecțiile mijlocii**
 - opacități de intensitate mare, cu structură omogenă
 - ocupă treimea inferioară a unor hemitorace, cu baza pe diafragm, o margine la peretele toracic și o altă margine concavă cranial către plămân
 - opacitatea este mai intensă la baze, scăzând în intensitate în sens cranial, astfel că limita superioară dinspre plămân are un contur flu, cauzat de colapsul pulmonar și absorbția razelor X, prin pelicula de lichid, care urcă prin capilaritate în spațiul pleural anterior și posterior mai sus decât limita vizibilă radiologic
 - limita superioară parabolică a cărei convexitate privește medial și cranial, corespunde liniei lui Damoiseau, dar este mai înaltă decât aceasta
 - în clinostatism, lichidul se instalează pe toată suprafața pleurală

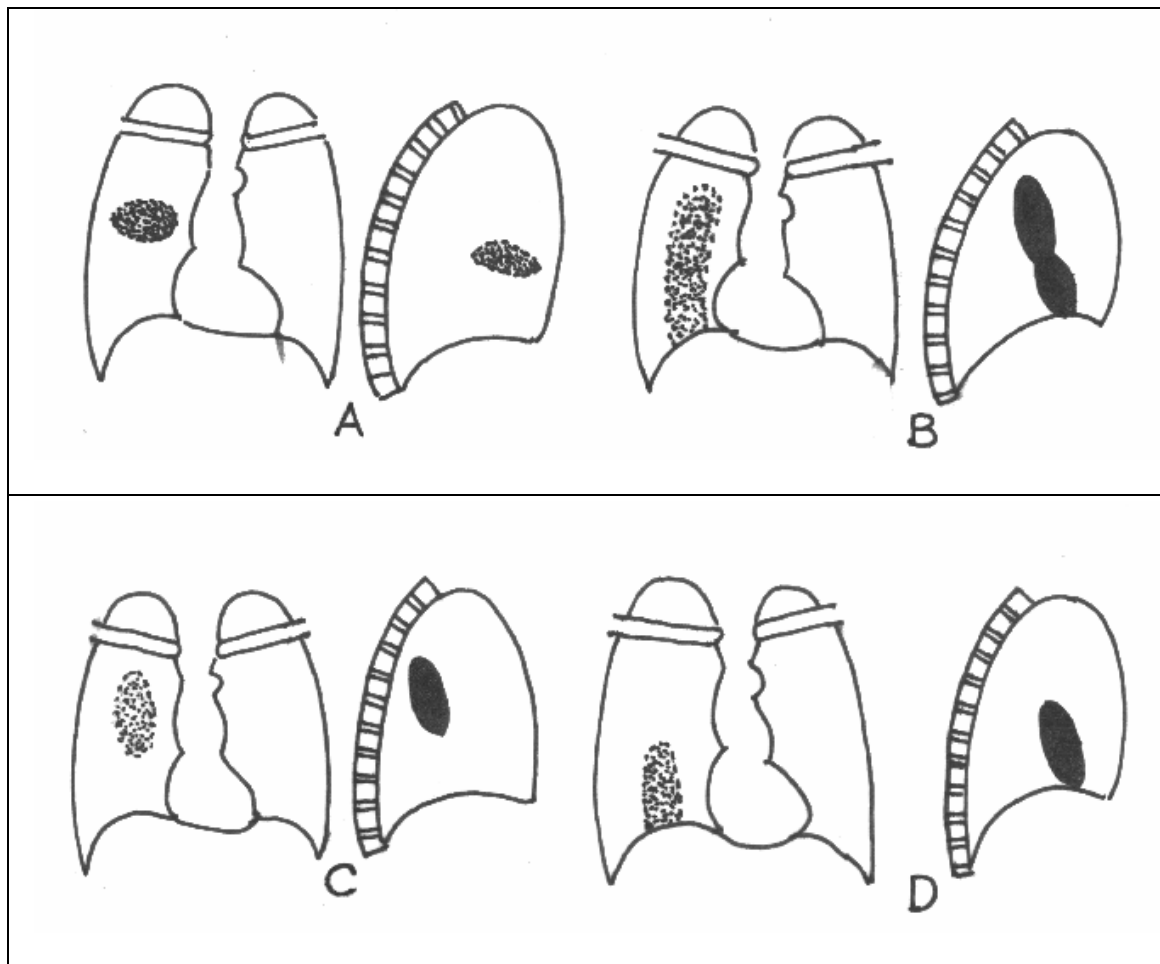


Fig. 4.12. Colecții pleurale închistate în scizuri:

A – în scizura orizontală dreaptă, B – în marea scizură oblică dreaptă, C – în jumătatea superioară a scizurii oblice drepte, D – în jumătatea inferioară a scizurii oblice drepte.

- în **pleurezia liberă în marea cavitate pleurală**
 - lichidul se mobilizează în funcție de poziția bolnavului
- dacă **lichidul este în cantitate mare**
 - opacitatea care poate cuprinde întreg hemitoracele produce compresie și deplasare asupra organelor de vecinătate: mediastinul este împins spre partea sănătoasă, diafragma este împins în sens caudal, iar peretele toracic poate fi bombat
 - mărirea de ansamblu a hemitoracelui respectiv (asemenea unui balon umplut cu o cantitate mare de lichid)
- creșterea cantității de lichid timp de 2-3 săptămâni, urmată apoi de resorbție ⇒ opacitatea radiologică scade în înălțime
- vindecarea se poate face fără sechele sau cu simfize mici, costodiafragmatice prezente pentru tot restul vieții bolnavului.

4.2.2.2. Pleurezia lichidiană închistată

- închistarea se poate produce în marea cavitate, interlobar, mediastinal și diafragmatic
- mai des închistarea se face la nivel axilar, rezultând o opacitate omogenă, bine delimitată, laterotoracică

- închistarea se poate face submamar, în spațiul pleural anterior, în dreptul foițelor pleurale ale scizurii mici
- pleurezia interlobară apare datorită localizării lichidului în mica sau marea scizură
- în scizura orizontală dreaptă, apare ca o opacitate fuziformă, localizată în zona scizurii mici, bine delimitată și omogenă iar examinarea în incidență de profil tranșează rapid diagnosticul (fig. 3.52. A).
- lichidul se mai poate închista în oricare din compartimentele pleurei uni sau bilateral
- colecția pleurală în marea scizură dreaptă și stângă apare sub forma unei opacități difuze în câmpul pulmonar, în examinările în incidență de față

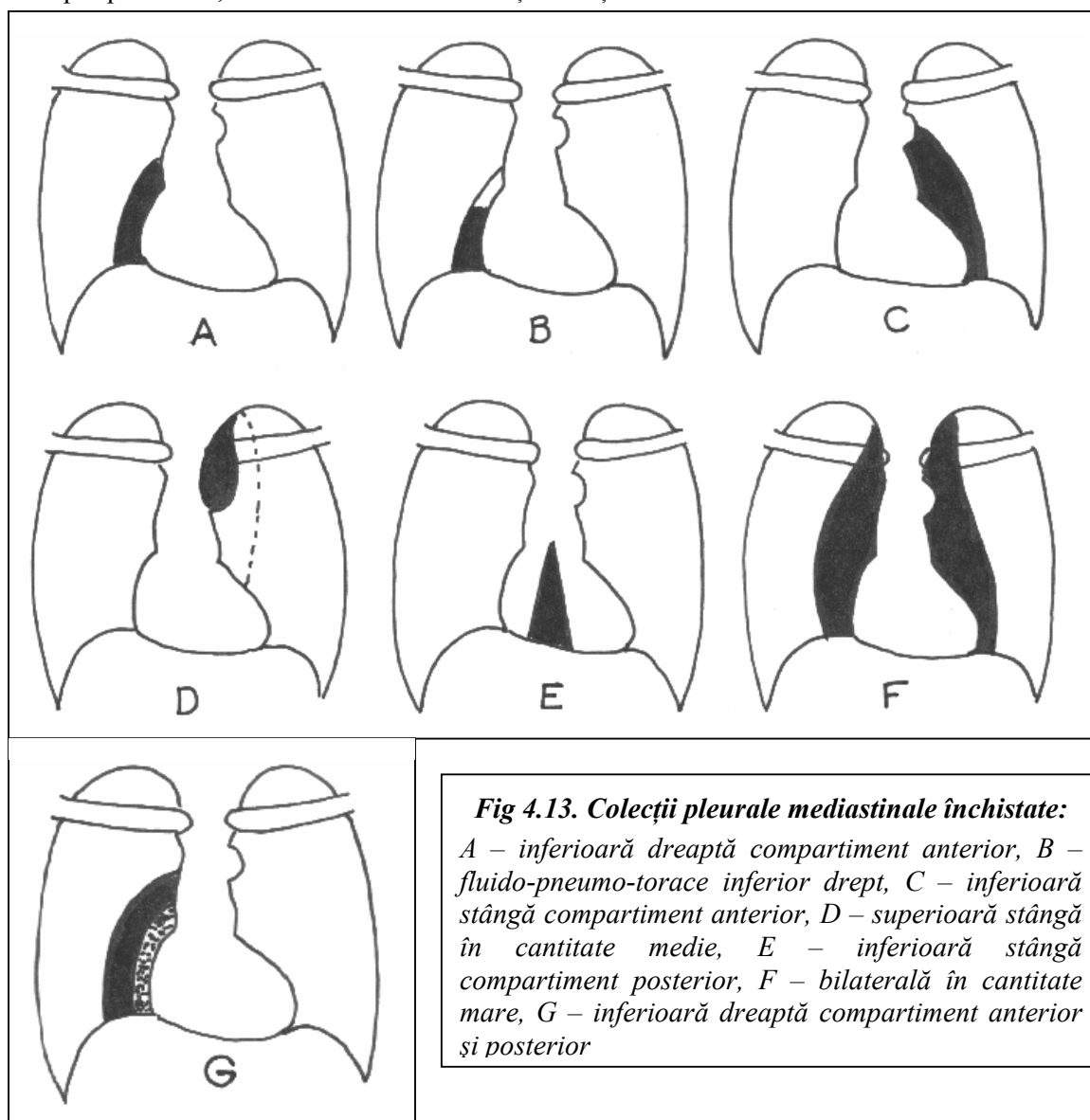


Fig 4.13. Colecții pleurale mediastinale închistate:

A – inferioară dreaptă compartiment anterior, B – fluido-pneumo-torace inferior drept, C – inferioară stângă compartiment anterior, D – superioară stângă în cantitate medie, E – inferioară stângă compartiment posterior, F – bilaterală în cantitate mare, G – inferioară dreaptă compartiment anterior și posterior

- examenul radiologic în profil este foarte caracteristic: opacitate omogenă, cu contur foarte bine delimitat, proiectată de-a lungul mării scizuri
- în cazul când colecția este închistată în jumătatea inferioară sau superioară a marii scizuri, confuzia cu pneumoniile segmentare se face ușor
- în aceste cazuri examenul în incidență de profil arată că opacitatea este situată intrascizural.

4.2.2.3. Pleurezia interlobară

- spațiul pleural mediastinal se află pe fața mediastinală a plămânului, între cele două foițe pleurale mediastinale și se împarte într-un etaj suprahilar și într-un etaj subhilar
- etajul subhilar la rândul său este împărțit de către ligamentul triunghiular al plămânului, într-un compartiment anterior și unul posterior, colecția lichidiană putându-se închista în oricare din aceste compartimente, unilateral sau bilateral
- radiologic, opacitatea în bandă cu contur foarte bine delimitat spre câmpul pulmonar, face corp comun cu mediastinul, care apare lărgit
- examenul radiologic în incidență de față și de profil reprezintă elementul esențial de diagnostic
- pleurezia diafragmatică se datorește cantonării lichidului în pleura diafragmatică
- radiologic - diafragm situat mai sus, hipomobil
- în stânga pleurezia apare sub forma unei opacități de grosimi diferite care se interpune între diafragm și camera cu aer a diafragmului
- pe partea dreaptă diagnosticul este mai dificil, deoarece pleurezia face corp comun cu opacitatea ficatului, în acest caz explorarea computer tomografică va evidenția colecția închistată, care se va putea aprecia și din punct de vedere cantitativ.

4.2.3. Simfizele pleurale

- rezultatul unui proces fibrinos sau exudativ pleural, care are ca rezultat lipirea foițelor pleurale
- semnele radiologice directe sunt date de opacitate, la care se adaugă o serie de semne indirecte constând din modificări ale organelor din jur

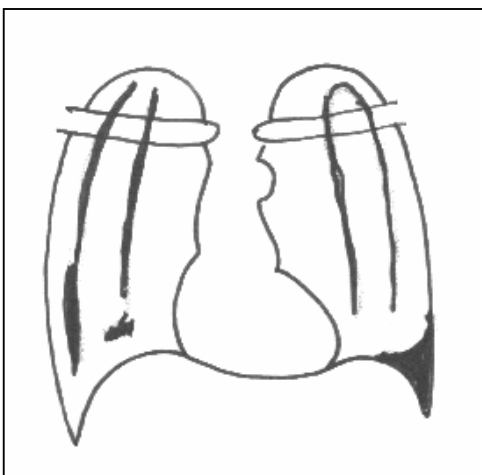


Fig 4.14. Calcificări pleurale, bilaterale, cu simfiză de sinus costodiafragmatic stâng

Localizări ale simfizelor pleurale

- pahipleurita vârfului
 - voal
 - neregularități ale vârfului pulmonar
- pahipleurita bazei
 - simfiză costodiafragmatică
 - voalare a sinusului costodiafragmatic, care nu se destinde în mod normal așa cum se întâmplă în inspirație
- pahipleurita mediastinală
 - porțiune din conturul mediastinului și a cordului au aspect rectiliniu
 - contur crenelat dințat pe conturul mediastinal
- pahipleurita generalizată (fibrotoracele)

- minitorace retractat și opac
- laterotoracic opacitate mai intensă
- mediastinul și organele sale sunt tracționate spre partea bolnavă

4.2.4. Calcificările pleurale

- rezultatul inflamațiilor pleurale repetate cu depunere de calciu pe pleură
- depunerile se fac cel mai des în jumătatea inferioară a pleurei, în partea externă

Radiologic

- opacități neregulate, cu porțiuni de intensitate foarte mare, datorită impregnării cu calciu, cu porțiuni de intensitate slabă, neomogenă, bine delimitată
- pe o anumită porțiune merge paralel cu peretele toracic, de care este separat printr-o distanță de 1-2 mm, separație care este produsă de faptul că depozitarea calciului se face pe pleura viscerală, adiacentă plămânului
- rotind bolnavul în diverse poziții se constată că opacitatea ține de pleură și nu de plămân
- aspectele care se pot evidenția cu această ocazie sunt foarte diferite: “în placarde”, “în platoșe”, “în fier de plug”, “în capăt de luncă”, “în os de sepie” etc.

4.2.5. Pneumotoracele

- corespunde pătrunderii aerului în marea cavitate pleurală
- radiologic - **hipertransparență** a hemitoracelui respectiv cu lipsa desenului pulmonar și colabarea plămânului la nivelul hilului pulmonar
- marginea plămânului colabat este bine evidențiată la examenul radiologic
- pneumotoracele poate fi complet (când nu există aderență în pleură) și parțial (când se produce o retecție incompletă a plămânului din cauza aderențelor dintre cele două foițe pleurale)

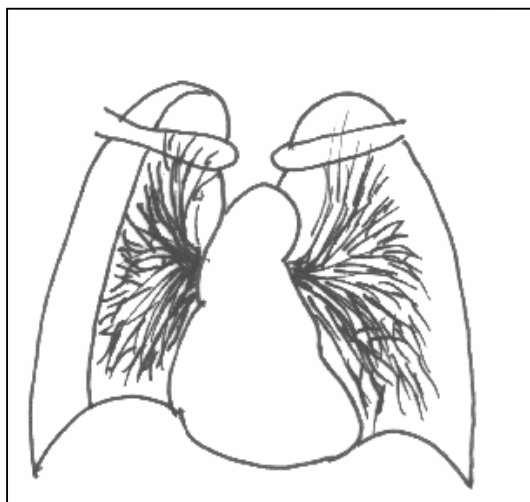


Fig 4.15. Pneumotorace spontan drept
hipertransparență difuză, ce coafează
plămânul de la vârful la diafragm, cu
desen pulmonar absent în porțiunea
lezată

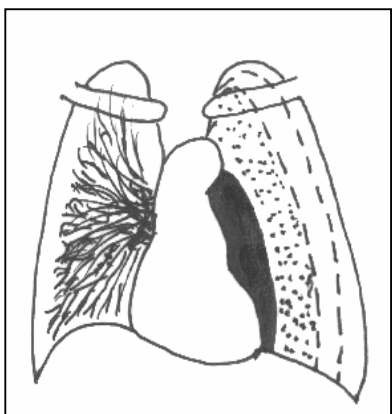


Fig 4.16. Pneumotorace stâng
în grade diferite de mărime, cu
absența desenului pulmonar

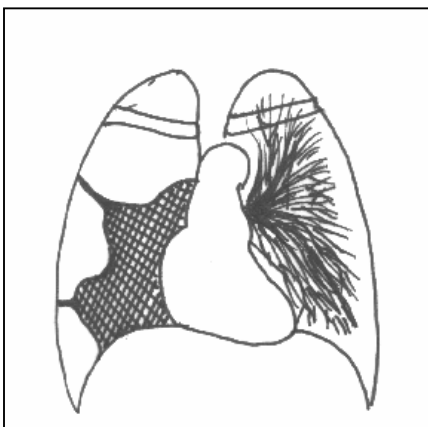


Fig 4.17. Pneumotorace bridat
prin bridă parieto-viscerală
dreaptă, cu colabarea plămânului
și hipertransparență adiacentă.

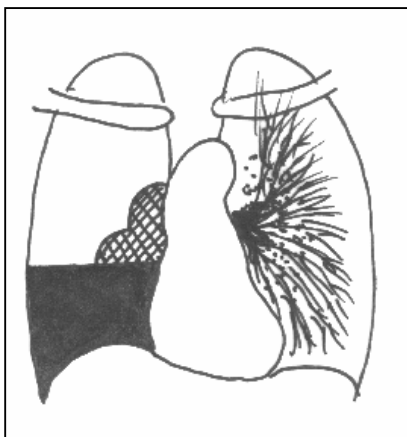


Fig 4.18. Fluido-pneumo-torace drept: colabarea plămânului drept
pe hil și cu nivel orizontal la limita
aer-lichid.

- în incidența de față, pneumotoracele total apare ca o bandă de hipertransparență, care coafează plămânul de la vârf până la diafragm
- în pneumotoracele parțial, aspectele foarte diferite sunt în funcție de numărul, mărimea și localizarea aderențelor
- gradul colapsului pulmonar depinde de cantitatea de aer pătrunsă în cavitatea pleurală, fiind și în funcție de prezența sau absența aderențelor pleurale
- dacă pe lângă aer, în marea cavitate pleurală pătrunde lichid, vorbim de fluido-pneumo-torace
- la examenul radiologic se constată o opacitate bazală, de intensitate mare, de tip lichidian, cu nivel superior orizontal, independent de poziția în care se află bolnavul, la care se adaugă hipertransparența fără desen pulmonar

- pătrunderea lichidului după aer la nivelul mării cavității pleurale realizează fluidopneumotoracele, unde limita superioară a lichidului nu mai este concavă, ci plană, orizontală, indiferent de poziția bolnavului

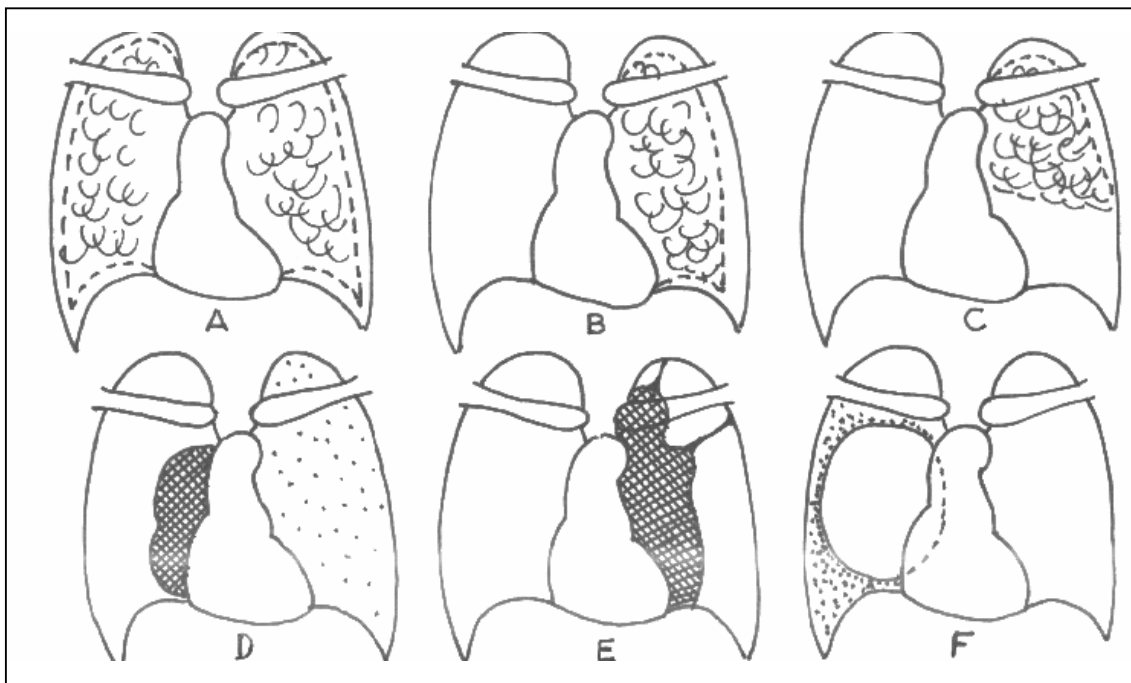


Fig 4.19. Diagnosticul diferențial al hipertransparențelor pulmonare difuze:
A – emfizem pulmonar generalizat, B – emfizem pulmonar unilateral, C – emfizem lobar, D – pneumotorace spontan, E – pneumotorace bridat, parietovisceral, apical stâng, F – bulă gigantă de emfizem.

4.2.6. Tumorile pleurale

- pot fi benigne și maligne, primare și secundare
- radiologic apar ca formațiuni opace, rotunde sau ovalare, unice sau multiple, alipite peretelui toracic, uneori pediculate
- tumorile benigne de tipul fibromului, lipomului, condromului sunt rare și apar radiologic ca formațiuni opace, unice, rotunde sau ovalare, alipite peretelui toracic
- mezoteliomul pleural, în forma sa difuză reprezintă o formațiune tumorală malignă, care se însoțește de colecție pleurală, pe parcurs devenind hemoragică, la ea asociindu-se și eroziunile costale; examenul C.T. tranșează diagnosticul
- determinările secundare la nivel pleural se produc în cancer bronhopulmonar, cancer de sân, alte cancere fiind multiple și realizând colecții pleurale (metastatice).

4.3. Radiodiagnosticul tumorilor pulmonare

După sediu tumorile pulmonare pot fi:

- **bronhopulmonare**
- **mediastinale**
- **pleurale**

Din punct de vedere al evoluției

- **benigne**
- **maligne**

4.3.1. Tumorile pulmonare benigne

Tipuri de tumori benigne:

- **adenoame**
- **papiloame**
- **condroame**
- **mioame**
- **fibroame**
- **lipoame**
- **leiomioame**
- **angioame**
- **hamartoame etc.**

Caracteristici care le diferențiază net de cele cu caracter malign:

- **se dezvoltă în țesut pulmonar sănătos, fără a modifica și a infiltra țesuturile din imediata vecinătate**
- **deplasează formațiunile anatomice de vecinătate, fără modificarea structurii acestora ; în cazul în care tumora benignă are o dezvoltare extensivă, poate provoca tulburări funcționale sau atrofia organelor compresate**
- **determină procese expansive, cu contur net, de formă ovoidală cauzată de dezvoltarea lor excentrică**
- **ritmul de creștere este lent, astfel că nu apar diferențe apreciable la explorările radiologice efectuate la intervale mari de timp**
- **odată excizate chirurgical nu mai recidivează postoperator**
- **nu dau metastaze**
- **sunt foarte rare**
- **nu produc adenopatii hilare**
- **nu prezintă simptomatologie clinică proprie, descoperirea lor fiind întâmplătoare, hazardată, cu ocazia unor explorări de rutină**
- **certitudinea caracterului benign este certificată numai de examenul histopatologic al piesei operatorii**

4.3.1.1. Adenomul bronșic

- **cunoscut sub numele de carcinoid, epistom sau epiteliom cu stroma remaniată**
- **evoluția sa este lentă, cu metastazare foarte tardivă în 3-5% din cazuri, în ciuda caracterului său benign**
- **incidența tumorii în decada 2-4 de vârstă, la persoane relativ tinere, mai ales femei**
- **sediul de predilecție este în bronșiile mari, de unde tinde să evolueze spre trahee, atât înăuntrul cât și în afara lumenului bronșic. Dimensiunile de obicei sunt medii, dar poate ajunge la dimensiuni mari, cu o greutate de 1 kg**
- **simptomatologia clinică este în funcție de evoluția tumorii, fără trăsături caracteristice**
- **înainte de instalarea obstrucției bronșice sunt prezente dureri toracice, tuse de tip iritativ, mici hemoptizii care sunt constante**
- **dacă bronșia se îngustează apar fenomene de retenție a secrețiilor bronșice, cu puseuri febrile de bronhopneumonie**

- dacă obstrucția este totală, apar puseuri de supurație bronhopulmonară, cu tuse și expectorație purulentă, febră mare, dispnee
- adenomul exobronșic, cu evoluție în afara bronșiei, apare la examenul radiologic sub forma unei opacități bine circumscrise, uneori lobulată situată la nivelul unei bronhii de calibru mare sau la nivel hilar
- adenomul endobronșic presupune diagnostic dependent de gradul de instalare al obstrucției bronșice, parțiale sau totale
- odată cu instalarea obstrucției apar fenomenele de stenoză, care evoluează în trei stadii:
- **stadiul I, de stenoză simplă**
 - stânjenirea circulației aerului în inspir și expir cu transparența pulmonară diminuată
 - în inspir forțat cordul este deplasat spre partea cu stenoză, iar în inspir se deplasează spre partea sănătoasă, diafragul având amplitudinea mai redusă comparativ cu partea sănătoasă
- **stadiul II, de stenoză**, cu obstacol evident:
 - se împiedică eliminarea aerului în expir, în vreme ce inspirația se face normal
 - în teritoriul ventilat de bronhia cu adenom, plămânul prezintă hipertransparență cauzată de emfizemul obstructiv
 - cordul se deplasează în inspir spre partea afectată, luându-și apoi locul pe linia mediană în inspir
- **stadiul III de stenoză completă**
 - apare atelectazia prin obstrucție segmentară sau lobară corespunzătoare calibrului bronșiei obstruite
 - în inspir cordul se deplasează spre partea afectată, în expir revenind la poziția sa mediană, hemidiafragul regiunii cu stenoză având o poziție înaltă și o amplitudine mai redusă

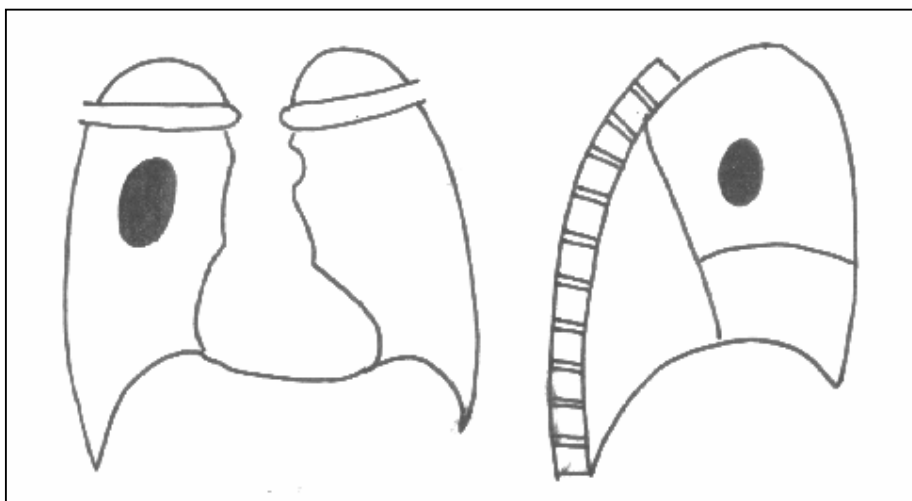


Fig 4.20. Adenomul bronșic:

opacitate intraparenchimotoasă, cu structură omogenă și contur precis delimitat față de țesutul pulmonar de vecinătate.

- bronhoscopia permite examinarea tumorii, fiind limitată deoarece tumora este vizibilă numai parțial și nu în totalitate, dacă evoluția acesteia are loc endobronșic

- recoltatul biptic efectuat cu această ocazie permite examenul histopatologic, care confirmă diagnosticul de adenom bronșic
- evoluția adenomului bronșic este îndelungată, dar favorabilă
- în stadiul III de atelectazie prin obstrucție pot surveni procese supurative și se pot instala dilatații bronșice
- transformarea malignă a tumorii determină sporirea dimensiunilor, concomitent cu apariția adenopatiilor

Alte tumori benigne:

- polipii
- lipoamele
- fibroamele
- leiomioamele
 - foarte rare
 - nu au un sindrom clinic particular
 - endoscopia și examenul histopatologic tranșează diagnosticul pozitiv

4.3.1.2. Hamartomul

- face parte dintre cele mai benigne tumori pulmonare, cu o incidență cuprinsă între 17-64%
- afectează decada de vârstă 4-6, fiind de două ori mai frecventă la bărbați
- hamartocondromul are în componența sa cartilaj, mușchi, țesut conjunctiv fibros (care predomină), grăsimi și elemente epiteliale ; practic nu se poate vorbi de hamartocondrom fără componenta cartilaginoasă

Topografie:

- în plin parenchim pulmonar
- în lumenul unei bronșii, cu sediul periferic și anterior
- în apropierea hilului pulmonar.

Clinic:

- asimptomatică, descoperirea fiind pur întâmplătoare

Radiologic:

- opacitate rotundă, solitară
- bine conturată
- dimensiuni reduse, între 3-4 cm, nefiind excluse dimensiunile de 10 cm diametru
- intensitatea opacității este mare
- structură omogenă
- contur bine delimitat, regulat , uneori polilobulat
- calcificările, ca indicator al benignității sunt rar prezente
- în afara hamartocondromului intrapulmonar, există și posibilitatea dezvoltării lui la nivel endobronșic
- bronhoscopia obiectivează tumora sub forma unei mase rotunde, dure, polipoide, mamelonată, de obicei mobilă în lumenul bronșic, cu grad de obstrucție bronșică variabil
- ritmul de creștere al tumorii este de 0,5 cm pe an.
- hamartocondromul nu evoluează niciodată spre malignizare și nu recidivează după intervenția chirurgicală, care constă din simpla enucleere sau prin exereză parenchimatoasă reglată în funcție de afectarea plămânilor și a bronșiilor din jur

4.3.1.3. Chistul hidatic pulmonar

- înainte de vomică, se încadrează în capitolul tumorilor benigne fiind caracterizat ca o opacitate ovoidă, omogenă de dimensiuni variabile, bine delimitată, uneori cu calcificări, fără ca țesutul pulmonar din jur să fie modificat
- după vomică, se realizează imaginea mixtă, hidro-aerică

Diagnosticul diferențial radiologic al tumorilor pulmonare benigne se face cu opacitățile rotunde solitare care dau aspecte radiologice asemănătoare.

4.3.2. Tumorile maligne pulmonare

- evoluează infraclinic în marea majoritate a cazurilor, iar când sunt descoperite, ravagiile produse sunt deja extinse
- sunt primare și secundare.

Morfopatologic se disting :

1. cancerul bronșiilor mari (70%) cu localizare:

- hilară
- parahilară
- mediastino-hilară

2. cancerul bronșiilor mici (30%) cu formele:

- periferică
- apicală
- formele abcedate

- explorarea radiologică are un rol major în diagnosticul tumorilor maligne pulmonare
- simptomatologia clinică în faza incipientă, ca și cea radiologică sunt sărace și lipsite de semne caracteristice, boala e diagnosticată într-o formă avansată, de foarte multe ori depășită chirurgical
- examenul radiologic nu poate să facă o diferențiere între diversele forme histopatologice ale neoplasmului pulmonar

- un carcinom cu celule mici are o evoluție mult mai rapidă decât un neoplasm cu celule diferențiate, un cilindrom sau un carcinoid;
- adenopatia hilară este mai comună cancerului cu celule mici și este aproape inexistentă în adenocarcinom;
- formele nodulare cu un diametru mai mic de 4 cm sunt mai ales adenocarcinoame;
- opacitățile cu un diametru care depășește 4 cm, sunt mai rar carcinoame cu celule mici, ele reprezentând în special carcinoamele cu celule mari;
- tumorile apicale sunt de regulă carcinoame cu celule scuamoase;
- atelectazia ca simplă manifestare, sau în combinație cu alte semne, se instalează mai ales în cazul carcinoamelor cu celule scuamoase;
- pneumonita este un semn care sugerează tipul cu celule scuamoase, dar când este asociată cu alte semne, indică un carcinom nediferențiat, cu celule mari sau mici;
- excavarea este mai ales comună tumorilor cu celule scuamoase, mai puțin comună adenocarcinoamelor cu celule mari și inexistentă în carcinoamele cu celule mici;

- creșterea în dimensiuni în sens transversal a mediastinului, indică existența unui cancer nediferențiat cu celule mici;
 - carcinoamele cu celule scuamoase pot fi centrale sau periferice, adenocarcinoamele sunt numai periferice.
- Din punct de vedere al aspectului radiologic se pot diferenția câteva categorii de neoplasme primare:
- **cancerul hilar sau central este un cancer bronhopulmonar**
 - **cancerul parenchimos peri-feric este un cancer bronhioloalveolar**
 - **cancerul intermediar este un cancer al nucleului pulmonar**
 - **cancerul vârfului pulmonar este cancerul PANCOAST-TOBIAS**
 - **cancerul cicatricei** presupune o cicatrice pulmonară pe care se grefează cancerul (mai ales cicatricile din tuberculoză !)

4.3.2.1. Cancerul hilar (central)

- opacitate omogenă, de intensitate la început subcostală, apoi costală, cu dimensiuni care variază în funcție de momentul examinării de la 1cm, până la cele ale unui segment, lob sau mai mult de atât
- contur neregulat datorită existenței unor opacități lineare și în bandă centrifuge, prelungiri dendritoide, expresie radiologică a limfangiozei tumorale retrograde.
- opacitatea tumorii se suprapune peste opacitatea hilară
- hipertrofia hilară unilaterală poate fi prima manifestare radiologică a unui carcinom bronșic
- alteori creșterea hilului se manifestă prin accentuarea opacității acestuia, elementele ganglionare rămânând mici
- cancerul central interesează inițial bronhia și apoi interstițiul pulmonar, cu aspect de “iceberg”, ceea ce obligă la studiul situației bronhiile - astfel radiografia cu raze dure poate pune în evidență bronhiile mari de gradul II și III, atât în incidente de față cât și oblice
- bronhografia pune în evidență reducerea lumenului bronșic, forma și dimensiunile procesului expansiv intrabronșic, gradul de întindere în lungime al stenozei bronșice.

Gradul de elasticitate și peristaltica bronșică sunt argumente importante în aprecierea procesului de infiltrație al pereților bronșici.

- nodulul canceros realizează o serie de complicații, ale căror simptome radiologice pot trece pe primul plan, punând în umbră imaginea tumorii propriu-zise:
 - obstrucție bronșică cu atelectazie și hiperinflație secundară
 - inflamații și infecții: pneumonie, abces pulmonar, revărsat pleural, reactivări tbc
 - adenopatii hilare
 - invadare arterială (tromboze)
 - invadare venoasă și limfatică
 - afectarea nervului laringeu recurent cu răgușeală și ascensionarea hemidiafragmului prin pareza de nerv frenic

Modalități evolutive:

1. Cancerul central hilar cu evoluție predominant intrabronșică

a. Stadiul bronhoscopic

- clinic: simptomatologie bronșică trenantă, fără a avea o obiectivare radiologică
- bronhoscopia va pune în evidență una din cele trei forme tipice de cancer bronșic:

- **vegetant**, în care bronhoscopic se pun în evidență mugurii de proliferare tumorală, iar bronhografic se constată defectul de umplere reprezentat de **lacună**, de dimensiuni variate, cu contur imprecis delimitat;
- **infiltrant**, în care bronhoscopic se pune în evidență îngustarea de lumen, cu **rigiditate** la nivelul pereților, examenul bronhografic relevând stenoza, cu îngustarea lumenului, conturul fiind neregulat și imprecis;
- **ulcerat**, constând în pierderea de substanță la nivelul mucoasei bronșice, iar bronhografic prin imaginea de **nișă persistentă** pe conturul bronhiei afectate.

b. Stadiul de obstrucție parțială a bronhiei

- permite pătrunderea aerului în inspir, când lumenul bronșic se mărește
- în expirație, lumenul bronșiei se reduce, porțiunea neafectată a peretelui bronșiei se aplică pe tumora vegetantă, obstruând complet lumenul, cu blocarea aerului inspirat în teritoriul deservit de bronșia afectată
- reținerea aerului în teritoriul aferent bronșiei conduce la apariția unui emfizem localizat, segmentar sau lobar

c. Stadiul de obstrucție totală a bronhiei

- instalarea **atelectaziei** pe teritoriul aferent bronhiei purtătoare a cancerului, aerul din teritoriul neventilat fiind resorbit
- radiologic:
 - **opacități sistematizate** (segmentare, lobare sau a întregului hemitorace)
 - **omogene cu caracter aspirativ**
 - resorbția aerului din teritoriul atelectaziat determină micșorarea volumetrică a plămânului respectiv, cu aspirarea organelor de vecinătate
 - spațiile intercostale sunt micșorate
 - hemidiafragul ascensionat
 - traheea, cordul, marile vase, camera cu aer a stomacului și unghiul splenic al colonului fiind aspirate spre opacitatea atelectatică.

d. Stadiul de atelectazie infectată prezintă:

- tablou clinic și radiologic de **supurație**
- radiologic se constată aspectul de opacitate masivă pe fondul căreia apare imaginea hidro-aerică tipică proceselor supurative pulmonare

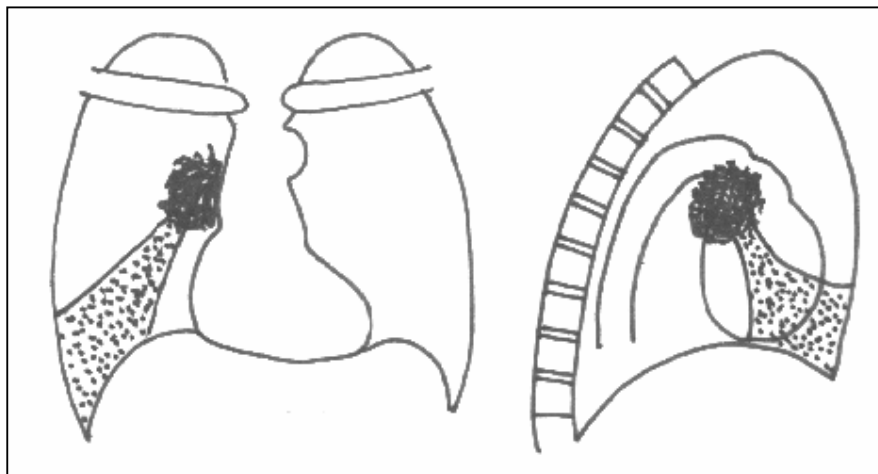


Fig 4.21. Cancer hilar endobronșic
cu zonă de atelectazie corespunzător obstrucției bronșice.

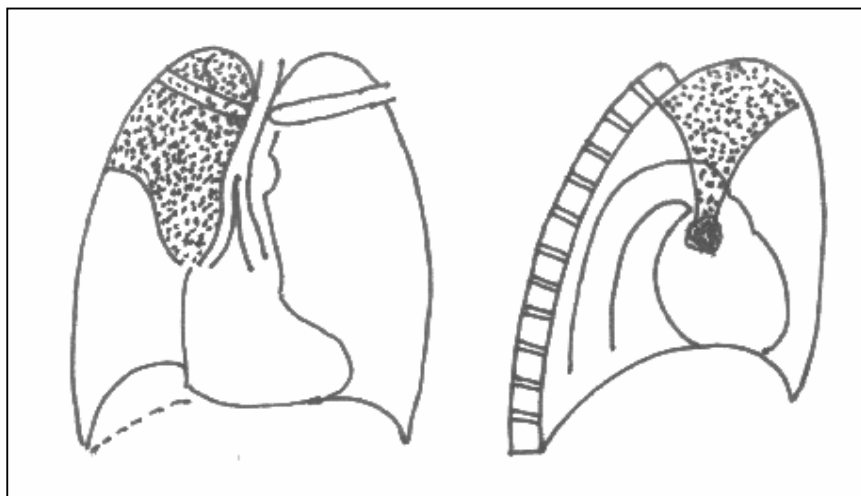


Fig 4.22. Cancer hilar endobronșic
cu atelectazie de lob superior drept : scizura orizontală aspirată, traheea tracționată spre dreapta, hemidiafragm drept ascensionat.

2. Cancerul bronhopulmonar central cu evoluție predominant extrabronșică
poate prezenta două variante radiologice:

a. cancerul masiv, nodos al hilului

- procesul tumoral având ca punct de plecare epiteliul marilor bronhii, se dezvoltă predominant extrabronșic, în țesutul conjunctiv interstițial pulmonar.
- opacitate hemisferică, rotundă sau ovalară, omogenă de intensitate costală, cu contur bine delimitat spre transparența pulmonară
- opacitatea face corp comun cu imaginea cardio-mediastinală și se proiectează în plan frontal și sagital la nivelul hilului pulmonar
- treptat conturul devine neregulat, infiltrativ, reflectând procesul de afectare a limfaticelor pulmonare, prin care procesul tumoral invadează parenchimul pulmonar din aproape în aproape
- apar opacități lineare, cu caracter radiar de la periferia formației tumorale și care brăzdează câmpul pulmonar până la nivelul pleurei, unde determină uneori reacție lichidiană sero-citrină sau cel mai des hemoragică

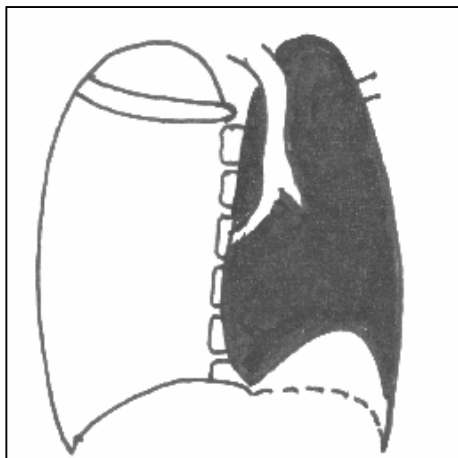


Fig 4.23. Cancer pulmonar endobronșic
cu atelectazia hemitoracelui stâng:
opacitate omogenă, sistematizată, cu
caracter aspirativ care aspiră structurile
mediastinale, dezvelind coloana, aspiră
traheea și hemidiafragmul de aceeași
parte.

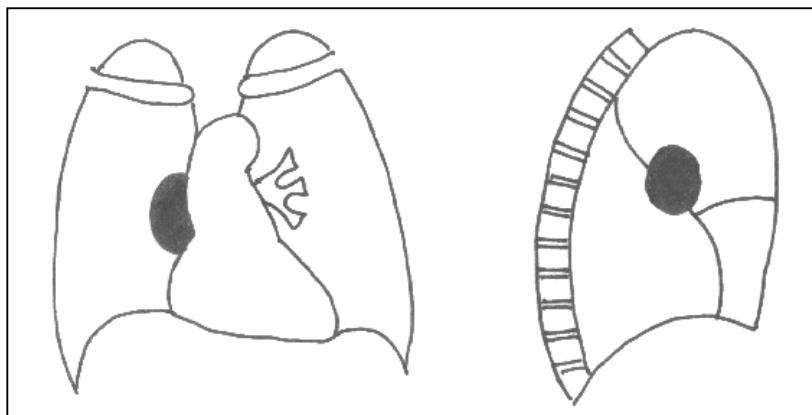


Fig 4.24. Cancer masiv nodos al hilului pulmonar drept.

b .cancerul bronhogen ramificat

- formațiunea tumorală bronșică este mascată parțial de organele mediastinale
- radiologic se evidențiază în special aspectul de invadare al limfaticelor perihilare
- hil pulmonar mare, de la care pleacă radiar spre câmpul pulmonar opacități lineare, sinuoase, fără delimitare netă
- evoluție radiologică similară cu cea descrisă la cancerul nodos al hilului: procesul se extinde progresiv și poate invada pleura, determinând colecții lichidiene scizurale, sau în marea cavitate pleurală
- localizarea unilaterală constituie un aspect semiologic important în diagnosticul diferențial cu alte afecțiuni care se pot manifesta prin opacități lineare cu punct de plecare în regiunea hilară: plămân de stază, pneumoconioze, fibroze pulmonare, entități clinice în care localizarea este bilaterală.

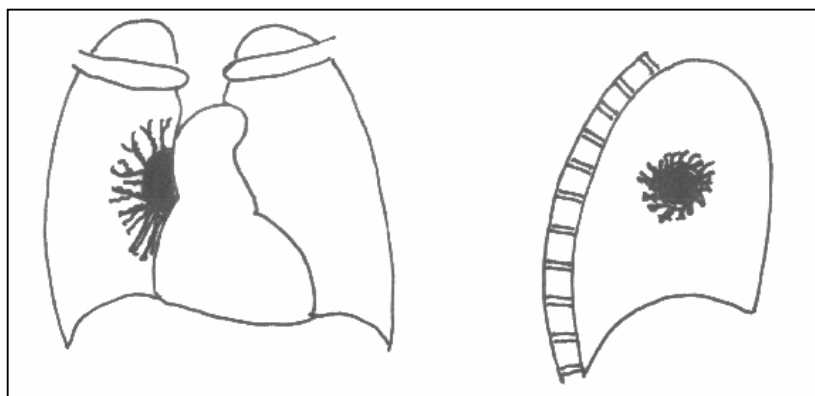


Fig 4.25. Cancer bronhogen ramificat:
opacitate hilară dreaptă cu invadarea limfaticelor perihilare, imprecis delimitate

Cancerul lobar

- poate fi decelat la prima examinare radiologică
- aspect de cancer masiv, tradus radiologic printr-o opacitate masivă care afectează un lob, mărindu-i volumul și bombând scizurile
- diagnosticul pozitiv se bazează pe coroborarea semnelor clinice cu aspectele radiologice și endoscopice, cu probele biologice și examenul histopatologic

IMPORTANT! Clinic vom suspecta un cancer pulmonar în special la persoanele care au depășit vârsta de 40 ani, mai ales bărbați, mari fumători, având o simptomatologie funcțională pulmonară trenantă, torpidă, neinfluențată de tratamentele medicale uzuale.

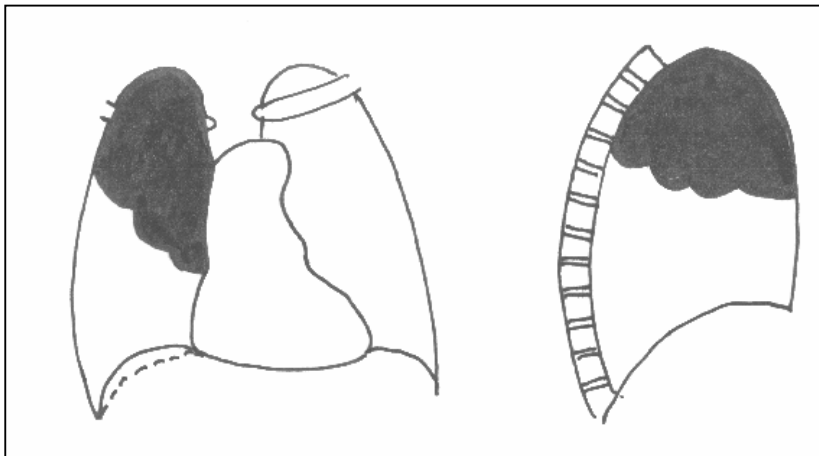


Fig 4.26. Cancer lobar:
opacitate masivă care afectează un lob, mărindu-i volumul și bombând scizurile.

Diagnosticul diferențial radiologic al cancerului bronhopulmonar central este dificil, trebuind considerat în raport cu stadiul evolutiv.

1. Cancerul bronhopulmonar în stadiul de debut

- manifestări clinice monosimptomatice sau polisimptomatice necaracteristice
- erori de diagnostic cu bronșitele, stările gripale, bronșiectaziile, cordul pulmonar cronic, bronhopatia cronică obstructivă etc.

2. Cancerul pulmonar central cu emfizem segmentar sau lobar

- produs prin obstrucția parțială a bronhiei, trebuie diferențiat de afecțiuni pulmonare însoțite de creșterea transparenței pulmonare :
 - hipertransparențe pulmonare cu desen pulmonar păstrat date de:
 - emfizem determinat de obstrucția parțială prin corp străin intrabronșic
 - bronșite segmentare cu emfizem subiacent
 - pneumonie buloasă extensivă,
 - sindrom MacLeod,
 - hipertransparențe pulmonare fără desen pulmonar
 - pneumotorace parțial închisat,
 - chist aerian.

3. Cancerul pulmonar cu atelectazie trebuie diferențiat de procesele patologice pulmonare manifestate radiologic prin caracterul de opacitate intensă de tip atelectatic:

- atelectazie produsă prin obstrucția unei bronșii prin corp străin, tumoră benignă bronșică, procese bronșice inflamatorii
- atelectazii acute și subacute după intervenții chirurgicale cu anestezie prin intubație,
- atelectazii date de procese patologice inflamatorii manifestate prin opacități pulmonare segmentare sau lobare: abcesul pulmonar înainte de vomă, bronhopneumonia pseudolobară
- atelectazia lobului superior dată de cancerul bronhiei superioare se va diferenția de lobita tuberculoasă și lobita actinomicotică

- atelectazia lobului mediu dată de cancerul bronhiei mijlocii se va diferenția de o pleurezie interlobară
- atelectazia lobului inferior dată de cancerul lobarei inferioare se va diferenția de o pneumonie a lobului inferior, de o colecție pleurală, de o pahipleurită, de un infarct pulmonar

4. **Cancerul bronhogen ramificat** va trebui diferențiat de:

- **tuberculoza pulmonară**
- **sclerozele pulmonare**
- **silicozele de gradul I**
- **leziuni interstițiale din sifilis și micoze**
- **pneumoniile interstițiale cu hil pulmonar mărit.**

5. **Cancerul masiv, nodos al hilului** va trebui diferențiat de alte procese care se manifestă prin opacități proiectate în hilul pulmonar :

- **bolile de sistem**
 - limfogranulomatoza malignă
 - limforeticulosarcomul
 - adenopatiile din leucoze
- **tuberculoza gangliopulmonară** în care sindromul de impregnație bacilară, prezența bacilului Koch pe medii de cultură, I.D.R. pozitivă conduc la stabilirea diagnosticului clinic
- **anevrismul aortei ascendente**, în cazul în care formațiunea se proiectează în hilul pulmonar drept și aneurismul aortei descendente când formațiunea este proiectată în hilul pulmonar stâng; examenul în incidențe oblice și de profil stabilesc diagnosticul, formațiunea anevrismală menținându-se pe traiectul aortei în oricare din incidențele de examinare.
- **cancerul periferic** se poate proiecta în incidența frontală la nivelul hilului; pe incidențele de profil proiecția are loc anterior sau posterior de hilul pulmonar, precizare importantă, cancerule periferice având mai multe șanse de operabilitate decât cele centrale
- **tumorile benigne mediastino-pulmonare** proiectate în plan frontal la nivelul hilului, cu sediul în mediastinul anterior (timoame, teratoame etc.) sau în mediastinul posterior (neurinoame, ganglioneuroame)
- **pleureziile închistate mediastino-interlobar** pot sugera un proces proliferativ central, însă explorarea radiologică și computer tomografică aduc elementele necesare diferențierii
- **diverticolul pericardic** sau dilatația atriului stâng spre dreapta în cursul leziunilor valvulare mitrale comportă uneori probleme de diagnostic diferențial cu un cancer central

6. **Cancerul cu extensie lobară** impune diagnosticul diferențial cu:

- **pneumonia cronică** pune probleme dificile de diagnostic diferențial, încât numai angiografia poate aduce informații utile, în cancer existând o reducere a vascularizației, spre deosebire de pneumonie unde se constată o accentuare a acesteia
- **lobita tuberculoasă** apare mai des la vârste mai tinere, are caracter retractil, este neomogenă și se însoțește de apicalizarea hilului-examenul sputei decelează bacilul Koch, examinările bronhoscopice și citologice tranșând diagnosticul în cazurile îndoielnice

7. **Cancerul bronșic cu supurație supraadăugată** trebuie diferențiat de supurațiile pulmonare obișnuite

- radiologic în jurul imaginii hidroaerice se evidențiază o zonă densă, ca expresie a procesului tumoral
- examenul citologic al sputei poate stabili diagnosticul prin evidențierea celulelor atipice
- în cazurile de cancer hilar cu supurație pericanceroasă (care sugerează aspectul de abces pulmonar) elementul esențial care sugerează natura procesului este rezistența acestuia la tratamentul medicamentos aplicat, de așa-zisele recidive ale “abcesului”

8. Cancerul central cu obstrucția bronhiei principale - opacifierea omogenă a unui hemitorace, care are caracter aspirativ, fiind necesară diferențierea de procesele patologice care determină opacități masive : pleurezie masivă, pneumonie masivă, fibrotorace etc.:

- **pleurezia masivă**
 - caracter expansiv producând deplasarea controlaterală a mediastinului
 - coborârea hemidiafragmului
 - bombarea hemitoracelui respectiv
 - lărgirea spațiilor intercostale
 - opacitatea este masivă, omogenă și de intensitate mare
- **pneumonia**
 - interesează un întreg plămân
 - opacitate masivă, omogenă, de intensitate costală
 - evoluează pe un teren anergic, accentuat tarat (SIDA, diabet decompensat, alcoolism etc.)
- **fibrotoracele**
 - opacitate masivă, neomogenă, cu caracter retractil
 - elementele anatomice sunt tracționate datorită fibrozei și aderențelor

4.3.2.2. Cancerul pulmonar periferic

- situat departe de hilul pulmonar și de mediastin, având sediul în plin parenchim pulmonar
- evoluție lentă și o lungă latență clinică
- aspectele radiologice sunt extrem de variate, putându-se constata în raport cu stadiul evolutiv al tumorii diverse aspecte : voal imprecis delimitat, opacitate segmentară, opacitate pseudo-scizurală, opacitate macronodulară, asociată cu atelectazie, imagini cavitare, imagini hidro-aerice etc.

Opacitatea macronodulară

- rotundă sau mai ales ovalară, cu dimensiuni variate de la 1 până la 7-8 cm
- aspectul radiologic cel mai frecvent întâlnit în cancerele pulmonare periferice.
- opacitatea are un contur net delimitat, structură omogenă și intensitate medie - prin aceste trăsături caracteristice
- opacitatea sugerează existența unui proces tumoral benign sau a unui chist hidatic
- bolnavii refuză de obicei toracotomia exploratorie, pierzându-se momentul propice tratamentului chirurgical
- **Diagnosticul diferențial radiologic:**
 - tumori pulmonare benigne
 - chist hidatic pulmonar
 - infiltrat rotund tuberculos
 - infiltrat alergic Löffler
 - abces pulmonar înainte de vomică
 - chist aerian infectat
 - colecțiile scizurale (“tumora fantomă”)

Imaginea cavitară

- pereți groși și cu neregularități spre lumen
- expresia radiologică a necrozei centrale a cancerului periferic, datorată scăderii conținutului proteic, infiltrării cu apă și cu grăsimi
- **Diagnosticul diferențial radiologic** - cu toate imaginile hidroaerice, având ca punct de plecare parenchimul pulmonar, bronșiile, țesutul pleural:
 - abces pulmonar după vomică
 - chist hidatic evacuat

- caverna tuberculoasă
- bronșiectazii saculare
- pneumotorace închistat etc.

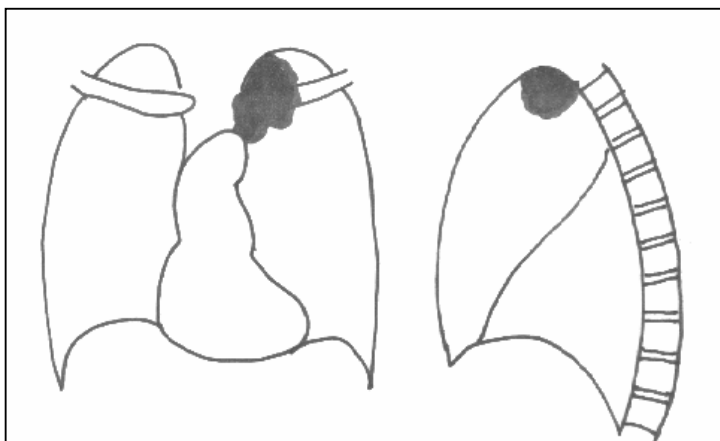


Fig 4.27. Cancer pulmonar apical stâng în incidență de față și pofil stâng.

Forme particulare ale cancerului pulmonar periferic:

★ **Cancerul vârfului pulmonar sau sindromul PANCOAST-TOBIAS**

- cancer bronșioar care evoluează la vârful pulmonar, în regiunea primei și a celei de a doua coaste, de unde pe calea vaselor limfatice invadează pleura, structurile mediastinului și ale peretelui toracic
- interesează de asemenea șanțurile costo-vertebrale, îndeosebi în dreapta
- din punct de vedere clinic este caracteristic **sindromul PANCOAST-TOBIAS**, caracterizat prin:
 - opacifierea intensă a regiunii apicale
 - modificări distructive interesând primele trei arcuri costale posterioare sau corpurile vertebrale adiacente
 - dureri radiculare cu topografie cuprinsă între C-6 și D-1, iradiate în umăr și braț
- bolnavul poate prezenta de asemenea:
 - enoftalmie,
 - blefaroptoză,
 - mioză - elemente de bază în **sindromul CLAUDE BERNARD-HORNER**
 - uneori se asociază și paralizia diafragmului
 - durerea din umăr și braț se accentuează progresiv, pe măsura evoluției procesului
 - bolnavul mai poate prezenta tulburări de sensibilitate în antebrăț, parestezii, atrofia mușchilor mâinii
- **radiologic:**
 - vârful pulmonar este opacifiat intens și omogen, pe o întindere variabilă.
 - limita inferioară a imaginii este neregulat rotunjită și nu interesează decât tardiv regiunea intercleido-hilară
- examenul radiografic cu elemente electrice adecvate sau tomografia axială computerizată evidențiază formațiunea tumorală
- imaginea este rotundă, convexă în jos, având limita superioară neclară, cu contur neregulat
- opacitatea are tendință la retracție
- afectarea ganglionilor paratraheali este greu de surprins radiologic

- osteoliză difuză a arcurilor costale posterioare unu, doi și trei, pe fondul căreia evoluează modificări distructive, în unele cazuri foarte extinse poate ajunge să intereseze apofizele transversale corpurilor vertebrale din imediata vecinătate
- tumefacția și creșterea opacității țesuturilor moi ale gâtului și ale fosei supraclaviculare, concomitent cu invadarea plexului cervico-brachial

• **Diagnosticul diferențial radiologic impune:**

- pleurezia apicală
- pahipleurita apicală
- metastaze apicale
- cancer tiroidian
- carcinomul apical
- tuberculoză apicală
- abcesul pulmonar
- chistul hidatic
- pneumonia cronică a lobului pulmonar superior etc.

- apariția unui revărsat pleural sero-fibrinos sau hemoragic indică agravarea evoluției.

Elementele de diagnostic diferențial al cancerului apical:

Cancer apical	Cancer bronșic incipient	Tuberculoză	Pahipleurită
opacitate intensă care cuprinde regiunea vârfului, cu contur neregulat	benzi opace care iradiază în sus, din regiunea hilului	opacități în bandă, cu aspect neregulat ; opacități nodulare	opacifiere difuză
uneori retracție	fără retracție la nivelul regiunii apicale	retracția regiunii apicale	retracție prezentă
imaginea traheei poate fi împinsă, uneori, dincolo de linia mediană	traheea nu este deplasată	devierea imaginii traheei, care este atrasă spre regiunea afectată	devierea traheei

★ **Cancerul bronșiolo-alveolar**

- considerat adevăratul cancer al plămânului, fiind o entitate complet separată de cancerul bronșic
- originea sa alveolară este certificată de absența leziunilor neoplazice la nivelul bronhiilor și bronhiolelor
- simptomatologia care însoțește cancerul alveolar în evoluția sa este puțin importantă, tusea și expectorația abundentă survenind într-un stadiu tardiv al bolii

Forma localizată sau circumscrisă

- aspectul de opacitate distală, omogenă, intensă, dispusă la baza unuiu dintre plămâni
- opacitatea nu are legătură cu hilul sau cu pleura, având dimensiuni diferite, ce merg de la opacități cu diametrul de 1cm până la opacități ce ajung la dimensiunile unui segment sau lob pulmonar
- la nivelul opacității bronhograma aerică este pozitivă
- limitele opacității sunt imprecise, neregulate, având în jur imagini de limfangită
- opacitatea nu modifică scizurile interlobare, se poate necroza și excava, imaginile cavitare și hidro-aerice întregind tabloul radiologic

- dacă opacitatea capătă aspect segmentar sau lobar, ea poate fi apreciată ca o pneumonie acută, aceasta constituind masca sub care se descoperă ulterior tumora
- aspecte care se mai pot întâlni sunt sub formă de opacități distale multiple, miliare sau nodulare, cu punct de plecare alveolar diferit
- opacitățile sunt de mărime variabilă, având între ele zone de parenchim pulmonar sănătos
- topografia lor este de obicei în câmpurile pulmonare mijlocii sau la baze, interesând un lob pulmonar, un plămân sau ambii plămâni

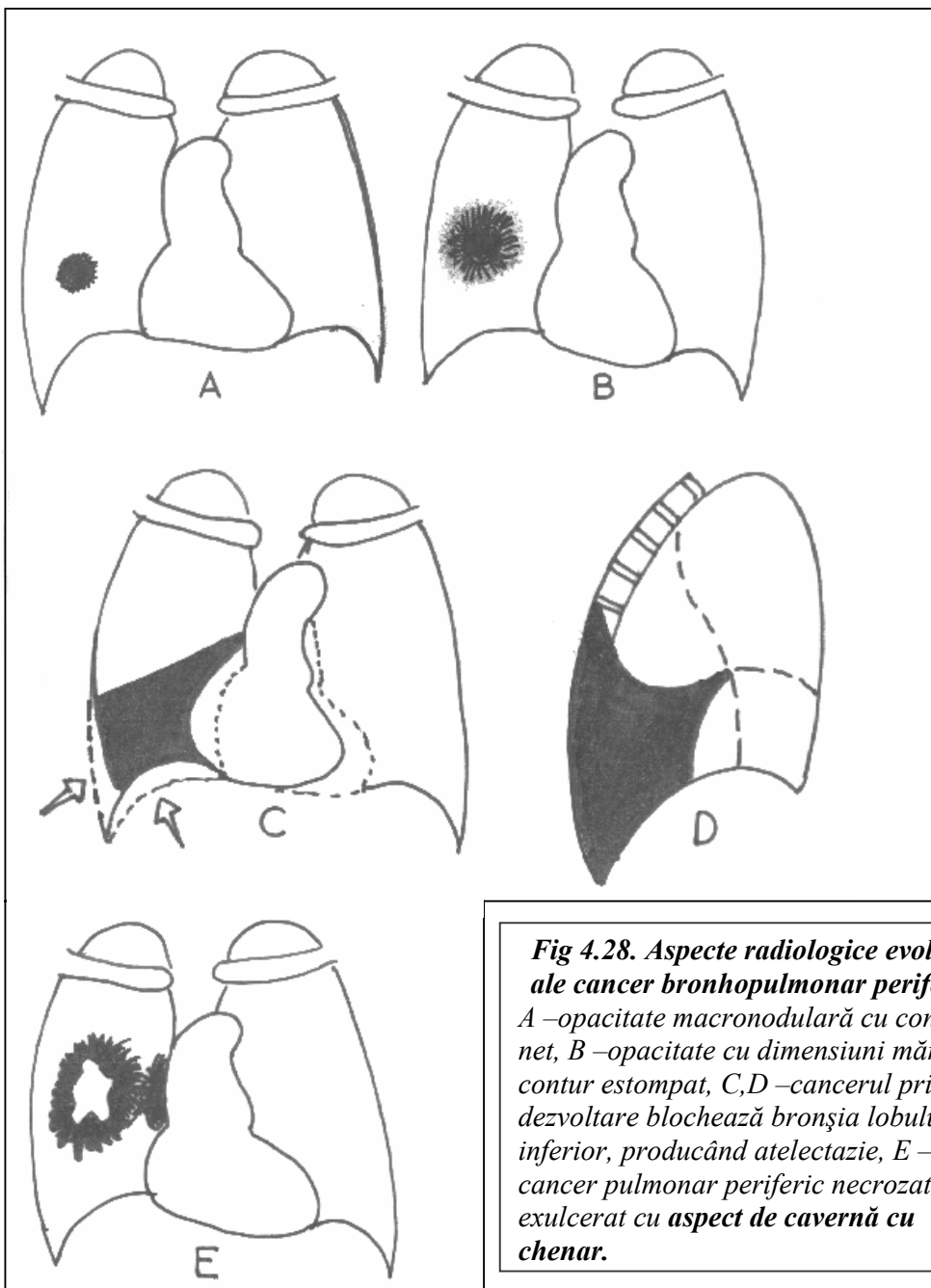


Fig 4.28. Aspecte radiologice evolutive ale cancer bronhopulmonar periferic :
A – opacitate macronodulară cu contur net, B – opacitate cu dimensiuni mărite și contur estompat, C, D – cancerul prin dezvoltare blochează bronșia lobului inferior, producând atelectazie, E – cancer pulmonar periferic necrozat, exulcerat cu aspect de cavernă cu chenar.

- **Formele difuze**

- mult mai puțin frecvente
- opacități masive, mai mult sau mai puțin extinse
- contururi neregulate
- situate mai ales în câmpurile pulmonare inferioare
- imaginea se dezvoltă din confluarea mai multor opacități nodulare periferice, cu caracter acinar, ce determină o imagine opacă omogenă
- în alte cazuri opacitățile nodulare își păstrează individualitatea, sugerând alura unui proces bronhopneumonic
- opacitățile au tendință la necroză și pot apărea pleurezii
- adenopatiile mediastinale sunt rare
- formele difuze, cu opacități multiple au evoluție gravă și rapidă, cu alterarea progresivă a stării generale
- apar reacții pleurale și metastaze, care sunt întâlnite de obicei la nivelul mediastinului și al scheletului.

- **Formele circumscrise solitare**

- evoluție lentă;
- prognostic bun, cu 65% rată de supraviețuire la 5 ani, mai ales în cazurile care au beneficiat de tratamentul chirurgical;
- explorarea computer-tomografică cu parametrii de înaltă rezoluție punctează foarte clar diagnosticul proceselor având ca punct de plecare parenchimul pulmonar;
- **computer tomografia de înaltă rezoluție** este foarte sensibilă în detectarea opacităților interstițiale, care pot crea dificultăți majore în stabilirea diagnosticului specific de leziune;

Secțiunile trebuie efectuate în decubit ventral pentru a se evita efectul gravitațional care realizează vizualizarea obscură a fibrozei interstițiale precoce.

Alveolita fibroasă criptogenetică precoce

- opacități sticloase, reticulație subpleurală la baza plămânului
- mai târziu reticulația se extinde central, pentru ca în stadiul cronic să aibă loc formarea de chiste mici începând de la nivel subpleural

Azbestoza.

- schimbările cele mai precoce se produc la baze, posterior, urmate de aspecte curvilineare subțiri la nivel subpleural
- în continuare apar septurile interlobulare lineare îngroșate, urmate de linii parenchimatoase cu extensie centrală separat de vasele pulmonare
- stadiul următor este cel în care se realizează aspectul în fagure de miere, alveolat, spongios
- în final se poate ajunge sau nu la atelectazie rotunjită, circulară, în formă de pană contiguă cu îngroșarea pleurală și vase în coadă de cometă.

Alte posibilități evolutive ale cancerului bronhopulmonar

- determină inițial modificări dispuse în principal unilateral, poate evolua și bilateral, în ambele câmpuri pulmonare, în același timp
- sunt menționate localizări bifocale ale unui cancer bronho-pulmonar primar, care debutează simultan, evoluând concomitent în cei doi plămâni

- se menționează posibilitatea evoluției de ambele părți, ambele procese neoplazice având aceeași formulă citologică
- nu trebuie făcută confuzia cu situațiile în care un cancer primar determină metastaze controlateral sau se asociază cu modificări radiologice de altă etiologie (ex. cea bacilară), care evoluează concomitent în celălalt câmp pulmonar.
- unii bolnavi suspecti de cancer bronhopulmonar, supuși unor examinări radiologice repetate prezintă un aspect radiologic în limite normale
- tot nedescoperite rămân și procesele neoplazice de mici dimensiuni apărute în unele bronșii, deoarece nu determină opacități vizibile radiologic și nici nu determină modificări ale transparenței pulmonare în teritoriul ventilat de bronșia respectivă
- pentru bolnavii cu hemoptizii, se va proceda la efectuarea de examinări radiologice complexe, în variate poziții și incidente
- examenul bronhoscopic și cel computer tomografic ne vor oferi date importante privind sediul forma, dimensiunile, structura și raporturile cu structurile anatomice de vecinătate, gradul de interesare al acestora, în vederea stadializării, pentru a putea stabili indicația operatorie ca tratament de elecție în cancerul bronhopulmonar
- nu trebuie uitate cazurile de cancer care evoluează pe un plămân afectat anterior de diverse procese patologice cum sunt procesele bacilare, emfizemul bulos, pneumoconiozele, afecțiunile pleurale retractile, malformațiile congenitale, cazuri care pot reprezenta un procent de 50% din totalul bolnavilor cu cancer bronhopulmonar
- cancerul bronhopulmonar se poate asocia sau evolua în același timp cu alte procese patologice ca leucemia, abcesul pulmonar, pneumonia acută, care de cele mai multe ori îi maschează evoluția
- asocierea cea mai frecventă menționată în literatura de specialitate are loc între cancerul bronhopulmonar și silicoză, bronșită cronică sau tuberculoză
- **în cazul evoluției concomitente cu tuberculoza, tratamentul tuberculostatic este salutar, deoarece leziunile bacilare regresează în mod evident, în vreme ce procesul neoplazic persistă sau se extinde; dacă acestor două caractere evolutive li se adaugă și o adenopatie hilară sau mediastinală, avem încă o dovadă în plus pentru existența celor două procese patologice, adenopatia însoțind de regulă cancerul pulmonar.**
- suspiciunea de cancer trebuie luată în considerare în prezența unor imagini radioopace cu limfangită și adenopatie ganglionară/mediastinală; opacitățile rotunde unice, cu contururi nete sau difuze, pareza diafragmului, excavatele în bloc pneumonic cu creștere rapidă, precum și hilurile mari unilaterale la adulți pun de asemenea problema suspiciunii de cancer bronhopulmonar
- elementele aproape sigure de cancer bronhopulmonar sunt reprezentate de opacitatea lobară cu paralizia frenicului, opacitatea tumorală mediastinală cu deplasarea mediastinului, atelectazia fără o cauză precizată la adult, opacitatea tumorală mediastinală cu modificări pulmonare, stenoza evidențiată bronhoscopic/bronhografic
- elementele sigure de cancer bronhopulmonar sunt: opacitatea lobară cu contur convex și coborât, imagini pulmonare variate însoțite de opacitate mediastinală care au răspuns la radioterapie, opacitatea lobară cu pareză de frenic, stenoza bronșică cu contur neregulat, metastazele la distanță
- afectarea neoplazică a structurilor mediastinului și a unor mari întinderi din parenchimul pulmonar, instalarea unor modificări secundare de condensare, de supurație și de necroză, sunt modificări care indică un stadiu avansat al procesului tumoral
- **constituie contraindicație operatorie și semnalează un prognostic infaust în evoluția cancerului bronhopulmonar următoarele modificări radiografice:**
 - opacitățile neoplazice extinse spre bifurcația traheii, pleură, mediastin precum și cancerele care dau metastaze

- interesarea neoplazică a arterei pulmonare, a venei cave superioare și opacifierea spațiului clar retrosternal
- opacități neoplazice care în evoluția lor sunt însoțite de insuficiență cardiacă și respiratorie
- opacitățile neoplazice cu mari adenopatii mediastinale
- compresiunea pe fața anterioară a esofagului, pusă în evidență la examenul cu contrast baritat, în incidență de profil, dată de prezența unei adenopatii situată la bifurcația traheii
- poziția înaltă și imobilitatea unui diafragm cauzată de paralizia nervului frenic, la fel ca și opacitățile care determină paralizii de recurent
- arteriografia pulmonară poate de asemenea să pună în evidență o serie de aspecte care să contraindica intervenția chirurgicală:
 - stenoza completă sau incompletă a arterei pulmonare drepte, înainte de apariția arterei mediastinale superioare drepte
 - stenoza parțială sau completă a arterei pulmonare stângi, mai jos cu 15 mm de originea sa
 - stenoza venei cave superioare și a trunchiului brahiocefalic
 - modificări ale venelor pulmonare în traiectul lor juxtapericardic
 - imagini lacunare sau neregularități ale urechii stângi și drepte
- determinările secundare ale procesului neoplazic constituie de asemenea un element important de apreciere al prognosticului și de orientare a conduitei terapeutice

4.3.3. Tumorile maligne pulmonare secundare (metastazele)

- metastazele pulmonare se produc prin desprinderea dintr-o tumoră malignă a unor celule sau emboli carcinomatoși, care apoi sunt vehiculați pe cale hematogenă sau limfatică
- **aparitia metastazelor hematogene recunoaște o anumită ordine impusă de filtrul capilar care se află pe calea de diseminare, ordine sistematizată de Walter : embolii care se detașează din tumorile primitive sunt vehiculați pe cale venoasă atâta timp cât lumenul acestora le permite deplasarea; când lumenul vasului devine mai mic decât dimensiunea embolului (la nivel precapilar), are loc oprirea acestuia, iar dacă există condiții biologice favorabile de dezvoltare, crește și dă naștere unei tumori secundare sau metastatice**
- organul în care se oprește embolul dând naștere metastazei este **filtrul primar**; după ce metastaza a crescut, ea eliberează la rândul ei emboli, care prin vehiculare pe cale venoasă, vor da naștere unor noi metastaze, iar organul în care se vor opri va constitui **filtrul secundar**.
- metastazarea se poate produce pe trei căi: **pe calea venelor cave, pe calea venei porte și pe calea venelor pulmonare.**

Metastazarea pe calea venelor cave

- metastazele care pornesc de la țesuturi sau organe situate în complexul de vascularizație sistemică, pentru care **filtrul primar este plămânul.**

Metastatizarea pe calea venei porte

- pornesc din organe abdominale, a căror vascularizație este asigurată de vena portă, pentru care **filtrul primar este ficatul**, cel secundar fiind reprezentat de plămân
- metastazele pornite de la tumori pulmonare pentru care filtrul primar sunt oasele, creierul etc., având ca filtru secundar plămânul, se produc pe **calea venelor pulmonare**
- un aspect important este legat de posibilitățile de scurt-circuitare/șuntare în plămân prin vase tributare plexului perivertebral sau prin anastomoze porto-cave

- un prim aspect se referă la embolii carcinomatoși care trec din artera pulmonară prin “vasele de oprire” în venele pulmonare, evitând rețeaua capilară pulmonară, astfel că nu mai apar metastaze în plămân așa cum ar fi normal, ci în alte organe ale sistemului circulator aortic, respectiv creier, splină, oase etc.
- al doilea aspect pune în discuție embolii carcinomatoși dintr-un organ sau țesut din sfera circulației sistemice care pornesc pe vase anastomotice plexului venos vertebral (mamară internă, intercostale, plex rușinos etc.) și care nu vor mai da naștere la metastaze în plămâni, ci în corpii vertebrali și în plămâni
- al treilea aspect ne relevă faptul că embolii carcinomatoși pot scurt-circuita ficatul datorită anastomozelor porto-adrenală, spleno-portală, porto-renală, porto-pulmonară, iar metastazele pornite de la un organ abdominal (stomac), sunt filtrate primar în plămân, ficatul rămânând indemn
- la nivel pulmonar, în funcție de elementul anatomic pe care se plasează și în funcție de calea de diseminare, deosebim următoarele categorii de metastaze:
 - **carcinoza miliară**
 - **limfangioza carcinomatoasă**
 - **metastazele nodulare**
 - **metastazele mixte**

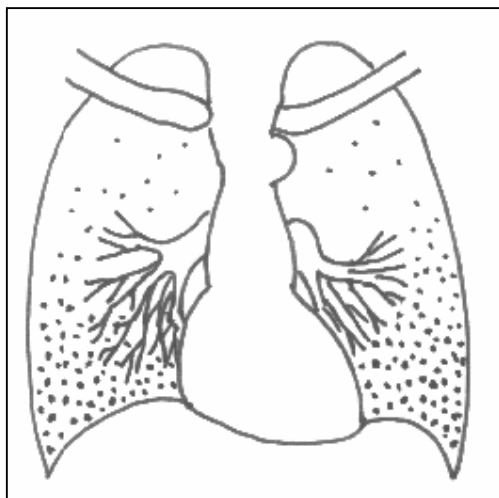


Fig 4.29. Carcinoză miliară pulmonară

4.3.3.1. Carcinoza miliară

- formă de metastazare pulmonară predominant limfatică
- sunt caracteristici nodulii metastatici de mici dimensiuni, cu diametre între 1-3 mm, al căror număr este mai mare la bazele pulmonare și care descresc spre apexurile pulmonare, descrescând în dimensiuni în același sens, pe un fond de opacități lineare și reticulare, cauzate de interstițiul perilobular edemațiat
- substratul morfopatologic al nodulilor este reprezentat de alveolele pulmonare pline cu celule canceroase
- nodulii au un contur șters, imprecis din cauza edemului interstițial, pe alocuri ei putând conflua sub forma unor conglomerate, dând naștere unor noduli ceva mai mari, de intensitate costală
- hilurile pulmonare pot apare mărite, cu contur policiclic datorită adenopatiilor neoplazice

Diagnosticul diferențial radiologic se va face cu :

- **tuberculoza miliară**, caracterizată prin opacități micronodulare, de formă și dimensiuni egale, diseminate omogen pe ambele arii pulmonare, cu precădere în regiunile apicale, numărul lor descrescând spre bazele pulmonare

- **pneumoconiozele din stadiul II**, care produc opacități micronodulare, cu contur net, colțuros, de intensitate costală, diseminate predominant perihilar, în câmpurile pulmonare mijlocii; regiunile apicale și bazele apar hiperventilate, dând naștere aspectului trietajat al plămânului; hilurile pulmonare sunt mărite, cu caracter fibros; este de subliniat importanța majoră a anamnezei profesionale în fixarea diagnosticului
- **staza pulmonară** cu hemosideroză secundară care apare în cazuri de leziuni valvulare mitrale, dă naștere unor opacități micronodulare diseminate în regiunile mediobazale, bilateral; aspectul configurat al cordului (configurație mitrală) precum și anamneza specifică unor asemenea cazuri conduc clar la diagnosticul ce leziune valvulară
- **boala BESNIER-BOECK-SCHAUMANN** prezintă de asemenea micronoduli care sunt diseminați pe ambele câmpuri pulmonare, la care se asociază determinări caracteristice tegumentare și osoase, alături de celelalte examinări paraclinice și de laborator, care toate conduc la diagnosticul pozitiv al acestei boli.

4.3.3.2. Limfangioza carcinomatoasă

- reprezintă aspectul tipic de diseminare limfatică de la tumori din apropiere situate subdiafragmatic, mediastinale, de la baza gâtului, părțile moi ale toracelui
- loc de elecție regiunea bazală, de unde apoi se extind la întreaga arie pulmonară

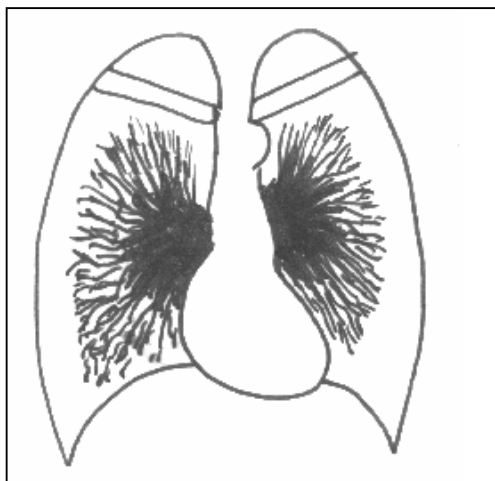
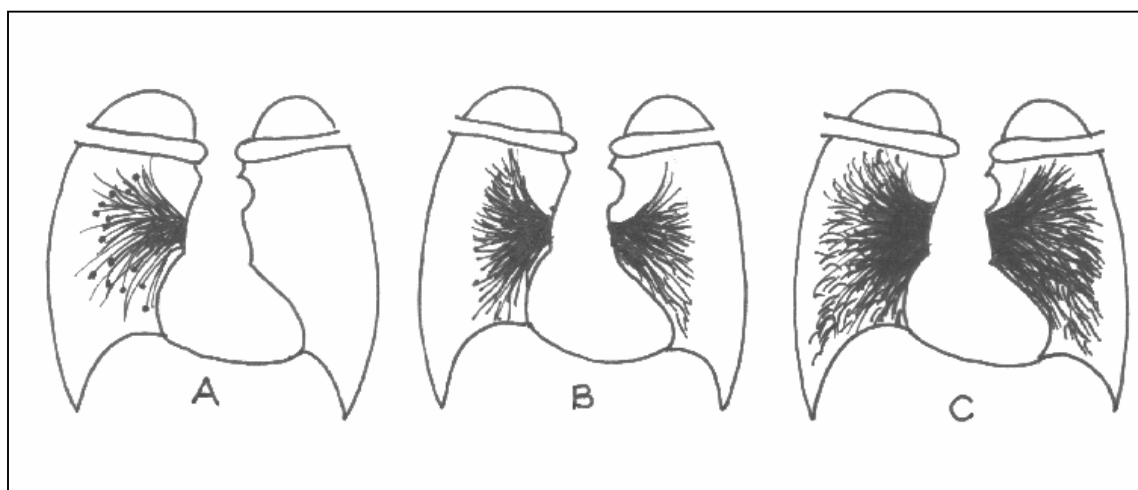


Fig 4.30. Limfangioza carcinomatoasă prin diseminare limfatică



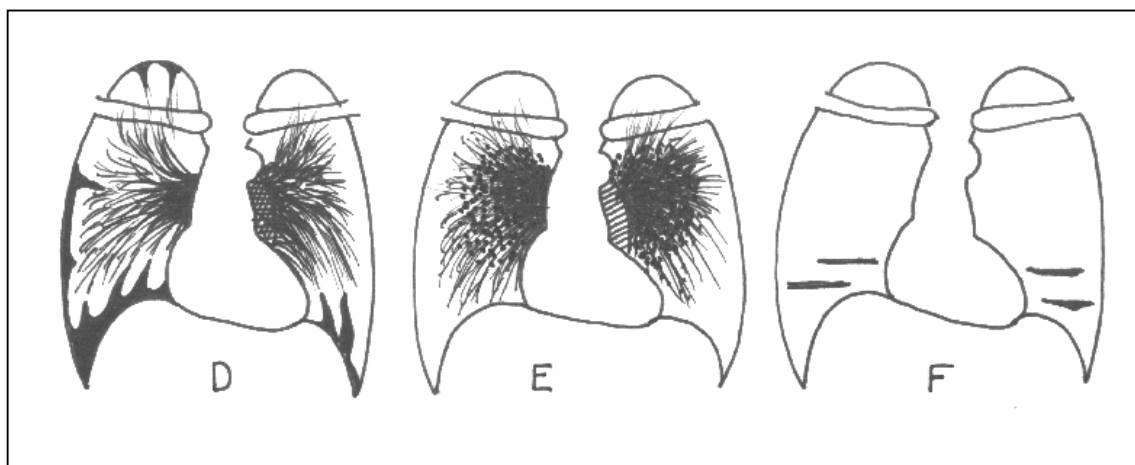


Fig 4.31. Opacități lineare și în benzi :

A – pneumonie interstițială, B – pneumoconioză stadiul I, C – limfangioză neoplazică, D – scleroză pulmonară, E – stază pulmonară, F – atelectazie lamelară Fleischner.

Radiologic

- opacități reticulare
- aspect de infiltrație perilobulară
- intensitate subcostală
- contur șters
- desen pulmonar mai șters
- opacități miliare (dar mai puține decât în carcinomatoză)
- opacitățile pot reprezenta și vase limfatice prinse ortograd, încrucișări de vase, dar și noduli metastatici reali (datorită alveolelor pline cu celule canceroase)
- în majoritatea cazurilor apar și linii Kerley în special de tip B, în sinusurile costodiafragmatice, la care se pot adăuga și adenopatii neoplazice

Diagnosticul diferențial radiologic al opacităților lineare sau/și în benzi se face cu:

- **pneumonia interstițială**
- **pneumoconioza de stadiul I**
- **sclerozele pulmonare**
- **staza pulmonară**
- **atelectazia pulmonară.**

4.3.3.3. Metastazele nodulare

- produse pe cale hematogenă, fiind unice sau multiple, de dimensiuni variate, de la câțiva milimetri la câțiva centimetri
- aspectul radiologic este cel de **"baloane lansate"**, a căror intensitate (subcostală până la costală) variază în funcție de dimensiunile nodulului, având un contur șters sau net
- metastazele al căror contur este șters ar avea un potențial infiltrant malign mult mai accentuat decât cele care au contur net precizat

- unele metastaze cu contur net (cum sunt cele din hipernefrom, seminom etc.) posedă un potențial malign mult mai accentuat decât metastazele cu contur șters (ex. cele din cancerul tiroidian)
- metastazele sunt diseminate variat pe ambele arii pulmonare, prin suprapunere creând un aspect neomogen al opacității
- cele care au dimensiuni mari (5-6 cm), sunt localizate în regiunea bazală, numărul lor scăzând în sens caudo-cranial

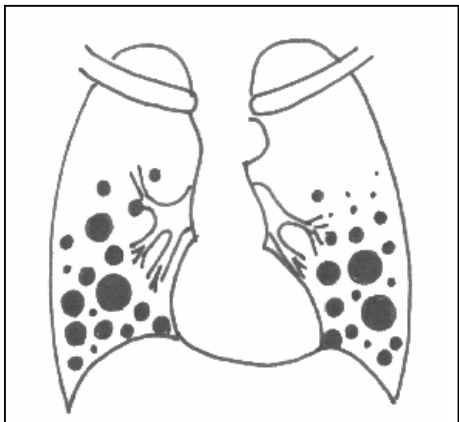


Fig 4.32. Metastaze nodulare pe cale hematogenă, realizând aspect de "baloane lansate".

Diagnosticul diferențial radiologic se va face cu următoarele afecțiuni:

- **bronhopneumonia bacteriană**
 - opacități nodulare de diferite dimensiuni
 - difuz conturate
 - confluează spre periferie
 - aspect radiologic variabil, nefiind același de la o examinare la cealaltă
- **bronhopneumonia tuberculoasă**
 - noduli cu contur difuz
 - diseminați în mod variat pe ambele câmpuri pulmonare
 - examenul pozitiv al sputei tranșează clar diagnosticul pozitiv
- **chistele hidatice multiple**
 - opacități nodulare bine delimitate
 - caracter plastic datorită conținutului lichidian
 - își modifică forma la inspir și expir forțat
- **stafilococia pulmonară**
 - opacitățile nodulare difuz conturate au o dinamică în urma căreia în scurt timp devin neomogene, transformându-se apoi în imagini buloase la care se adaugă revărsatele pleurale
- **pneumoconioza în stadiul III**
 - opacități macro nodulare răspândite pe ambele arii pulmonare
 - cu precădere la muncitorii care lucrează cu mediu cu noxe sub formă de pulberi fin dispersate

4.3.3.4. Metastazele mixte

- reprezentate de coexistența a mai multor tipuri de metastaze, fiind considerate un tip mai malign din punct de vedere al evoluției
- necroza și excavarea în opacitățile metastatice se observă mai rar decât în neoplasmelor primare

- cavitatea rezultată în urma excavării este dispusă central, având în jur un perete îngroșat, care conține lichid și comunică cu o bronșie, realizând aspectul de “cavernă în chenar”
- în general se excavează metastazele din adenocarcinoame, sarcoame și mai frecvent cele dispuse în lobii superiori
- diagnosticul este relativ ușor de pus dacă antecedentele bolnavului și examenul clinic evidențiază un cancer primitiv, sau dacă că bolnavul a fost operat pentru o formațiune canceroasă; pe de altă parte urmărirea evoluției opacității la diverse intervale de timp nu orientează diagnosticul în mod cert, deoarece metastazele se dezvoltă diferit, unele mai lent, altele mai rapid.

LUCRAREA PRACTICĂ NR. 5

RADIODIAGNOSTICUL APARATULUI CARDIOVASCULAR

5.1. Metodele de investigație ale aparatului cardio-vascular.

5.2. Anatomia radiologică a cordului și a marilor vase.

5.3. Aspectul radiologic pe grupe de vârstă.

5.4. Radiodiagnosticul malformațiilor congenitale cardiovasculare

5.4.1. Clasificarea cardiopatiilor congenitale cardiovasculare

5.4.2. Principalele tipuri de malformații congenitale cardiovasculare

5.4.2.1. Cardiopatiile congenitale cu obstacol fără șunt

5.4.2.2. Cardiopatiile congenitale cu șunt stânga-dreapta

5.4.2.3. Cardiopatiile congenitale cu șunt dreapta-stânga

5.4.2.4 Cardiopatiile congenitale cu șunt bidirecțional

5.4.2.5 Alte cardiopatii congenitale

5. RADIODIAGNOSTICUL APARATULUI CARDIO-VASCULAR

5.1. Metodele de investigație ale aparatului cardio-vascular

Metodele de investigație cuprind:

- **radioscopia televizată** (pe cale de a fi interzisă);
- **teleradiografia toraco-mediastino-pleuro-pulmonară;**
- **kimografia;**
- **tomografia în plan frontal;**
- **angiocardiografia;**
- **cateterismul cardiac;**
- **ecocardiografia;**
- **scintigrafia cardiacă;**
- **CT helicoidală;**
- **rezonanța magnetică.**

La acestea se mai adaugă unele manevre și tehnici speciale de examinare.

5.1.1. Examenul radioscopic televizat

Furnizează date privind:

- forma;
- dimensiunile cordului și vaselor mari;
- pulsațiile cardio-vasculare, în diverse incidențe (față, profil, OAD, OAS), cu tehnici și manevre speciale asociate.

Limite: depinde de gradul de pregătire a celui care îl execută.

5.1.2. Examenul teleradiografic toraco-mediastino-pleuro-pulmonar

- reproduce aproape fidel mărimea și forma reală a cordului și vaselor mari;
- vizualizează elemente structurale fine.

Limite: nu furnizează date despre pulsațiile cardio-vasculare.

5.1.3. Examenul radiokimografic

- se face cu ajutorul a două tipuri de radiokimograme:
 - un tip în care grila se deplasează cranio-caudal (sau de la dreapta la stânga), filmul radiografic fiind fix;
 - alt tip la care grila este fixă, iar filmul se deplasează cranio-caudal.
- conturul este reprezentat ci de o linie cu dințături de 2-4 mm numite croșete.

5.1.4. Tomografia plană lineară

- realizată prin deplasarea asincronă, de sens contrar a tubului și casetei cu filmele radiografice, bolnavul stând nemișcat;
- pune în evidență calcificările valvulare;
- facilitează măsurarea dimensiunilor arterei pulmonare drepte.

5.1.5. Radiofotografia medicală (RFM)

- procedeu radiologic de mare randament care pune în evidență modificările cordului și vaselor (când simptomatologia clinică nu este prezentă);
- constă în fotografierea imaginii radioscopice a toracelui în cel puțin două incidențe.

5.1.6. Angiocardiografia

- metodă prin care se evidențiază cavitățile cordului și vasele în urma administrării unor substanțe de contrast radioopace (vezi angiograma normală);
- se execută o serie de radiografii la intervale de fracțiuni de secundă, timp de 6-9 secunde;
- se urmărește progresia substanței de contrast și opacifierea consecutivă a cavităților cardiace și marilor vase;
- pune în evidență forma, dimensiunile și poziția cordului și vaselor mari.

5.1.7. Cateterismul cardiac

- metodă radio-chirurgicală care constă în introducerea unui cateter radioopac în vasele mari și cord;
- măsoară presiunile intracavitare și intravasculare, conținutul în oxigen și bioxid de carbon din cavitățile normale și patologice;
- depistează eventualele malformații cardiovasculare (tetralogie Fallot, DSA, DSV, etc.) în urma administrării de contrast non-ionic pe cale i.v. .

5.1.8. Ecocardiografia

- evidențiază cu ajutorul ultrasunetelor unele afecțiuni cardio-vasculare;
- tipuri de informație ecografică:
 - modul M;
 - modul bidimensional;
 - modul echo D;

5.1.9. Scintigrafia cardio-vasculară

- metodă de investigație frecvent folosită în cardiologie, atraumatică, repetabilă și aplicabilă la bolnavi cu stări cardiovasculare grave;
- lipsa contraindicațiilor (cu excepția sarcinii) a făcut posibilă aplicarea ei în diagnosticul pozitiv a numeroase afecțiuni (ex. cardiopatii congenitale cu șunt);
- aprecierea performanței ventricolului stâng (ex. accidente acute coronariene);
- aprecierea unor rezultate terapeutice, odată cu urmărirea evoluției bolii;
- folosește ca tehnici de explorare
 - scintigrafia miocardică de perfuzie
 - angiocardiografia izotopică
 - scintigrafia infarctului miocardic acut
- radiotrasorul utilizat este **Taliul-201**, cu multiple avantaje față de Potasiu, Rubidiniu, Cesium.

5.1.10. Computer tomografia helicoidală

- metodă imagistică de mare randament;
- cu ajutorul unor aparate ultra-perfecționate de generația IV, permite efectuarea unor examinări native și cu contrast non-ionic;
- timpi de achiziționare a datelor extrem de scurți;
- posibilitatea unor reconstrucții tridimensionale a procesului patologic;
- prelucrarea cu ajutorul calculatorului a imaginii, oferă posibilitatea unor studii foarte amănunțite, concomitent cu navigația în realitatea virtuală.

5.1.11. Explorarea prin rezonanță magnetică

- metodă imagistică care evidențiază procesul patologic în baza unor secțiuni multiple, efectuate în cele trei planuri, nativ și după administrarea unor medii de contrast paramagnetice;
- aparatul cardiovascular este unul din marii beneficiari ai acestei metode;

- imagini în concordanță cu densitatea protonică și timpul de relaxare al diferitelor structuri ale corpului alese de examinator;
- rezonanța magnetică funcțională oferă posibilitatea studierii tuturor structurilor în dinamică.

5.1.12. Manevre și tehnici speciale de examinare asociate

Eficacitatea examenului radiologic al cordului și marilor vase va fi sporită prin utilizarea unor manevre și tehnici speciale de examinare:

- **esofagul baritat:** contrastul pune în evidență eventuala modificare a raporturilor anatomice normale, precum și o serie de anomalii de mărime și poziție ale aortei, hernii hiatale, etc.;
- **examinarea în inspir profund** ajută la diferențierea unui cord fals mărit de unul realmente mărit
- **manevra Valsalva:**
 - prin mărirea presiunii intratoracice produce o micșorare a cordului și o creștere a transparenței pulmonare;
 - permite de asemenea aprecierea tonicității cordului;
 - diferențierea unor formațiuni para-vasculare pline (tumori, ganglioni) de anevrismul aortic (ce nu este trombozat);
- **manevra Müller** este inversul manevrei Valsalva - constă dintr-o expirație profundă, urmată de inspir forțat și prelungit cu glota închisă.

5.2. Anatomia radiologică a cordului și a marilor vase

5.2.1. Imaginea cordului și vaselor mari în incidența de față

- opacitatea cordului pe radiografia toraco-pleuro-pulmonară prezintă un contur drept și un contur stâng.
- **conturul drept** (marginea dreaptă) este format din două arcuri, aproximativ egale ca înălțime:
 - **arcul superior** - dat de vena cavă superioară;
 - **arcul inferior** - dat de atriul drept;
 - arcul superior este rectiliniu, cel inferior ușor convex spre câmpul pulmonar.

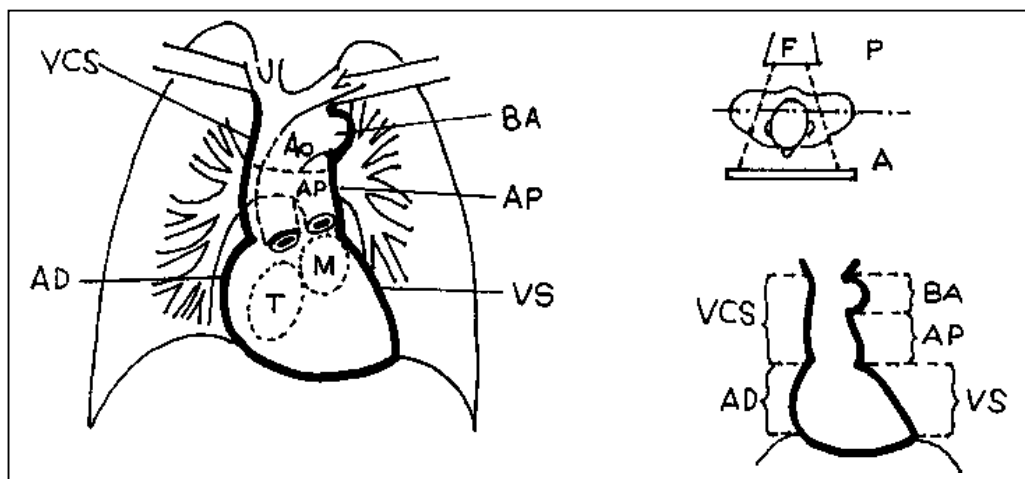


Fig 5.1. Imaginea cordului și a vaselor mari în incidența de față sau postero-anterioară (PA) cu evidențierea conturului drept (vena cavă superioară atriu drept) și a conturului stâng (buton aortic arteră pulmonară, auriculă stângă și ventricolul stâng).

- între arcul superior și cel inferior se constată un intrând, notat cu litera **D** (punct de reper al diametrelor cardiace);
 - între arcul inferior și diafragm se formează un unghi ascuțit, unghiul cardio-diafragmatic drept, notat cu litera **D**;
 - în inspir profund în acest unghi poate apare vena cavă inferioară și venele suprahepatice.
- **conturul stâng** (marginea stângă) este format din trei arcuri: superior, mijlociu și inferior:
 - arcul superior este arcul convex produs de crosa aortei, denumit buton aortic ($A-A'$);
 - arcul mijlociu este arcul concav, format de conul arterei pulmonare;
 - porțiunea inferioară (sau treimea inferioară) a acestui arc este produsă de urechiușa stângă (auriculul stâng);
 - arcul inferior, cel mai mare și mai convex - format de ventricolul stâng;
 - punctul situat între arcul mijlociu și cel inferior, notat cu **G** formează golful cardiac;
 - între arcul inferior și diafragm se formează unghiul cardio-diafragmatic stâng (notat cu **G'**).
 - măsurarea diametrelor diferitelor cavități ale cordului se face între aceste puncte semnalate mai sus; vom avea următoarele diametre:
 - diametrul longitudinal al cordului: DG
 - diametrul bazal al cordului: DG
 - diametrul ventricolului stâng: $G-G$
 - diametrul atriului drept: $D-D'$
 - diametrul ventricolului drept: DG
 - diametrul transvers: T_1-T_2 (reprezentând cea mai mare distanță între marginea dreaptă și marginea stângă ale arcurilor inferioare).

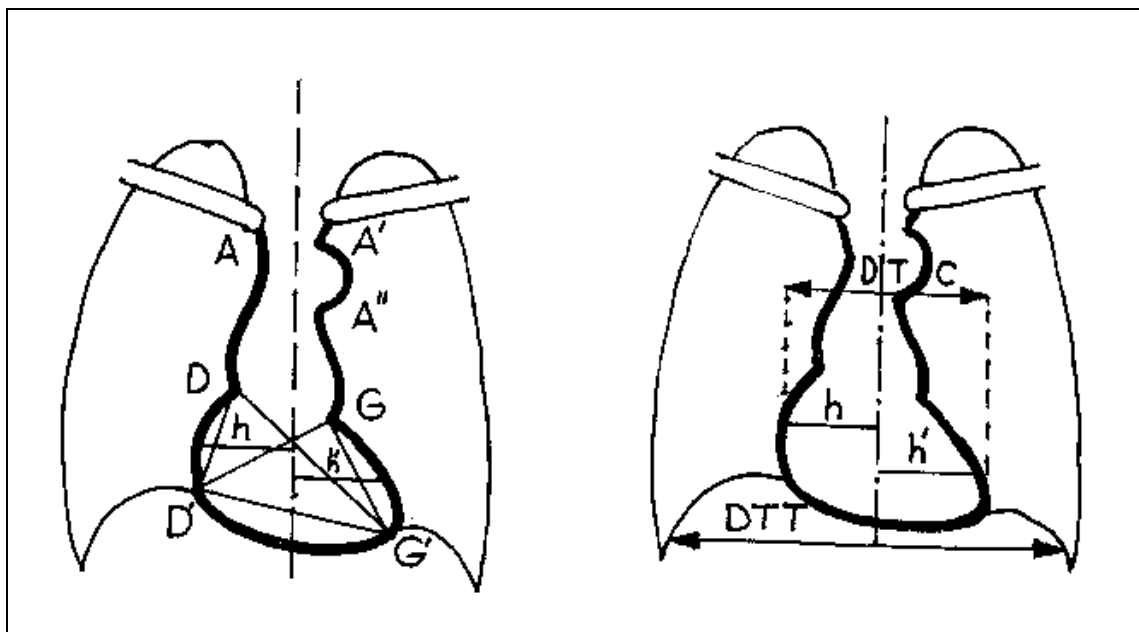


Fig 5.2. Ortocardiograma normală cu diametrele cordului:

DG' – diametrul longitudinal, DG – diametrul bazal, GG – diametrul ventricolului stâng, DD' – diametrul atriului drept, DG – diametrul ventricolului drept, $h+h'$ – diametrul transversal al cordului; raportul dintre diametrul transversal al cordului (DTC) și diametrul transversal al toracelui (DTT) constituie indicele cardio-toracic

- în practică se utilizează **indicele cardio-toracic**: raportul dintre diametrul transversal al cordului și diametrul transversal toracic (măsurat între marginile interne ale grilajelor costale)
 - valoarea normală - 0,45.

5.2.2. Imaginea cordului și vaselor mari în incidență de profil stâng

- opacitatea cardiacă are o margine anterioară și una posterioară în sens cranio-caudal;
- marginea anterioară este formată din aorta ascendentă, conul arterei pulmonare, ventricolul drept;
- marginea posterioară este formată pornind de sus în jos: atriul stâng, vena cavă inferioară;
- între stern și opacitatea cordului se află **spațiul retrosternal Grawitz** ;
- între cord și coloana vertebrală se află **spațiul retrocardiac al lui Holzkecht**;
- ambele spații se evidențiază bine în proba Valsalva.

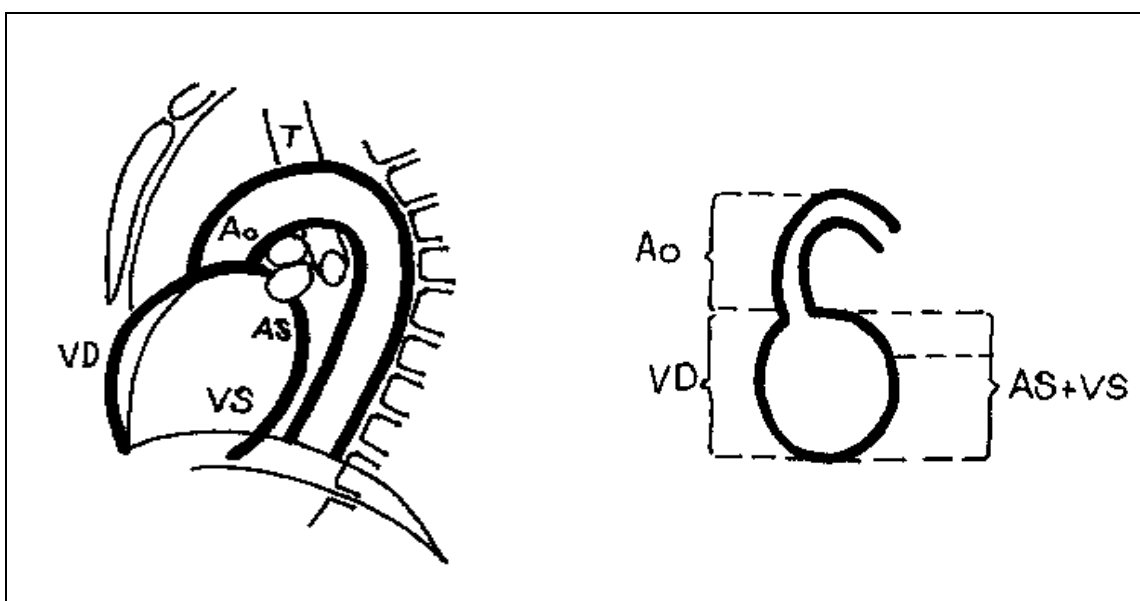


Fig 5.3. Imaginea cordului și vaselor mari în incidență de profil stâng – aspect normal.

5.2.3. Imaginea cordului și vaselor mari în incidență OAD (oblică anterioară dreaptă)

- opacitatea cardiacă prezintă o margine anterioară și una posterioară;
- marginea anterioară, în sens cranio-caudal este formată din mai multe arcuri:
 - **arcul superior** (produs de aorta ascendentă);
 - **arcul mijlociu** (produs de conul arterei pulmonare);
 - **arcul inferior** (dat de ventricolul drept în porțiunea superioară și ventricolul stâng în porțiunea inferioară supradiafraqmatică).
- marginea posterioară, de sus în jos este formată din atriul stâng, atriul drept, vena cavă inferioară;
- pentru a evidenția mai bine atriul stâng, esofagul se opacifiază cu pastă baritată.

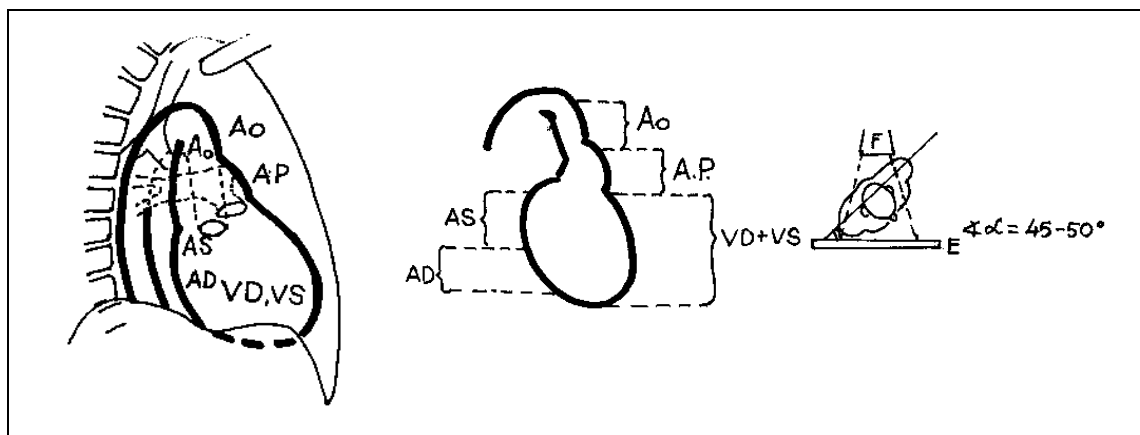


Fig 5.4. Imaginea cordului și vaselor mari în incidență OAD – aspect normal:
 AS: atriu stâng, AD: atriu drept, AO: aorta, AP: artera pulmonară, VD+VS: ventricolii cardiaci; poziționarea pacientului în OAD

5.2.4. Imaginea cordului și vaselor mari în incidență OAS (oblică anterioară stângă)

- se distinge și aici o margine anterioară și una posterioară;
- marginea anterioară, de sus în jos, formată din aorta ascendentă, atriu drept, ventricolul drept;
- marginea posterioară prezintă atriu stâng în partea superioară și ventricolul stâng în cea inferioară, ocupând distanțele egale din conturul posterior;
- în această incidență se mai descriu:
 - triunghiul aortei, spațiul format de croșa aortică în jos, coloana vertebrală posterior și artera subclaviculară anterior;
 - fereastra aorto-pulmonară, sub forma unui spațiu cuprins între concavitatea croșei aortice, baza pedicolului vascular și bronșia principală stângă.

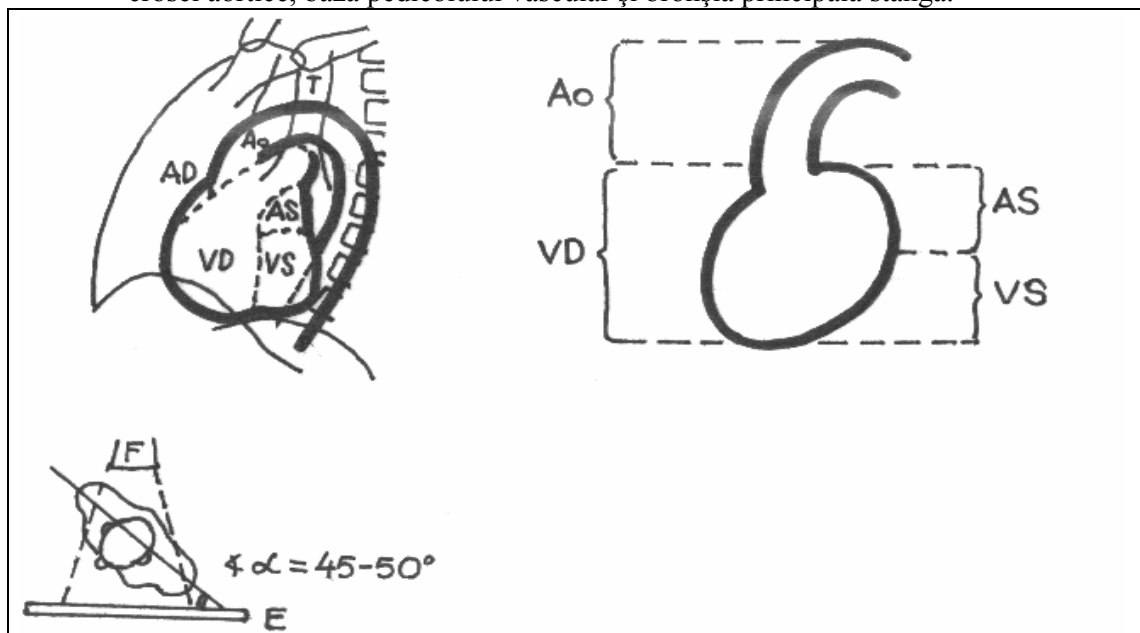


Fig 5.5. Imaginea cordului și marilor vase în incidență OAS - aspect normal:
 AS: atriu stâng, VS: ventricolul stâng, VD: ventricolul drept, AO: aorta ; poziționarea pacientului în OAS.

5.2.5. Imaginea cordului și vaselor mari după administrarea de substanțe de contrast.

- angiocardiograma normală după administrarea de substanțe de contrast curpinde două etape distincte:
 - opacefierea cavităților drepte (cu realizarea dextrogramei);
 - opacefierea cavităților stângi (cu realizarea levogramei).
- atriul drept apare sub forma unei opacități ovoidale sub vena cavă superioară
 - se proiectează înaintea coloanei dorsale pe care o depășește ușor pe dreapta;
 - se suprapune pe partea inferioară a venei cave superioare;
 - orificiul tricuspidian se proiectează în jumătatea stângă a corpurilor vertebrale.
- ventricolul drept formează cu VCS și atriul drept o curbă cu aspect de litera U, având două porțiuni:
 - camera de umplere localizată în partea dreaptă, la marginea inferioară a cordului cu dispoziție orizontală,
 - camera de evacuare, dispusă oblic în sus și la stânga și care continuă camera de umplere.
- după ieșirea din VD, trunchiul arterei pulmonare este aproape vertical și se divide în cele două ramuri:
 - artera pulmonară dreaptă (mai lungă);
 - artera pulmonară stângă (mai scurtă).
- venele pulmonare aduc sângele în AS, fiind în general în număr de două pentru fiecare plămân, cu un traiect aproape orizontal;
- în urma umplerii cu sânge venos prin venele pulmonare, AS apare ca o opacitate ovalară, fiind situat în mijlocul opacității cardiace.
- ventricolul stâng are o formă ovalară; este situat în partea stângă a opacității cardiace, continuându-se cu aorta ascendentă și apoi crosa.

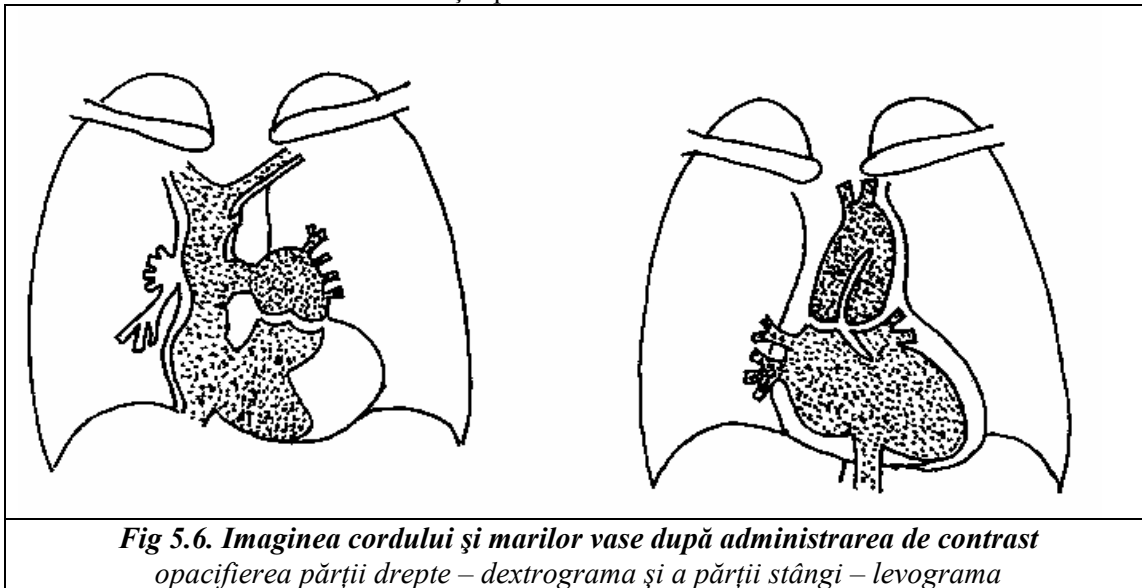


Fig 5.6. Imaginea cordului și marilor vase după administrarea de contrast opacifierea părții drepte – dextrograme și a părții stângi – levograma

5.3. Aspectul radiologic pe grupe de vârstă

- **sugar și la copilul mic** - particularități ale imaginii datorate:
 - condițiilor spațiale toracice;
 - înălțimii reduse cu adâncire relativ mare a cutiei toracice;
 - poziția înaltă a diafragmului, care este accentuată în cazul efectuării examenului radiografic în decubit;

- dimensiunile relativ mari ale cordului în raport cu cutia toracică;
- raportul volumetric dintre cei doi ventricoli modificat în favoarea celui drept;
- elasticitatea pereților cordului.
- realizarea imaginii unui cord mare, dispus transversal, cu o slabă segmentare în arcuri a marginilor, continuat fără o demarcație netă de un pedicol vascular larg și relativ puțin dezvoltat în lungime;
- golful cardiac slab reprezentat;
- lipsa formării butonului aortic;
- cord cu configurație mitrală, accentuată de prezența timusului și a unei tiroide mari;
- începând cu **al doilea an de viață**, imaginea cardio-vasculară se modifică treptat, astfel că la sfârșitul celui de-al 6-lea an de viață, ajunge să se apropie de cea a adultului;
- **la vârste înaintate**, aspectul radiologic reflectă procesul de involuție senilă:
 - lărgirea și alungirea aortei (datorate procesului de scleroză a vaselor);
 - mărirea variabilă a ventriculului stâng (datorită circulației coronariene deficitare)
 apariția unei imagini cardiovasculare care amintește oarecum de configurația aortică.

5.4. Radiodiagnosticul malformațiilor congenitale cardiovasculare

- bolile congenitale ale inimii și ale vaselor sunt anomalii care se datoresc dezvoltării defectuoase în timpul vieții intrauterine a structurilor anatomice ale inimii și ale vaselor mari;
- procesul de formare al inimii are ca debut săptămâna a 2-a și se continuă până în săptămâna 7-8 (ziua 49), când avem deja cordul format cu 4 cavități;
- prin contopirea a doi muguri situați în partea cranială a embrionului, anterior de tubul digestiv primitiv, ia naștere tubul cardiac primitiv format din 4 segmente:
 - bulbul cardiac;
 - partea ventriculară;
 - partea atrială;
 - sinusul venos.
- prin creștere în lungime, torsionări și proliferări endocardice va apare forma și arhitectura definitivă a cordului.

5.4.1. Clasificarea cardiopatiilor congenitale cardiovasculare

Clasificarea lor s-a făcut după numeroase criterii clinice, anatomice, antomo-clinice, fiziologice, paraclinice (radiologice).

Una din clasificările cele mai didactice și în același timp completă este **clasificarea lui P. Corone**:

I. Cardiopatii congenitale cu obstacol fără sunt.

1. obstacol la ieșirea sângelui din V.D. : *stenoza arterei pulmonare*;
2. obstacol la ieșirea sângelui din V.S.:
 - stenoza orificială de aortă (supravalvulară, subvalvulară);
 - stenoza istmului aortic (coarctația aortei).

II. Cardiopatii congenitale cu sunt stânga-dreapta :

1. defectul septal interatrial-DSA
2. defectul septal interventricular-DSV
3. persistența de canal arterial BOTALLO.

III. Cardiopatii congenitale cu sunt dreapta-stânga :

1. tetralogia FALLOT;

2. trilogia FALLOT;
3. atrezia tricuspidiană;
4. boala EBSTEIN;
5. complexul EISENMENGER;
6. sindromul EISENMENGER.

IV. Cardiopatii congenitale cu șunt bidirecțional :

1. transpoziția comună a marilor vase;
2. transpoziția corectată a marilor vase;
3. ventricol drept cu două ieșiri.

V. Alte cardiopatii congenitale :

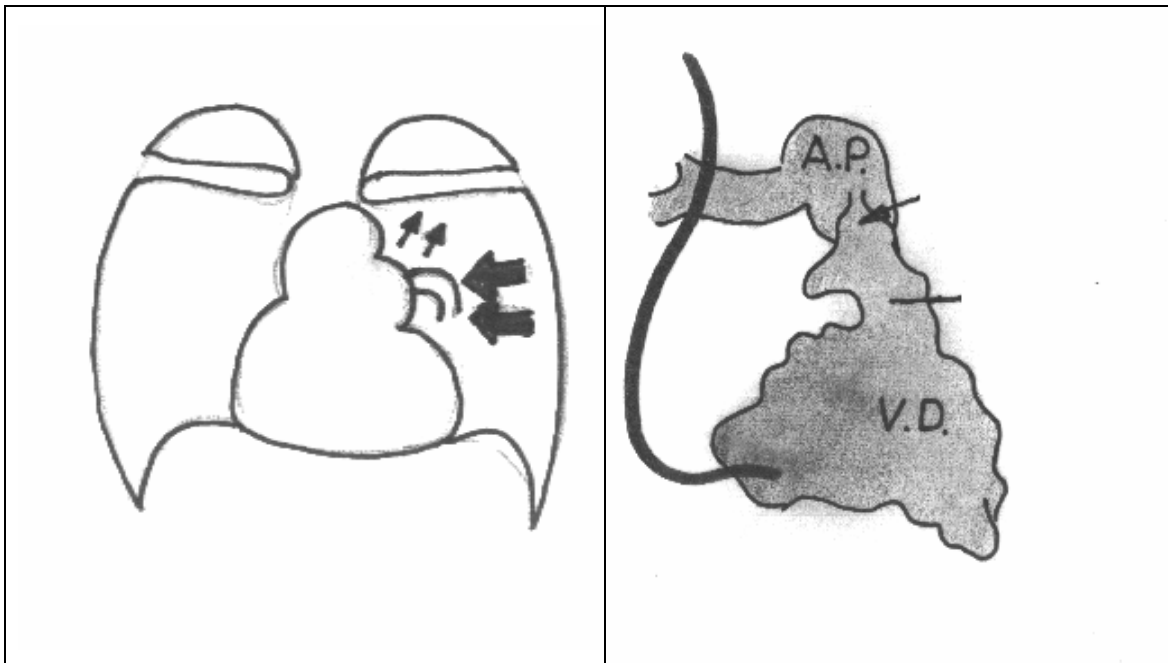
1. situs solitar cu cordul la dreapta;
2. situs inversus totalis;
3. boala LUTTEMBACHER;
4. anomalii ale arterelor coronare;
5. stenoza medioventriculară stângă;
6. fibroelastoza endocardică;
7. ventricolul unic;
8. malpoziții venoase;
9. fistule arterio-venoase.

5.4.2. Principalele tipuri de malformații congenitale cardiovasculare

5.4.2.1. Cardiopatiile congenitale cu obstacol fără șunt

☆ **Stenoza de arteră pulmonară**

- se caracterizează prin micșorarea orificiului valvular pulmonar (orificial, infundibular sau trunchi);
- incidență de 10%;



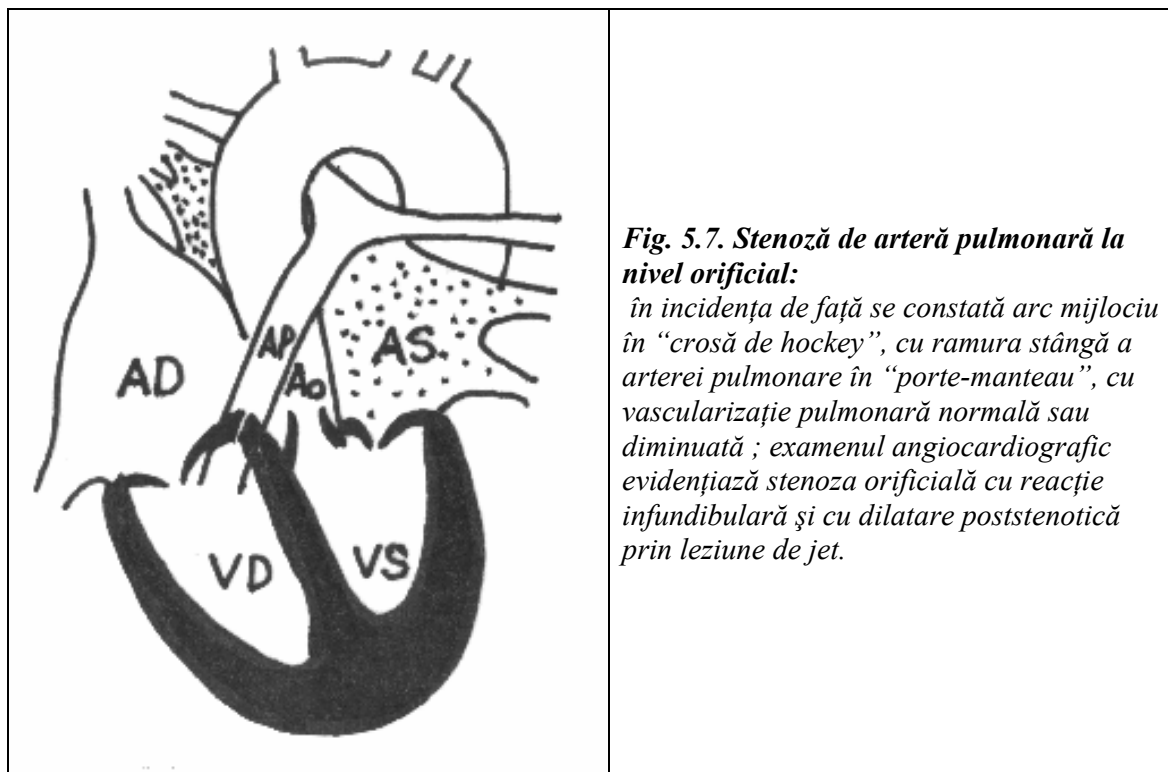


Fig. 5.7. Stenoză de arteră pulmonară la nivel orifical:

în incidența de față se constată arc mijlociu în “crosă de hockey”, cu ramura stângă a arterei pulmonare în “porte-manteau”, cu vascularizație pulmonară normală sau diminuată ; examenul angiocardigrafic evidențiază stenoza orificală cu reacție infundibulară și cu dilatare poststenotică prin leziune de jet.

- produce o suprasolicitare a V.D. în grade variate, în funcție de stenoză și implicit de presiunea sângelui din V.D.;
- în funcție de presiunea sistolică ventriculară dreaptă (P.V.D.) se disting:
 - **stenoză pulmonară ușoară** cu **P.V.D. mai mică de 70 mm Hg;**
 - **stenoză pulmonară moderată** cu **P.V.D. între 70-120 mm Hg;**
 - **stenoză pulmonară severă** cu **P.V.D. mai mare de 120 mm Hg.**
- crescând presiunea în V.D. și apoi în A.D. prin scăderea complianței V.D., se poate deschide foramenul oval, constituindu-se un șunt dreapta-stânga atrial, cu cianoză prin amestec, astfel că apare triada FALLOT;
- din punct de vedere clinic, semnul cardinal în stenoza pulmonară este suflu sistolic aspru, de mare intensitate la focarul pulmonarei, cu transmitere axilară stângă, fără iradiere spre vasele gâtului.

Radiologic:

- cord globulos, cu proeminența ventricolului drept și a arterei pulmonare;
- aspect de “coeur en sabot”;
- caracteristică bombarea arcului mijlociu produsă prin dilatarea poststenotică a arterei pulmonare;
- desen pulmonar sărac;
- examenul angiografic selectiv este absolut indicat - stabilește gradul de HVD și dilatarea poststenotică prin leziune de jet;
- cele trei variante de obstrucție (orificală, infundibulară și de trunchi) dau aceleași aspecte radiologice, angiografia selectivă fiind singura capabilă să precizeze sediul obstacolului.

☆ **Stenoza orificiului aortic (orificală și suborificală)**

- hipertrofia VS, care dă cordului un aspect aortic;
- în O.A.S., V.S. acoperă o parte din coloana vertebrală.

☆ Stenoza istmului aortic (coarctatio aortae)

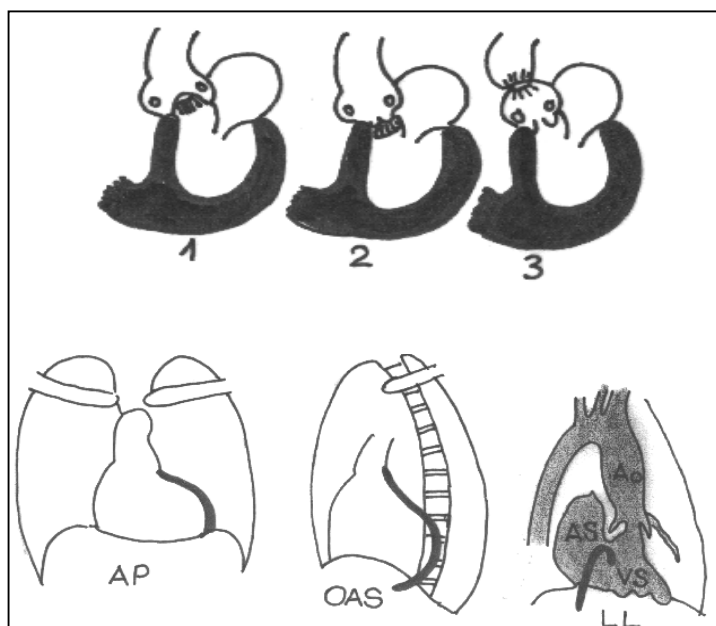
- situată cel mai frecvent în regiunea istmică (porțiunea dintre originea subclaviei și inserția ligamentului arterial Botallo);
- coarctăția cu canal arterial permeabil în primul an de viață are particularități care depind de localizarea stenozei în funcție de deschiderea canalului arterial, dar în special de dimensiunile acestuia precum și de raportul rezistență pulmonară - rezistență sistemică;
- după primul an de viață fiziopatologia este dominată de tulburări în scurgerea sângelui prin aortă, ceea ce va duce la o hipertensiune în teritoriul suprastenotic și o hipotensiune în aval de stenoză;
- obstacolul este ocolit prin circulație colaterală care se dezvoltă progresiv, fiind proporțională cu gradul de îngustare.

Radiologic se constată:

- aorta ascendentă dilatată;
- butonul aortic șters;
- la nivel costal apar amprente costale sau uzurile costale, realizând **semnul ROSSLER**, bine vizibil pe marginea inferioară a arcurilor costale posterioare III-VIII, dar mai ales IV, V, VI;
- circulație colaterală prin arterele scapulare, mamare și intercostale, pe 4 căi anastomotice :
 - prin colaterale superioare, care leagă vasele vârfului toracic și ale centurii scapulare cu ramuri din arterele intercostale II, III și IV;
 - prin colaterale medii, între artera mamară internă și artera epigastrică;
 - prin colaterale inferioare, care pleacă din precedentele, arterele epigastrice și iliace fiind legate de artera subclaviculară;
 - prin colaterale posterioare, în care spinalele anterioare ale arterei subclaviculare se anastomozează cu intercostalele inferioare sau lombare.
- este caracteristică diminuarea marcată, întârzierea sau dispariția pulsului femural în total contrast cu pulsațiile ample ale arterelor membrelor superioare;
- stenoza este urmată de dilatarea poststenotică care produce o a doua imagine de buton aortic cu amprentare pe esofag, localizată sub cea produsă în mod normal de butonul aortic.
- marginea stângă a pedicolului vascular poate fi dată de artera subclaviculară stângă mult dilatată, care se continuă până sub claviculă și dă imaginea “în horn” sau “coș de fabrică”.

Fig. 5.8. Stenoza orificiului aortic

(1), suborificial (2) și supraorificial (3) ; radiologic se constată hipertrofia ventricolului stâng în incidența de față și OAS, iar examenul angiocardigrafic evidențiază stenoza orificială de aortă.



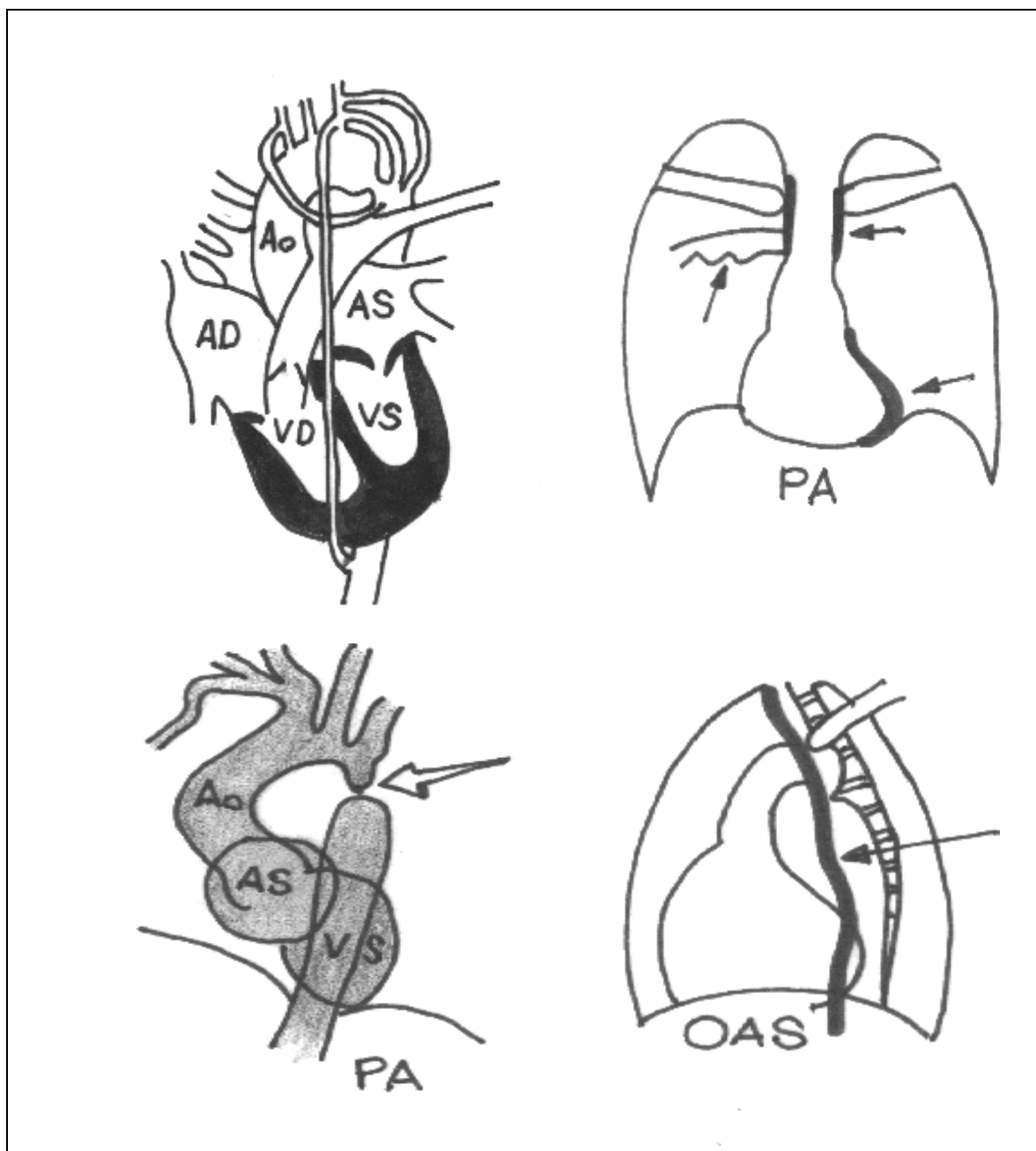


Fig. 5.9. Stenoza istmului aortic sau coarctația aortică:

Radiologic aspect al pediculului în coloană sau în șemineu, hipertrofia ventricolului stâng, eroziuni costale multiple, vizibile pe incidența de față ; în OAS dilatația substricturală a aortei amprentează dinspre posterior spre anterior esofagul baritat ; examenul angiocardiografic pe cale venoasă sau mai bine cel selectiv ventricular drept este examenul de elecție, precizând existența, gradul, sediul și tipul de coarctație.

- în incidența O.A.S. se constată mărirea ventricolului stâng, apariția unei incizuri sub forma cifrei 3 inversate pe esofagul examinat cu sulfat de bariu, care este cu atât mai evidentă cu cât dilatarea suprastenotică este mai mare;
- aorta ascendentă este dilatată uneori anevrismal cu emergență abruptă și verticală pe V.S.;
- în incidența de profil se constată aceleași modificări ca în O.A.S.;

- examenul angiografic și aortografia sunt indispensabile pentru precizarea diagnosticului, mai ales preoperator pentru a nu avea surpriza unor malformații asociate.

Asocierea coarctației cu alte anomalii cardiovasculare:

1. Coarctația și canalul arterial persistent

- examenul angiografic poate preciza raportul dintre sediul stenozei și canalul arterial;
- în forma supraductală, supraviețuirea este rar compatibilă mai mult de câteva săptămâni, în vreme ce în forma subductală apare o hipertensiune pulmonară mare;
- în cazul în care se încearcă închiderea canalului arterial, aceasta devine periculoasă din cauza rezistenței pulmonare ridicate.

2. Coarctația și unele valvulopatii congenitale la copii și tineri

- pune în discuție
 - defectele septale interatriale;
 - defectele septale interventriculare;
 - tetralogia FALLOT;
 - bicuspidia;
 - stenozele orificiale etc.;
- doar cateterismul și angiografia pot preciza diagnosticul.
- coarctația se operează între 6 și 20 de ani; pentru a se putea interveni chirurgical, examenul radiologic va trebui să răspundă la următoarele aspecte și să precizeze:
 - care este morfologia coarctației : de tip botallian sau de tip istmic ?
 - care este modul de implantare al arterei subclaviculare stângi în raport cu stenoza, respectiv întinderea zonei dintre stenoză și emergența subclaviculare, sau segmentul amont ?
 - care este modul de implantare al primei perechi de artere intercostale de origine aortică, care definesc segmentul aval, adică segmentul liber care separă stenoza de prima arteră intercostală ?
 - care este abundența circulației intercostale ?
- tratamentul chirurgical este indicat în toate cazurile cu stenoză semnificativă, respectiv hipertensiune arterială, circulație colaterală sau alte tulburări de ordin funcțional

5.4.2.2. Cardiopatii congenitale cu șunt stânga-dreapta

☆ Defectul septal interatrial

Septul interatrial se dezvoltă din cavitatea unică sau segmentul atrial al tubului cardiac primitiv, care se separă în două printr-un pliu numit septum primum. Pe măsură ce cavitățile cordului cresc, septul interatrial nu rezistă la întindere, astfel că se realizează un ostium secundum în partea superioară. Ulterior apare septum secundum, o formațiune nouă care are și ea un orificiu. Orificiile septului primum și secundum sunt decalate, dar nu complet, decalajul generând o fantă numită foramen ovale; prin această fantă o parte din sângele placentar oxigenat trece din A.D. în A.S. și apoi din A.S. în marea circulație.

- sunt descrise 4 tipuri distincte:
 - **persistența ferestrei ovale;**
 - **persistența de ostium primum** (defect septal jos situat);
 - **persistența de ostium secundum** (defect septal sus situat);
 - **atrio-ventricol comun.**

1. Persistența ferestrei ovale

- fereastra ovală se închide la câteva săptămâni după naștere;
- lipsa de închidere a ferestrei ovale nu are importanță clinică, dacă nu este asociată cu alte malformații;

- numai defectele prin persistența de ostium primum și secundum pot fi considerate malformații adevărate.

2. Persistența de ostium primum

- defectul septal este jos situat, la baza septului interatrial, în treimea inferioară, aproape de valva mitrală și tricuspידă;
- defectul este mare, măsurând între 3-5 cm;
- în mod inevitabil se creează un șunt stânga-dreapta;

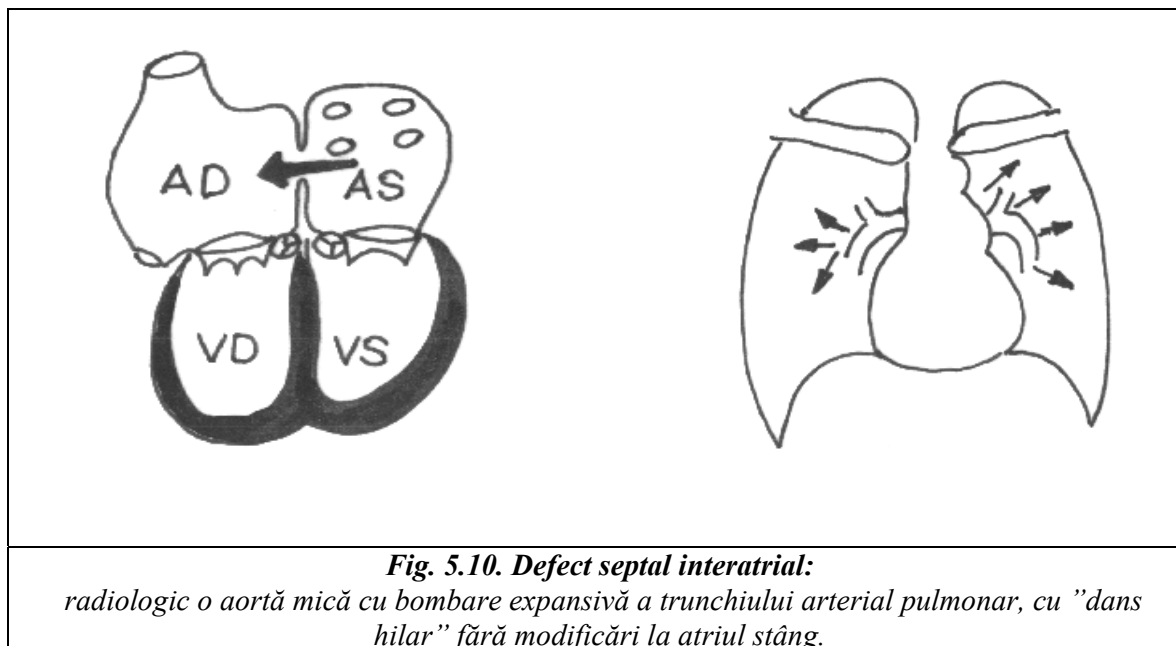


Fig. 5.10. Defect septal interatrial:

radiologic o aortă mică cu bombare expansivă a trunchiului arterial pulmonar, cu "dans hilar" fără modificări la atriul stâng.

3. Persistența de ostium secundum

- defect septal sus situat;
- dacă presiunea din A.D. crește mult, are loc o inversare a șuntului, producându-se cianoză;
- clinic se instalează dispneea și apare și o hipotensiune arterială;
- decesul survine prin insuficiență cardiacă dreaptă, media de vârstă fiind de 35 de ani.

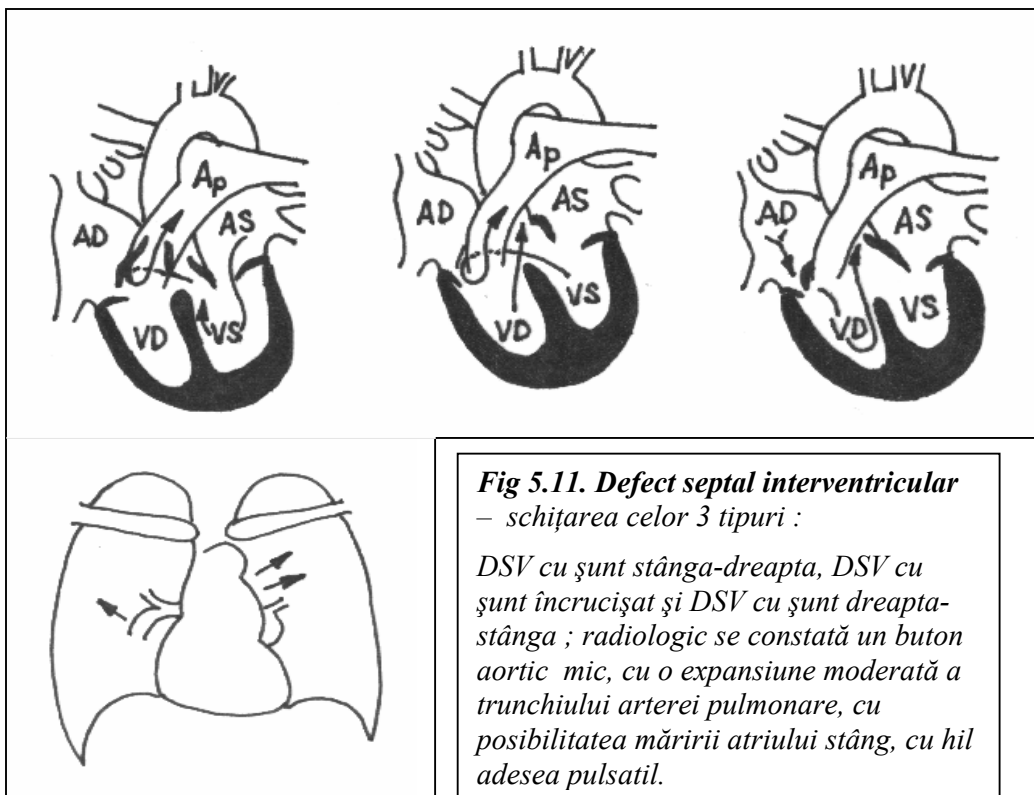
4. Atrioventricolul comun

- din punct de vedere embriologic are loc o oprire în dezvoltarea septului, în urma căreia valva mitrală și tricuspידiană formează o valvulă comună, cranial și caudal, atriile și ventricolele comunicând între ele;
- apare frecvent în sindromul LANGDON-DOWN;
- examenul radiologic pune în evidență:
 - A.D. primind sânge și din cava superioară și din A.S. se va dilata;
 - V.D. primind și el o cantitate mai mare de sânge, va suferi o dilatație de umplere;
 - debitul sistolic crescut va produce o dilatare a arterelor pulmonare.
- din cauza hipertensiunii pulmonare, V.D. va trebui să facă față unui efort de injectare și unui volum sanguin crescut și a unui efort de învingere a rezistenței crescute în circulația pulmonară; pe lângă dilatația de umplere, va interveni și o dilatație de rezistență;
- radiologic, se constată în incidență PA :
 - aspectul de cord de configurație mitrală, căruia îi lipsește un AS mare;
 - hilurile pulmonare sunt mult mărite;
 - vascularizația pulmonară este accentuată;

- limita dintre arcul mijlociu și cel inferior stâng este adâncă prin proeminența arcului mijlociu hilurile pulmonare prezintă “dans hilar”.
- în incidența OAD:
 - VD este mare;
 - conul arterei pulmonare proeminent.
- în incidența OAS:
 - fereastra aorto-pulmonară se reduce prin dilatarea arterei pulmonare;
 - artera pulmonară mărită produce amprentă pe esofag.
- cateterismul cardiac pe cale venoasă precizează clar diagnosticul.

☆ **Defect septal interventricular solitar (boala Roger)**

- formarea septului interventricular are loc în săptămâna a IV, când rămâne o comunicare între ventricoli la nivelul extremității lor superioare, până ce septul membranos care se va forma mai târziu va separa complet cavitățile ventriculare;
- malformație care se poate asocia cu multe altele, denumirea de **boală ROGER** fiind rezervată defectului de sept solitar;
- mai adesea apare în porțiunea membranoasă, lângă baza valvelor aortice;
- cu cât defectul se află mai departe de această valvă, prognosticul este mai bun;



- 1/5 din defecte apar la nivel muscular, ele fiind mai mici, spre deosebire de cele din porțiunea membranoasă care sunt mult mai mari;
- indiferent de mărimea defectului septal, din cauza diferenței de presiune intracavitară, șuntul inițial este de la stânga la dreapta;
- în momentul în care presiunea din V.D. a crescut mult, are loc inversarea șuntului și apare cianoza;

- **examen radiologic:**
 - hil pulmonar adesea pulsatil;
 - un defect mic nu modifică semnificativ imaginea cordului;
 - artera pulmonară stângă se dilată mai ales în cazurile când defectul de sept interventricular este înalt, iar sângele trece direct din VS în artera pulmonară;
 - complicația cea mai de temut este endocardita bacteriană;
- trei tipuri de defecte septale interventriculare:
 - defect septal interventricular cu șunt stânga-dreapta;
 - defect septal interventricular cu șunt încrucișat;
 - defect septal interventricular cu șunt dreapta-stânga;
- **defectul interventricular cu șunt stânga-dreapta:**
 - în sistolă, sângele din V.S. trece prin defectul septal înalt în infundibul și în artera pulmonară (rezistența în marea circulație fiind mai mare) ocolind marea circulație;
 - cavitățile stângi și vasele pulmonare sunt mărite;
 - trunchiul arterei pulmonare este mai mare ca aorta;
 - la nivelul șuntului se egalizează presiunile din ventricoli;
 - hipertrofie ventriculară dreaptă în urma apariției hipertensiunii pulmonare;
- **defectul de sept interventricular cu șunt încrucișat:**
 - din V.S. sângele trece în artera pulmonară, iar din V.D. trece puțin sânge venos în aortă;
 - în artera pulmonară prin șuntare avem sânge arterial, iar în aortă prin șuntul dreapta-stânga sânge venos (rezistențele în ambele circulații sunt asemănătoare);
 - după predominanța șuntului, cavitățile drepte sau stângi sunt mai încărcate;
 - întotdeauna vom avea o hipertrofie ventriculară dreaptă;
- **defectul de sept interventricular cu șunt dreapta-stânga:**
 - sângele venos din V.D. trece prin defectul înalt (rezistența în mica circulație este mai mare) și în calea de eliminare stângă se amestecă cu sângele arterial;
 - rezultă o hipoxie periferică și cianoză;
 - hipertrofie a cavităților drepte, cele stângi putând fi normale;

☆ **Persistența canalului arterial BOTALLO**

- formațiune anatomică normală în timpul vieții intrauterine, asigurând devierea sângelui din artera pulmonară în aortă;
- lungime de 10-15 mm și 2-10 mm în diametru;
- după naștere în locul lui rămâne un cordon fibros, cunoscut sub numele de ligamentul arterial al lui Botallo;

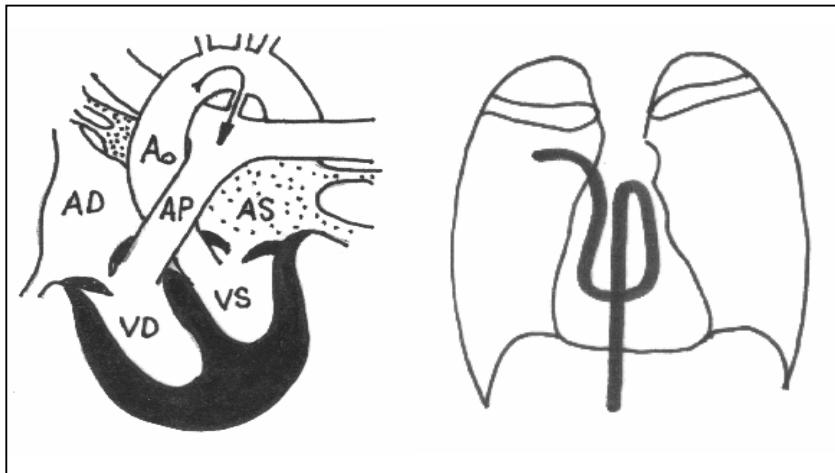


Fig. 5.12. Persistența canalului arterial Botallo – reprezentare schematică:
cateterismul cardiac evidențiază pasajul din artera pulmonară prin canal în aorta descendentă realizând aspectul de literă “φ” făcând angiocardiografia inutilă

- incidență - 11% din totalul afecțiunilor congenitale cardiovasculare;
- 15% - element asociat altor malformații;
- presiunea sângelui din aortă este mult mai mare decât în artera pulmonară \Rightarrow o parte a sângelui va trece din aortă în artera pulmonară \Rightarrow dilatarea arterei pulmonare și supraîncărcarea V.D. ;
- și A.S. va primi o cantitate mai mare de sânge prin venele pulmonare, dilatându-se și el la rândul său;
- dilatarea ajunge apoi și la V.S.;
- în final vom avea dilatarea arterei pulmonare și a ramurilor sale, a A.S., V.D. și V.S.;
- pe acest fond, frecvent se poate greșa o endocardită bacteriană;
- **radiologic**, modificările apar și sunt vizibile atunci când există un șunt mare:
 - artera pulmonară proeminentă, arcul mijlociu este bombat;
 - diametrul transversal al cordului este mărit prin HVD;
 - hilurile pulmonare au un contur net, bogat arborizate, cu hipervascularizație pulmonară, desenul pulmonar putându-se urmări până la periferia câmpurilor pulmonare;
 - în cazurile complicate cu hipertensiune pulmonară de rezistență, aspectul este de sindrom EISENMENGER;
 - în OAS se poate evidenția dilatarea aortei în vecinătatea istmului;
- aortografia și cateterismul cardiac dau certitudinea diagnosticului;
- diagnosticul diferențial radiologic se face cu:
 - **D.S.A.;**
 - **boala Luttembacher;**
 - **stenoza izolată a arterei pulmonare;**
 - **complexul Eisenmenger;**
 - **DSV înalt.**

5.4.2.3. Cardiopatii congenitale cu șunt dreapta-stânga

☆ **Tetralogia FALLOT**

- FALLOT a descris în 1888 asocierea a patru anomalii:
 - **stenoza (sau atrezia) pulmonară (de obicei infundibulară);**
 - **dextropoziția aortei, cu aortă călare pe sept;**
 - **hipertrofia ventriculară dreaptă;**
 - **defectul septal interventricular;**
- le-a asociat și le-a considerat ca fiind responsabile de apariția "bolii albastre";
- mai frecventă la sexul masculin și în trisomia cromozomială 21;
- cea mai frecventă cauză de cianoză la copii;
- de multe ori asociată cu persistența de canal arterial BOTALLO;
- incidență - 12%;
- cianoză apare după naștere când se închide canalul arterial;
- în formele grave, copilul ia o poziție ghemuită, care îi reduce dispneea;
- modificări ale falangelor distale, care iau aspect de "degete hipocratice";
- dezvoltarea staturo-poderală este deficitară;
- elementul esențial al malformației îl constituie stenoza de arteră pulmonară infundibulară, orificială sau infundibulo-orificială, existând posibilitatea mai multor variante:
 - stenoza trunchiului arterei pulmonare;
 - stenoza de arteră pulmonară dreaptă;
 - stenoza de arteră pulmonară stângă;
 - stenoza arterei pulmonare drepte și stângi;

- stenoza de trunchi și de arteră pulmonară dreaptă;
- stenoza de trunchi și artera pulmonară stângă;
- stenoza arterelor pulmonare dreaptă și stângă.
- aspect radiologic foarte divers;
- hemodinamica cardiacă este dominată de obstacolul realizat de stenoză și devierea sângelui prin defectul septal interventricular;
- fiziopatologic, hotărâtor este gradul stenozei pulmonare, care determină o mare variabilitate de tablouri clinico-radiologice:

1. defect septal interventricular cu stenoză pulmonară de însoțire

- stenoza arterei pulmonare este minimă;
- anomalia este dominată de defectul septal interventricular, care duce la egalizarea presiunilor intraventriculare;
- șuntul are o direcție exclusiv stânga-dreapta
- se poate asocia și o hipertensiune pulmonară secundară;

2. stenoza de arteră pulmonară moderată

- șunt exclusiv stânga-dreapta care se poate inversa la efort;
- corespunde tipului **FALLOT - I**, sau **FALLOT roz (pink Fallot)**;

3. stenoza severă a arterei pulmonare

- șunt deja dreapta-stânga;
- corespunde tipului **FALLOT - II**.

4. stenoza foarte severă de arteră pulmonară

- corespunde tipului clasic de tetralogie FALLOT, sau **FALLOT- III**;

5. atrezia arterei pulmonare și a căii de evacuare a ventricolului drept

- circulația pulmonară este asigurată prin colaterale (arterele bronșice);
- corespunde tipului **FALLOT- IV**.

- examenul radiologic standard:
 - în jumătate din numărul cazurilor aspectul tipic de **“coeur en sabot”** (descrie de către **VASQUEZ și BORDET**);
 - mărit spre stânga, cu vârful ridicat prin accentuarea concavității arcului mijlociu;
 - articulează în unghi drept cu arcul inferior stâng;

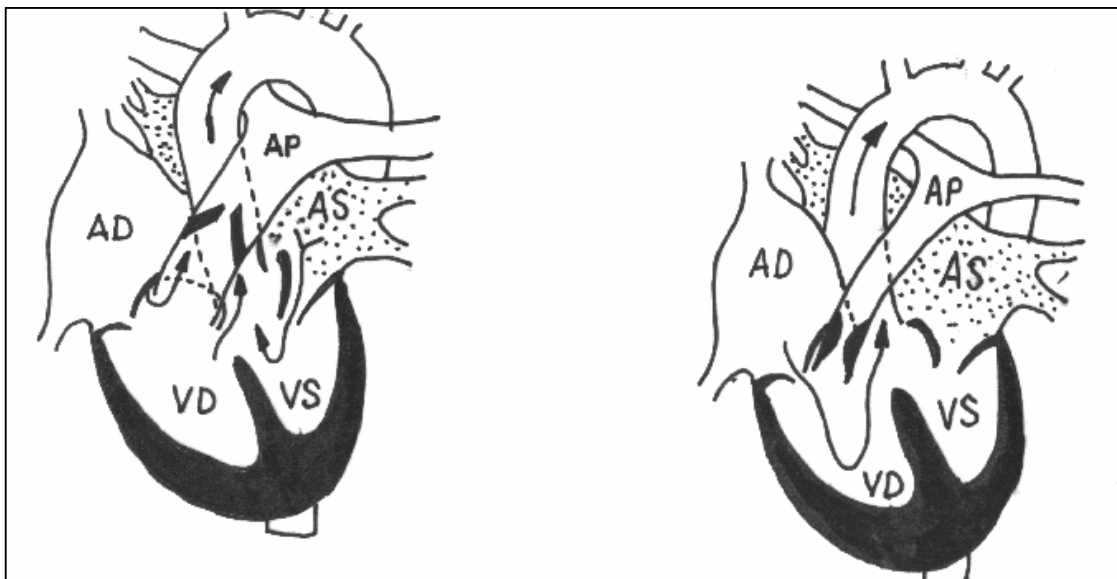


Fig. 5.13. Tetralogie Fallot cu stenoză de trunchi a arterei pulmonare și respectiv orificiu, hipertrofie ventriculară dreaptă, defect septal interventricular și aortă călare pe sept

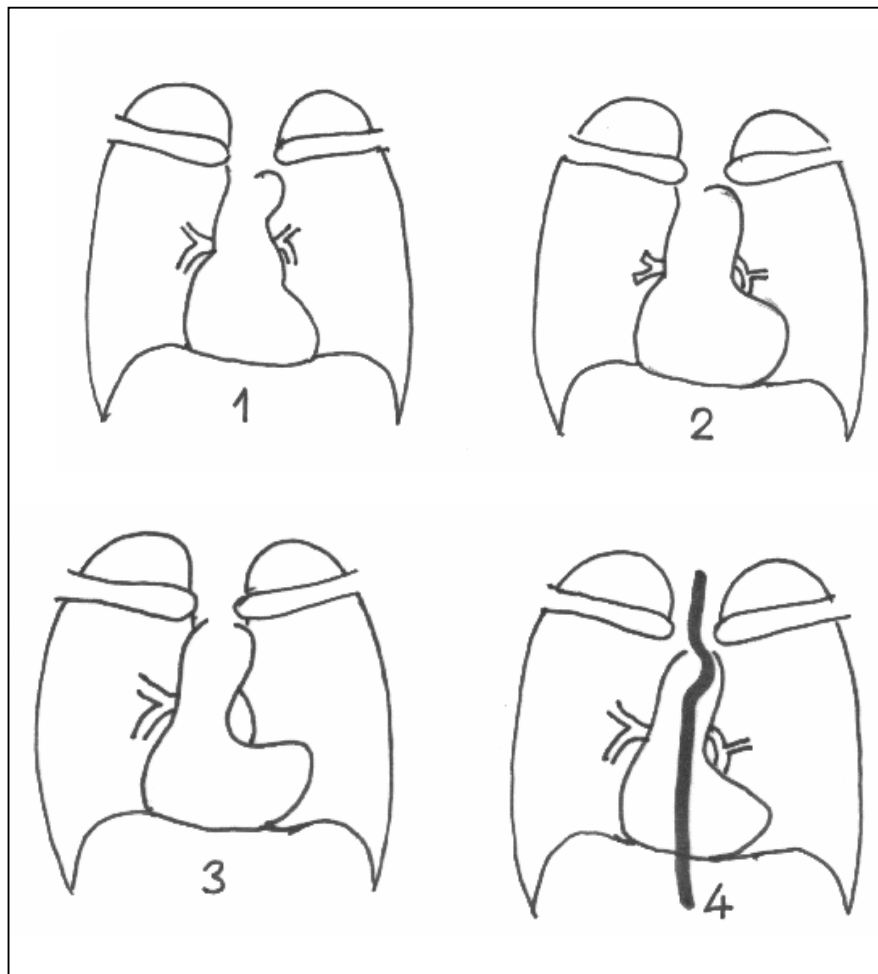


Fig. 5.14. Tetralogie Fallot – aspecte radiografice variate:

1. Siluetă cardiacă normală ; 2. Diagnostic pozitiv pe baza a trei elemente : arc mijlociu adâncit, vârful cordului ridicat supradiaphragmatic și vascularizație pulmonară diminuată ; 3. Formele severe de vecinătate cu pseudotrunchi, siluetă cardiacă “caricaturală”, pedicul îngust și strâmt superior, golf adâncit datorită arcului mijlociu, vârful cordului ridicat de pe diafragm, artere pulmonare minuscule, plămâni foarte clari ; 4. Aorta la dreapta esofagului - argument indirect pentru tetralogie Fallot întâlnit la unul din patru cazuri.

- angiocardiografia selectivă în VD arată opacifierea simultană a arterei pulmonare și aortei;
 - vascularizația pulmonară este săracă, redusă, cu hiluri pulmonare gracile, de aspect filiform;
 - fereastra aorto-pulmonară apare mărită datorită calibrului redus al arterei pulmonare stângi, aspect vizibil în OAS;
 - apariția opacităților nodulare mici cu aspect infiltrativ și imaginile cavitare din regiunile vârfurilor pulmonare ori situate mai jos de o simfiză pleurală sunt considerate a fi complicații ale hipoperfuziei severe, realizând aspect de pseudofibroză.
- asocierea unui defect septal interatrial la cele patru elemente ale tetralogiei, formează pentalogia Fallot, unde nu mai avem “coeur en sabot”;

- ventricolul stâng poate fi mare numai dacă persistă canalul arterial, care are rol compensator pentru o atrezie pulmonară;
- diagnosticul diferențial radiologic se va face cu:
 - **trilogia Fallot;**
 - **atrezia tricuspidiană;**
 - **transpoziția marilor vase (asociată cu D.S.V. și stenoză de arteră pulmonară);**
 - **la copilul mare și la adolescent cu sindromul Eisenmenger și trilogia Fallot.**
- tratamentul chirurgical este foarte complex, cu numeroase procedee chirurgicale

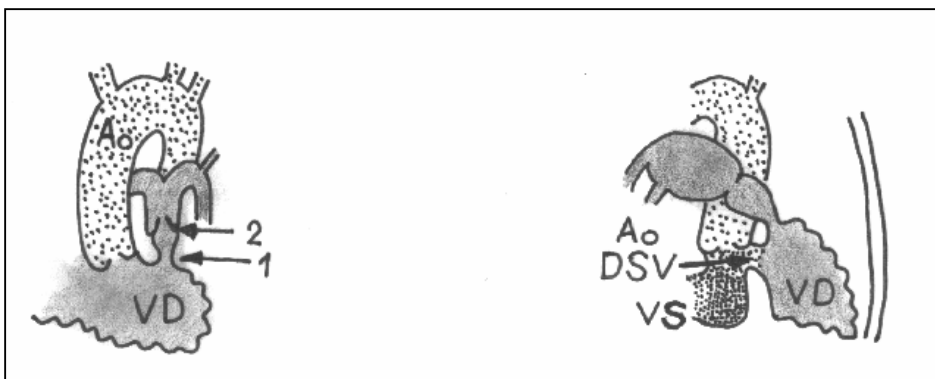
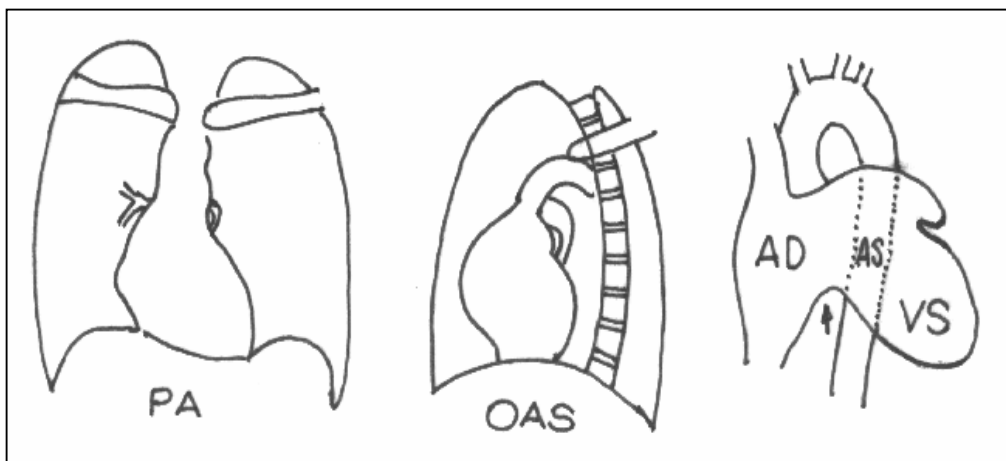


Fig. 5.15. Angiocardografie în incidența de față și profil stâng:

1. Stenoză infundibulară; 2. Stenoză orificială ; aorta este mult mai largă decât artera pulmonară, este opacifiată în timpul drept ; defectul septal interventricular vizibil pe profil.

☆ *Atrezia tricuspidiană*

- ✓ **valvă tricuspidiană obliterată;**
 - ✓ **V.D. rudimentar (sau complet absent);**
 - ✓ **D.S.A., fără de care anomalia este incompatibilă cu viața;**
- sângele din A.D. trece prin defectul septal interatrial spre A.S., V.S. și aortă ⇒ supraîncărcare a cordului stâng;
 - în marea circulație și în artera pulmonară, sângele este amestecat (arterial și venos);



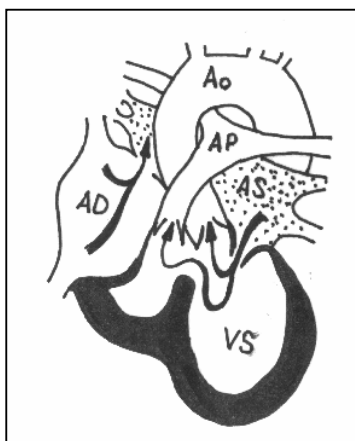


Fig. 5.16. Atrezia tricuspidiană: radiografic, în incidența de față se constată convexitate înaltă a conturului drept, legată de dilatarea atriului drept cu unghi cardiofrenic la baza bordului drept, legat de hipoplazia VD cu hipovascularizație pulmonară; angiocardigrafic – lipsa de injectare a ventricolului drept (săgeata)

- **radiologic:**
 - jumătatea dreaptă a imaginii cardiace în PA apare deosebit de mică, comparativ cu cea stângă;
 - conturul inferior drept este rectiliniu, suprapus pe conturul coloanei vertebrale;
 - VS este mare;
 - vascularizația este mult redusă;
 - cordul în ansamblu este configurat aortic.
- atrezia tricuspidiană se asociază frecvent cu transpoziția marilor vase.

☆ **Boala Ebstein**

- **inserția caudală a valvei tricuspide pe pereții VD;**
- **asocierea unui viciu de dezvoltare al valvei care prezintă pereți subțiri, hipoplazici, perforați.**
- **consecințe directe:**

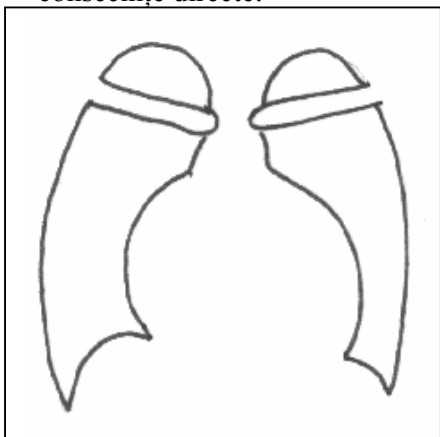


Fig 5.17. Boala Ebstein:

- *cord mărit în toate diametrele*
- *vascularizație pulmonară redusă*
- *pedicol vascular scurtat*

- insuficiența orificiului tricuspidian;
 - reducerea volumului funcțional al V.D.;
 - A.D. și V.D. formează de fapt o singură cavitate, mult dilatată, cu pereți subțiri;
 - atriul drept este enorm dilatat, dilatându-se și calea de ieșire a ventriculului drept.
- **radiologic:**
 - cord mărit în toate diametrele;
 - vascularizație pulmonară redusă;
 - delimitarea în arcuri este greu de făcut;
 - pedicolul vascular apare scurt (a nu se confunda cu pericardita exudativă);
 - uneori, din cauza presiunii mari foramenul oval se deschide și apare cianoza prin șunt dreapta-stânga.

☆ **Complexul Eisenmenger**

- toate elementele tetralogiei Fallot, exceptând stenoza arterei pulmonare;
- denumit și tetralogie Fallot de tip Eisenmenger;
- format de următoarele elemente:
 - dextropoziția aortei în diferite grade;
 - D.S.V. înalt;
 - mărirea VD;
 - dilatarea trunchiului și ramurilor arterei pulmonare;

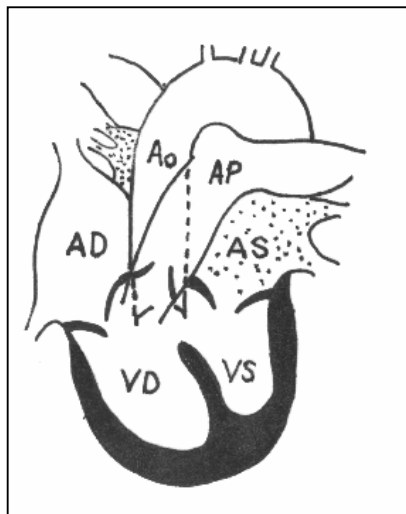


Fig. 5.18. Complex Eisenmenger cu elementele tetralogiei Fallot, mai puțin stenoza arterei pulmonare, respectiv dextropoziția aortei, DSV înalt, mărirea VD, dilatarea trunchiului și ramurilor arterei pulmonare

- cianoza apare consecutiv șuntului dreapta-stânga;
- în mod progresiv se vor constata:
 - degete hipocratice;
 - policitemie;
 - insuficiență cardiacă;
- dacă la naștere apare cianoza se depășește rar vârsta de 10 ani;
- **examenul radiologic în incidența PA:**
 - hiluri pulmonare foarte mari, pulsatile, cu "dans hilar";
 - hipervascularizație pulmonară;
 - buton aortic estompat;
 - crește diametrul transvers al cordului;
 - bombarea arterei pulmonare care se accentuează pe măsura instalării insuficienței relative pulmonare.

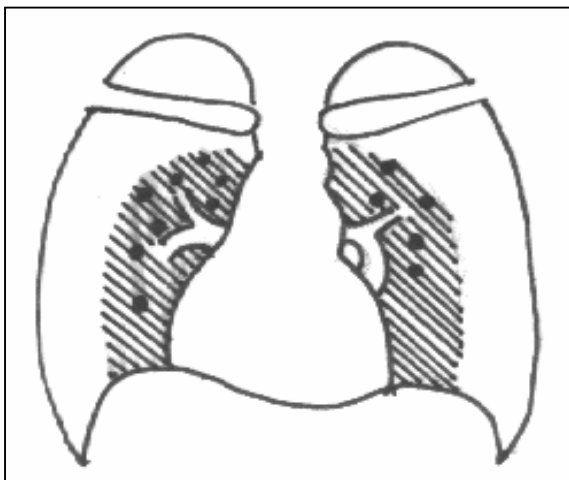


Fig. 5.19. Sindrom Eisenmenger: cord mărit, cu arc mijlociu convex pronunțat, cu ramuri ale arterei pulmonare largi, realizând o hipervascularizație perihilară, cu pastile vasculare sau cu imagini vasculare "în confetti" și cu periferia pulmonară foarte clară.

- în incidența OAD:
 - conul arterei pulmonare este accentuat bombat;
 - mărirea ventricolului drept și a căii de ieșire.
- în OAS:
 - fereastra aortică apare “obstruată”;
 - se mai poate adăuga mărirea V.D. și V.S..
- certitudinea diagnosticului este dată doar angiocardigrafic, când în timpul opacifierii VD se vizualizează simultan aorta și pulmonara, care nu are stenoză;
- aprecierea configurației cordului cu cea din alte malformații creează dificultăți deoarece:
 - fiziologic, D.S.V. înalt este similar complexului Eisenmenger;
 - radiologic complexul Eisenmenger este identic cu sindromul Lutenbacher;
 - tetralogia Fallot cu dilatarea poststenotică a pulmonarei, poate da un tablou similar: numai aspectul vascularizației pulmonare și pulsabilitatea hilurilor le poate diferenția;

☆ *Sindromul Eisenmenger*

- grup de cardiopatii cianogene, având ca parte dominantă comună o creștere a rezistențelor arteriolare pulmonare, la un nivel superior celui al rezistențelor periferice la care se adaugă:
 - comunicație anormală între cele două circulații de tipul DSA, DSV, canalul arterial persistent;
 - excepțional se întâlnesc fistule aorto-pulmonare.
- **explorarea radiologică:**
 - cord mărit;
 - arc mijlociu convex pronunțat;
 - ramuri ale arterei pulmonare largi;
 - hipervascularizație perihilară;
 - pastile vasculare sau imagini vasculare “în confetti”;
 - periferia pulmonară foarte clară.

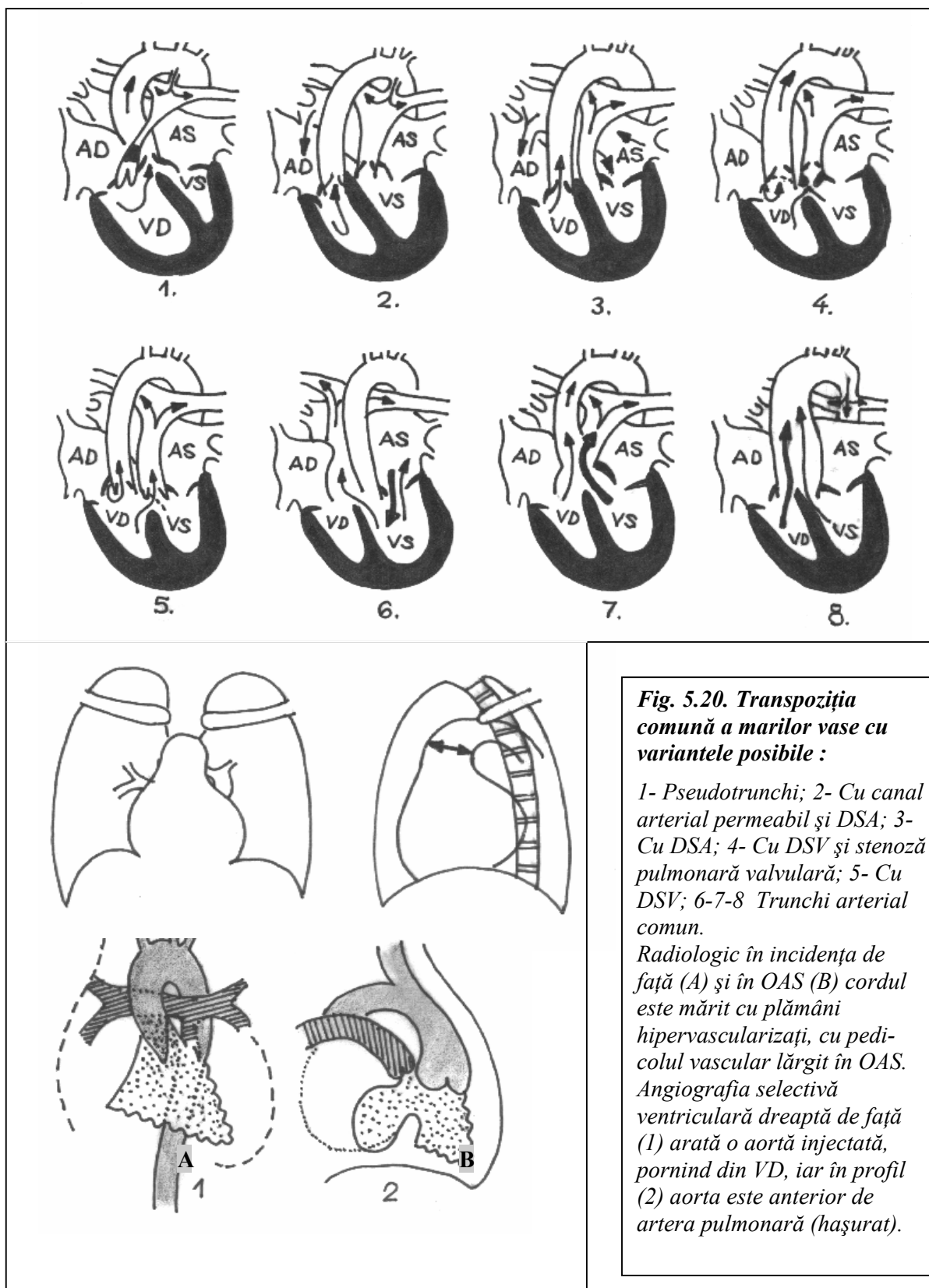
5.4.2.4. Cardiopatii congenitale cu șunt bidirecțional

☆ *Transpoziția marilor vase*

- foarte rară;
- vasele sunt normale, dar aorta iese din VD și artera pulmonară din VS;
- lipsa unui șunt dreapta-stânga duce rapid la moarte, deoarece sângele venos se reîntoarce în cavitățile drepte de unde este trimis în circulația sistemică neoxigenat;
- supraviețuirea implică asocierea unui DSA, DSV, canal arterial, persistența ferestrei ovale;
- orice efort agravează insuficiența cardiacă deoarece se produce egalizarea presiunii din cele două circulații;

☆ *Transpoziția corectată a marilor vase*

- malformație în care aorta și artera pulmonară sunt situate una în locul celeilalte, dar în care circuitul sanguin se face în sens fiziologic;
- inversare a ventriculilor: VS este în locul normal al VD, iar VD se află în locul unde ar trebui să fie VS;
- aorta iese din stânga unde structural există VD, iar pulmonara din dreapta, unde structural există VS,



- pulmonara fiind plasată median nu mai ia parte la formarea imaginii cardiace de față.

5.4.2.5. Alte cardiopatii congenitale

☆ *Stenoza mitrală congenitală*

- foarte rară în forma pură;
- aspect structural similar cu atrezia tricuspidiană;
- circulația pulmonară este redusă din cauza hipertensiunii pulmonare;
- **radiologic** - modificări nespecifice din cauza asocierilor de malformații (atrezia arterelor pulmonare, DSA și DSV);
- angiocardiografia relevă faptul că substanța de contrast trece din AS în AD, VS fiind mic sau inexistent;
- cateterismul cardiac relevă egalitatea concentrației de oxigen în cele două atri și o presiune în VD egală cu cea sistemică.

☆ *Fibroelastoza miocardică*

- radiologic - mărirea tuturor cavităților cordului;
- diagnosticul trebuie suspectat ori de câte ori la un copil se instalează:
 - insuficiență cardiacă acută;
 - fără cianoză;
 - fără modificări pulmonare;
 - cord foarte mare;
 - pronunțată HVS.

☆ *Boala glicogenică a cordului (von Gierke)*

- “hipertrofia idiopatică a cordului”;
- cord mult mărit;
- modificări de atelectazie în lobii superiori prin compresia bronșiilor lobare superioare;
- angiografic - pereții VS sunt îngroșați;
- nu este o malformație ci un viciu metabolic la nivelul fibrei musculare miocardice, care este caracterizată prin imposibilitatea conversiei glicogenului și trecerii lui în ciclul normal al metabolismului, acesta fiind stocat și în fibra miocardică;
- cordul este de 2-5 ori mai mare decât vârsta corespunzătoare, pereții ajungând la grosimea de 30 mm.

☆ *Dextrocardie adevărată tip I*

- imaginea în oglindă;

☆ *Dextrocardie adevărată tip II*

- la fel ca precedenta, dar fără inversiunea organelor abdominale;

☆ *Cordul bilocular*

- lipsa septurilor dă naștere la o cavitate atrială și una ventriculară prin contopire;

☆ *Cord trilocular biatriatum*

- două atri și un ventricol;

☆ *Cord trilocular uniatrium*

- două ventricole și un atriu;

☆ *Dextro rotație tip III*

- VD este situat posterior, VS anterior ⇒ dextropoziție primară.

LUCRAREA PRACTICĂ NR. 6

RADIODIAGNOSTICUL APARATULUI CARDIO - VASCULAR

6.1. Leziuni valvulare dobândite.

6.1.1. Semiologia radiologică elementară în leziunile valvulare dobândite.

6.1.2. Modificările patologice ale circulației pulmonare.

6.2. Insuficiența cardiacă.

6.2.1. Insuficiența cardiacă hemodinamică.

6.2.2. Insuficiența cardiacă dismetabolică.

6.3. Bolile pericardului.

6.3.1. Anatomie radiologică.

6.3.2. Absența parțială a pericardului.

6.3.3. Pericardita exudativă.

6.3.4. Diverticolul pericardic.

6.3.5. Pericardita închistată.

6.3.6. Calcificările pericardice.

6.3.7. Simfiza foițelor pericardice.

6.3.8. Simfizarea foiței pericardice parietale cu alte structuri mediastinale.

6.3.9. Pneumopericardul.

6.4. Bolile aortei.

6.4.1. Alungirea și derularea.

6.4.2. Aneurismele aortice.

6.4.3. Aneurismul de trunchi brahio-cefalic.

6.4.4. Aneurismul arterei subclaviculare

6.4.5. Aneurismul sinusului Valsalva.

6.4.6. Reducerea diametrelor aortei.

6.4.7. Creșterea opacității aortei

6.5. Cordul și procesele patologice pleuro-pulmonare.

6.5.1. Cordul și hipertensiunea arterială.

6.5.2. Cordul în afecțiunile miocardice.

6. RADIODIAGNOSTICUL APARATULUI CARDIOVASCULAR (II)

6.1. Leziuni valvulare dobândite

6.1.1. Semiologia radiologică elementară în leziunile valvulare dobândite

Mărimea cavităților cardiace:

- **gradul I** (cavitate ușor mărită);
- **gradul II** (cavitate mărită);
- **gradul III** (cavitate mult mărită).

6.1.1.1. Mărirea atriului stâng (AS)

- în incidența de față, AS se proiectează în mijlocul opacității cardiace;
- AS mărit este vizibil în incidența de față, unde pe marginea dreaptă se pot distinge 3 aspecte:
 - **dublu contur concentric** (sau mărime de gradul I) - nucleu opac în interiorul opacității cardiace care coafează în interior arcul inferior drept;
 - măsurarea distanței dintre această opacitate și bronșia principală stângă (normal

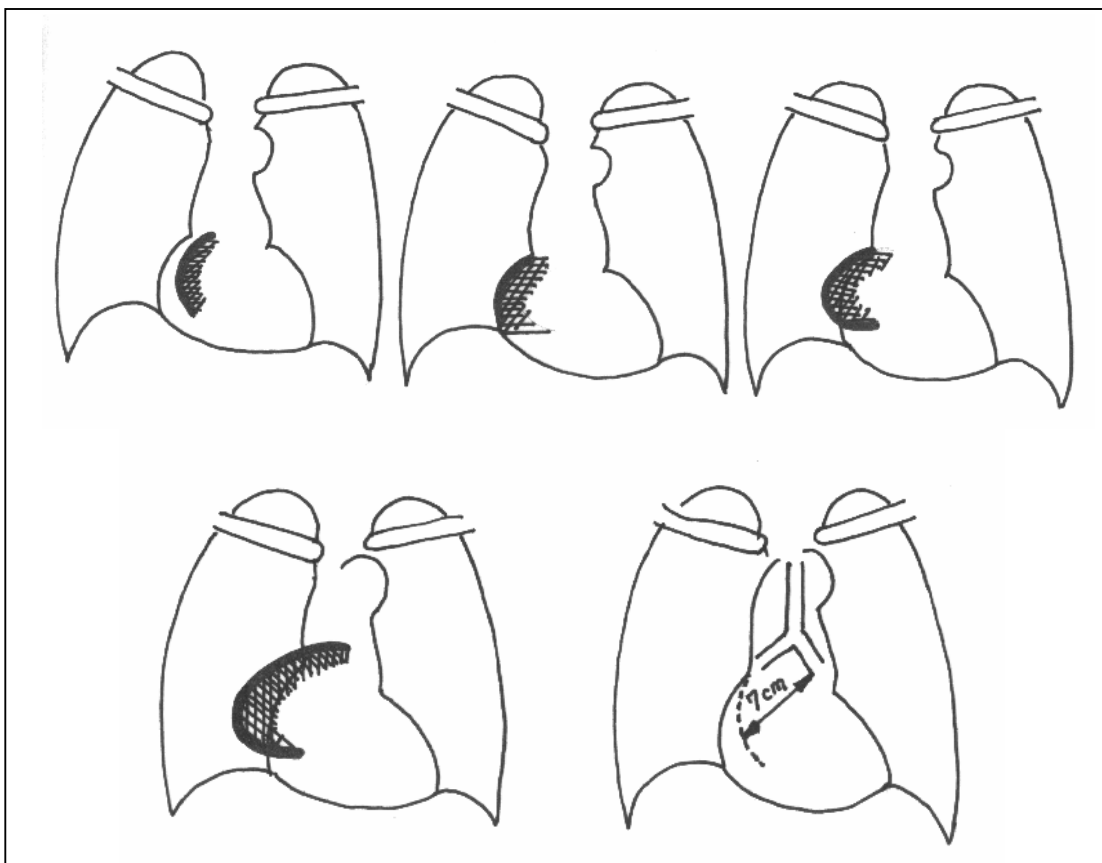


Fig. 6.1. Mărirea atriului stâng :

(A) dublu contur al marginii inferioare drepte, fără suprapunere ; (B, E) dublu contur concentric ; (C) dublu contur excentric ; (D) AS mult mărit.

este de 7 cm) este patologică atunci când depășește 7 cm;

- **dublu contur excentric** (sau arc în plus pe dreapta, sau mărime de gradul II) când AS apare pe conturul drept, acoperind zona de trecere între cele două arcuri;

- AS mult mărit (mărire de gradul III) când AS formează singur arcul inferior drept, dar fără să ajungă pe diafragm.
- administrarea de contrast opac prin opacifierea esofagului cu bariu, indică deplasarea esofagului spre stânga (excepțional spre dreapta) de către AS mărit;
- AS mărit poate orizontaliza bronșia principală stângă prin mărirea unghiului de bifurcație traheală (normal este de 75%);
- pe marginea stângă, AS mărit apare ca o proeminență către câmpul pulmonar, la nivelul treimii inferioare a arcului mijlociu;
- în incidență oblică anterioară dreaptă AS mărit se poate evidenția cel mai bine prin opacifierea esofagului cu pastă baritată, care va fi împins posterior de AS mărit;
- incidența oblică anterioară stângă OAS permite de asemenea vizualizarea AS mărit, care va produce o bombare a arcului postero-superior al opacității cardiace precum și reducerea spațiului retrocardiac în partea superioară a opacității cardiace;
- în incidența de profil, mărirea AS se poate aprecia printr-o bombare a arcului postero-superior al opacității cardiace;
- se poate determina dimensiunea AS pe baza raportului existent între aorta ascendentă și artera pulmonară dreaptă cu AS:
 - peretele anterior al arterei pulmonare drepte și al AS se proiectează aproximativ pe același plan oblic;
 - se trage o linie tangentă la peretele anterior al arterei pulmonare drepte, paralelă cu axul lung al esofagului opacifiat cu bariu;
 - distanța maximă între această linie și peretele anterior al esofagului reprezintă diametrul AS care are ca valori normale la femei sub 36 mm, iar la bărbați sub 40 mm;
 - **valori patologice:** peste 38 mm la femei și peste 40 mm la bărbați.

6.1.1.2. Mărirea atriului drept (AD)

- în incidența de față, AD formează arcul inferior drept și o parte din suprafața anterioară a opacității cardiace;
- când este mărit, AD va bomba în câmpul pulmonar, depășind mai mult sau mai puțin treimea internă a hemidiafragmului drept, cu modificarea unghiului cardio-frenic drept;
- în incidența OAS, atriul drept mărit formează marginea antero-superioară a opacității cardiace, care va bomba în spațiul retrosternal și-l va micșora.

6.1.1.3. Mărirea ventricolului stâng (VS)

- în incidența de față, VS formează arcul inferior stâng al opacității cardiace;
- VS mărit face ca arcul inferior stâng să bombeze în câmpul pulmonar stâng, crescând de asemenea în sens vertical, ceea ce face ca linia medio-claviculară să fie depășită (sau jumătatea internă a hemidiafragmului stâng);
- în inspir profund vârful inimii nu se poate separa de diafragm;
- în incidență OAS, VS mărit se poate evidenția în mod optim:
 - mărirea se face ca arcul posterior al opacității cardiace să bombeze posterior și să ocupe în totalitate spațiul retro-cardiac (mărire de gradul I);
 - dacă depășește coloana avem mărire de gradul II;
 - mărirea de gradul III a VS semnifică un VS mult mărit, acoperind și mai mult coloana, concomitent cu bombarea opacității cardiace anterior.

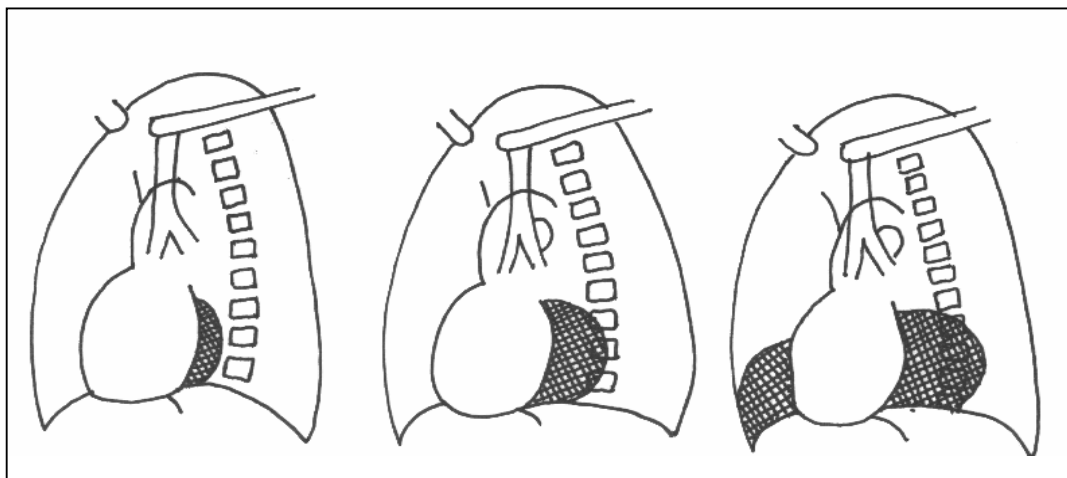


Fig. 6.2. Mărirea ventricolului stâng :

gradul I – spațiu retrocardiac ocupat ; gradul II – depășirea coloanei vertebrale ; gradul III – acoperirea coloanei concomitent cu bombarea opacității cardiace anterior în spațiul Grawitz.

- în incidența OAD, VS mult mărit va deplasa esofagul posterior, amprenta produsă asupra esofagului fiind mai largă decât amprenta produsă de AS singur;
- incidența de profil stâng permite aprecierea modificărilor mici ale VS, folosind ca reper vena cavă inferioară:
 - normal distanța dintre vena cavă inferioară și VS este de 1,8 cm la 2 cm deasupra punctului de intersecție a acestor două elemente;
 - acest punct este la 10 mm deasupra diafragmului în mod normal;
 - valorile sub 0,75 mm arată o mărire a VS (metoda Hoffmann-Riegler).

6.1.1.4. Mărirea ventricolului drept (VD)

- în incidența de față, ventricolul drept nu participă la formarea conturului cardiac;
- VD mărit modifică cel mai des arcu mijlociu stâng prin hipertrofia și dilatarea căii de ieșire a VD, care produce ridicarea vârfului cordului;

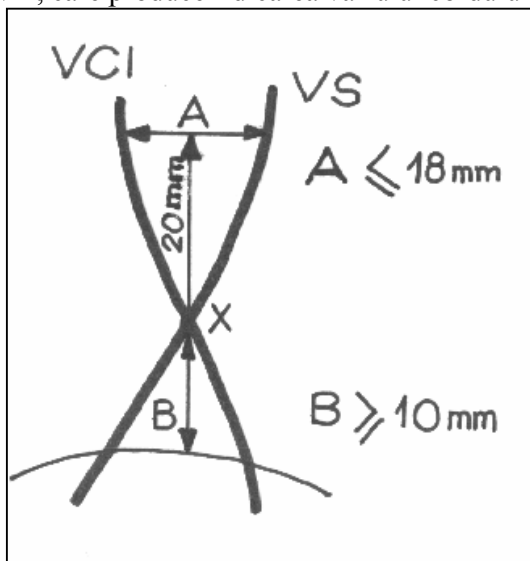


Fig. 6.3. Metoda Hoffmann–Riegler
pentru aprecierea în incidența de
profil ale modificărilor mici privind
ventricolul stâng.

- VD mărit împinge VS și face ca acesta să bombeze în câmpul pulmonar stâng, împingând concomitent și AD, ceea ce face ca diametrul transvers al cordului să apară mult mărit;

- în OAD, VD și conul pulmonarei bombează anterior în porțiunea mijlocie a opacității cardiace;
- în OAS se poate observa mărirea VD care formează arcul antero-inferior al opacității cardiace, reducând **spațiul retrosternal GRAWITZ**;

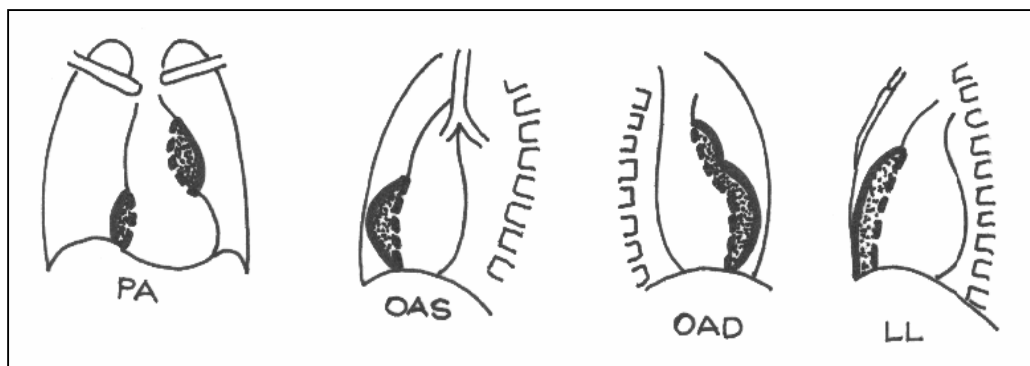


Fig. 6.4. Mărirea VD:

OAS – reducerea spațiului retrosternal; OAD – conul pulmonarei și VD bombează anterior; LL - ocuparea spațiului retrosternal până la dispariția lui.

- în incidența de profil se constată bombarea în spațiul retrosternal (gradul I-II), până la dispariția lui (gradul III);
 - aorta, în incidența PA, apare ca o proeminență bine delimitată care formează arcul superior stâng al opacității cardiace;
 - distanța între aortă și marginea inferioară a claviculei trebuie să fie mai mare de 1 cm;
 - aorta alungită produce o micșorare a acestui spațiu;
 - pentru măsurarea aortei se folosește metoda Kreuzfuchs:
 - opacifierea esofagului cu pastă baritată;
 - măsurarea în linie orizontală a distanței între marginea externă a butonului aortic și impresiunea aortică pe esofag;
 - valori normale 2-3 cm, în legătură cu vârsta.
- trunchiul arterei pulmonare și artera pulmonară se examinează în incidența de față și OAD;
- în incidența de față trunchiul arterei pulmonare formează arcul mijlociu al conturului cardiac, în cele două treimi superioare;
- în funcție de mărirea care se produce, arcul mijlociu poate deveni:
 - rectiliniu (mărire de gradul I);
 - bombat (mărire de gradul II);
 - mult bombat (mărire de gradul III).
- în OAD (care este și poziția de elecție), trunchiul arterei pulmonare ocupă partea infero-externă a pedicolului vascular, fiind situat între aortă și ventricolul drept;
- artera pulmonară - prin **metoda CHANG**:
 - diametrul transvers maxim al arterei pulmonare drepte descendente, deasupra bifurcației;
 - valori normale: 16 mm la bărbați; 15 mm la femei.

6.1.2. Modificările patologice ale circulației pulmonare

- necesară diferențierea vaselor arteriale de cele venoase;
- examenul radiologic al vaselor arteriale pulmonare:

- origine din opacitatea mediastinală, la nivelul arcurilor costale posterioare VII și VIII;
- calibrul lor scade spre periferie, unde în treimea externă nu se mai vede (mantaua lui FELIX);
- calibru mai mic;
- contur net, bine delimitat;
- ramificare dichotomică, în unghi ascuțit;
- acompaniază ramificațiile bronșice până la periferie unde sunt dispuse în centrul lobului;
- direcția traiectului este mai ales verticală;
- în incidența de profil arterele pulmonare se află pe un plan mai posterior față de vene.
- aprecierea vaselor venoase indică:
 - pătrund în AS la nivelul arcurilor costale posterioare VII, IX și X;
 - diminuarea calibrului lor spre periferie nu este evidentă, în unele cazuri terminându-se brusc;
 - calibrul nu este mare;
 - conturul este mai puțin precis delimitat;
 - diametrul lor crește brusc când primesc ramificațiile colaterale;
 - venele (spre deosebire de artere) se află în afara lobului, în septe interlobulare, alăturându-se la nivel subsegmentar pachetului bronho-arterial;
 - direcția traiectului lor este mai ales orizontală; în lobii superiori se află dispuse extern față de artere;
 - pe imaginea de profil, convergența vaselor pulmonare se află pe un plan mai anterior decât arterele.
- analiza vascularizației pulmonare pe clișeele toracice permite studiul perfuziei pulmonare și recunoașterea modificărilor realizate sau difuze;
- factori patogenetici care determină (singuri sau în asocieri cu alții) modificări la nivelul circulației pulmonare:
 - scăderea debitului circulator pulmonar, realizând oligemie;
 - creșterea debitului circulator pulmonar, producând hiperemie;
 - creșterea rezistențelor vasculare în mica circulație, cu apariția hipertensiunii pulmonare, care, în funcție de versantul afectat poate fi:
 - **postcapilară (hipertensiune pulmonară venoasă);**
 - **precapilară (hipertensiune pulmonară arterială);**
 - **hipertensiune globală (mixtă).**

Oligemia pulmonară

- datorată scăderii debitului circulator prin plămâni;
- apare în:
 - stenoze sau hipoplazii de arteră pulmonară;
 - cardiopatii congenitale complexe cu șunt dreapta-stânga (tetralogia Fallot);
 - leziuni stenotice tricuspidiene;
 - pericardite exudative cu lichid în cantitate mare;
 - stări hipovolemice (rar);
- aspectul radiologic:
 - plămâni hipertransparenti;
 - hili mici, gracili (semnul lui Danielus);
 - desen pulmonar sărac, cu vase slab vizibile, diminuate în calibru, mantaua lui Felix lărgită;
 - nu se constată semne de hiperdistensie toracică sau air-trapping;

- în embolia pulmonară, în faza incipientă, aspectul oligemic apare în teritoriul tributar ramurii arteriale obliterate.

Hiperemia pulmonară

- apare în cazul creșterii debitului circulator pulmonar;
- localizată sau difuză (mai frecvent);
- apare în:
 - cardiopatiile congenitale cu șunt stânga-dreapta (defectul septului interatrial, defectul septului interventricular, persistența canalului arterial);
 - insuficiența pulmonară;
 - fistula arterio-venoasă;
 - reîntoarcerea venoasă pulmonară anormală;
 - stări febrile;
 - hipertiroidie;
 - hipervolemii;
- radiologic:
 - vase pulmonare dilatate;
 - hilii, de tip arterial, sunt accentuați, bogați, hiperpulsatili;
 - vasele periferice sunt de calibru mai mare, bine vizibile până la periferie, cu egalizarea vascularizației între jumătățile superioare și inferioare ale plămânilor;
 - mantaua lui Felix este dispărută;
 - fondul de transparență pulmonară este diminuat;
 - cu timpul, în funcție de debitul șuntului, se produc modificări anatomo-patologice la nivelul arterelor pulmonare care cresc rezistența la fluxul sanguin și vor induce hipertensiunea pulmonară arterială secundară, cu posibilitatea de inversare a șuntului (sindrom Eisenmenger).

6.1.2.1. Hipertensiunea pulmonară venoasă

- tip “pasiv”, se propagă retrograd de orificiul mitral;

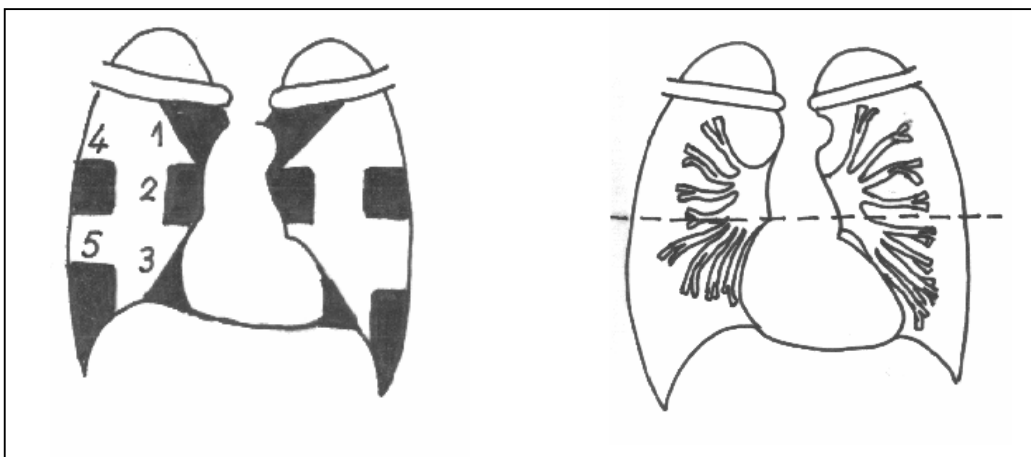


Fig 6.5. Zonele de studiu ale apariției hipertensiunii pulmonare venoase :

1- intercleido hilar ; 2 – hilar ; 3 – infrahilar ; 4– zona externă a treimii medii ; 5 – zona bazală externă.

Fig 6.6. Hipertensiune pulmonară venoasă

– aspect de egalizare a vascularizației pulmonare.

- apare în:
 - leziunile orificiului mitral, în special în cazul stenozei mitrale;
 - insuficiența ventriculară stângă;
 - pericardita constrictivă;
 - drenajul venos anormal al venei cave superioare;
 - anomalii de drenaj ale venelor pulmonare, stenoze ale arterelor pulmonare.
- pentru studiul ei se iau în considerare zonele:
 - intercleidohilară (1);
 - hilară (2);
 - infrahilară (3);
 - zona externă a treimii medii (4);
 - zona bazală externă (5);
 - bilateral;
 - comparativ (fig. 4.26).
- arcul mijlociu stâng se modifică precoce în hipertensiunea pulmonară venoasă, mărimea lui fiind direct proporțională cu gradul de hipertensiune;
- hiluri pulmonare de tip venos, cu contur “flov”, accentuate în dimensiune și tonalitate;
- hipertensiune postcapilară, de tip “pasiv”, care se propagă retrograd de orificiul mitral;
- hipertensiunea se întâlnește în:
 - leziunile orificiului mitral (în primul rând stenoza);
 - insuficiența ventriculară stângă;
 - pericardita constrictivă;
 - tumori sau trombi în atrul stâng;
 - drenaj venos anormal al venei cave superioare;
 - tromboze;
 - anomalii de drenaj sau stenoze la nivelul venelor pulmonare.
- presiuni de peste 10-15 mm Hg în capilarul pulmonar denotă hipertensiune pulmonară venoasă.

Hipertensiunea pulmonară venoasă de grad ușor (12-18 mm Hg):

- vizibilă vascularizația pulmonară de tip venos;
- hil mai accentuat, prin dilatarea rădăcinilor venelor pulmonare – **hilul de tip venos a lui LAVENDER și DOPPMAN**;
- desenul pulmonar venos devine vizibil până la periferia câmpului pulmonar, mantaua lui Felix fiind dispărută;
- vasele din jumătatea superioară a câmpurilor pulmonare își măresc calibrul ajungând aproximativ de calibru egal cu acela al vaselor infrahilare (aspect de egalizare a vascularizației).

Hipertensiunea pulmonară venoasă de grad mediu (18-25 mm Hg)

- jumătatea superioară a câmpurilor pulmonare apare mai bine vascularizată comparativ cu jumătatea inferioară;
- venele pulmonare din regiunile infrahilare apar mai îngustate, cele din regiunile intercleidohilare apar mai dilatate (linia Sylla), producând aspect de inversare a vascularizației;
- aspectul de egalizare și de inversare a vascularizației pulmonare se poate aprecia obiectiv din următorii indici:
 - raportul dintre numărul venelor pulmonare superioare și inferioare;
 - raportul dintre suma diametrelor venelor principale superioare și cea a venelor principale inferioare, apreciați pe tomografii în ortostatism;
- în mod normal sunt subunitari;

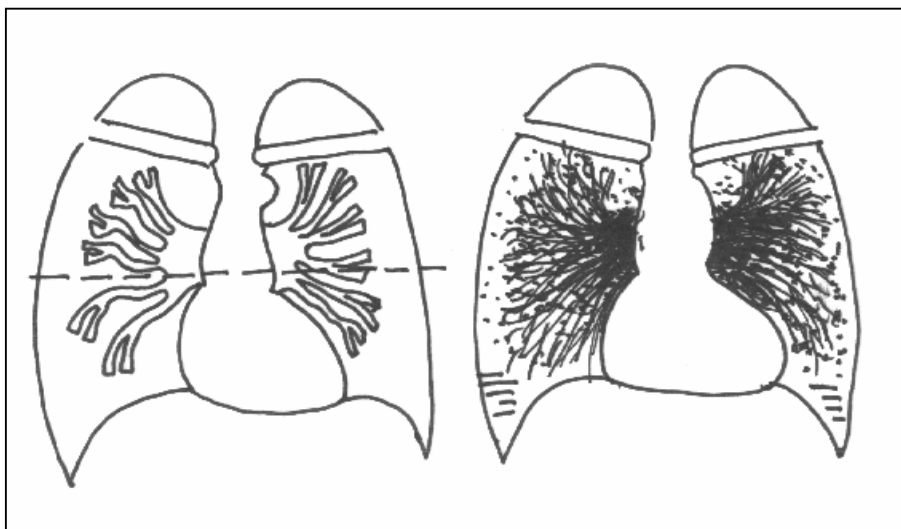


Fig. 6.7. Hipertensiune pulmonară venoasă cu aspect de inversare a vascularizației.

Fig. 6.8. Hipertensiune pulmonară venoasă cu valori mari, producând edem pulmonar interstițial și apariția benzilor Kerley de tip A, la nivel parahilar, de tip B bazal, de tip C infrahilar și D în zonele pulmonare anterioare

• apar semnele radiologice ale edemului pulmonar interstițial, provocat prin transsudarea mai intensă a plasmei în țesutul interstițial, care va depăși progresiv capacitatea de resorbție prin limfaticile pulmonare:

- hil apare mai mare;
- opacitate crescută;
- contur flu;
- unele vase hilare și perihilare dilatate, prinse ortograd, apar ca opacități rotunde, flou conturate - “**pastile vasculare**”;
- datorită edemului perivascular venele apar cu contur flou;
- bronșiile prinse ortograd, datorită edemului peribronșic, apar sub aspectul unor transparențe inelare cu un halou periferic apariția benzilor Kerley;
- **benzile Kerley de tip B** sunt cele mai specifice congestiei pulmonare venoase:
 - apariția unor opacități rectilinii;
 - lungime de 1-2 cm și 2-3 mm grosime;
 - situate suprapus în vecinătatea regiunilor subpleurale, deasupra sinusurilor costdiafragmatice, mai frecvent în dreapta.
- există și alte tipuri de benzi Kerley cum sunt cele de tip A, C și D;
- **benzile Kerley de tip A:**
 - opacități rectilinii, de 2-4 cm lungime și grosime de câțiva mm;
 - perpendiculare pe suprafața pleurală, în regiunile parahilare;
 - mai frecvente în insuficiența ventriculară stângă.
- **benzile Kerley de tip C:**
 - opacități, curbilinii în zonele infrahilare;
 - expresia unui puternic edem interstițial.
- **liniile Kerley de tip D:**
 - cu predilecție pe radiografia de profil;
 - sediu în zonele pulmonare anterioare;
 - dimensiuni ceva mai mari decât precedentele.

- datorită edemului subpleural apare transsudatul în marea cavitate pleurală, cu opacifierea sinusurilor costodiafragmatice;
- la nivelul scizurilor - opacități lineare, până la aspecte de colecție închistată.

Hipertensiunea pulmonară gravă

- presiuni de peste 25-30 mm coloană de mercur;
- datorită depășirii valorilor presiunii oncotice se ajunge la constituirea treptată a edemului pulmonar alveolar;
- sindrom de umplere alveolară:
 - pe fondul de hipotransparență difuză a câmpurilor pulmonare;
 - vizualizarea slabă a desenului vascular;
 - prezența elementelor de edem interstițial.
- opacitate localizată în regiunile hilare și parahilare bilateral;
- delimitare difuză;
- **aspect în “aripi de fluture”**, cu bronhograma aeriană prezentă;
- drenaj limfatic mai facil în “corticala pulmonară” hiperventilată, comparativ cu drenajul dificil din “medulara pulmonară”;
- edemul pulmonar este simetric dar în unele situații poate fi și asimetric, fiind în funcție de poziția bolnavului.

6.1.2.2. Hipertensiunea pulmonară arterială

- cauzată de afectarea versantului precapilar, cu creșterea rezistențelor vasculare la nivel arteriolar (apare un gradient de presiune crescut între sectorul arterial și cel capilar al circulației pulmonare);
- creșterea rezistențelor vasculare-pulmonare periferice este cauzată fie de alterări primitive cardiovasculare, fie de alterări primitive pleuro-pulmonare;
- **alterări primitive cardiovasculare:**
 - valvulopatiile mitrale;
 - procesele arteritice;
 - procesele arteriosclerotice;
 - hipertensiunea pulmonară arterială primitivă;
 - cardiopatii congenitale cu șunt stânga-dreapta, cu debit mare și evoluție îndelungată etc.
- **alterări primitive pleuropulmonare:**
 - bronhopneumopatia cronic-obstructivă;
 - fibrotoracele;
 - boli pulmonare difuze (granulomatoze, fibroze);
 - deformări toracice;
 - alte cauze de hipoventilație pulmonară.
- hipertensiune pulmonară arterială = valori peste 25 mm coloană de mercur a presiunii sistolice, sau de peste 15 mm coloană de mercur a presiunii medii;
- până la 50 mm coloană de mercur a presiunii medii - hipertensiune arterială pulmonară de grad moderat;
- peste 50 mm coloană de mercur - grad major de afectare;
- **examenul radiologic:**
 - hil accentuat, bogat, de tip arterial;
 - vase arteriale hilare dilatate, net conturate, bine vizibile;
 - trecere bruscă la un desen vascular periferic sărac realizând aspect de “hil amputat” (semnul lui Goodwin);
 - datorită calibrului îngustat vasele sunt slab vizibile, deoarece există o vasoconstricție arteriolară;
 - mantaua lui Felix lărgită;

- aspect de plămân hipertransparent cu hil accentuat = **semnul lui Westermarck**;
- bombare al arcului mijlociu al cordului (hipertrofia și dilatarea camerei de ieșire a ventriculului drept), proporțională cu gradul presiunii din circulația pulmonară;
- indicele lui Chang:
 - măsurarea diametrului arterei pulmonare drepte;
 - normal 15-16 mm;
 - distanța interpulmonară și raportarea acesteia la diametrul transvers al cutiei toracice are drept valori normale 101 mm, respectiv sub 38%.
- indicele arterio-bronșic - normal raport unitar.
- semnele radiologice de hipertensiune pulmonară arterială apar de sine stătătoare în hipertensiunea arterială primitivă;
- dacă hipertensiunea este secundară, se suprapun peste semnele radiologice ale afecțiunii de bază.

6.1.2.3. Hipertensiunea pulmonară globală

- suprapunerea semnelor de hipertensiune pulmonară arterială cu cele din hipertensiunea pulmonară venoasă (hipertensiune mixtă).

6.1.2.4. Stenoza mitrală

- 50% din bolile valvulare (75% împreună cu formele asociate);
- determinată rar de altă cauză în afara reumatismului acut;
- infecția reumatică determină inițial o insuficiență orificială, instalarea stenozei făcându-se treptat în 2-4 ani de evoluție a procesului infecțios;
- stenoza mitrală, ca și insuficiența mitrală, pure, sunt rarități, regula fiind asocierea, în tabloul general predominând una din ele;
- incidență mai mare la sexul feminin (70% din cazuri);
- suprafața orificiului mitral normal: 4-6 cm²;
- valvulita marginală determină simfizarea valvulelor, care ulterior prin scleroză și retracție se transformă într-o pânză rigidă;
- diametrul orificiului se reduce și poate scăde până la 0,5 cm²;
- tulburările hemodinamice importante apar la o suprafață mai mică de 1,5 cm²;
- consecința imediată - creșterea sângelui restant în atriul stâng și dilatarea atriului;
- dilatarea poate atinge volume mari, de 2-3 litri, mai ales când și miocardul a fost afectat de procesul infecțios reumatic, dând așa numita “dilatație anevrismală” a atriului;
- din cauza stenozei orificiului mitral, în timpul diastolei apare un obstacol la trecerea sângelui din atriul în ventricolul stâng;
- semn radiologic precoce și de mare importanță este **mărirea atriului stâng**:
 - vizibilă în PA, pe conturul drept și/sau stâng;
 - în OAD prin opacifierea esofagului cu bariu;
 - în OAS și în TS;
 - foarte rar pot exista stenoze mitrale cu atriul stâng normal radiologic (la începutul instalării stenozei o perioadă scurtă de timp 3-6-9 luni, după care atriul stâng apare mărit radiologic);
 - mărimea atriului stâng depinde nu numai de gradul stenozei ci și de procesul reumatic grefat pe peretele atrial;
 - în stenoza mitrală pură atriul stâng este mărit de obicei de gradul I și II;
 - toate cazurile cu fibrilație atrială au atriul stâng mărit radiologic.
- presiunea crescută în atriul stâng se repercutează asupra circulației pulmonare, în special pe sistemul venos, secundar și pe arterele pulmonare ⇒ stază venoasă de diferite grade;
- în anumite limite, există o corelație între suprafața orificiului mitral și gradul stazei venoase;

- există corelații între presiunea înregistrată în atriul stâng și suprafața orificiului mitral:
 - orificiu peste $1,5 \text{ cm}^2$ presiunea în atriul stâng crește la 15 mm Hg ;
 - 1 cm^2 - 20 mm Hg ;
 - sub $0,8 \text{ cm}^2$ - peste 25 mm Hg.
- pe măsura evoluției bolii apare secundar hipertensiunea arterială, hipertensiunea devenind globală;

Consecințele asupra circulației venoase :

- sângele din atriul stâng nu poate trece în totalitate în ventriculul stâng, la sfârșitul fiecărei sistole atriale rămânând o cantitate de sânge rezidual în atriul stâng;
- creșterea presiunii în atriul stâng determină creșterea presiunii în venele pulmonare, realizând staza pulmonară;
- după gradul stenozei, staza poate fi centrală, ulterior devenind și periferică, în final determinând transudate interstițiale și alveolare (“îmbibație seroasă”).

Consecințe asupra circulației arteriale:

- rezistența în arborele arterial crește reflex la o minimă reducere a orificiului mitral ;
- creșterea rezistenței arteriole, sau așa numitul “al doilea baraj” (care evită astfel edemul pulmonar), determină creșterea presiunii în artera pulmonară, deci o dilatare a arterei pulmonare și ramificațiilor sale;
- repercusiunea firească se exercită asupra ventriculului drept care încărcat în regim de efort permanent, se mărește ;
- umplerea ventriculului stâng fiind deficitară, ventriculul stâng devine hipoplazic.

Modificări radiologice:

A). Modificările cavităților cardiace

“configurația mitral-stenotică”:

- rectitudinea sau bombarea arcului mijlociu:
 - datorată bombării urechii stângi la acest nivel.
- micșorarea sau dispariția butonului aortic;
 - datorată bombării urechii stângi în arcul mijlociu.
- scurtarea arcului inferior;
 - prin reducerea ventriculului stâng;
 - uneori este mai bine evidențiat în OAS.
- mărirea atriului stâng - cea mai importantă modificare radiologică:
 - dublu contur al marginii inferioare drepte;
 - apariția unui arc suplimentar dextroconvex care umple unghiul cardiovascular sau determină un aspect biarcuat al marginii drepte;
 - poate forma singur întreg arcul inferior drept până aproape de diafragm, pe care însă nu îl atinge - aceasta îl diferențiază de la început de un atriu drept mare;
 - pulsațiile sale sunt crescute; pe măsură ce dimensiunile sale sporesc, pulsațiile diminuează;
 - extrem de rar pulsațiile sale pot determina atrofii prin presiune la nivelul fețelor anterioare ale corpurilor vertebrale toracici de vecinătate;
 - deplasează posterior și spre dreapta esofagul; doar când este foarte mare, atriul stâng deplasează esofagul spre stânga;

- în formele de stenoză mitrală la limită, examinarea esofagului cu bariu este hotărâtoare, cu condiția ca esofagul să fie bine umplut cu pastă de bariu, în OAD; cu atenție se poate remarca amprenta discretă a atriului stâng;
 - deplasează în sus bronșia primitivă stângă, aspect care se evidențiază mai bine în OAS;
 - mărirea unghiului bifurcației traheei, apreciat în incidența PA, este consecința ascensionării bronșiei stângi; ca atare unghiul devine mai mare de 70°;
 - cu elemente electrice mai ridicate la masa de comandă putem evidenția frecvent opacitatea proprie a atriului stâng, sumată de cea a atriului drept;
 - în manevra Valsava se evidențiază mai bine lărgirea atriului stâng;
 - sunt cazuri în care evidențierea unui atriu stâng cu dimensiuni moderat crescute nu se poate face decât în OAD cu bolnavul examinat în decubit;
 - o apreciere fidelă asupra dimensiunilor atriului stâng nu putem efectua dacă examinăm bolnavul într-o singură incidență.
- calcificările valvulare - evidențiate numai în 10% din cazuri;
 - mărirea ventriculului drept care:
 - survine tardiv;
 - se evidențiază mai bine în OAD.
 - diametrul transvers se mărește când survin dilatații ventriculare (a unuia sau ambilor ventriculi);
 - extrem de rar și după o evoluție îndelungată pot apare calcificări ale pereților atriului stâng.

B) Modificările circulației pulmonare

⇒ hipertensiune pulmonară în cele trei sectoare: venos, capilar și arterial;

- **hipertensiune pulmonară venoasă:**
 - vene pulmonare normale sau îngustate în câmpurile pulmonare inferioare;
 - creșterea rețelei venoase în câmpurile pulmonare superioare (inițial în spațiul intercleidohilar, liniile Sylla);
 - dilatarea venelor în hil;
 - contur șters al regiunilor hilare;
 - modificarea unghiului cardio-frenic drept;
- **hipertensiunea pulmonară capilară:**
 - ștergerea netității contururilor desenului pulmonar prin estompare perivasculară;
 - aspect reticular în lobii pulmonari inferiori (linii Kerley C);
 - diminuarea transparenței bazelor pulmonare;
 - prezența liniilor Kerley A și B ce traduc imibiția interstițială a septurilor perilobulare;
 - îngroșarea scizurilor interlobulare;
 - obliterarea sinusului costofrenic drept;
- **hipertensiunea pulmonară arterială:**
 - bombarea arterelor pulmonare sau rectitudinea lor ; când bombarea este deosebit de mare, cu aspect fusiform, anevrismal, se presupune coafectarea reumatismală a pereților arterei pulmonare;
 - arterele pulmonare sunt largi juxtahilar ; rotind pacientul în OAD se accentuează proeminența arcului mijlociu ; dacă bombarea este mai mare în OAS, ea aparține atriului stâng mărit.
 - dilatarea arterelor pulmonare în lobii superiori;
 - îngustarea arterelor pulmonare în lobul mediu, în lobii inferiori și lingula;
 - sinuozitatea arterelor pulmonare mici;

- diminuarea vascularizației periferice a câmpurilor pulmonare;
- aspectul de așa zisă “amputare” a hilurilor.
- dezechilibrele hemodinamice care apar periodic la mitrali, determină:
 - variabilitatea aspectului pulmonar;
 - estomparea desenului pulmonar;
 - accentuarea stazei bazale.
- transsudatele alveolare, determină:
 - opacități nodulare confluențe;
 - aspect bronhopneumonic;
 - dispuse bazal, perihilar, și juxtascizural;
- revărsatele sanguine repetate în alveole produc:
 - fibroză reactivă sub formă de focare miliare (hemosideroză);
 - deși tipică, nu apare decât la 3-5 % din mitrali;
 - aspect asemănător opacităților miliare din tuberculoză și histoplasmoză;
 - situate mai mult la baze;
 - nu confluează;
 - calcificările intrapulmonare de dimensiuni inegale situate bazal diferențiază histoplasmoza de hemosideroza mitralilor.
- angiocardiografia - evaluare mai exactă a gradului stenozei mitrale;
- necesare radiografii în cel puțin două incidențe;
- se poate observa:
 - distensia ventriculului drept;
 - bombarea în diastolă a septului interventricular spre stânga;
 - creșterea diametrului arterei pulmonare;
 - modificarea minimă între sistolă și diastolă a atriului stâng;
 - ventriculul stâng apare mic;
 - 1/3 din cazurile de boli mitrale coexistă leziuni aortice bine evidențiate angiocardiografic.
- situații în care există stenoză mitrală fără ca radiologic să se evidențieze o configurație mitrală a cordului:
 - când poziția joasă a diafragmului împiedică rotarea cordului spre stânga, ceea ce face ca atriul stâng să nu ajungă să se proiecteze marginal pe conturul drept, iar artera pulmonară nu proemină;
 - când diafragmul are o poziție prea înaltă se accentuează arcul mijlociu, mascând modificările tipice stenozei mitrale;
 - cordurile mici, hipoplastice nu permit evidențierea unui atriu stâng mare, datorită umplerii sale reduce;
 - asocierea cu alte leziuni, cel mai derutantă fiind hipertensiunea arterială care poate surveni la mitralii vârstnici.
- cazuri în care putem evidenția o configurație mitrală fără să existe vreo leziune valvulară:
 - adolescenți cu torace înalt, plat și spate drept la care rotirea cordului spre stânga determină o bombare a arcului mijlociu;
 - chiar auscultatoric se percep sufluri din cauza unor condiții particulare de transmitere a sunetelor, ceea ce mărește confuzia;
 - examenul cu bariu al esofagului nu evidențiază amprenta atriului stâng mărit.

Complicații:

- **edemul pulmonar acut:**
 - dezechilibru între cantitatea de sânge trimisă de ventriculul drept la pulmon și posibilitatea de ajungere a sângelui în ventriculul stâng;
 - descompunere a miciei circulații.

- **tromboza arterială și venoasă pulmonară :**
 - infarcte de dimensiuni reduse;
 - nu au expresie radiologică pe radiografia standard, ci doar traducere angiografică și scintigrafică;
 - în urma infarctelor se pot dezvolta anevrisme arterio-venoase.
- **insuficiența ventriculară dreaptă:**
 - ventriculul drept se mărește progresiv spre stânga, încât cea mai mare parte din arcu inferior stâng aparține acestuia;
 - unghiul cardiofrenic drept devine obtuz;
 - baza cordului pe diafragm se mărește;
 - pulsațiile marginale sunt reduse;
 - cordul își modifică mult forma cu respirația și la trecerea în decubit, aceasta denotând o consistență flască miocardului;
 - la mărirea cordului participă de obicei și un revărsat pericardic, greu de demonstrat radiologic;
 - decompensarea cordului drept determină reducerea stazei din mica circulație, fără ca aspectul plămânilor să revină la normal; concomitent hemidiafragmul drept ascensionează, iar vena cavă superioară se dilată.

Examenul radiologic pulmonar

- rol esențial și în diagnosticul funcțional al bolii;
- permite evidențierea decompensării înaintea apariției semnelor clinice, precum și retrocedarea ei;
- aprecierea circulației pulmonare: edem interstițial cronic (aspect reticular) și edem alveolar acut;
- în stenoza mitrală cu evoluție lungă se mai poate constata la nivelul plămânului hemosideroza pulmonară:
 - aspect miliar;
 - opacități intense, bine delimitate;
 - diseminate în ambele câmpuri pulmonare cu aglomerare hilară și perihilară;
 - diagnosticul diferențial al aspectului miliar:
 - tuberculoza miliară - micronodulii sunt diseminați egal în ambele câmpuri pulmonare și sunt asociați cu leziuni bacilare;
 - silicoza - nodulii sunt diseminați în câmpurile pulmonare cu aglomerare în porțiunile mijlocii;
 - cancerul miliar - nodulii sunt diseminați în ambele câmpuri pulmonare cu aglomerare mai mare bazală etc.
- interstițiul pulmonar în condiții de stază prelungită devine sediul unor calcificări heterotopice:
 - opacități de intensitate mare, asemănătoare, cu structură osoasă;
 - diferite dimensiuni;
 - inegal diseminate, mai frecvente în jumătățile inferioare;
- creșterea presiunii în circulația pulmonară ⇒ artera pulmonară apare mărită ⇒ bombarea arcuului mijlociu stâng;
- cu timpul, ventriculul drept se mărește;
- mărirea ventriculului drept se apreciază în pozițiile cunoscute (PA, OAD, profil stâng);
- ventriculul drept hipertrofiat ⇒ rotația orară a cordului, contribuind la determinarea configurației cardiace;
- amplitudinea pulsațiilor ventriculare crește;
- ventriculul stâng, lucrând cu o cantitate mai mică de sânge se atrofiază (atrofie brună a miocardului);
- radiologic, apare micșorat;

- arcul inferior stâng, în PA, este mai mic în lungime și bombează mai puțin în câmpul pulmonar;
- în OAS, arcul posterior are convexitate pronunțată în partea superioară (atriul stâng mărit), iar partea inferioară este aproape rectilinie \Rightarrow spațiul retrocardic mărit în partea sa inferioară;
- ventricolul stâng discret mărit în stenoza mitrală pură:
 - coexistența unei insuficiențe mitrale minime care nu poate fi diagnosticată clinic;
 - ventricolul stâng este împins de către ventricolul drept mărit și nu se pot aprecia exact dimensiunile fiecărui ventricul.
- calcifierile valvei mitrale:
 - rare la bolnavii sub 30 ani;
 - calcifierile accentuate au importanță clinică;
 - se evidențiază la radiosopia televizată în PA și OAS;
 - se recunosc după localizare, formă și mai ales după mișcările sincrone cu pulsațiile cardiace.
- calcifierile atriului stâng - frecvente în stenoza mitrală cu fibrilație atrială.

DE RETINUT : Aspectul radiologic al stenozei mitrale:

- **incidență de față sau PA:**
 - modificări ale circulației pulmonare;
 - micșorarea butonului aortic, produsă de rotația cordului de la dreapta spre stânga, bombarea conului și trunchiului arterei pulmonare și reducerii cantității de sânge din aortă;
 - umplerea sau bombarea golului cardiac, produsă de dilatarea trunchiului arterei pulmonare și măririi ventricolului drept;
 - aplatizarea și scurtarea arcului inferior stâng, ca urmare a atrofiei ventricolului stâng - acesta poate fi nemodificat;
 - atriul stâng mărit, vizibil pe marginea dreaptă unde poate să realizeze dublu contur excentric și concentric;
 - mărirea urechiușei stângi cu modificarea golului cardiac, vizibilă pe conturul stâng pe porțiunea inferioară a arcului mijlociu;
 - modificarea traiectului esofagului datorită amprentei de diferite grade de mărime produse de atriul stâng mărit;
 - deschiderea unghiului de bifurcație al traheei datorită atriului stâng mărit care produce orizontalizarea bronhiei stângi.
- **incidență OAD:**
 - poziția de elecție pentru aprecierea măririi atriului stâng;
 - aprecierea măririi trunchiului pulmonar;
- **incidență OAS:**
 - mărirea atriului stâng;
 - orizontalizarea bronșiei stângi prin atriul stâng mărit;
 - mărirea ventricolului drept;
 - modificările ventricolului stâng.
- **incidență de profil stâng:**
 - mărirea atriului stâng;
 - mărirea ventricolului drept;
 - aprecierea modificărilor ventricolului stâng.

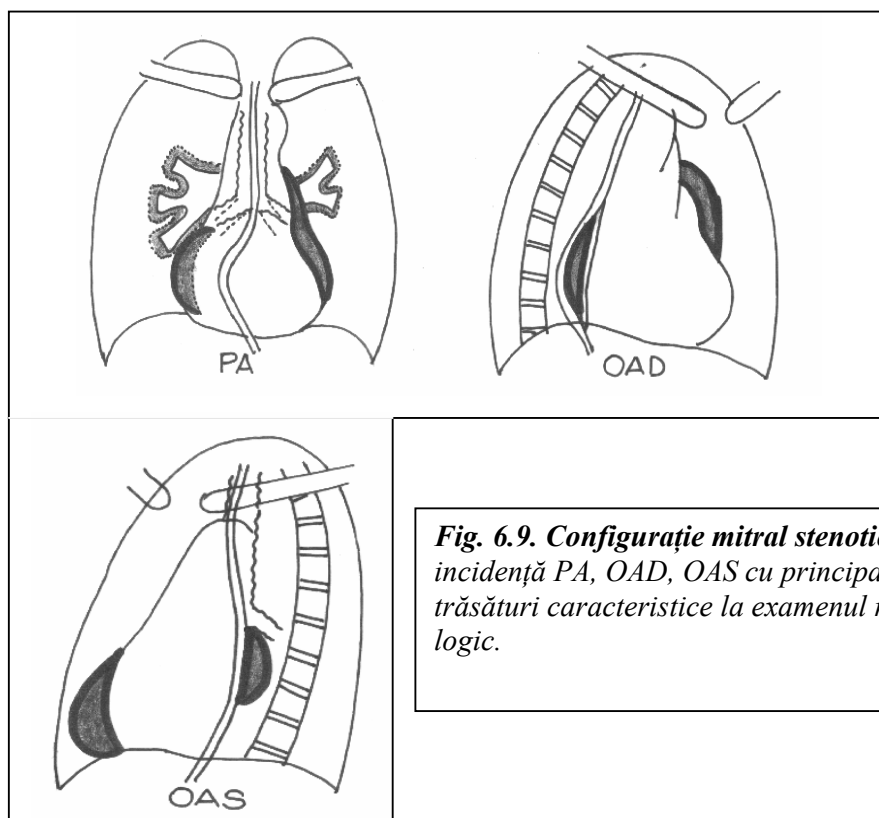


Fig. 6.9. Configurație mitral stenotică în incidență PA, OAD, OAS cu principalele trăsături caracteristice la examenul radiologic.

6.1.2.5. Insuficiența mitrală (reumatică)

- de obicei combinată cu stenoza, ceea ce face ca să fie prezente majoritatea modificărilor stenozei mitrale, la care se adaugă:
- mărirea ventriculului stâng:
 - se dezvoltă spre stânga;
 - își rotunjește contururile;
 - inițial se dezvoltă posterior și deci este vizibil în OAS, formând jumătate din suprafața anterioară a cordului;
 - diametrul transvers este mare; la acesta contribuie atât mărirea ventriculului stâng, cât și a ventriculului drept.
 - cu toată mărirea ventriculului stâng, nu se realizează o configurație aortică deoarece:
 - cordul se rotează spre dreapta și ca atare ventriculul drept este deplasat spre dreapta și în sus ; calea de ieșire a acestuia proemină în arcul mijlociu și ca atare golful nu va fi adâncit;
 - arcul mijlociu este șters prin atriul stâng mare și prin conul arterei pulmonare care devine marginal;
 - mărirea ventriculului stâng se realizează mai mult în sens vertical și anteroposterior.
- atriul stâng se mărește spre dreapta, în sus și posterior;
- deplasează esofagul spre dreapta și posterior;
- arterele pulmonare sunt largi până apare insuficiența cordului drept;
- atriul stâng este și pare mai mic decât în stenoza mitrală deoarece:
 - insuficiența valvulară evită umplerea excesivă;
 - prin dezvoltarea ventriculului stâng, cordul se rotează spre dreapta;
 - ⇒ atriul stâng nu apare așa de frecvent marginal drept.
- atriul stâng are pulsații ample care alternează cu cele ale atriului drept, expresie a distensiei

peretilor prin sângele expulzat în timpul sistolei ventriculare spre atrium stâng;

- regurgitarea mitrală se poate asocia defectelor valvulare aortice sau hipertensiunii arteriale;
- consecințele defectului valvular (dinamic):
 - venele pulmonare se dilată în regiunea perihilară;
 - ventriculul stâng se mărește prin creșterea umplerii diastolice;
 - staza și creșterea presiunii în mica circulație determină mărirea arterelor pulmonare;
 - conul pulmonarei proemină;
 - staza pulmonară este mai redusă decât în stenoza mitrală;
 - decompensarea o recunoaștem când ventriculul drept este apreciabil mărit (vizibil în OAS);
 - insuficiența cordului drept descarcă mica circulație reducând staza pulmonară;
 - insuficiența tricuspidiană relativă (sau pulmonară);
 - revărsatul pericardic, ca și în stenoza mitrală decompensată, contribuie la aspectul mărit al opacității cordului.
- diagnostic diferențial între stenoza și insuficiența mitrală trebuie făcut cu atenție!
- diferențierea lor sau gradul de participare al fiecăreia când cele două afecțiuni coexistă, este destul de dificil de stabilit;
- **examenul radiologic clasic:**
 - precizează modificările dimensionale ale fiecărei cavități;
 - prezența calcificărilor valvulare;
 - modificările marilor vase și ale circulației pulmonare;
- teleradiografia:
 - evidențiază mărirea atriumului stâng, aspect tipic stenozei mitrale;
 - aprecierea dimensiunilor ventriculului stâng (în incidență postero-anterioară și laterală);
 - mărirea peste 15 mm a ventriculului stâng, posterior de cava inferioară, în inspir profund, atestă existența în același timp a unui grad de insuficiență mitrală;
 - proeminarea posterioară a conturului cordului în incidența laterală poate fi dată numai de ventriculul stâng, ci și de cel drept, care deplasează posterior acest contur;
- calcificările valvulare se evidențiază, uneori, cu dificultate;
- observate mai des în leziunile combinate, decât în stenoza pură;
- în stenoza mitrală pură pulsațiile aortei au adesea intensitate mai redusă;
- hemosideroza pulmonară este mai frecventă în stenoza decât în insuficiență mitrală.

Este mai corect să vorbim de cord mitral cu predominanța stenozei sau insuficienței, decât de la început de o formă pură.

6.1.2.6. Stenoza aortică

- bolile valvulare aortice - 15-20% din leziunile valvulare dobândite, în 25% din cazuri fiind combinate cu leziuni mitrale;
- repartitia pe sexe 3/1 în favoarea sexului masculin;
- **cauzele principale** care duc la apariția lor:
 - **infecția reumatică ;**
 - **infecția luetică ;**
 - **arterioscleroza ;**
 - **endocardita acută și subacută bacteriană ;**
 - **traumatismele toracice ;**
 - **cauze de natură congenitală.**
- în urma procesului inflamator reumatic, valvulele fuzionează și se sclerozează provocând stenoza:

- supralvulară;
- valvulară;
- subvalvulară.
- cea mai frecventă stenoză este cea supralvulară;
- dacă valvulele se sclerozează și se retractă, se dezvoltă o insuficiență aortică;
- cele două leziuni se asociază în grad diferit;
- insuficiența este de 5 ori mai frecventă decât stenoza, modificările cordului fiind cu atât mai pronunțate, cu cât insuficiența domină mai mult;
- insuficiența valvulară determină la fiecare diastolă ventriculară reîntoarcerea unei cantități de sânge din aortă, care se adaugă cantității normale care vine din AS \Rightarrow dilatarea VS;
- trecerea de la dilatare la hipertrofie este dificil de apreciat;
- apariția insuficienței valvulare mitrale cu dilatarea AS, conduce la dilatare;
- hipertrofia VS în timp \Rightarrow lărgirea orificiului atrio-ventricular stâng (care devine insuficient) \Rightarrow condițiile unei insuficiențe mitrale \Rightarrow reflux în sistola ventriculară \Rightarrow suprasolicitatea VS \Rightarrow mitralizare a cordului aortic;
- insuficiență mitrală \Rightarrow hipertensiune arterială (cu toate consecințele ei);
- decompensarea VS \Rightarrow edem pulmonar, acumulare de lichid pleural, dilatarea cordului drept \Rightarrow instalarea insuficienței cardiace globale \Rightarrow deces înainte să se producă adaptarea cordului drept;
- stenoza aortică nu are aceleași consecințe ca insuficiența; munca ventriculului stâng este îngreunată de dificultatea expulziei sângelui în sistolă, printr-un orificiu îngustat spre aortă;
- \Rightarrow hipertrofie a miocardului;
- când miocardul nu mai poate face față prin efortul contractil cantității de sânge din ventricul \Rightarrow dilatarea (se dilată orificiul atrio-ventricular și atriul stâng);
- \Rightarrow repercurșiuni asupra circulației pulmonare \Rightarrow dilatația cordului drept;
- stenoza aortică este mult mai bine suportată decât insuficiența, bolnavii ajungând la vârste destul de înaintate.

Aspect radiologic: **\Rightarrow “configurație aortică”**

- dată de dilatația ventriculului stâng al cărui vârf se rotunjește;
- pulsații ample pe contururi;
- golul adâncit;
- butonul aortic proemină mult.
- **examenul radiologic** evidențiază:
 - creșterea diametrului transvers și convexității ventriculului stâng;
 - radioscopia contribuie puțin la diagnostic, doar calcificările valvulare dau certitudine diagnostică de stenoză:
 - calcificările sunt în procent dublu la bărbați;
 - rar se produc sub vârsta de 20 de ani;
 - incidență 85%.
 - mărirea atriului stâng, congestia vasculară pulmonară și dilatarea ventriculului drept sunt modificări care fac diagnosticul mai dificil;
 - mărirea atriului stâng - în 30% din stenozele aortice;
 - dilatarea aortei, poststenotic:
 - observată mai ales în porțiunea inferioară a conturului drept al cordului;
 - dilatarea aortei poststenotic - frecvență de 70% în tipul subvalvular, 70% la stenozele valvulare congenitale și 84% la cele dobândite;
 - dilatarea aortei în stenoză este, în general, mai redusă față de cea întâlnită în insuficiență, iar raportată la dimensiunile cordului, pare mică;

- cineangiocardiografia poate diferenția diferitele tipuri de stenoză aortică;
- cateterizarea aortei ascendente evidențiază stenoza valvulară, putându-se face totodată măsurători exacte ale dimensiunilor și ale gradientelor de presiune consecutiv alterărilor valvulare;
- angiocardiografia:
 - poate explica o stază în marea circulație, fără existența unei insuficiențe cardiace drepte = **sindromul BERNHEIM**;
 - relevă proeminarea ventriculului stâng în cel drept, reducându-i acestuia debitul.
- în leziunile combinate (stenoză cu insuficiență), amploarea configurației aortice este determinată de:
 - proeminența uneia sau alteia din leziuni;
 - gradul lor;
 - stadiul evolutiv;
 - momentul în care este investigată boala aortică.

Diagnostic diferențial :

- **cordul hipertensivilor:**
 - ne interesăm întotdeauna de valorile maxime și minime ale tensiunii;
 - calcificările valvulare sunt tranșate pentru diagnosticul de leziune reumatică.
- **coarctata de aortă:**
 - eroziunile costale;
 - diferența tensională între membrul superior și inferior;
 - circulația vasculară de anastomoză, de la nivelul toracelui.

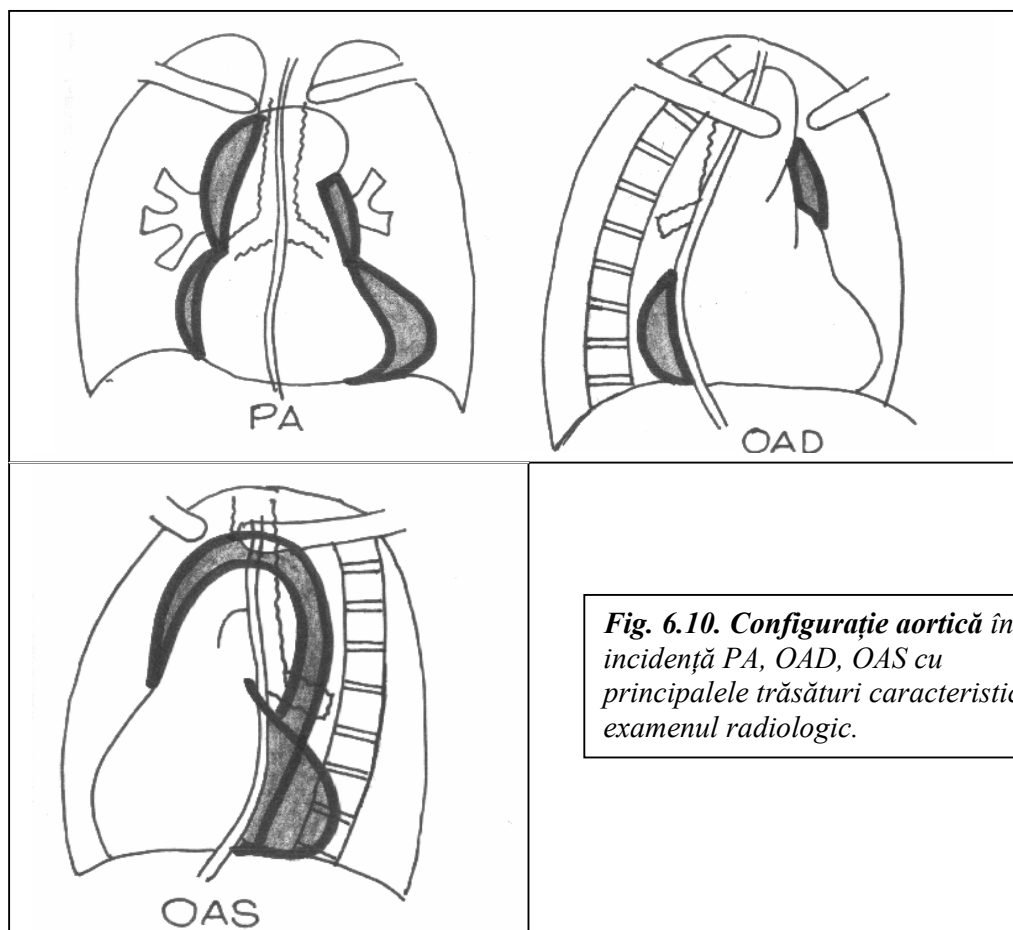


Fig. 6.10. Configurație aortică în incidență PA, OAD, OAS cu principalele trăsături caracteristice la examenul radiologic.

- dilatația cordului dată de boli coronariene:

- aproape imposibil de diferențiat de leziunile aortice, afară de cazurile în care evidențiem calcificări miocardice sau anevrisme miocardice post-infarct.
- **anemii severe și pericardite** (ușor de diferențiat).

6.1.2.7. Insuficiența aortică

- vârful cordului este deplasat inferior și extern putând ajunge în incidența PA până la peretele lateral toracic;
- aorta ascendentă proemină prin alungire și dilatare; este mai mare în insuficiențele aortice luetice asociate de obicei cu aortite luetice;
- butonul aortic proemină contribuind împreună cu ventriculul stâng mărit la adâncirea golului;
- radiosopic, cordul prezintă mișcări de balansare; acest aspect este determinat de alternarea contracțiilor puternice ale ventriculului stâng și golirea rapidă a aortei;
- mărirea atriului stâng, supraîncărcarea vasculară pulmonară și dilatarea ventriculului drept apar după ce valvula mitrală devine insuficientă;
- staza pulmonară este cu atât mai mare cu cât ventriculul stâng este mai insuficient și ventriculul drept mai eficient;
- decompensarea dreaptă reduce staza.

6.1.2.8. Bolile valvulare tricuspidiene

- ca leziuni unice sunt rarități și au caracter congenital (diagnosticul este necroptic);
- nu există forme dobândite și izolate de afectare tricuspidiană;
- sunt întotdeauna combinate cu boli valvulare mitrale sau aortice;
- când există, cel mai frecvent este vorba de insuficiență relativă survenită în decompensările cordului drept;
- deosebirea dintre insuficiența și stenoza tricuspidiană nu se poate face prin examenul radiologic clasic;
- nu există modificări radiologice caracteristice; “configurația tricuspidiană” nu este patognomonică:
 - rotunjirea arcului inferior drept;
 - mărirea diametrului transvers drept;
 - transparența exagerată a câmpurilor pulmonare prin reducerea curentului circulator pulmonar;
 - staza în marea circulație.
- 3/4 sunt insuficiențe.

Aspect radiologic:

- atriul drept și ventriculul drept mărite determină bombarea spre dreapta a cordului, aspectul globulos asemănându-se cu cel din pericardita exudativă;
- vena cavă superioară se destinde și radiosopic se pot decela pulsațiile sale;
- asemenea pulsații se remarcă și la trunchiul venos brahio-cefalic;
- hemidiafragmul drept este ridicat prin hepatomegalie și uneori opacitatea hepatică este pulsatilă;
- staza pulmonară de obicei nu există, iar când este prezentă este foarte redusă - diferențiază valvulopatiile tricuspidiene de afecțiunile congenitale în care există o mărire a cordului spre dreapta, dar cu hipervascularizație pulmonară;
- angiocardiografia furnizează date utile în diagnosticul diferențial;
- exclude pericardita exudativă, tumorile pericardice sau masele tumorale mediastinale situate în vecinătatea marginii atriului drept;
- cateterismul evidențiază un gradient considerabil de presiune între atriul și ventriculul drept în timpul sistolei ventriculare.

6.1.2.9. Bolile valvulare asociate (mitrală + aortică + tricuspidiană)

Reguli generale orientative:

- sistemul valvular care produce principala tulburare hemodinamică, determină configurația cordului;
- configurația mai depinde și de valvula care a fost mai întâi afectată și de vechimea bolii;
- asocierea valvulopatiilor nu înseamnă o sumare a modificărilor descrise la fiecare entitate în parte;
- în asocierea stenoze mitrală – insuficiență aortică, configurația este în ansamblu mitrală, doar butonul aortic este mai mare și pulsațiile ample ale aortei fac diagnosticul cert;
- **dacă ventricolul stâng este mai mare și atriul stâng nu, este posibil ca modificarea aortică să fi fost prima;**
- **dacă atriul stâng este mai mare și ventricolul stâng ușor mărit, este posibil ca leziunea mitrală să fie mai veche;**
- **dacă valvula mitrală este calcificată, atunci ea a fost sigur prima afectată;**
- **asocierea stenoze mitrală – stenoze aortică determină o configurație mitrală;**
- **asocierea stenoze mitrală – hipertensiune arterială determină o configurație mitrală;**
- **când la un cord cu leziune valvulară aortică se instalează o leziune mitrală, configurația este aortică;**
- **aspectul este similar cordului aortic mitralizat, dar acesta traduce, de regulă un cord decompensat, ușor de recunoscut;**
- cordul mitro-aortic realizează o imagine apropiată de cordul pulmonar cu hipertensiune arterială, dar lipsește atriul stâng mare;
- alterările trivalvulare (mitrală, aortică și tricuspidiană) determină un cord global mărit, sferic, cu pediculul vascular scurt, aspect greu de diferențiat la început de revărsatul pericardic;
- pentru diferențiere căutăm să evidențiem înăuntru marginii drepte a cordului atriul stâng, sub forma dublului contur;
- în aceste cazuri esofagul este deplasat spre dreapta și posterior;
- arterele pulmonare sunt destinse și foarte pulsatile;
- toate cavitățile cordului apar mărite;
- hemidiafragma drept are poziție înaltă;
- când există insuficiență cardiacă, diferențierea radiologică a celei de origine miocardică de cea valvulară este imposibilă.

6.1.2.10. Examenul radiologic în cordul operat

- valvulopatiile beneficiază de tratamentul chirurgical, practicându-se trei procedee chirurgicale :
 - lărgirea orificiului atrio-ventricular stâng (comisurotomie);
 - plastii;
 - înlocuiri.
- comisurotomia:
 - eficientă în unele stadii ale stenozei mitrale și tricuspidiene;
 - fără rezultate notabile în leziunile valvulare aortice.
- plastiile cu ajutorul homogrefelor și heterogrefelor:
 - predispuși la infecții, alterări, degradări, intoleranțe.
- protezele valvulare artificiale:
 - utilizate pentru toate orificiile valvulare stenozate sau insuficiente.

Examenul radiologic

- stabilește locul protezei;
- felul și tipul acesteia;
- modalitatea de funcționare;
- pune în evidență eventualele complicații care pot surveni: dezinsertii, tromboze, alterări și defecțiuni ale părților protezei etc.

6.2. Insuficiența cardiacă

- manifestare patologică în care performanța cardiacă alterată este în mod primar responsabilă de imposibilitatea inimii de a menține în limite fiziologice debitul cardiac, corespunzător cu necesitățile metabolice ale organismului;
- se distinge:

I. insuficiența cardiacă hemodinamică;**II. insuficiența cardiacă dismetabolică;****6.2.1. Insuficiența cardiacă hemodinamică**

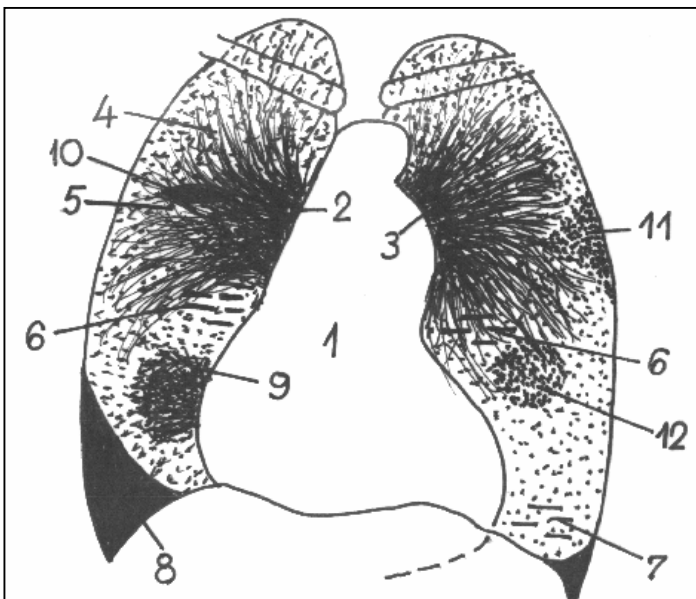
- sub raport funcțional poate fi :
 - compensată: debitul cardiac se menține la un nivel normal prin intrarea în funcțiune a mecanismelor compensatorii;
 - decompensată: debitul cardiac scade în pofida activității maxime a mecanismelor adaptative.
- tulburări primare cardiace și primare periferice stau la baza etiologiei insuficienței cardiace hemodinamice;
- alți factori etiologici importanți:
 - tulburările primare cardiace;
 - leziunile endocardice valvulare urmate de tulburarea consecutivă a dinamicii circulatorii;
 - apariția leziunilor miocardice și pericardice.
- tulburarea consecutivă a dinamicii circulatorii o întâlnim în:
 - stenoza mitrală;
 - insuficiența mitrală;
 - stenoza aortică;
 - insuficiența aortică.
- leziunile miocardice pot să fie de origine:
 - reumatismală - dau naștere la procese inflamatorii difuze;
 - infecțioasă - produc leziuni degenerative;
 - ischemică - produc fibroză miocardică;
 - mecanică.
- leziunile pericardice \Rightarrow împiedicarea umplerii ventriculare + scăderea posibilității de destindere cardiacă \Rightarrow insuficiență cardiacă.
- tulburările primare periferice - cauzate de:
 - leziuni metabolice tisulare;
 - scurtcircuitări arteriovenoase;
 - stări de hipovolemie;
- produc tulburări metabolice tisulare:
 - anemiile;
 - boala Beri-Beri;
 - toxicoza.
- scurtcircuitările arteriovenoase apar în:
 - anevrisme arteriovenoase:

- boala Paget.
- după disproporția dintre transportul de sânge arterial spre periferie și aportul venos distingem:
 - insuficiența cardiacă anterogradă;
 - insuficiența cardiacă retrogradă.
- mecanismele compensatoare cu caracter permanent își găsesc expresie în:
 - hipertrofia cardiacă;
 - dilatația cardiacă.
- hipertrofia cardiacă este un mecanism compensator pentru că:
 - apare în condiții care tind să modifice funcționalitatea inimii;
 - se localizează la cavitățile inimii care suferă din cauza acestor modificări;
 - după dezvoltarea sa funcția inimii revine la normal.
- hipertrofia cardiacă apare în toate condițiile în care inima trebuie să presteze timp îndelungat un lucru mecanic sporit;
- supraîncărcarea de presiune (sistolică) survine în:
 - stenoza aortică;
 - HTA;
 - hipertensiunea pulmonară;
 - coarctarea aortei.
- supraîncărcarea de volum survine în:
 - insuficiențe valvulare;
 - defecte septale.
- suprasolicitarea de presiune și volum survine în bolile cianogene (tetralogie Fallot, complex Eisenmenger);
- abordarea hipertrofiei cardiace:
 - anatomic: creștere în greutate a cordului, atât în întregime cât și a masei individuale miocardice;
 - biochimic: crește cantitatea de proteine și de acid ribonucleic, precum și raportul dintre ARN și ADN \Rightarrow sinteză accelerată de proteine, consecutiv cu creșterea masei miocardice;
 - funcțional: alungirea și îngroșarea fibrelor crește forța de contracție prin mărirea suprafeței de schimb și prin intensificarea proceselor metabolice;
 - hemodinamic: tensiunea necesară travaliului cardiac se împarte la un număr mai mare de elemente contractile, revenindu-i fiecăreia o sarcină mai mică.
- \Rightarrow hipertrofia poate fi concentrică sau excentrică;
- hipertrofie concentrică:
 - suprasolicitare de presiune;
 - crește mult grosimea peretelui ventricular;
 - miocardul funcționând ca o pompă de presiune.
- hipertrofie excentrică:
 - suprasolicitare de volum;
 - peretele ventricular crește puțin;
 - miocardul funcționează ca o pompă de volum.
- dezavantajul hipertrofiei: în timp ce miofibrilele cresc ca volum și număr, circulația nu se modifică \Rightarrow angina pectorală;
- hipertrofia - eficiență limitată în timp, deoarece suprasolicitarea miocardului fiind permanentă, atât în repaus cât și în efort, se ajunge cu timpul la dilatație;
- dilatația cardiacă miogenă se instalează în mod compensator, lent și progresiv, în cardiopatii;
- anatomic dilatația = creștere în volum a inimii prin alungirea fibrelor miocardului;
- funcțional \Rightarrow creșterea forței de contracție, în mod proporțional cu volumul de umplere (legea lui Starling);

- dacă diametrele interioare ale cavității ventriculare cresc, intervine relația Laplace care stabilește că pentru aceeași presiune într-o cavitate mai mare, este nevoie de o tensiune net mai mare a peretelui \Rightarrow cheltuiala de energie este superioară celei pe care o utilizează inima normală pentru a atinge același debit cardiac;
- în bolile cardiace eficiența dilatației este limitată deoarece cu timpul devine pasivă și astfel randamentul scade treptat;
- insuficiența cardiacă apare când dilatarea atinge limita capacității sale de a compensa;

Fig. 6.11. Principalele semne radiologice ale insuficienței cardiace (după Silber și Katz):

1- cardiomegalie, 2- dilatarea venei cave superioare, 3- dilatarea vaselor hilare, 4- hipervascularizație, 5- hipotransparență difuză pulmonară, 6- benzi Kerley A, 7- benzi Kerley B, 8- transudat pleural la baze, 9- transudat în porțiunea inferioară a scizurii oblice, 10- transudat în scizura orizontală, 11- infarct pulmonar, 12- hemosideroză.



- compensarea s-ar putea obține printr-o nouă creștere în volum (hipertrofie) eventualitate în care posibilitatea unui supliment de dilatație compensatoare este din ce în ce mai anevoioasă din cauza insuficienței coronariene existente \Rightarrow mecanism de cerc vicios \Rightarrow insuficiență cronică decompensată.

6.2.2. Insuficiența cardiacă dismetabolică

- expresia scăderii forței de contracție a miocardului, fără supraîncărcare prealabilă, consecutiv tulburărilor de ordin energetic determinate de procese ischemice, inflamatorii sau dismetabolice;
- mai degrabă consecința hemodinamicii modificate din cursul bolilor respective decât urmarea leziunilor miocardice primare.

6.3. Bolile pericardului

6.3.1. Anatomie radiologică

- foița pericardică internă (sau viscerală) învelește întreg cordul până la rădăcina marilor vase;
- foița pericardică externă (sau parietală) fixează cordul în torace, stratul său fibros extern fiind legat de centrul tendinos al diafragmului, de peretele toracic și pleura mediastinală;
- limita superioară a pericardului la examinarea în PA:
 - pornește de la marginea inferioară a venei cave superioare deasupra vărsării sale în AD;
 - merge apoi în sus, având punct maxim pe aorta ascendentă la 1-2 cm sub emergența trunchiului brahiocervical;
 - coboară spre artera pulmonară, care este învelită în pericard până la nivelul inserției ligamentului Botallo.

- posterior, marginea pericardului corespunde zonei cuprinse între pereții posteriori ai celor două vene cave și emergențele venelor pulmonare de pe fața posterioară a AS;
- grăsimea pericardică poate fi identificată în unghiurile cardio-diafragmatice, ca zonă cu opacitate mai redusă decât cea a cordului - cel mai bine se observă în vecinătatea vârfului;
- stratul de grăsime pericardică este mai pronunțat la obezi;
- în absența revărsatului pericardic, grăsimea pericardului și marginea pericardului au mișcare sincronă, cu amplitudine egală;
- în cazurile cu pericardită exudativă, se poate evidenția stratul adipos epicardic, lichidul situându-se între pericard și această grăsime.

6.3.2. Absența parțială a pericardului

- malformație congenitală;
- localizată mai ales în partea stângă a cordului.

Radiologic:

- modificarea conturului cardiac în stânga \Rightarrow angulație netă între butonul aortic și artera pulmonară;
- artera pulmonară deosebit de proeminentă;
- mobilitate anormală a cordului în decubit lateral stâng;
- pulsații pe conturul lipsit de pericard deosebit de accentuate (în zona conului pulmonarei);
- diagnosticul este punctat prin tomografie (se evidențiază pericardul întrerupt lipsă);

6.3.3. Pericardita exudativă

- mărire generalizată a imaginii cordului determinată de un exces de conținut lichidian care depășește cantitatea normală de 10-50 ml;
- radiografic aspectul cordului se modifică după ce s-au acumulat minim 300 ml lichid;
- natura lichidului:
 - exudat seros;
 - exudat sero-fibrinos;
 - exudat hemoragic;
 - exudat purulent.
- revărsatul serofibrinos este întâlnit în:
 - pericardita TBC;
 - reumatism acut;
 - boală lupică.
- revărsatul hemoragic poate apare:
 - după traumatisme;
 - discrazii sanguine;
 - tumori pericardice primitive și secundare.
- transudatul este prezent în:
 - insuficiențe circulatorii;
 - sindroame edematoase generalizate;
 - disproteinemii.
- caracteristic pericarditelor exudative - transparență pulmonară normală sau chiar crescută;
- dacă apar modificări ale câmpurilor pulmonare, evoluția traduce decompensare cardiacă;

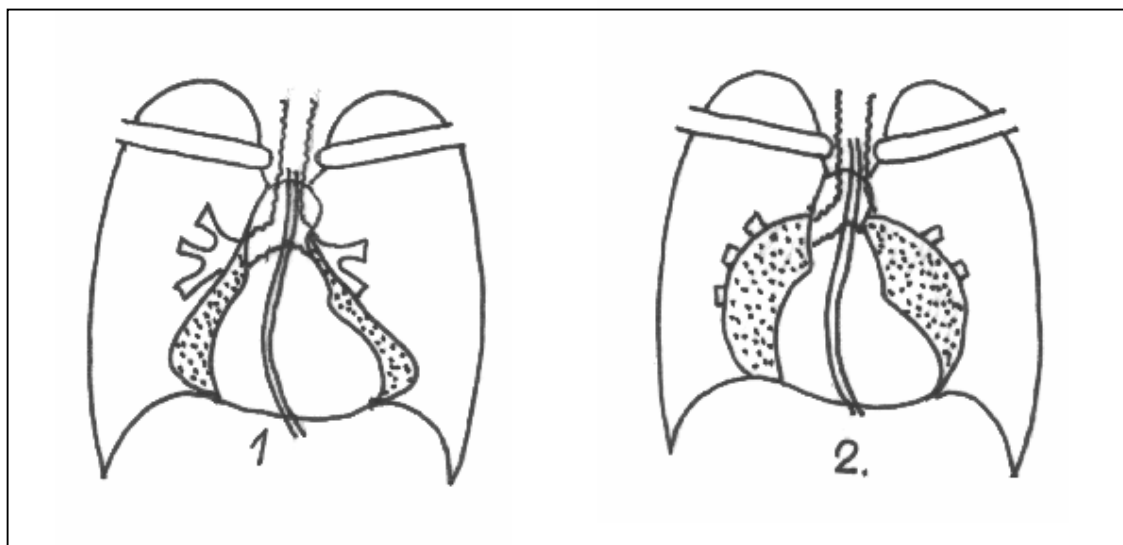


Fig. 6.12. Pericardită exudativă cu lichid în cantitate mare, acumulat între foițele pericardice, realizând un aspect de cord “în carafă”, cu ascuțirea unghiurilor cardio-diafragmatice.

Fig. 6.13. Pericardita exudativă examinată în clinostatism producând migrarea lichidului până la linia de inserție a pericardului, dând cordului un aspect de “minge de fotbal”..

- modificările de contur caracteristice apar numai după ce în pericard s-au acumulat peste 300 ml lichid;
- lichidul se colectează anterior, superior și lateral sau inferior și aproape niciodată posterior;
- simptomatologia - în funcție de ritmul de acumulare a lichidului.

Radiologic:

• **Incidența PA**

- diametrul transversal crescut;
- cele două contururi drept și stâng pornesc de la pedicolul vascular aproape în unghi drept, unul față de celălalt, coborând spre diafragm în arcuri mari, convexe;
- extinderea convexităților contururilor determină o ascuțire a unghiului cardiofrenic drept;
- un revărsat pericardic foarte mare transformă unghiul cardiofrenic drept într-un unghi obtuz;
- gradul de deschidere al acestui unghi se modifică în decubit, odată cu mobilizarea conținutului pericardic spre baza cordului;
- în decubit cordul ia formă sferică, rotunjind zona de graniță dintre cord și vase, unde revărsatul nu poate fi deplasat mai mult cranial (deoarece expansiunea este limitată de inserția pericardului);
- în decubit pericardul vascular rămâne îngust, nu se modifică;
- radiosopic pulsațiile contururilor sunt reduse sau absente, bilateral;
- absența pulsațiilor contururilor cordului este în contrast cu amplitudinea mare a celor de pe butonul aortic;
- camera cu aer a stomacului turtită, hemidiafragmul drept în poziție înaltă prin hepatomegalia consecutivă stazei din marea circulație.
- în unele cazuri limită, răentgen-cinematografia ne aduce câteva date în plus:

- grăsimea pericardică se află la o distanță semnificativă de foița pericardică parietală;
- stratul de grăsime epicardică apare mai mare;
- grăsimea existentă în jurul marginii inferioare a cordului și a șanțului atrio-ventricular, determină apariția unei benzi opace în forma literei „U”;
- amplitudinea pulsațiilor marginii pleuropericardice diminuează în contrast cu pulsațiile normale ale grăsimii epicardice.

- **În incidența laterală**

- spațiul retrosternal și retrocardic sunt mult reduse;
- esofagul baritat descrie un arc de cerc larg și este deplasat la dreapta, din cauza acumulării de lichid pe stânga;
- pulsațiile suprafeței anterioare sunt estompate de prezența lichidului (care se colectează mai mult pe fața anterioară).

Diagnosticul diferențial radiologic - cu orice afecțiune care duce la mărirea cordului:

- ***Miocarditele acute:***

- cord flasc, etalat pe diafragm având o bază mare de implantare;
- unghi cardiofrenic obtuz;
- pulsații deficitare;
- antecedente evocatoare.

- ***Insuficiența cardiacă:***

- câmpuri pulmonare afectate de stază cu eventuale revărsate pleurale, unilateral sau bilateral;
- în profil, pulsațiile pe conturul anterior și posterior sunt similare.

- ***Valvulopatii combinate:***

- în decubit nu se modifică aspectul.

- ***Boala Ebstein:***

- se exclude din diagnostic fiind foarte rară.

- ***Cordul mixedematos***, din marile deficite alimentare:

- cord mare;
- pulsații de amplitudine redusă.

6.3.4. Diverticolul pericardic

- proeminență circumscripă, dispusă pe conturul pericardului în regiunea unghiului cardiofrenic drept și anterior - extrem de rar în unghiul cardiofrenic stâng;
- punga diverticulară comunică cu cavitatea pericardică printr-un pedicul îngust;
- practic nu se poate diferenția de pericardita închistată.

6.3.5. Pericardita închistată

- poate apare după o pericardită exudativă;
- extrem de rară;
- aspectul este similar cu al unui diverticol;
- închistarea are loc de obicei în partea dreaptă, unde conținutul lichidian este mai puțin mobilizat de pulsațiile cordului;
- opacitatea este de intensitatea părților moi cu baza largă pe conturul cordului sau la rădăcina marilor vase;
- nu prezintă mișcări proprii;
- își modifică aspectul cu poziția cordului și cu respirația (în inspir se alungește, în expir devine ovalară).

Diagnosticul diferențial radiologic în dilatațiile localizate:

- pleurezia mediastinală închistată;
- anevrismul miocardic;
- anevrismul marilor vase din zona de urgență;
- tumori benigne pericardice (hemangiom, lipom, fibrom);
- chistul hidatic intrapericardic;
- tumori primare maligne ale pericardului (fără contur net), cu evoluție rapidă și revărsat hemoragic;
- tumori metastatice.

6.3.6. Calcificările pericardice

- simfiza foitelor pericardice între ele;
- simfiza cu pleura mediastinală și fascia endotoracică.

6.3.7. Simfiza foitelor pericardice

- încorsetează cordul și împiedică destinderea diastolică ⇒ **pericardita fibroasă** sau **”concretio cordis”**, sau **”panzer herz”** ;
- consecințe directe:
 - stază în marea circulație;
 - edeme;
 - ascită;
 - turgescența jugulară;
 - hepatomegalie.

Important: examenul radiografic în incidența de profil și OAS este edificator !!

6.3.8. Simfizarea foitei pericardice parietale cu alte structuri mediastinale

- se împiedică contracția sistolică;
- **mediastino-pericardită fibroasă** sau **”accretio cordis”**;
- consecința directă - mărirea cordului, care se dilată și devine imobil;
- precizarea radiologică a uneia din cele două forme de pericardită - importanță terapeutică:
 - în concretio cordis se face cardioliză (decorticalizare);
 - în accretio cordis se face tora-coliză (eliberarea cordului din simfizele cu organele înconjurătoare).

Aspectul radiologic este în funcție de pericardită:

- **Concretio cordis (simfiza foitelor pericardice)**
 - pulsații ale cordului diminuate, abolite;
 - vena cavă superioară destinsă;
 - diafragma este ridicată în totalitate (prin ascită), iar în dreapta prin hepatomegalie;
 - calcificările foitelor pericardice respectă vârful cordului și conul arterei pulmonare; se produc în regiunile mai puțin mobile ale cordului, în șanțurile vasculare, pe fața diafragmatică la locul de răsfrângere al foitelor pericardice;
 - cordul are o formă foarte fixă.
- **Accretio cordis (simfiza foitelor pericardice cu structurile vecine)**
 - cord imobil în cavitatea toracică (caracteristica esențială);
 - tracțiunea sternului în timpul contracțiilor;
 - neregularități ale conturului cordului prin aderențe și calcificări - se ajunge chiar la aspecte pseudoanevrismale;
 - diverticuli esofagieni de tracțiune;

- modificări ale pleurei toracale și mediastinale;
- fesoane diafragmatice prin aderențe.

6.3.9. Pneumopericardul

- în mod spontan, apare în 4 situații:
 - după traumatisme urmate de infecții;
 - după perforație esofagiană sau după ulcerarea în pericard a stomacului sau unui ganglion TBC;
 - prin perforarea în afecțiunile ce evoluează în interiorul spațiului pericardic;
 - pneumopericardul idiopatic.

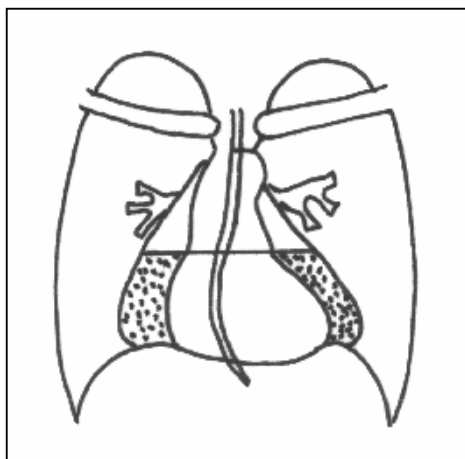


Fig. 6.14. Fluido-pneumopericard : imagine mixtă hidro-aerică, cu nivel orizontal apărut în urma puncției, cu transparență triunghiulară de o parte și de alta a imaginii cordului, cu baza dispusă caudal și latura externă formată de pericardul destins.

Aspectul radiologic:

- asociat de obicei cu revărsat lichidian, când apare fluido-pneumopericardul;
- transparență triunghiulară de o parte și de alta a imaginii cordului; baza este dispusă caudal, latura externă formată de pericardul destins;
- nivelul lichidian prezintă ondulații permanente prin mișcările transmise de pulsațiile cordului, mai accentuate pe stânga;
- înclinarea laterală a bolnavului mobilizează lichidul în partea declivă, menținându-se nivelul orizontal permanent;
- în decubit dorsal aerul se dispune substernal iar lichidul se deplasează posterior.

6.4. Bolile aortei

Studiul lor implică:

- **alungire și derulare;**
- **modificări dimensionale;**
- **creșterea opacității.**

6.4.1. Alungirea și derularea

- cauza principală - reducerea elasticității (prin cauze diverse, funcționale sau anatomice)
- incidență PA:
 - arcul superior drept devine mai lung prin coborârea unghiului cardiovascular și mai convex din cauza marginalității aortei ascendente, care depășește lateral vena cavă superioară;
 - butonul aortic proemină mai mult pe stânga având raza de curbura mai crescută;
 - fereastra aortică apare considerabil mărită în OAS;

- esofagul fiind situat în aceeași teacă conjunctivă cu aorta o urmează în deplasările sale și poartă amprente ale aortei îndeosebi în regiunea arcului aortic și în dreptul dilatațiilor;
- amprenta butonului aortic pe esofagul baritat este mare; are loc o adâncire a patului aortic;
- sub arcul aortic esofagul se deplasează pe stânga;
- alungirea aortei toracice determină bascularea inimii, transversalizarea ei care împreună cu proeminența butonului duce la adâncirea golului și realizarea unei configurații aortice;
- crosa aortică în OAS apare desfășurată cu raza de curbură crescută - aspectul de segment oval “în potcoavă” este înlocuit cu unul în segment de cerc turtit în sens cranio-caudal;
- tracțiunile exercitate de țesutul periaortic alterat asupra esofagului dau naștere la diverticolii esofagieni de tracțiune;
- aorta descendentă care de obicei este dispusă paravertebral, la cca. 1 cm de coloana vertebrală toracală, prezintă un contur extern convex și mai îndepărtat de coloana vertebrală cu câțiva cm, proiectându-se în arcul mijlociu al cordului.

6.4.2. Aneurismele aortice

- etiologie - pluralitate factorială care produc un număr de variante anatomopatologice practic nelimitate;
- etiologia aterosclerotică este în continuă creștere;
- cea mai frecventă localizare: aorta ascendentă;
- criterii în cazul unei opacități suspecte de anevrism (după Zdanski):
 - poziția opacității față de aortă: opacitate lipită și aderentă la coloana vertebrală indiferent de incidenta de examinare;
 - forma și conturul opacității: este sau nu net, bine delimitat sau nu (procesele inflamatorii perianevrismale șterg conturul);
 - intensitatea și structura opacității: depind de mărime și eventuala ateromatoză de însoțire;
 - aspectul aortei: în legătură cu etiologia;
 - forma și dimensiunile inimii: cele mari basculează cordul și produc transversalizarea lui cu realizarea de configurație aortică;
 - studiul fenomenelor dinamice: datele sunt incerte (a nu se absolutiza valoarea pulsațiilor);
 - creșterea lentă: are loc pe parcursul mai multor ani - nu răspunde la radioterapie.
- diagnostic - prin eliminarea următoarelor afecțiuni:
 - adenopatiilor;
 - tumorilor pleuro-pulmonare;
 - tumorilor tiroidiene;
 - tumorilor pericardice;
 - teratoamelor;
 - abcesului Pott;
 - diverticolilor esofagieni;
 - acalaziei.

Tipuri de aneurisme:

6.4.2.1. Aneurismul de aortă ascendentă

Examenul radiologic:

- proeminență spre dreapta, depășind conturul atrului drept (astfel arcul inferior drept apare scurtat - se dedublează marginea dreaptă);
- pulsațiile prin expansivitatea lor pot determina atrofii prin compresiune sterno-costală;
- traheea și bifurcația sunt deplasate spre stânga ca și esofagul baritat.

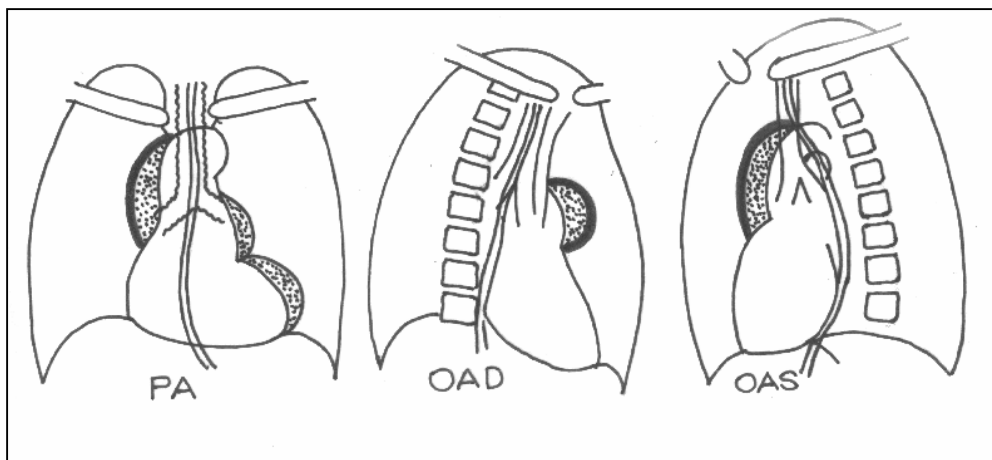


Fig. 6.15. Anevrism al aortei ascendente în incidență PA, OAD și OAS.

6.4.2.2. Anevrismul crosei aortice

Examenul radiologic:

- are loc lărgirea pedicolului vascular pe ambele margini;
- traheea și esofagul sunt deplasate la dreapta și posterior;
- compresia îndelungată pe trahee produce traheomalacie;
- butonul aortic crește mult;
- V. S. este de obicei mărit;
- frecvent pareză de recurent și frenic stâng.
- tusea uscată și pulsațiile în furculița sternală sunt elemente de orientare încă înainte de a începe examenul radiologic.

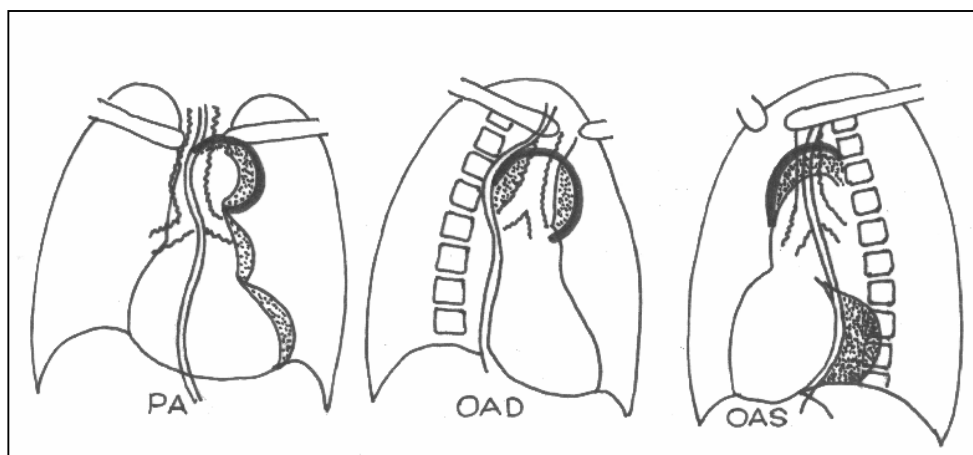


Fig. 6.16. Anevrism al crosei aortice în incidență PA, OAD și OAS.

6.4.2.3. Anevrismul aortei descendente

- de obicei fuziform;
- produce eroziuni ale conturilor anterioare ale corpurilor vertebrale cauzate de atrofie prin compresie;
- esofagul baritat este deplasat la dreapta și anterior în localizările superioare și la stânga în localizările inferioare;
- poate fi însoțit de atelectazii pulmonare și revărsate pleurale.

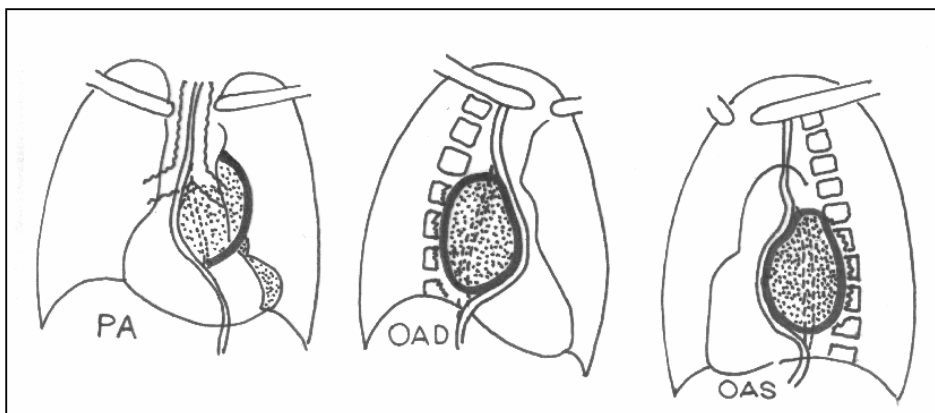


Fig. 6.17. Anevrism al aortei descendente în incidență PA, OAD și OAS.

6.4.2.4. Anevrismul aortei abdominale

- de regulă de natură aterosclerotică;
- pereții pot prezenta calcificări;
- deplasează organele din jur;
- se poate transforma într-un anevrism disecant (mai ales în segmentul toracal).

Radiologic:

- creșterea opacității aortei;
- mărirea pedicolului vascular;
- când la intervale scurte un anevrism crește apreciabil între examinări, trebuie suspectat un proces lent de disecție;
- examenul angiocardigrafic este revelator.

6.4.3. Anevrismul de trunchi brahio-cefalic

- localizare - joncțiunea arterei cu arcul aortic;
- de obicei dilată și aorta din vecinătate;
- opacitate net delimitată, convexă în afară, lărgind mediastinul superior, se extinde spre părțile moi cervicale;
- traheea este deviată la stânga și comprimată;
- esofagul este deviat spre stânga și sub arcul aortic spre dreapta, luând în ansamblu forma literei "S";
- eroziuni claviculare;
- în tuse și în deglutiție, anevrismul urmează în sus butonul aortic și nu laringele - de aici posibilitatea de diferențiere cu tiroidele plonjante.

6.4.4. Anevrismul arterei subclaviculare

Grupe:

- anevrism al arterei subclaviculare și coastă cervicală:
 - totdeauna localizat în a treia porțiune a subclavicularei (distal de locul în care coasta comprimă artera).
- anevrisme luetice:
 - bombează în spațiul subclavicular;
 - frecvent produc eroziuni costale și rupturi letale.
- anevrisme aterosclerotice:
 - se suspectează când se produce o lărgire a mediastinului superior și există concomitent o ateroscleroză generalizată;
 - adesea prezente calcificări parietale.
- anevrisme posttraumatice:
 - mai ales în cazul plăgilor înjunghiate.
- fistule arterio-venoase.

6.4.5. Anevrismul sinusului Valsalva

- interesează mai frecvent sinusul drept;
- în OAS apare ca o proeminență pe conturul drept al pedicolului vascular;
- diagnosticul se pune exclusiv angio-cardiografic;
- complicații:
 - compresia arterelor pulmonare;
 - ruptura arterei pulmonare.

6.4.6. Reducerea diametrelor aortei

Vezi capitolul bolilor congenitale de cord.

6.4.7. Creșterea opacității aortei

- opacitate crescută, deoarece fiind lărgită, are un conținut mai mare de sânge;
- procesele alternative ale pereților cu depunere de săruri calcare dau lizereu marginal care dublează conturul;
- le putem vedea pe orice segment.

6.5. Cordul și procesele patologice pleuro-pulmonare

- procese expansive sau retractile ale plămânului și pleurei, însoțite de dislocări și rotații ale organelor mediastinale, care pot modifica imaginea cardiovasculară;
- tracțiunile localizate ale pericardului precum și sumația imaginii unor procese mediastinale (tumori, revărsate pleurale închistate etc.) pot produce modificări de contur ale siluetei cardiovasculare, care în cazul unui examen superficial pot genera erori grosolane de diagnostic.

6.5.1. Cordul și hipertensiunea arterială

- modificările radiologice ale cordului în caz de HTA - consecința efortului VS;
- în ansamblu sunt reprezentate de modificările din stenoza aortică;
- HTA, suprasolicitarea VS \Rightarrow aorta este mărită difuz, concomitent cu accentuarea basculării și transversalizării cordului \Rightarrow configurație aortică evidentă, pregnantă.

6.5.2. Cordul în afecțiunile miocardice

Criterii generale de apreciere radiologică:

- nu există aspecte patognomonice;

- cordul este mărit global, având în general aspect flasc;
- baza cordului este mărită pe diafragm, ceea ce face ca să diminueze înălțimea acestuia;
- diametrul transvers al cordului este mărit;
- examenul radiosopic televizat pune în evidență un cord care se deformează ușor în inspirație precum și cu modificarea poziției corpului;
- segmentarea în arcuri este ștearsă, iar amplitudinea pulsațiilor este redusă;
- în ansamblu, avem un cord miopatic, cu tonus scăzut și pulsații superficiale.

LUCRAREA PRACTICĂ NR. 7**7.1 RADIODIAGNOSTICUL
AFECȚIUNILOR MEDIASTINALE****7.1.1. Topografia mediastinală****7.1.2. Metodele de investigație ale afecțiunilor
mediastinale****7.1.3. Principalele afecțiuni mediastinale****7.1.4. Patologia mediastinală pe etaje****7.2 RADIODIAGNOSTICUL
DIAFRAGMULUI****7.2.1. Anatomie radiologică****7.2.2. Relaxarea diafragmatică****7.2.3. Hernia diafragmatică****7.2.4. Interpoziția freno-hepatică de colon
transvers (sindrom Chilaiditi)****7.2.5. Abcesul subfrenic****7.2.6. Megadiafragmul**

7.1. RADIODIAGNOSTICUL AFECȚIUNILOR MEDIASINALE

7.1.1. Topografia mediastinală

- situat în regiunea mediană a toracelui, mediastinul se găsește între:
 - cei doi plămâni (lateral)
 - diafragm (caudal)
 - regiunea cervicală (cranial)
 - stern (anterior)
 - coloana vertebrală și șanțurile costo-vertebrale (posterior)
- împărțit în etaje:
 - **superior**
 - imaginea este predominată de primele patru-cinci vertebre toracale, bine vizibile datorită contrastului negativ pe care traheea îl face cu conținutul său aerian
 - în unele situații, lateral de coloană se poate vedea imaginea realizată de trunchiul arterial brahiocefalic în dreapta și de ligamentul triunghiular costo-pericardic descris în stânga de către Lushka
 - **mijlociu**
 - imaginea venei cave superioare
 - de multe ori aorta ascendentă, când aceasta este mai derulată
 - în stânga arcul crosei aortice și apoi arcul infundibulului arterei pulmonare și a urechiușei stângi, delimitează acest spațiu
 - cu vârsta, arcului mijlociu i se poate suprapune opacitatea aortei descendente, ca semn al unei scleroze parietale a acesteia
 - **inferior**
 - în dreapta - opacitatea atriului drept
 - pe stânga - ventricolul stâng
- opacitatea mediastinală realizează cu hemidiafragmele și sinusurile cardio-diafragmatice o deschidere mai mare sau mai mică, în funcție de:
 - aspectul somatic al toracelui
 - înălțimea diafragmului (comandată de presiunea abdominală, de presiunea intratoracică, de tensiunea fibrei musculare diafragmatice și de integritatea fibrelor nervoase ale nervului frenic)
- limitele acestor etaje pot fi considerate în funcție de topografia hilurilor pulmonare, delimitarea făcându-se prin niște linii convenționale care sunt tangente la arcurile costale anterioare 2 și 4, reprezentând marginea superioară și respectiv inferioară a hilurilor pulmonare
- din profil, imaginea mediastinului poate fi împărțită în trei compartimente:
 - **anterior**
 - delimitat în față de stern
 - posterior de pericard, aortă și trunchiurile brahiocefalice
 - conține timusul și ganglionii limfatici anteriori
 - **mijlociu**
 - determinat prin două planuri convenționale care trec prin fața anterioară și respectiv posterioară a traheei și care include și cordul
 - conține traheea și bronhiile primitive, cordul cu pericardul și vasele mari de la baza cordului, grupele ganglionare limfatice, paratraheale și traheobronhice, nervii frenici și porțiunea superioară a nervilor vagi
 - **posterior**

- situat în spatele cordului și traheei
- conține aorta toracică descendentă, esofagul, canalul toracic, porțiunea inferioară a nervilor vagi și grupul posterior al ganglionilor mediastinali
- în șanțurile costovertebrale se află venele azygos și hemiazygos, lanțul ganglionilor limfatici, nervii periferici și rădăcina nervilor intercostali
- regiunea descrisă mai sus este delimitată lateral de către pleura mediastinală și care are o dispoziție diversă la diferite niveluri
- în regiunea suprahilară, întreaga suprafață a mediastinului este acoperită de pleura parietală, care este separată prin spațiul pleural de pleura viscerală
- în regiunea hilară, pleura parietală se rabatează în fund de sac, devenind pleură viscerală anterior, posterior și superior, realizându-se astfel un spațiu lipsit de pleură prin care elementele pliului pulmonar pot pătrunde spre plămân sau invers, de la plămân spre cord
- în regiunea subhilară se produce aceeași rabatare în fund de sac, dar în această zonă fundurile de sac sunt dispuse sub formă de ligamente pleuropericardice, care delimitează între ele un spațiu prin care se realizează un contact direct și nemijlocit între regiunea mediastinală și plămân, fără delimitare pleurală
- toate organele mediastinale sunt incluse într-o masă de țesut conjunctiv, țesut care se continuă fără nici o delimitare cu țesutul conjunctiv al regiunilor și organelor de vecinătate
- în acest context se explică marea varietate a proceselor patologice mediastinale cu răsunet asupra țesutului pulmonar, când procesele patologice mediastinale nu întâlnesc în calea lor nici un obstacol, ducând la apariția unor complicații mediastino-pleuro-pulmonare

7.1.2. Metodele de investigație ale afecțiunilor mediastinale

7.1.2.1. Radioscopia televizată

- decelarea proceselor mediastinale
- localizarea acestora
- posibilitățile oferite de studiul dinamic (mobilitatea mediastinului, mișcări în cursul deglutiției, tusei, respirației, contracțiilor cardiace etc.) care netezesc drumul spre efectuarea radiografiei

7.1.2.2. Teleradiografia toraco-pulmonară standard

- uneori dirijată prin examen radioscopic prealabil

7.1.2.3. Tomografia în plan frontal

- detalii privind limitele formațiunilor mediastinale

7.1.2.4. Radioscopia esofagiană cu suspensie baritată

- deplasări sau denivelări produse de ganglioni, vase sau alte formațiuni patologice de vecinătate

7.1.2.5. Bronhografia și bronhoscopia

- mai ales la trahee și arborele bronșic

7.1.2.6. Pneumotoraxul diagnostic și pneumo-mediastinul

- contrast transparent în jurul formațiunilor patologice punându-le mai clar în evidență

7.1.2.7. Angio-pneumo-cardiografia

- pune în evidență gradul de vascularizație al unor procese toraco-mediastino-pleuro-pulmonare
- posibilitatea aplicării unor metode de investigație din radiologia intervențională (exemplu: embolizările arteriale)

7.1.2.8. Tomografia computerizată

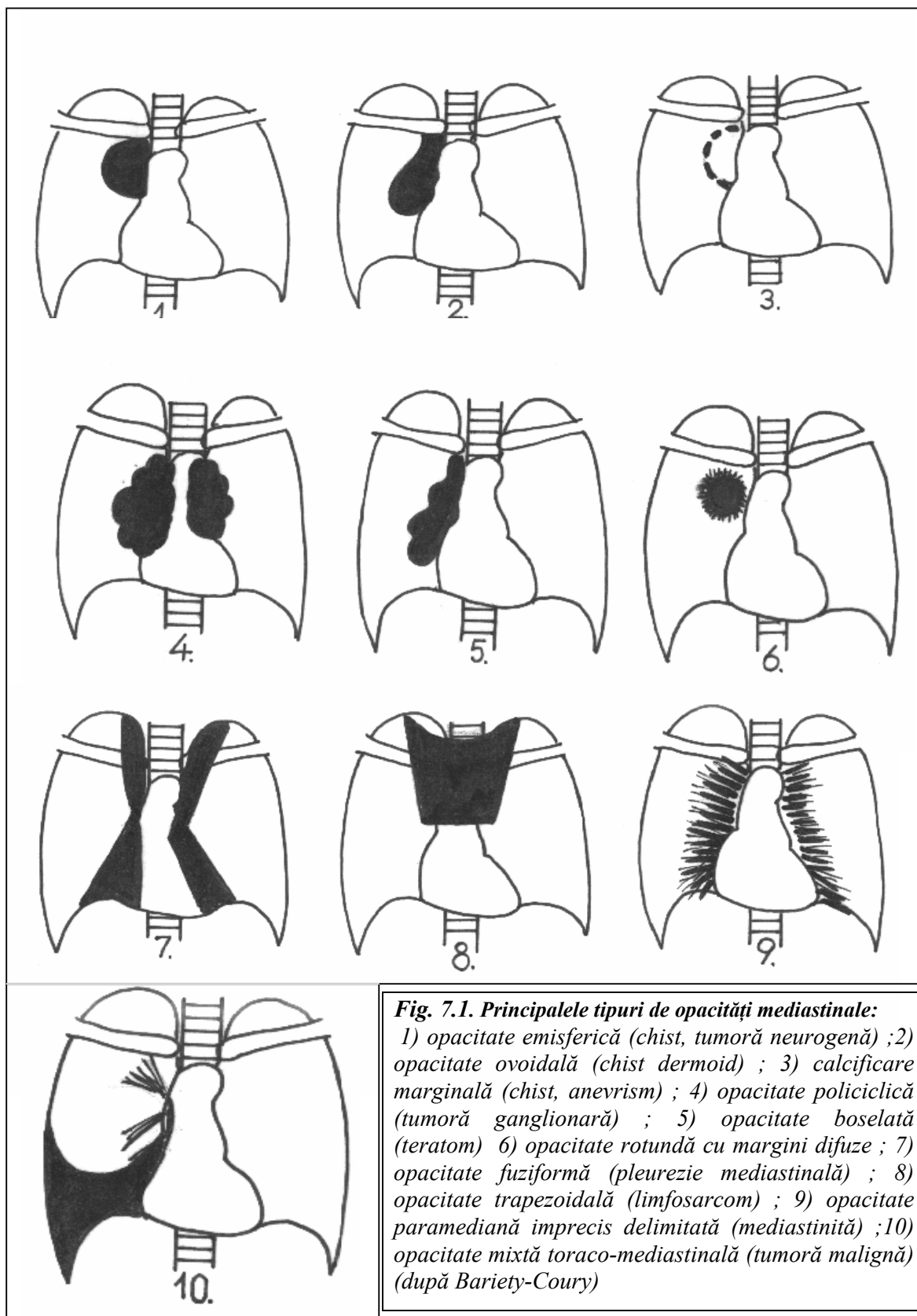
- evidențiază cu pregnanță procesul patologic, forma, dimensiunile, conturul, structura și gradul de interesare cu formațiunile anatomice de vecinătate
- administrare de contrast pentru departajarea structurilor vasculare și a gradului lor de interesare pentru stadializarea proceselor patologice la acest nivel

7.1.2.9. Puncția biopsie ghidată computer tomografic

- diagnosticul histopatologic al proceselor expansive
- celularitatea proceselor expansive

7.1.2.10. Rezonanța magnetică

- pune în evidență în T-1 și T-2 procesele patologice de cele mai mici dimensiuni în baza unor criterii de diagnostic similare celor oferite de CT



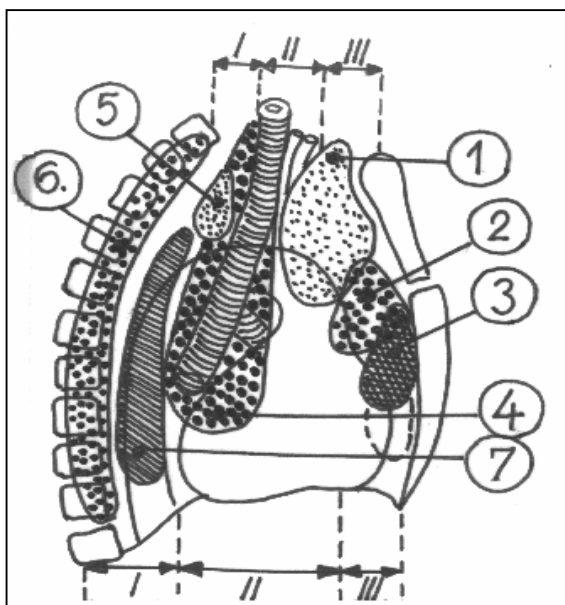
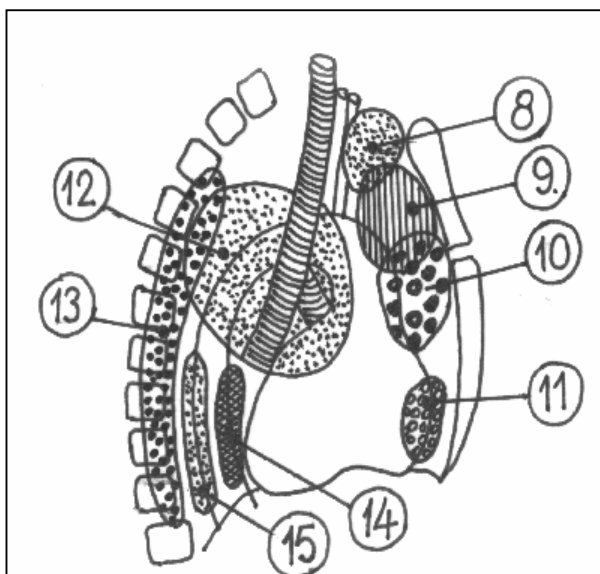
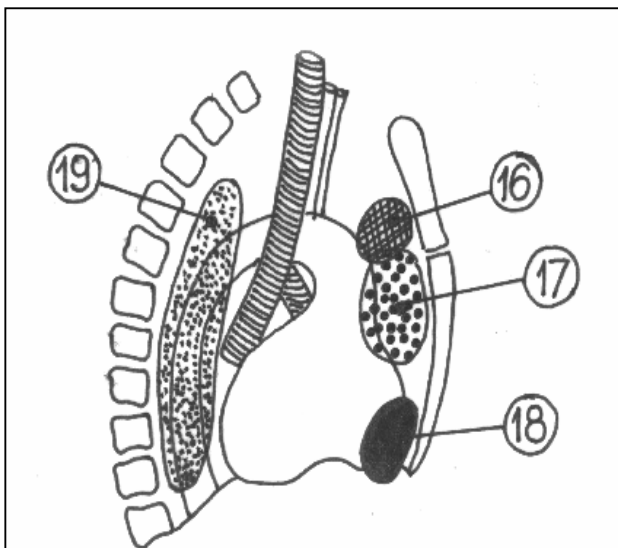


Fig. 7.2. Topografia principalelor tumori mediastinale :

- 1 - gușă retrosternală ;
- 2 - timom, hemangiom ;
- 3 - teratom ;
- 4 - limfom malign primar ;
- 5 - gușă retrotraheală ;
- 6 - tumori neurogene ;
- 7 - tumori esofagiene



- 8 - chist tiroidian ;
- 9 - chist timic ;
- 10 - teratom chistic ;
- 11 - mezoteliom ;
- 12 - chist bronhogenic ;
- 13 - meningocel ;
- 14 - chist neuroenteric ;
- 15 - limfangiom ;



- 16 - lipom timic ;
- 17 - chist dermoid ;
- 18 - lipom ;
- 19 - liposarcom.

(după Fraser-Pare: modificat de Twinning-Zupping)

7.1.3. Principalele afecțiuni mediastinale

7.1.3.1. Hernia mediastinală

7.1.3.2. Pneumomediastinul

7.1.3.3. Inflamațiile mediastinului

7.1.3.3.1. Mediastinita acută

7.1.3.3.2. Mediastinitele cronice

7.1.3.1. Hernia mediastinală

se produce datorită protruziei prin septul mediastinal a unei mase pulmonare sau de aer, dintr-un hemitorace în cel controlateral, datorită punctelor de minoră rezistență din structura diafragmului, prezente anterior între stern și cord, și mult mai rar posterior între cord și aorta descendentă.

- hernia mediastinală cu protruzia plămânului are loc când echilibrul dintre conținutul celor două hemitorace este afectat, rupt, datorită unei pneumonectomii, lobectomii, fibro-torace, plămâni hipoplazici etc. ; se realizează astfel o disproporție între conținătorul și conținutul hemitoracelui bolnav.

- plămânul congener va suferi un proces de hiperinflație compensatorie, datorită căreia presiunea crescută va rupe septul mediastinal și va da naștere la hernia mediastinală.

- explorarea radiologică în incidența de față este dificil de interpretat, mai ales în cazurile în care hemitoracele în care herniază plămânul este opac.

- se evidențiază prezența unei hipertransparente ovalare sau rotunde, care depășește opacitatea mediastinală cu contur lateral bine reprezentat ;

- conturul este realizat de suma opacității celor 4 foițe pleurale mediastinale (parietală și viscerală, mediastinală a plămânului bolnav și parietală și viscerală a plămânului herniat).

- în incidența de profil spațiul retrosternal apare mult mai lărgit decât în stare normală, iar cordul și aorta sunt deplasate posterior.

- în cazul în care hernia mediastinală este produsă de un pneumotorace, imaginea radiologică este mult mai evidentă. Presiunea aerului din cavitatea pleurală nu reușește să colabeze plămânul de aderențe și simfize, găsind o cale de expansiune prin septul mediastinal în hemitoracele opus.

- examenul radiologic evidențiază o hipertransparentă pulmonară, fără desen pulmonar, de formă ovalară, cu baza la mediastin, cu contur net și ceva mai gros, cauzată de suma pleurei parietale din hemitoracele de unde s-a produs hernia și a pleurei parietale și viscerale în care s-a produs hernia. Incidența de profil precizează calea de producere a herniei.

- Diagnosticul diferențial radiologic va avea în vedere

1. chisturile mediastinale,
2. pulmonare,
3. bronhogene,
4. bule de emfizem, etc.

7.1.3.2. Pneumomediastinul

- cauze care pot da naștere unui pneumomediastin :

1. perforații ale esofagului
2. perforații ale bronhiilor prin manevre endoscopice,
3. traumatisme toracice cu rupturi de bronhii,
4. intervenții chirurgicale toracice care interesează și mediastinul,
5. decompresiuni rapide la muncitorii din chesoane și la scafandri,
6. infecții mediastinale după necroze bronhice la copii.

7. secundar de cele mai multe ori după un emfizem interstițial.

- în unele situații în care o bulă de emfizem se rupe în plin interstițiu, aerul ce scapă prin soluția de continuitate pătrunde în țesutul conjunctiv interstițial și tecile peribronhovasculare, fuzând de-a lungul acestora până la hil, apoi prin pătrunderea în țesutul conjunctiv mediastinal produce pneumomediastinul.

- dacă se acumulează o cantitate mai mare de aer, acesta fuzează în țesutul conjunctiv subcutanat, care crește în diametru, bolnavul având senzația de sufocare, iar la palpare apar crepitații.

- dacă nu se intervine concret prin crearea de breșe cutanate, prin care aerul este evacuat acesta fuzează în tot teritoriul țesutului conjunctiv subcutanat al toracelui, de-a lungul brațelor, ajungând uneori până la scrot.

- radiologic pneumo-mediastinul se caracterizează prin lățirea opacității mediastinale, vizibilă în incidența de față, acompaniată de o opacitate lamelară subțire situată la 1-2 mm de opacitatea cordului, existând și situații în care această linie poate fi urmărită și de-a lungul aortei descendente al cărei contur pare să-l dedubleze.

- pe imaginea de profil, când cantitatea de aer este mai mare se poate urmări o dungă de transparență crescută dispusă de-a lungul feței posterioare a sternului.

7.1.3.3. Inflamațiile mediastinului

- țesutul conjunctiv lax, foarte abundent din mediastin, precum și legăturile strânse și directe cu țesutul conjunctiv interstițial al plămânului, sub – pleural și al bazei gâtului, fac din mediastin o gazdă perfectă pentru instalarea proceselor inflamatorii venite din vecinătate.

- mediastinitele nu sunt procese foarte frecvente în patologia mediastinală ;

- destul de rare în comparație cu celelalte afecțiuni mediastinale,

- mediastinitele reprezintă de cele mai multe ori procese iatrogene sau complicații ale unor procese tumorale, cu punct de plecare dintr-un organ mediastinal (esofag, arbore traheo-bronșic, etc.)

7.1.3.3.1. Mediastinita acută

- poate să apară după perforații esofagiene cauzate de corpi străini, ascuțiți, înghițiți sau în timpul extragerii de corpi străini, complicată cu ruperea esofagului.

- neoplasmul esofagian, unii diverticuli esofagieni inflamați, ulcerile esofagiene, esofagitele cronice postcaustice, pot fi responsabile de instalarea unei mediastinite acute;

- soluțiile de continuitate traheală și ale bronhiilor primitive și lobare cauzate de manevre greșite în timpul bronhoscopiilor, pot conduce la inflamații acute mediastinale.

- infecțiile acute sau supurațiile din spațiile perifaringiene, sau periesofagiene pot cauza mediastinite acute, uneori cu evoluție până la forme letale.

- la copii, pneumonia necrozantă este una din cauzele majore ale mediastinitei acute la acest grup de vârstă.

- examenul radiologic va pune în evidență aspecte diferite în funcție de momentul investigației și de severitatea procesului.

- examenul radiologic evidențiază o lățire a opacității mediastinale, care este în strânsă corelație cu gradul de extensie al inflamației.

- cantonată mai ales în etajul superior ea poate interesa întreaga arie mediastinală.

- opacitatea este de intensitate mică și cu contur net, realizat de către pleura mediastinală, a cărei structură este omogenă, excepție făcând cazurile în care s-a produs efracția esofagului sau traheei, când opacitatea devine neomogenă datorită aerului pătruns prin soluțiile de continuitate.

- opacitatea poate prezenta prelungiri în virgulă la nivelul domurilor pleurale, datorită extinderii procesului inflamator în fascia endotoracică la nivelul apexului, semn care diferențiază mediastinita acută de pleurezia mediastinală.
- în mediastinitele acute grave sau după plăgi înțepate, urmate de fistule bronho-mediastino-pleurale, imaginea radiografică se complică și cu aspectul unui pneumotorace cu lichid, dând astfel naștere la imaginea mixtă, hidroaerică.
- substanța de contrast utilizată pentru fistulografie va fi non-ionică, odată pătrunsă în mediastin resorbindu-se.
- este interzisă folosirea emulsiei baritate, deoarece aceasta nu se resoarbe și generează glanuloame cantonate definitiv în mediastin.
- după stabilirea diagnosticului este necesară sancțiunea terapeutică chirurgicală de urgență, constând din toracotomie, cu drenarea procesului.

7.1.3.3.2. Mediastinitele cronice

- sunt rare,
- de cele mai multe ori origine incertă, având incriminate drept agent etiologic
 1. tuberculoza,
 2. sarcoidoza,
 3. histoplasmoza,
 4. silicoza precum și o serie de alte inflamații cronice.
- deoarece simptomatologia lor este în general discretă, atât clinic cât și radiologic, multe din cazurile de mediastinită cronică scapă diagnosticului.
- mediastinitele cronice prezintă două forme : granulomatoasă și fibroasă.

Mediastinita granulomatoasă

- este în majoritatea cazurilor de cauză necunoscută.
- radiologic se constată lățirea mediastinului, în special la nivelul jumătății superioare, fiind prezentă o opacitate cu aceeași intensitate ca și cea a mediastinului, omogenă, bine conturată, rectilinie sau polilobată.
- situată mai frecvent pe latura dreaptă a mediastinului, interesează mai ales compartimentul anterior, mai bine vizibilă pe imaginea de profil.
- există cazuri în care aspectul radiologic pe imaginile standard este normal, însă atrag atenția procesele de stază de la nivelul venei cave superioare, evidențiate prin cavografie și azigografie.

Mediastinita fibroasă

- poate fi stadiul final al mediastinitei granulomatoase, sau poate fi de natură idiopatică. Se constată prezența unei plăci fibroase dispuse paratraheal, la nivelul bifurcației, a hilurilor pulmonare uni- sau bilateral.
- aspectul radiologic este oarecum asemănător cu cel din mediastinita granulomatoasă, însă intensitatea opacității este mai mare și de dimensiuni mai mici, datorită procesului de retracție fibroasă, conturul fiind net.
- în unele cazuri conturul mediastinal poate fi lobulat, mai ales pe dreapta, dar și bilateral, datorită stenozelor multiple pe aortă, artere pulmonare, esofag, vene, etc
- diagnosticul este tranșat de biopsie prin mediastinoscopie sau toracotomie.

7.1.4. Clasificarea topografică în patologia mediastinală pe etaje

7.1.4.1. Procese patologice ale mediastinului anterior

7.1.4.1.1. Procese patologice ale etajului superior al mediastinului anterior

- ◆ Gușa toracică retrosternală
- ◆ Gușa retroclaviculară dreaptă
- ◆ Gușa toracică aberantă
- ◆ Gușa intratoracică malignizată
- ◆ Anevrismul trunchiului brahiocefalic
- ◆ Procese patologice ale timusului
 - Hipertrofia timusului
 - Tumorile maligne primitive ale timusului

7.1.4.1.2. Procese patologice ale etajului mijlociu al mediastinului anterior.

- ◆ Chistele dermoide
- ◆ Chistele bronhice
- ◆ Chistele pericardice

7.1.4.1.3. Procese patologice ale etajului inferior al mediastinului anterior

- ◆ Chistele pleuro-pericardice
- ◆ Diverticuli pericardici
- ◆ Pericardita închistată
- ◆ Anevrismul cardiac
- ◆ Pleurezia mediastinală antero-inferioară
- ◆ Hernia diafragmatică

7.1.4.2. Procesele patologice ale mediastinului mijlociu

- ◆ Tumorile maligne traheo-bronșice
- ◆ Chistul bronhogenetic
- ◆ Chistul pleuropericardic
- ◆ Necroza țesutului grăos pericardic
- ◆ Adenopatii mediastinale tumorale
 - Limfogranulomatoza malignă HODGKIN
 - Limfosarcomul mediastinal
 - Reticulosarcomul mediastinal
 - Limfomul mediastinal recidivant malign Brill-Symmers
 - Adenopatiile din limfoleucoze
 - Adenopatiile mediastinale maligne metastatice
- ◆ Adenopatii mediastinale inflamatorii
 - Tuberculoza gangliobronșică
 - Sarcoidoza pulmonară sau boala Besnier-Boeck-Schaumann
 - Adenopatiile mediastinale inflamatorii acute
 - Adenopatiile sindromului Loffgren
 - Adenopatia din tuberculoza secundară
- ◆ Alte adenopatii mediastinale

7.1.4.3. Procese patologice ale mediastinului posterior

- ◆ Tumorile nervoase

7.1.4.3.1. Procese patologice ale etajului superior al mediastinului posterior

- Ganglioneurinomul

7.1.4.3.2. Procese patologice ale etajului mijlociu al mediastinului posterior

- Abcesul rece din tuberculoza vertebrală sau boala POTT
- Meningocelul
- Megaesofagul
- Diverticolul esofagian
- Cancerul esofagian

7.1.4.3.3. Procese patologice ale etajului inferior al mediastinului posterior

- Cancer esofagian
- Pleurezii posterioare inferioare libere
- Pleurezii posterioare inferioare inchistate

7.1.5. Patologia mediastinală pe etaje**7.1.5.1. Procese patologice ale mediastinului anterior****7.1.5.1.1. Procese patologice ale etajului superior al mediastinului anterior**

- **Gușa toracică retrosternală**
 - gușa toracică retrosternală se află total, sau în cea mai mare parte în torace, având sediul median.
 - examenul radiologic evidențiază o opacitate omogenă cu conturul inferior și extern convex, bine delimitat, cu aspect de “cască inversată”.
 - frecvent după hemoragii produse la nivelul gușii pot apare calcificări care sunt dispuse sub formă de lizereu calcar sau neregulat la nivel intraparenchimos.
 - prezența calcificărilor impune diagnosticul diferențial cu calcificările la nivelul
 1. crosei
 2. anevrismelor de aortă
 3. calcificări ale ganglionilor latero-traheali
 4. parenchimul pulmonar.
 - examenul radiosopic televizat este cel care precizează diagnosticul, datorită mobilităților imaginilor calcare în cursul tusei și deglutiției.
- **Gușa retroclaviculară dreaptă**
 - gușa retroclaviculară dreaptă este determinată de prezența unei opacități ovalare care lărgeste mediastinul superior în dreapta, traheea și aorta fiind deplasate în stânga.
 - diagnosticul diferențial se face cu anevrismul de trunchi brahiocefalic (prezintă pulsații proprii).
- **Gușa toracică aberantă**
 - poate avea sediul variat în mediastin
 - se manifestă ca o opacitate rotundă sau ovalară care poate deplasa organele mediastinale (traheea, aorta, esofagul)

- **Gușa intratoracică malignizată**
 - gușa intratoracică malignizată se manifestă radiologic prin semne de infiltrație tumorală, constând în pierderea mobilității, iar contururile devin imprecise.
- **Anevrismul trunchiului brahiocervical**
 - o opacitate unilaterală, net delimitată, situată în partea dreaptă a mediastinului superior.
 - imaginea nu se deplasează în cursul tusei și deglutiției, prezentând mișcări sincrone cu restul mediastinului.
 - kimografic prezintă pulsații proprii.
- **Procese patologice ale timusului**
 - **Hipertrofia timusului**
 - se constată la sugari, manifestându-se prin fenomene de compresie a traheei.
 - radiologic se constată o opacitate cu forme variate (rotundă, ovoidală, trapezoidală, în formă de butoi, în ceas de nisip) cu contururi net delimitate și structură omogenă care lărgeste mediastinul superior, unilateral sau bilateral.
 - în profil opacitatea se proiectează în mediastinul anterior, obturând spațiul clar retrosternal.
 - în inspir, opacitatea se alungește cranio-caudal și se subțiază, conturul extern deplasându-se medial.
 - în expir, opacitatea se scurtează cranio-caudal și se lărgeste lateral.
 - alteori, opacitatea are formă de coloană, depășind lateral imaginea cordului bilateral, până la nivelul diafragmului, sugerând aspect de pericardită.
 - **Tumorele maligne primitive ale timusului**
 - tumorele maligne ale timusului sunt rare : 3/4 sunt sarcoame și 1/4 epitelioame.
 - sunt întâlnite la adulți.
 - radiologic, tumora produce lărgirea mediastinului anterior, superior și mijlociu având o situație mediană
 - la început are contururi nete, arcuite, ulterior devenind șterse, imprecise.
 - opacitatea tumorală se mărește progresiv
 - diametrul orizontal al opacității este mai mare decât cel vertical.
 - produce fenomene de compresii.

7.1.5.1.2. Procese patologice ale etajului mijlociu al mediastinului anterior.

Chistele dermoide

- sunt situate în mediastinul anterior și mijlociu, uneori interesând și mediastinul antero-superior.
- radiologic : o opacitate rotundă, ovoidală sau hemisferică având contur extern convex, net delimitat cu o bază largă de implantare pe mediastin
- structură omogenă sau neomogenă (prezintă imagini calcare)
- sunt situate unilateral, proiectându-se spre un hemitorace.
- în regiunile superioare ale mediastinului anterior poate avea o formă alungită.
- se deosebesc de gușile retrosternale prin lipsa mobilității chistelor în timpul tusei și deglutiției.
- produc deplasarea mediastinului numai în cazurile în care prezintă dimensiuni mari.
- de obicei sunt uniloculare

- chistele multiloculare prezintă incizuri pe contururi determinate de fenomene inflamatorii asociate
- diagnosticul diferențial cu procese adenopatice mediastinale este dificil.

Chistele bronhice

- derivă din diverticulii traheei ; în cazul în care chistul bronșic nu are legătură cu traheea se realizează aspectul pseudotumoral, formațiunea conținând lichid.
- în cazurile în care există comunicare cu traheea chistele conțin aer
- pe peretele chistului se pot depune săruri calcare
- radiologic apar ca opacități rotunde situate în mediastinul anterior.
- în unele cazuri prezintă mobilitate în cursul tusei și deglutiției

Chistele pericardice

- derivă din pericard, comunicând cu cavitatea pericardică
- radiologic, prezintă aspectul de opacități cu margini nete, care fac corp comun cu imaginea cordului, de care nu pot fi disociate
- forma lor se modifică în raport cu amplitudinea respirației
- nu prezintă mobilitate în timpul tusei și deglutiției

7.1.5.1.3. Procese patologice ale etajului inferior al mediastinului anterior**Chistele pleuro-pericardice**

- au sediul supradiafragmatic para-cardiac drept, din profil proiectându-se în sinusul costofrenic anterior, suprapunându-se peste marginea cordului
- radiologic opacitatea este omogenă, iar conturul este rotunjit sau poliedric.
- imaginea se poate modifica în raport cu mișcările respiratorii.

Diverticulii pericardici

- formațiuni de origine pericardică ce fac corp comun cu pericardul, având peretele cu aceeași structură cu a pericardului, iar conținutul aeric sau lichidian
- dimensiunea diverticulului este diferită, uneori având un diametru de 8-9 cm
- radiologic: o opacitate omogenă, de intensitatea imaginii cordului, cu contur extern regulat, convex, bine delimitat
- imaginea nu se poate detașa de silueta cordului
- imaginea își modifică aspectul în funcție de inspir și expir (semnul lui Jansson)
- în inspir diverticulul se alungește și se îngustează, iar în expir, se scurtează și se lărgeste
- kinografic se constată pulsații de transmisie, croșetele fiind asemănătoare pe conturul diverticulului cu cavitățile cardiace adiacente
- diverticulul pericardic nu are tendință de creștere, aspectul radiologic modificându-se numai în cazul apariției unor complicații (inflamații, hemoragii).

Pericardita închistată

- clinic poate produce sindromul de iritație sau de compresie mediastinală, iar în antecedentele bolnavului se reține un episod clinic pericardic
- examenul radiologic pune în evidență prezența unei opacități intense, omogene, cu contur extern convex, care face corp comun cu opacitatea cordului, față de care nu se poate departaja la examenele în incidențe diferite

- conturul poate prezenta mici neregularități, datorită aderențelor pericardice ; în unele cazuri se pot decela calcificări pericardice iar la examenul radioscopic televizat semnul Jansson este absent.

Anevrismul cardiac

- apare pe fondul unui infarct miocardic
- radiologic : dilatație circumscripă a peretelui unei cavități cardiace
- examenul radiologic relevă o bombare limitată a conturului cordului, cu pulsații diminuate ;
- chimografic se decelează croșete cu caracter paradoxal în zona anevrismului.

Pleurezia mediastinală antero-inferioară

- radiologic se evidențiază opacitatea triunghiulară, de intensitate mare cu vârful în hil și baza pe diafragm
- structura omogenă
- conturul extern liniar bine delimitat

Hernia diafragmatică

- hernia colonului prin fantele Larrey se manifestă ca o opacitate cu structură omogenă sau neomogenă, situată în regiunea sinusului cardio-diafragmatic anterior
- examinarea radioscopică evidențiază caracterul particular al acestei hernii reprezentat de labilitatea imaginii radiologice în cursul examinării.
- examenul irigoscopic precizează diagnosticul și pune în evidență colonul opacefiat herniat trans-diafragmatic în cavitatea toracică.

7.1.5.2. Procesele patologice ale mediastinului mijlociu**Tumorile maligne traheo-bronșice**

- neoplasmul este situat mai rar la nivelul traheii sau al bronșiilor primare, iar când există , este net mediastinal
- tumoreta se află într-o proporție mică în lumenul bronșic, în rest fiind situată mai ales în țesutul conjunctiv mediastinal
- simptomatologia clinică este oarecum precoce: *hemoptizii, dispnee, wheezing, stridor*.
- examenul radiologic trebuie să evidențieze cele două componente, intrabronșică și extrabronșică
- radiografia standard de față și de profil pune în evidență o opacitate intensă, omogenă, de dimensiuni variate, situată în zona juxtahilară, cu contur neregulat și șters, care face corp comun cu mediastinul și nu poate fi separată de acesta în nici o incidență ; dacă tumora este mică, aceasta se confundă cu opacitatea hilară care își mărește diametrul.
- radiografia cu raze dure pune în evidență diminuarea de calibru a traheii sau a bronhiei primitive
- tomografia în plan bronșic evidențiază existența formațiunii endobronșice și diminuarea de calibru
- de cele mai multe ori această localizare produce infiltrarea nervului recurent (cu răgușeală secundară) și a frenicului (cu ascensionarea diafragmului).

Chistul bronhogenetic

- chistul bronhogenetic sau disembrionul homoplastice respirator este o tumoră congenitală întâlnită în mica copilărie sub forma unui chist cu conținut lăptos sau

maroniu murdar, rotund, ovalar sau piriform, de volum variat, cu un diametru mediu de 5 cm

- localizarea este de obicei la nivel de bifurcație, dar poate fi găsit și în vecinătatea arborelui traheobronșic.
- examenul radiologic : opacitate de cele mai multe ori omogenă, rar cu nivel de lichid sau pulbere calcară la polul inferior
- conturul este precis delimitat, intensitatea mică; când este la nivelul bifurcației se observă clar pe secțiunile tomografice
- pe incidența de profil se situează în compartimentul mijlociu, însă prin creștere poate să se dezvolte spre compartimentul anterior, rar spre cel posterior
- în unele cazuri poate avea mișcări de ascensionare în deglutiție (ROBINS), sau se poate deforma în inspirație profundă (MILLER).

Chistul pleuropericardic

- denumit și disembrionom homoplastice din grupa tumorilor celomice, chistul pleuropericardic este o tumoră congenitală care apare datorită aberației în formarea cavității celomice, situată în etajul inferior al mediastinului mijlociu, cel mai frecvent în unghiul cardio-sterno-diafragmatic.
- în majoritatea cazurilor tumora este unică, dispusă mai ales în dreapta, rotundă sau ovalară, de dimensiuni foarte variate, de regulă între 5-10 cm, de aspect chistic, cu pereți subțiri, uneori comunicând cu cavitatea pericardică.
- radiologic formațiunea apare sub forma unei opacități cu contur precis, de formă rotundă sau ovalară, omogenă, permanent lipită de cord situată în unghiul sternocardiodiafragmatic.
- rar conturul este șters, formațiunea deformându-se în inspir profund.
- în caz de pneumoperitoneu chistul pleuro-pericardic se situează net supradiafragmatic, iar în caz de pneumotorace în mediastin.

Necroza țesutului grăsos pericardic

- constituie o eventualitate foarte rară
- apare la obezi, care prezintă dureri retrosternale asemănătoare cu cele din infarctul pulmonar sau cardiac
- radiografic puna de grăsime de la vârful cordului prezintă un contur șters.

Adenopatii mediastinale tumorale

Limfogranulomatoza malignă HODGKIN

- adenopatiile tumorale mediastinale sunt de obicei bilaterale, producând lărgirea opacității mediastinale
- localizarea unilaterală se constată mult mai rar și numai în perioadele de debut
- este patognomonică imaginea în fluture, simetrică datorată interesării ganglionilor mediastinali și ai hilurilor.
- aspectele radiologice sunt variate :
 - lărgirea unilaterală a mediastinului, care prezintă contur convex, cu unul sau mai mulți ganglioni măriți la nivel hilar;
 - adenopatii bilaterale cu contur policiclic;
 - opacitate în coloană realizată de formațiunile adenopatie, care deplasează extern elementele vasculare mediastinale;
 - adenopatii mediastinale cu opacități lineare spre parenchimul pulmonar.

- procesul patologic are tendința accentuată de a se extinde și de a invada mediastinul anterior, opacefiind spațiul retrosternal, uneori producându-se chiar infiltrarea sternului
- extensia spre parenchimul pulmonar și invazia pleurei au semnificația unei evoluții și a unui prognostic sumbru;
- diagnosticul pozitiv se stabilește pe baza coroborării datelor clinice și paraclinice cu datele explorărilor radiologice ; prezența unei adenopatii periferice permite efectuarea examenului histopatologic
- radioterapia de probă produce dispariția adenopatiei (mai lent decât adenopatiile din limfosarcom), acest test fiind cu semnificație diagnostică : după o doză de 1500 r la piele opacitatea diminuează semnificativ, tratamentul curativ fiind mult mai complex.

Limfosarcomul mediastinal

- este a doua tumoră malignă ca frecvență a mediastinului având predilecție pentru adolescenții de sex masculin
- examenul radiologic pune în evidență o opacitate mediastinală, cu contur neregulat sau sinuos, cu convexitate externă care se dezvoltă rapid.
- aspectele radiologice care se pun în evidență demonstrează:
 - lărgirea mediastinului bilateral, care are un contur poliarcuat ;
 - lărgirea mediastinului în formă de coloană cu contur linear ;
 - opacitate mediastinală cu aspect de butoi.
- procesul tumoral se extinde la plămân din aproape în aproape, alteori determinând metastaze pulmonare sau pleurale cu formarea de colecții lichidiene.
- radioterapia de probă determină regresivitatea rapidă a masei adenopatiei.

Reticulosarcomul mediastinal

- seamănă foarte mult cu limfosarcomul mediastinal
- evoluția este rapidă cu invazia plămânului
- radiosensibilitatea este variabilă, în general mai redusă decât a limfosarcomului și a bolii Hodgkin.

Limfomul mediastinal recidivant malign Brill-Symmers

- examenul radiologic pune în evidență adenopatii traheo-bronșice uni sau bilaterale de diferite dimensiuni, cu individualizarea ganglionilor
- adenopatia mediastinală poate fi recidivantă, iar evoluția gravă spre cașexie, cu perioade scurte de remisiune
- diagnosticul pozitiv este punctat prin evidențierea granulomatozei gigante foliculare maligne.

Adenopatiile din limfoleucoze

- radiologic se pot constata mai multe aspecte după cum urmează :
- opacitate unică sau multiplă, cu diametrul de 1-3 cm, fără fuzionare ;
- lărgire difuză a opacității mediastinale, cu contur imprecis, fără aspecte de compresiune ;
- adenopatii hilare bilaterale izolate ;
- adenopatie unilaterală.

Adenopatiile mediastinale maligne metastatice

- implică în mod obligatoriu prezența în antecedentele bolnavului a unui cancer primar : bronșic, esofagian, mamar, gastric
- examenul radiologic nu pune în evidență particularități ale opacităților
- radiosensibilitatea este variată, în raport cu caracterul tumorii primare.

Adenopatii mediastinale inflamatorii**Tuberculoza gangliobronșică**

- forma tumorală a tuberculozei gangliobronșice determină radiologic în raport cu grupa ganglionară afectată opacități cu contur uni sau poliarcuat, de obicei unilateral, cu contur net delimitat, care fac corp comun cu opacitatea mediastinală.
- în cazul apariției periadenitei, conturul devine imprecis
- din mediastinul mijlociu, se poate invada mediastinul posterior ; în cazul coexistenței unui focar pulmonar, intră în discuție etiologia bacilară.
- diagnosticul pozitiv și diferențial se stabilește în strânsă legătură cu contextul clinic de evoluție și cu celelalte examinări paraclinice, în care intradermoreacția pozitivă la tuberculină are un rol important

Sarcoidoza pulmonară sau boala Besnier-Boeck-Schaumann

- la examenul radiologic sarcoidoza pulmonară este caracterizată prin prezența unor opacități adenopatic bilaterale, mai rar unilaterale, la care se asociază leziuni parenchimotoase, nefiind exclusă posibilitatea unor leziuni în oase, ficat, tegumente etc.
- procesul patologic interesează orice țesut din organism, caracter ce i-a determinat pe mulți autori să considere sarcoidoza o boală din grupa colagenozelor, fără a avea un caracter autoagresiv.
- localizarea toracică a sarcoidozei recunoaște trei forme : mediastinală pură, mediastino-pulmonară și pulmonară pură
- forma mediastinală pură reprezintă primul stadiu al bolii, fiind reprezentată de o hipertrofie ganglionară hilară cu corpusculi sarcoidotici
- radiologic adenopatia realizează o opacitate hilară, la început unilaterală, de dimensiuni modeste, ovalară sau policiclică, net conturată, opacitate care crește în dimensiuni și în intensitate și în maximum 3 luni devine bilaterală, dar nu obligatoriu simetrică
- opacitatea crește continuu până ajunge la forme tumorale, după care urmează o perioadă de stagnare
- pot apare de foarte multe ori calcificări marginale în **coajă de ou**
- evoluția este lentă și adesea spontan regresivă după 1-2 ani, sau poate trece în stadiul al doilea, cu apariția unor modificări parenchimotoase, concomitent cu scăderea în dimensiuni a maselor ganglionare
- este de reținut reacția Nickerson-Kwein-Siltzbach care este pozitivă și specifică pentru această boală
- diagnosticul diferențial radiologic este foarte dificil de făcut, plin de o mare responsabilitate, trebuind să pună în discuție limfosarcomul, boala Hodgkin, limfomul giganto-folicular, adenopatia din tuberculoză, din unele boli infecto-contagioase etc.

Adenopatiile mediastinale inflamatorii acute

- radiologic se pun în evidență hipertrofii ganglionare limfatice, cu contur net, regulat, care au tendința de a regresa spontan, fapt evidențiat de diminuarea netă a dimensiunilor în interval de 7-14 zile
- o caracteristică importantă este dată de existența unghiurilor ascuțite situate între ganglioni și structurile anatomice normale.

Adenopatiile sindromului Loffgren

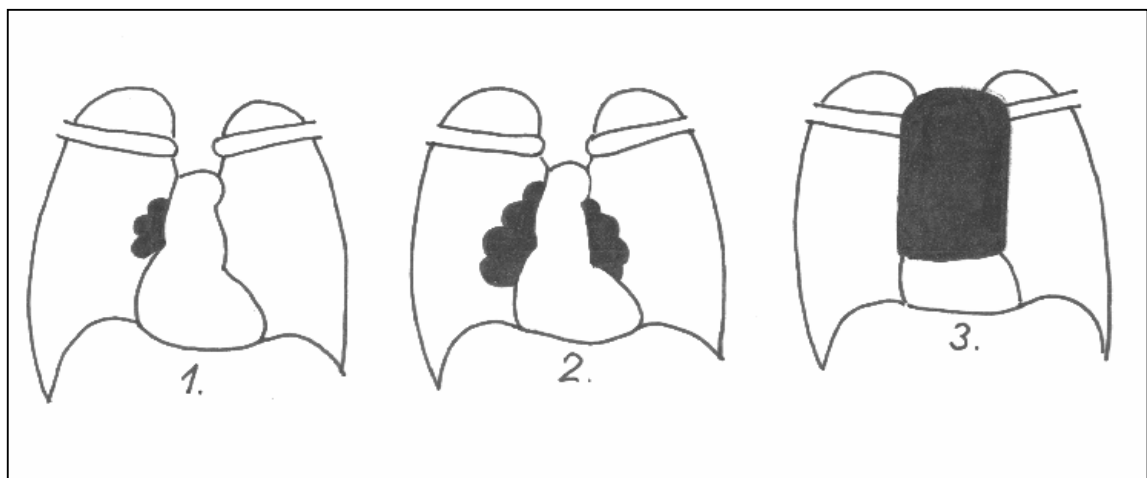
- este caracterizat de triada **adenopatii, eritem nodos și artralгии**
- debutează cu erupție cutanată, urmată de artralгии
- adenopatiile sunt unice sau multiple, cu un contur net delimitat, unghiul de unire al ganglionilor fiind ascuțit
- evoluția este regresivă, pe parcursul a câtorva săptămâni.

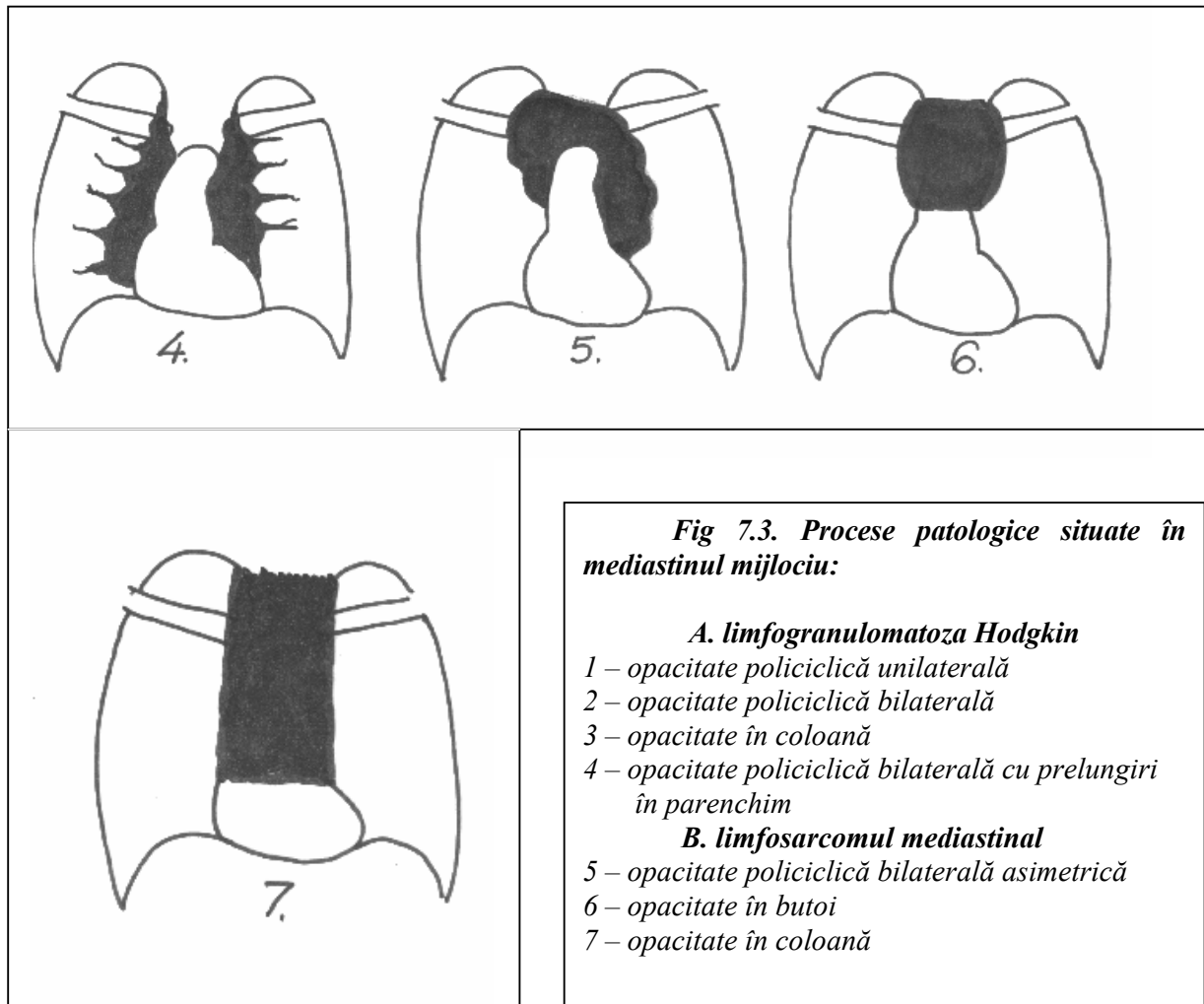
Adenopatia din tuberculoza secundară

- constituie o eventualitate extrem de rară, apariția ei fiind legată de stadiul de alergii tuberculoasă al adultului, de cele mai multe ori și cu alte localizări ganglionare tuberculoase
- este mai frecventă la adulții tineri, cu un tablou clinic necaracteristic
- examenul radiologic relevă imaginea unei adenopatii fără semne patognomonice, de dimensiuni variate, cu contur net, ovalară sau polilobată, mai ales unilaterală
- vom mai găsi și alte leziuni tuberculoase în stadii diverse de evoluție, de foarte multe ori cu calcificări.

Alte adenopatii mediastinale

- adenopatiile în cursul infecțiilor pulmonare acute sau cronice se pot constata în unele bronhopneumonii, infecții virotice, micoze, la unii cardiaci
- adenopatiile din pneumoconioze prezintă foarte frecvent calcificări în coajă de ou
- adenopatiile din bolile dismetabolice pot apare în unele dereglări metabolice cum ar fi xantomatoza, fibroza chistică de pancreas etc.
- adenopatia hiperplazică (Castelman) este de origine necunoscută ; apariția ei este marcată de o opacitate mică, solitară hilară sau paratraheală, cu contur net sau lobulat, fără calcificări, dar de dimensiuni ce pot ajunge până la forme tumorale.





7.1.5.3. Procese patologice ale mediastinului posterior

Tumori nervoase (disembrioame homoplastice nervoase)

- toate au sediul în mediastinul posterior, mai precis în șanțurile costo-vertebrale.

tumori nervoase se pot divide în trei grupe:

- tumori având punctul de plecare din nervii periferici : neuro-fibromul, neurilemomul, având origine din țesutul endoneural, respectiv din teaca lui Schwann, schwanomul malign (neurofibrosarcomul) ce poate fi primar malign; acest grup de tumori poate fi asociat cu neurofibromatoza Recklinghausen
 - tumori care iau naștere din ganglionii simpatici, ganglio-neuromul și neuroblastomul (simpaticoblastomul) ; primul este benign iar celelalte două maligne
 - tumori care apar din celule paraganglionare : feocromocitomul și paragangliomul (chemodectomul), care amândouă pot fi benigne sau maligne, având punctul de pornire din sistemul simpatic sau parasimpatic
- la explorarea radiologică, se constată prezența unor opacități rotunde sau ovalare, dispuse în șanțurile costo-vertebrale, în orice loc de-a lungul colanei dorsale, având dimensiuni variate de la 2-3 cm până la 15-20 cm diametru în formele gigante

- conturul este precis delimitat, structura este omogenă, uneori cu calcificări în interiorul tumorii.
- în unele situații neurofibromul poate da aspect în ceas de nisip, porțiunea din canalul medular fiind mult mai mică, cu gaura de conjugare lărgită
- tumorile nervoase pot produce eroziuni costale sau vertebrale prin lezarea structurii datorită atrofiei prin compresie. Formele maligne diferă de cele benigne prin dinamica lor vie.

7.1.5.3.1. Procese patologice ale etajului superior al mediastinului posterior

Ganglioneurinomul

- tumoră benignă care ia naștere din proliferarea elementelor conjunctive ale lanțului simpatic juxtavertebral sau ale nervilor intercostali
- examenul radiologic pune în evidență prezența unei opacități rotunde sau ovoidale, cu structură omogenă și contur net delimitată, care este agățată de coloana vertebrală, încât în orice incidență am rota bolnavul, opacitatea nu își modifică forma și topografia
- dimensiunile variază de la 3-4 la 8-9 cm în lungime și 3-4 cm în lățime, iar sediul este variabil, mai frecvent în regiunea suprahilară
- tumora produce compresiunea arcurilor costale posterioare și a corpurilor vertebrale de vecinătate, traduse radiologic prin leziuni de structură de tipul atrofiei prin compresie
- arcurile costale posterioare sunt subțiate, erodate, deformate și îndepărtate ; corpii vertebrale adiacenți tumorii au gaura de conjugare lărgită, iar pediculii vertebrale erodați.

7.1.5.3.2. Procese patologice ale etajului mijlociu al mediastinului posterior

Abcesul rece din tuberculoza vertebrală sau boala POTT

- examenul radiologic în incidența de față pune în evidență prezența unei opacități rotunde sau fusiforme, cu contururi bine delimitate, proiectată pe unul sau pe ambele margini ale mediastinului.
- pe imaginea de profil se constată proiectarea opacității peste coloana vertebrală;
- tot examenul radiografic relevă celelalte semne radiologice caracteristice tuberculozei vertebrale : osteoporoza și osteoliza centrate pe un cuplu vertebral, tasarea corpurilor vertebrale afectați, pensarea și apoi dispariția spațiului intervertebral, neregularități de contur ale spațiului articular, modificări de ax și de poziție ale corpurilor vertebrale afectați, cu formarea de ghibus.

Meningocelul

- este reprezentat printr-o hernie leptomeningelui printr-o gaură de conjugare, fiind unic sau multiplu, unilateral sau bilateral.
- examenul radiologic este total asemănător cu cel al tumorilor nervoase, dar gaura de conjugare este lărgită ; diagnosticul este tranșat de examenul mielografic cu contrast pozitiv, când substanța de contrast trece și în meningocel.

Megaesofagul

- radiologic, la examenul în plan frontal se pune în evidență o lărgire a mediastinului pe conturul drept, iar pe profil se constată voalarea spațiului clar retrocardiac

- administrarea de contrast opac evidențiază calibrul extrem de mărit al esofagului, care conține resturi alimentare, lichid de hipersecreție, realizându-se un aspect mlăștinos, neomogen al esofagului.

Diverticolul esofagian

- constituie un plus de umplere (diverticulum=deviere), situat în orice regiune a esofagului de la gura lui Kilian până la cardie, putând să fie de pulsione, de tracțiune și micști (vezi patologia esofagiană).

Cancerul esofagian

- examenul cu suspensie baritată pune în evidență semne tipice de neoplasm localizat în treimea inferioară a esofagului : stenoză excentrică a esofagului, contur imprecis, neregulat, semiton malign, relief anarhic, amputare de pliuri, invazia organelor de vecinătate etc.

7.1.5.3.3. Procese patologice ale etajului inferior al mediastinului posterior

- hernia hiatală a stomacului se poate evidenția prin opacifierea mediastinului postero-inferior, în special după administrarea de contrast opac (vezi patologia diafragmului).

7.2. RADIODIAGNOSTICUL DIAFRAGMULUI

7.2.1. Anatomie radiologică

- entitate anatomică ce separă toracele de abdomen
- formă arcuită, cu convexitatea orientată cranial
- două părți esențiale:
 - hemidiafragmul drept (situat mai sus decât cel stâng cu 1-3 cm)
 - hemidiafragmul stâng, care de obicei este mai bine vizibil datorită contrastului creat de transparența pulmonară supradiafragmatică și de camera cu aer a stomacului și unghiul splenic al colonului destins aeric, situate subdiafragmatic
- poziție dependentă de:
 - fazele respirației (inspir/expir)
 - elasticitatea pulmonară
 - poziția corpului
 - presiunea abdominală
- prezintă diverse variante anatomice
- poziție înaltă cauzată de:
 - procesele inflamatorii pleuro-pulmonare
 - tumori toraco-mediastino-pleuro-pulmonare
 - procese inflamatorii cu punct de plecare abdominal
- însoțite de reacție pleurală și peritoneală \Rightarrow pareză diafragmatică (legea lui Stokes), la care se asociază hipomobilitatea respiratorie sau chiar mișcări paradoxale, când urcă în inspir și coboară în expir, în:
 - ascită
 - tumori abdominale
 - atelectazie
 - scleroză pulmonară

- coborât sau în poziție joasă în:
 - emfizem
 - astm bronșic
 - tetanos etc., când mobilitatea diafragmatică este redusă

7.2.2. Relaxarea diafragmatică

- sinonime: insuficiență, elevare sau eventrație diafragmatică
- dată de poziția înaltă a unui hemidiafragm care prezintă o structură alterată datorită fenomenelor degenerative musculare, care dau naștere unui hemidiafragm subțiat
- cauze:
 - congenitale
 - câștigate: paralizia de nerv frenic de cauză traumatică
- relaxarea diafragmatică parțială
 - aspect “în cupă”
 - interesează numai o porțiune dintr-un hemidiafragm
 - se produce prin împingerea în sus a unei bule diafragmatice, de obicei de către colonul destins aeric
- relaxare diafragmatică tranzitorie în:
 - tuberculoza pulmonară - unul dintre hemidiafragme are diminueată poziție normală, pentru ca la sfârșitul zilei să fie ascensionat și hipomobil

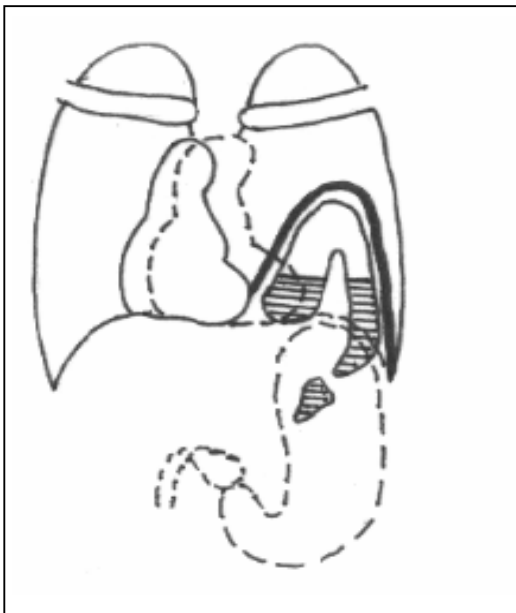


Fig. 7.4. Eventrația (relaxarea diafragmului), (linia punctată reprezintă situația normală).

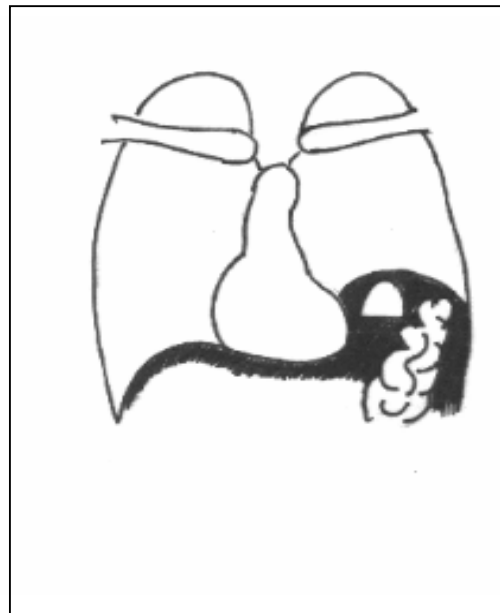


Fig. 7.5. Eventrația stomacului și unghiului splenic al colonului, cu deplasarea parțială a cordului.

7.2.3. Hernia diafragmatică

- ascensionarea intratoracică a unui organ abdominal reprezentat de camera cu aer a stomacului, colonul și intestinul subțire, etc., care se pot produce prin hiatusul esofagian, prin punctele de minoră rezistență și prin plăgi traumatice
- punctele de minoră rezistență diafragmatice:
 - **foramenele Morgagni (dispuse median retrosternal)**
 - **fantele lui Larrey (dispuse lateral retrosternal)**
 - **foramen magnum a lui Bochdaleck (dispus paravertebral stâng)**
- imagini aerice sau hidroaerice situate intratoracic
- examinarea cu contrast radioopac (pasaj baritat și/sau clismă baritată) stabilesc cu certitudine segmentul digestiv herniat
- evidențiază totodată întreruperea conturului diafragmatic \Rightarrow în această situație se impune diferențierea de relaxarea diafragmatică, situație în care diafragma nu este întrerupt, are conturul păstrat și este situat deasupra organului abdominal ascensionat
- clasificarea (după Ackerlund) herniilor hiatale produse prin hiatusul esofagian:
 - **hernia hiatală prin brahiesofag**
 - esofagul scurt congenital este tracionat în cavitatea toracică
 - **tipul Ackerlund I**
 - **hernia hiatală prin alunecare (axială)**
 - hernierea intratoracică prin hiatus a porțiunii eso-cardio-tuberozitare
 - cel mai des întâlnită în practica medicală
 - punga peritoneală situată într-un sac herniar
 - **tipul Ackerlund II**
 - **hernia hiatală prin rostogolire**
 - cauzată de hernierea unei părți a fornixului gastric în cavitatea toracică, cardia rămânând la nivel intraabdominal
 - mai rar întâlnită
 - nu are sac peritoneal ca precedenta (hernie hiatală laterală – **Ackerlund III**)
- exploarea radiologică - transparentă aerică sau hidroaerică situate supradiafragmatic și retrocardiac (din profil)
- explorarea cu substanță de contrast opacă:
 - punga de organ herniată supra-diafragmatic
 - esofagul sinuos (excepție brahiesofagul)
 - cardia alunecată sau nu deasupra diafragmului
 - pliurile de mucoasă gastrică sunt orientate convergent spre porțiunea îngustată la nivelul hernierii stomacului, când are loc modificarea unghiului His și când pot apare complicații reprezentate de refluxul gastroesofagian, esofagită și ulcerul esofagian
 - prezența inelului transparent la locul joncțiunii eso-gastrice (inel Schatzki)

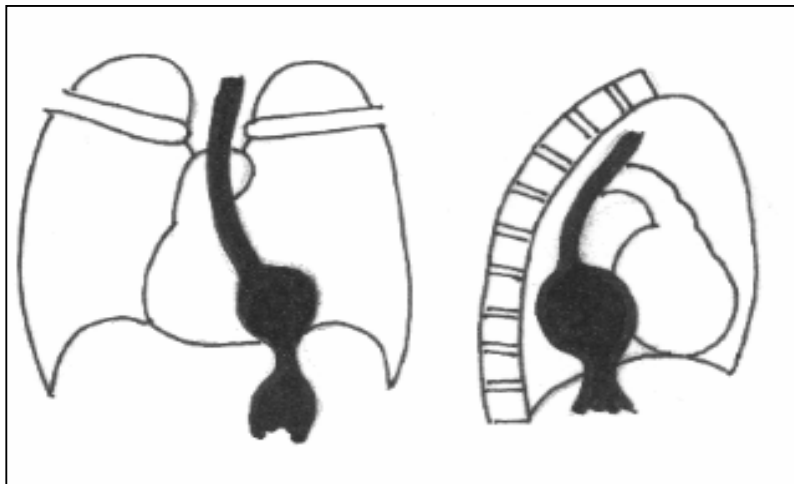


Fig. 7.6. Brahiesofag congenital cu stomac herniat parțial intratoracic – examinare în poziția Trendelenburg.

- vizualizarea herniilor mici sau intermitente la nivel hiatal - examinarea în poziție de decubit dorsal, în poziție Trendelenburg, sau în ortostatism cu anteflexia trunchiului și expir forțat pentru realizarea compresiei abdominale, probă preconizată de către Brombardt - Hillemand (poziția de legare a șireturilor, fără flexia genunchilor)

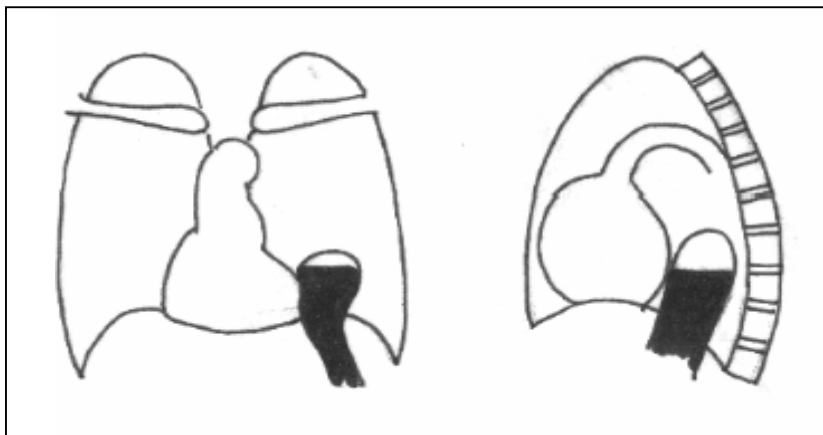


Fig. 7.7. Hernie pleuroperitoneală a stomacului prin foramen Bochdaleck

7.2.4. Interpoziția freno-hepatică de colon transvers (sindrom Chilaiditi)

- permanentă sau intermitentă
- cauzată de hepatoptoză cu hernierea concomitentă a colonului în spațiul creat
- examenul radiologic simplu:
 - imagini aerice sau hidroaerice subdiafragmatic drept
 - mobilitatea diafragmatică păstrată
 - hemidiafrag drept este ascensionat
 - sub el se pot observa haustrațiile și conturul boselat al colonului

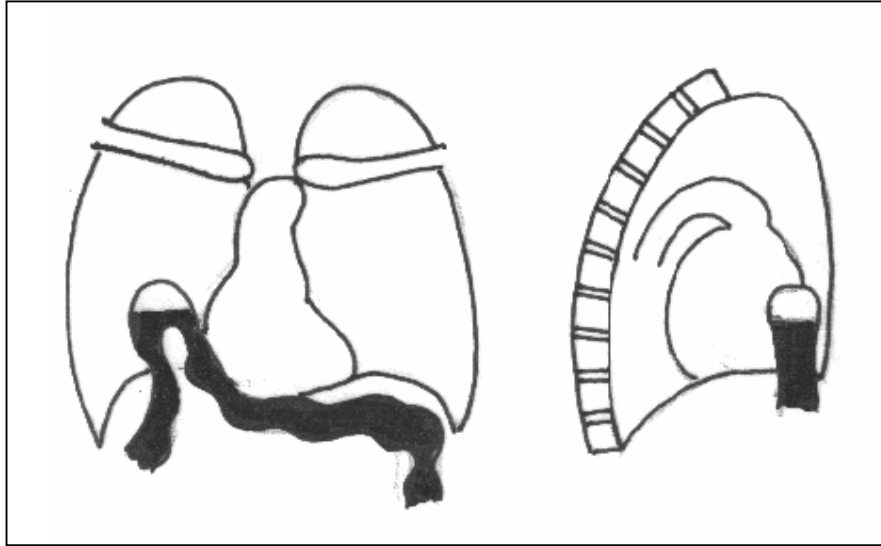


Fig 7.8. Hernie intratoracică a colonului opacefiat cu contrast prin orificiul lui Morgagni (hernie parasternală)

- explorarea prin clismă cu contrast opac precizează clar diagnosticul
- diagnosticul diferențial radiologic:
 - pneumoperitoneul
 - transparență aerică semilunară
 - uniformă
 - subdiafragmatică
 - abcesul subfrenic

7.2.5. Abcesul subfrenic

- proces inflamator supurativ subdiafragmatic
- explorarea radiosopică televizată:
 - ascensionarea hemidiafragmului, care este imobil
 - imagine hidroaerică vizibilă după vomă
 - uneori exudat pleural la baza pulmonară respectiv
- diagnosticul diferențial radiologic:
 - pneumoperitoneul
 - interpoziția freno-hepatică de colon

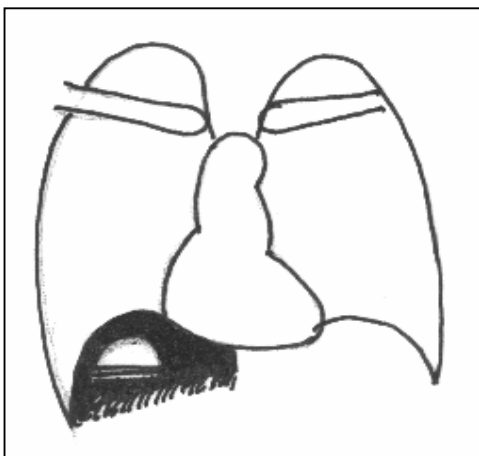


Fig 7.9. Imagine hidro-aerică subdiafragmatică proiectată pe opacitatea ficatului – abces subfrenic

- camera cu aer a stomacului
- gazele din colon dispuse subdiafragmatic

7.2.6. Megadiafragmul

- relaxarea unui diafragm hipertrofic
- examenul radiosopic televizat: apare ca un arc îngroșat

LUCRAREA PRACTICĂ NR. 8

8. RADIODIAGNOSTICUL TUBULUI DIGESTIV (I)

**8.1. Pregătirea generală a bolnavului pentru
examenul radiologic al tubului digestiv**

**8.2. Tehnica examinării radiologice a tubului
digestiv**

8.3. Radiodiagnosticul faringelui și esofagului

8. RADIODIAGNOSTICUL TUBULUI DIGESTIV

- examenul radiologic - în prezent cea mai valoroasă metodă de investigație
- permite obținerea unor date de ordin funcțional și morfologic
- indicațiile examenului radiologic:
 - diagnosticul malformațiilor tubului digestiv
 - prezența corpurilor străini
 - diagnosticul bolii ulceroase
 - diagnosticul tumorilor
 - diagnosticul suferințelor cronice digestive

8.1. Pregătirea generală a bolnavului pentru examenul radiologic al tubului digestiv

- precedată evacuarea conținutului intestinal prin clismă sau purgative
- prepararea substanțelor de contrast, deoarece tubul digestiv nu dă contrast natural față de segmentele și țesuturile din jur, el având în general același coeficient de absorbție al radiațiilor X ca și organele de vecinătate
- bolnavul nu va consuma micul dejun, deoarece resturile alimentare amestecate cu contrast produc imagini pseudo-tumorale.

8.2. Tehnica examinării radiologice a tubului digestiv

- examenul radiologic - întotdeauna în concordanță și în strânsă legătură cu datele anamnestice și contextul clinic de evoluție al suferinței bolnavului examinat
- examen radiosopic simplu televizat fără substanță de contrast, cu rol orientativ:
 - examen sumar al toracelui - depistarea afecțiunii pulmonare sau mediastinale ce pot simula o suferință a tubului digestiv
 - într-un examen nativ al abdomenului - poate evidenția calculi radioopaci biliari, renali, corpi străini, perforații (aer liber subdiafragmatic), ocluzii (nivele hidro-aerice)
- examenul cu substanță de contrast radioopacă - se execută în etape:
 - examinarea „în strat subțire” - studierea reliefului mucoasei
 - examinarea în semiumplere - forma, dimensiunile, conturul și peristaltismul tubului digestiv
 - examinarea în umplere completă - pune punct final explorării
- administrarea contrastului oral - bolnavul în ortostatism, în poziția OAD (optimă pentru examenul radiologic al esofagului)
- poziția Trendelenburg - utilizată pentru studiul cardiei, polului superior gastric, a unor eventuale hernii hiatale
- se examinează apoi pilorul și bulbul duodenal și duodenul până la unghiul duodeno-jejunal

Tulburările funcționale și modificările organice ale unui segment al tubului digestiv	
A. Tulburări de ordin funcțional <ul style="list-style-type: none"> • aspecte de umplere al unui segment al tubului digestiv <ul style="list-style-type: none"> ▪ umplerea stomacului normoton ▪ umplerea stomacului hipertonic ▪ umplerea stomacului hipoton • tulburări de tonus <ul style="list-style-type: none"> ▪ hipertonicie ▪ hipotonie ▪ atonie • tulburări de peristaltică <ul style="list-style-type: none"> ▪ hiperkinezie ▪ hipokinezie ▪ akinezie • tulburări de evacuare <ul style="list-style-type: none"> ▪ evacuare accelerată ▪ evacuare încetinită • tulburări ale secreției <ul style="list-style-type: none"> ▪ hipersecreție ▪ lipsa secreției 	B. Modificări de ordin organic <ul style="list-style-type: none"> • modificări de poziție și situație ale unui segment al tubului digestiv <ul style="list-style-type: none"> ▪ ptoză ▪ alungire ▪ volvulus ▪ amprentare ▪ deplasare ▪ tracționare • modificări de mobilitate <ul style="list-style-type: none"> ▪ normală ▪ anormală • modificări de dimensiune <ul style="list-style-type: none"> ▪ mărire în dimensiuni: localizate, circumscrise și difuze ▪ micșorare în dimensiuni: circumscrisă și difuză • modificări de contur <ul style="list-style-type: none"> ▪ rigiditate: benignă sau malignă ▪ plus de umplere <ul style="list-style-type: none"> - nișa - diverticuli - relaxările - aderențele ▪ minus de umplere <ul style="list-style-type: none"> - lacuna - ancoșă - incizura ▪ modificări de relief <ul style="list-style-type: none"> - dimensionale: hipertrofie, atrofie - de orientare <ul style="list-style-type: none"> ◆ convergență ◆ amprentare ◆ deviere ◆ amputație

8.3. Radiodiagnosticul faringelui și esofagului

8.3.1. Anatomia radiologică a faringelui

- formă de pânză
- rol în respirație și în digestie
- situat în fața coloanei vertebrale și în spatele foselor nazale, a cavității bucale și a laringelui
- superior este delimitat de către baza craniului
- inferior se întinde până la strâmtoarea faringo-esofagiană sau gura esofagului (Killian), până în dreptul celei de-a 6 - a vertebre cervicale
- permite comunicarea foselor nazale cu laringele și a cavității bucale cu esofagul
- 3 părți componente ale cavității faringiene:
 - superior - **rinofaringele**
 - mijlociu - **orofaringele**
 - inferior - **hipofaringele**

8.3.2. Anatomia radiologică a esofagului

- situat în continuarea hipofaringelui
- începe cu strâmtoarea faringo-esofagiană proiectată pe C₆ (în dreptul cartilajului cricoid)
- se termină la orificiul cardia (ce se proiectează pe partea stângă a vertebrelor D₁₁ - D₁₂)
- lungime medie, la adult, de 25 cm
- calibru de 2-3 cm
- trei segmente:
 - segmentul cervical
 - segmentul toracic
 - segmentul abdominal
- patru strâmtoări fiziologice în dreptul cărora tranzitul este încetinit, unde se pot întâlni selectiv procese inflamatorii și tumorale și pot staționa corpuri străini esofagieni (radio-transparenți sau radioopaci):
 - strâmtoarea **faringo-esofagiană** (gura lui Killian)
 - strâmtoarea **aortică** - în dreptul corpului vertebral D₄ aorta amprentează marginea stângă a esofagului (aici se măsoară diametrul aortei prin metoda Kreuzfuchs)
 - strâmtoarea **bronșică** - datorată bronhiei stângi care încrucișează esofagul și lasă o amprentă pe fața anterioară a acestuia; este o strâmtoare mai puțin pronunțată și se vizualizează prin examen radiologic în incidența AOD;
 - strâmtoarea **diafragmatică** situată în dreptul corpului vertebral D₁₀ la aproximativ 2 cm în stânga liniei mediane
- hiatusul diafragmatic are un calibru mai mare decât cel al esofagului ⇒ este favorabil producerii herniilor hiatale
- normal, calibrul hiatusului diafragmatic este de 1,2 - 2 cm când este relaxat și de 0,50 - 1 cm în inspir profund
- când depășește 2 cm și, în plus, dispare unghiul cardio-tuberozitar (Hiss) se poate produce hernie hiatală, reflux gastro-esofagian, esofagită de reflux sau ulcer esofagian
- deasupra diafragmului, la trecerea bolului opac, se evidențiază în mod fiziologic o lărgire a lumenului esofagian denumită ampula epifrenică - rol în progresia alimentelor din esofag în stomac
- **ampula epifrenică nu trebuie confundată cu hernia hiatală**
- esofagul abdominal este orientat oblic de la dreapta la stânga și spre anterior, fiind mai larg spre cardia
- cardia este marcată de către unghiul Hiss, iar vârful acestui unghi prezintă în interior un relief al mucoasei gastrice numit valvula lui Gubaroff
- unghiul lui Hiss și valvula lui Gubaroff împiedică refluxul gastro-esofagian
- peretele esofagului este alcătuit din trei straturi:
 - mucoasa
 - submucoasa
 - musculoasa
- esofagul abdominal are și un strat seros
- radiografic mucoasa prezintă 4-6 pliuri longitudinale care se șterg atunci când lumenul esofagian se destinde la trecerea bolului opac
- la sugar și la copilul mic faringele și esofagul reprezintă în mod miniatural anatomia adultului
- lumenul esofagian la nou născut are calibrul de 4 mm.

8.3.3. Examenul radiologic al faringelui și esofagului

- precedat de o anamneză corectă

- momentul apariției bolii
- examinări anterioare și rezultatul lor
- intervenții chirurgicale în antecedente
- examinarea radioscopică și/sau radiografică fără substanță de contrast, nativă:
 - torace și coloană vertebrale - modificări de statică și de curbură ale coloanei vertebrale
 - plămân - eventuale procese patologice ce tracionează, comprimă sau dislocă esofagul
 - cord, vase mari și mediastin - anevrisme, malformații cardiace sau ale arterei pulmonare
 - abdomen - lipsa camerei cu aer a stomacului
- contrastul radioopac
 - suspensie în apă sau dizolvat în lapte (la sugari)
 - pastă consistentă (150 gr sulfat de bariu și 30 ml apă)
- precedat de un examen radioscopic (evidențiază modificări funcționale și morfologice), apoi radiografii (țintite și de ansamblu) asupra zonei de interes

8.3.3.1. Explorarea radiologică a faringelui

- examen radiologic cu contrast opac (suspensie și pastă baritată)
- reținerea suspensiei baritate în valecule și în sinusurile piriforme reprezintă o tulburare de deglutiție sau o suferință organică
- examenul cu pastă baritată:
 - incidența de față
 - hipofaringele se alungește și se destinde la trecerea bolului opac
 - laringele se ridică și în mijlocul coloanei baritate apare un defect de umplere
 - marginile laterale ale faringelui sunt bine conturate, netede și ușor convexe în afară
 - profil
 - hipofaringele are formă de pâlnie, prezentând anterior o depresiune (amprenta cartilajului cricoid) în dreptul C₅ - C₆
 - în continuare, la examen în incidența de față se opacefiază valeculele (despărțite de șanțul glosopiglotic) și sinusurile piriforme (separate de transparența centrală a laringelui)
- proba Valsalva (expir forțat cu glota închisă, după inspir forțat) evidențiază:
 - diverticuli faringo-esofagieni (Zenker) în faza incipientă;
 - tumori ale hipofaringelui și ale gurii esofagului;
 - normal, în timpul acestei probe, pereții faringelui se destind, sinusurile piriforme se destind de asemenea, iar tranzitul bolului se încetinește;

8.4.3.2. Explorarea radiologică a esofagului

- începe cu suspensie baritată;
- executat în ortostatism, în incidențe de față, de profil și oblice (OAD, OPS);
- esofagul toracic se examinează mai bine în incidențele oblice (OAD și OPS);
- pentru încetinirea tranzitului bolnavul poate fi examinat în decubit și în Trendelenburg; poziții care facilitează evidențierea herniei hiatale și a refluxului gastro-esofagian;
- relieful mucoasei se evidențiază bine cu pastă baritată; proba cu apă sau cu bariu foarte diluat, administrate sub forma a 2-3 înghițituri, produce destinderea pereților esofagului;
- dacă peretele este infiltrat tumoral nu se destinde față de segmentele învecinate;
- în inspir se încetinește tranzitul baritat și se vede ampula epifrenică care este în poziție axială și se evacuează complet, în mod normal ;

- manevra Valsalva produce, de asemenea, încetinirea tranzitului esofagian, ceea ce permite o examinare prelungită;
- **tehnica Brombart-Hillemand :**
 - efectuată după ce esofagul a fost examinat cu substanță de contrast și stomacul s-a umplut;
 - bolnavul este așezat în incidență laterală stângă și flectează trunchiul la 90° astfel încât să atingă cu degetele mâinii încălțăminte, fără a îndoi genunchii (poziția de legare a șiretului);
 - pentru a evidenția o eventuală hernie hiatală bolnavul face și un inspir forțat;
 - cu această ocazie refluxul gastro-esofagian se produce mai ușor, crescând presiunea intra-abdominală și intragastrică și devine evidentă o eventuală hernie hiatală;
 - varicele esofagiene devin mai proeminente;
- examenul radiologic la nou născut și la sugar se face cu o cantitate redusă de suspensie opacă (1-2 linguri) după ce în prealabil au fost înfometați timp de 2-3 ore, adăugată la un biberon de lapte sau ceai;
- amestecul poate fi introdus printr-o sondă nazofaringiană;
- examinarea stenozelor postcaustice la copilul mic se face cu substanță de contrast iodată (când există suspiciune de fistulă);

8.4.4. Malformațiile congenitale ale esofagului

8.4.4.1. Atrezia esofagiană

- introducerea prin sonda Nelaton a substanței de contrast iodată
- executarea de radiografii de față și profil
- se pune în evidență fundul de sac care se formează frecvent în segmentul toracic al esofagului
- în cazul că există și fistulă esofago-traheală sau esofago-bronșică se opacefiază și arborele respirator malformație rareori compatibilă cu viața

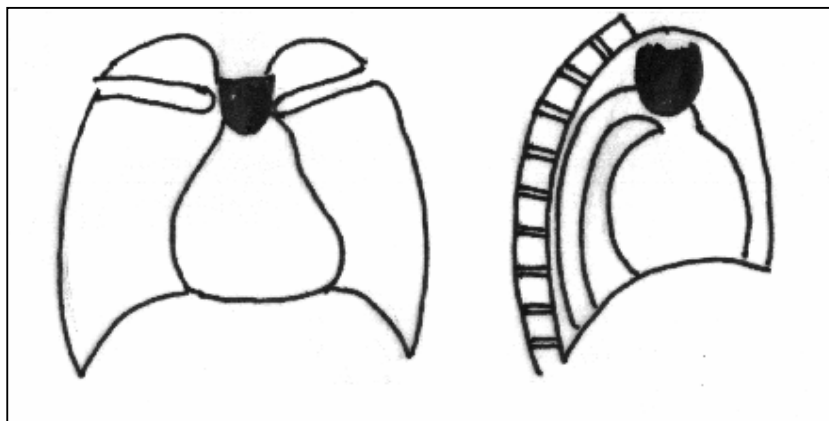


Fig. 8.1. Atrezie esofagiană în incidență de față și de profil: stop total al contrastului, cu realizarea aspectului “în deget de mână”.

8.3.4.2. Duplicația esofagului (diesofagul)

- malformație foarte rară;
- radiologic - două imagini de esofag, paralele, dintre care unul are aspect chistic;
- uneori între ele pot exista comunicații;

8.3.4.3. Esofagul scurt congenital (brahiesofagul)

- esofagul abdominal și cardia au poziție ectopică, intratoracică, uneori împreună cu polul superior gastric
- se însoțește frecvent de aplazia parțială a diafragmului sau de malformații congenitale ale hiatusului diafragmatic
- uneori cardia se află la nivelul corpului vertebral D₇
- clinic, sugarul prezintă regurgitații și evacuarea laptelui “în jet”, alteori vărsăturile încep odată cu alimentația mixtă și apar imediat după mese, fără efort
- radiologic - aspectul de esofag scurt
- supradiafragmatic se văd pliurile mucoasei gastrice
- în decubit se produce reflux gastro-esofagian
- conform clasificării lui Akerlund brahiesofagul reprezintă primul tip de hernie hiatală
- unghiul cardiotuberozitar Hiss lipsește sau este situat intratoracic
- situație rară - esofag de aspect exterior și lungime normală, dar mucoasa esofagiană este scurtă și acompaniată de mucoasa gastrică, în segmentul intratoracic al esofagului; aceasta secretă suc gastric și la sugari sau la copii mici apar manifestări clinice de esofagită

8.3.4.4. Malpozițiile cardiotuberozitare

- cardia mobilă
 - subdiafragmatic sau supradiafragmatic
 - atrage pliurile mucoasei gastrice în torace
 - în relaxarea cardio-tuberozitară, cardia este larg deschisă ca în acalazie, unghiul Hiss apare lărgit, cu esofagul abdominal hipoton
 - important să se execute radiografii în incidență de față atunci când substanța de contrast trece la acest nivel

8.3.4.5. Stenozele congenitale

- malformații care se datoresc prezenței de diafragme membranoase în interiorul lumenului esofagian când stenozele pot fi complete sau incomplete
- cele complete sunt incompatibile cu viața dacă nu se intervine operator
- stenozele incomplete - diagnosticul se stabilește după câteva luni de viață sau mai târziu, când se evidențiază stenoza și dilatarea suprajacentă

8.3.5. Dilatațiile esofagului

- generalizate și localizate

A. Dilatații generalizate:**8.3.5.1. Atonia esofagului**

- frecvent în sclerodermie
- tulburare funcțională
- esofagul este ușor dilatat și lipsit de peristaltism
- bolul opac curge continuu asemănător curgerii printr-un tub rigid

8.3.5.2. Megaesofagul

- cauză congenitală sau dobândită
- cauzele de natură funcțională:
 - relaxarea incompletă a joncțiunii eso-gastrice
 - lipsa de relaxare – acalazia
- cauzele organice:
 - ulcer

- cancer
- cicatrici etc.
- esofagul este dilatat și lărgeste opacitatea mediastinală spre dreapta, evidentă la examenul radiologic din față

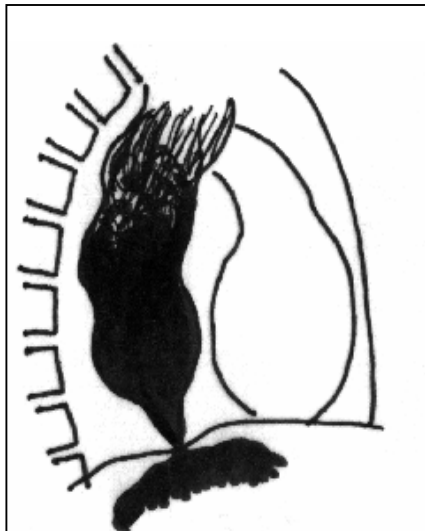


Fig. 8.2. Megaesofag fusiform. :
*lumen îngustat treptat până la cardia,
 lungimea și traiectul identice cu ale
 esofagului sănătos*

- lichidele alimentare de stază produc nivel hidroaeric la examenul în ortostatism
- administrarea substanței de contrast inomogenizează lichidul de stază sub formă de flocoane și sedimentează decliv, realizând un “aspect mlăștinos”
- esofagul prezintă în extremitatea inferioară calibru îngustat treptat spre cardie, prin care substanța de contrast trece încet
- dacă esofagul are și lungimea și calibrul mai mare decât normal, vorbim despre **megadolicoesofag**:
 - dilatarea și alungirea esofagului
 - devine sinuos
 - segment vertical paralel cu coloana vertebrală
 - segment orizontal, culcat pe diafragm și îngustat progresiv, filiform, spre cardie (datorită hipertrofiei musculaturii esofagiene)
 - tratament: operația Heller (secționarea longitudinală a musculaturii hipertrofiate)

8.3.5.3. Cardiospasmul

- frecvent confundat cu acalazia, mai des când este însoțit de megadolicoesofag
- cauzat de contracțiunile complete, dar intermitente ale musculaturii circulare din peretele esofagian
- se produce reflex, putând fi cauzat de un ulcer esofagian, gastric sau duodenal, sau de colecistite
- la explorarea radiologică tranzitul baritat este oprit complet cât timp durează spasmul, iar când acesta cedează brusc esofagul se evacuează
- spre deosebire de cardiospasm, în acalazie și în stenozele organice (cicatrici, cancer) substanța de contrast trece în mod continuu, prin porțiunea îngustată filiform
- spasmul cedează la administrarea de antispasmodice (ex: nitrit de amil)
- în timp, se produce hipertrofia musculaturii, pe teritoriul spasmului, urmată de fibrozarea acesteia, ceea ce necesită intervenția chirurgicală (Heller)

8.3.6. Dilatațiile localizate

- reprezentate în principal de diverticuli.

8.3.6.1. Diverticulul Zenker

- se formează la nivelul peretelui posterior al joncțiunii faringo-esofagiene prin hernierea mucoasei la nivelul **spațiului triunghiular** al lui **Laimer** (corespunzător mușchiului cricofaringian), acesta fiind o zonă de minimă rezistență musculară la nivelul peretelui posterior

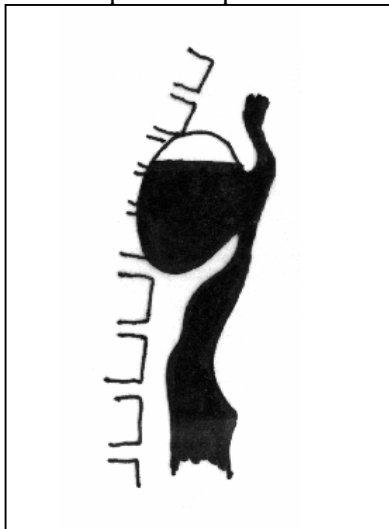


Fig. 8.3. Diverticulul de pulsione Zenker, situat pe peretele posterior faringo-esofagian.

- inițial are formă de spin sau pinten, dar cu timpul crește în dimensiuni, își schimbă forma și sediul putând atinge dimensiuni mari, cu aspect de diverticul de pulsione
- când dimensiunile sunt mici, simptomatologia este necaracteristică, dată de discretă iritare faringiană, cu hipersalivație
- cu timpul crește și produce disfagie, dureri, halenă fetidă, vărsături de resturi alimentare, scădere ponderală
- comprimă organele din jur și produce tuse, disfagie, dispnee
- dacă diverticulul crește în dimensiuni prezintă pedicol, proemină posterior și comprimă esofagul pe care îl împinge anterior
- golirea se face prin supraplin sau în anumite poziții speciale, dar numai parțial
- diverticulul poate să prezinte nivel hidro-aeric, să rețină resturi alimentare și lichid de stază, determinând inomogenizarea substanței de contrast
- puntea diverticulară este atonă și atârână de-a lungul esofagului pe care îl comprimă
- la examenul radiologic de față opacitatea mediastinului superior apare lărgită și cu nivel hidro-aeric

8.3.6.2. Diverticuli faringieni laterali

- rareori întâlniți ca plusuri de umplere ce apar pe pereții laterali ai hipofaringelui
- deseori sunt descoperiți întâmplător cu o simptomatologie clinică discretă, cu tulburări de deglutiție
- se evidențiază mai bine în faza activă a deglutiției sau în timpul probei Valsalva (are loc distensia hipofaringelui)

8.3.6.3. Diverticuli esofagului toracic

- se pot dezvolta oriunde la nivelul esofagului

- mai frecvent la bifurcația traheei sau deasupra diafragmului, unde pot fi de pulsione și de tracțiune
- **Diverticuli de pulsione**
 - se datorează slăbirii musculaturii esofagiene și hernierii mucoasei sau submucoasei prin stratul muscular (diverticuli falși)
 - când peretele diverticulului este constituit din toate straturile esofagului vorbim de diverticuli adevărați
 - se întâlnesc frecvent la persoanele în vârstă, când diverticulul apare ca un plus de umplere hemisferic ce iese din conturul esofagian și comunică cu lumenul esofagului printr-un colet scurt
 - se pot evidenția pliuri care converg și intră în diverticul

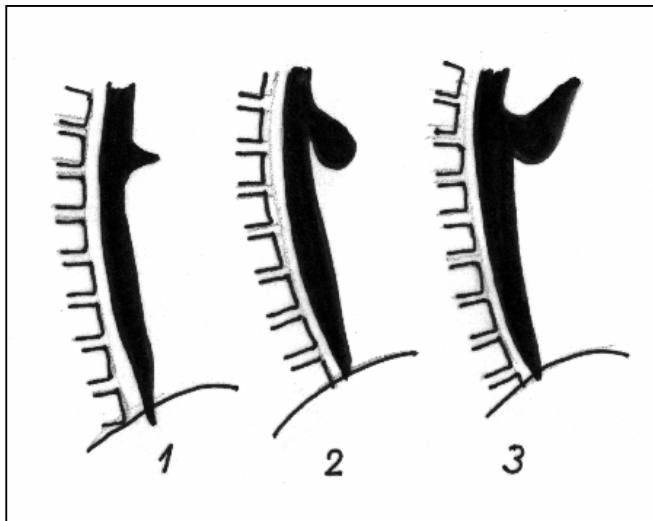


Fig. 8.4. Faze de evoluție în apariția și dezvoltarea diverticulului de pulsione :

1 – plus de umplere sub formă de “spin” ; 2 – plus de umplere hemisferic pe conturul esofagian, cu aspect în “deget de mână” ; 3 – tracționarea diverticulului de pulsione prin aderență.

- cu timpul crește, uneori prezentând o imagine hidro-aerică datorită lichidului de stază situat decliv și aerului prezent în partea superioară
- când diverticulul nu este inflammat conturul este net
- în cazul în care atârână în axul esofagului, el se poate evacua numai parțial și se complica adesea cu diverticulita, când conturul devine șters, neregulat putând apare aspectul de tracțiune al diverticulului
- **Diverticuli de tracțiune**
 - se produc prin procesele inflamatorii mediastinale, care tracționează peretele esofagian
 - sunt situați pe peretele anterior sau lateral al esofagului, mai frecvent la nivelul bifurcației traheale
 - la început au formă de spin, con sau deget de mână, evidențiindu-se bine când esofagul este plin și trece unda peristaltică
 - cu timpul se transformă în diverticuli de pulsione
 - examenul radiologic cu suspensie opacă (se prepară ceva mai consistentă); se face în incidențe multiple *de față* și *oblice* (OAD, OAS, dar mai ales OPS și OPD) evidențiind forma, localizarea exactă și complicațiile ce pot apare, reprezentate de stază, diverticulită, fistulă, etc.

- explorarea se face în ortostatism, completată cu decubit dorsal, decubit ventral sau poziție Trendelenburg;

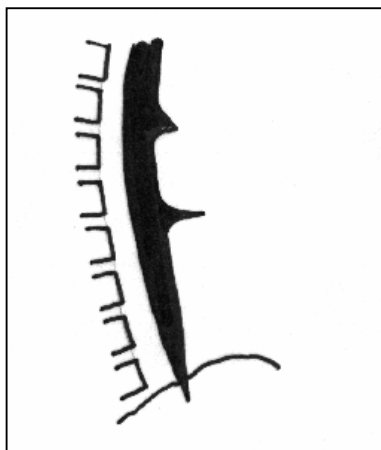


Fig. 8.5. Diverticuli de tracțiune cu imagine sub formă de “spin”.

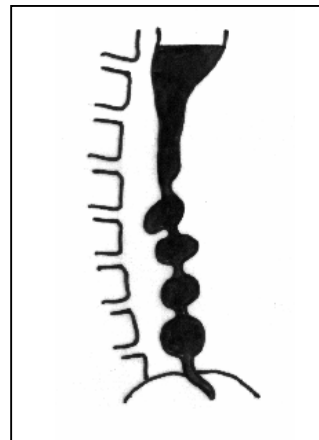


Fig. 8.6. Diverticuli funcționali Barsony-Polgar realizând imagine în “tirbușon” sau în “șirag de mărgel”.

- **Diverticuli epibronșici**
 - se dezvoltă de obicei între aortă și bronhia stângă, mai ales pe peretele anterior drept sau lateral drept al esofagului
 - majoritatea sunt câștigați și se formează fie prin tracțiune fie prin pulsione sau prin combinarea celor două mecanisme (tracțiune + pulsione)
- **Diverticuli epifrenici**
 - se situează pe esofagul toracal inferior, deasupra diafragmului, mai frecvent pe peretele antero-lateral drept, la 4-6 cm deasupra cardiei
 - simptomatologia clinică - senzație de plenitudine, dureri la nivelul apendicelui xifoid, regurgitații (prin spasm sau prin suprapunere)
 - complicațiile posibile - perforație, torsione, ulceratie, diverticulită, hemoragie
 - diverticulul epifrenic trebuie diferențiat de ampula epifrenică (aspect piriform, contur net iar axul ei se află în axul esofagului) și de hernia hiatală paraesofagiană
- **Diverticuli juxtacardiali**
 - deși aparțin de stomac, este bine să fie amintiți la patologia esofagului datorită simptomatologiei (disfagie cu pirozis) și proiecției pe care o au la examenul regiunii esogastrice
 - radiologic - plus de umplere situat subcardial, pe mica curbura, mai bine evidențiat în decubit
 - uneori, deși au dimensiuni mari nu se evidențiază în timpul actului operator, datorită relaxării postnarcotice

8.3.7. Diverticuli funcționali Barsony-Polgar

- contracturi etajate, evidente mai ales în jumătatea inferioară a esofagului
- apar ca proeminențe multiple pe conturul esofagian, cu aspect de șirag de mărgel
- dacă contracțiile sunt simetrice pe ambele curbură, determină deformarea “în tirbușon” a esofagului, contracțiile sunt asimetrice și dispar după trecerea bolului opac și apar în altă parte la o nouă înghițitură de bariu

8.3.8. Alte tulburări funcționale

8.3.8.1. Contractiile secundare

- apar în treimea medie a esofagului
- se propagă simultan cranial și caudal
- asimptomatice și dispar după trecerea bolului opac

8.3.8.2. Contractiile terțiare

- se produc în cele două treimi inferioare ale esofagului
- fugare și asimptomatice
- pot fi datorate unui dezechilibru neuromuscular cauzat frecvent de modificările reflexe prin afecțiuni gastrice, duodenale sau biliare

8.3.9. Afecțiuni inflamatorii ale esofagului

8.3.9.1. Esofagita de reflux

- proces inflamator cronic
- se explică prin acțiunea sucului gastric și uneori a secrețiilor bilio-pancreatice asupra mucoasei esofagiene
- cauzele:
 - modificarea unghiului cardio tuberozitar
 - cardia mobilă
 - după intervenții chirurgicale pe cardie
 - după rezecții gastrice
 - după anastomoze eso-gastrice
 - cardiomiectomie Heller
- în herniile mari refluxul nu stagnează în esofag datorită inelului larg
- mai frecvent mecanismul obstructiv intervine în herniile mici cu inel hiatal îngust, ce reține unda de reflux
- examenul radiologic este completat de endoscopie

8.3.9.2. Esofagita stenoizantă

- precedată de o esofagită peptică cauzată la rândul ei de refluxul gastro-esofagian
- spectrul clinic conduce adesea la suspiciunea unui neoplasm esofagian datorită disfagiei progresive (întâi pentru solide și apoi pentru lichide) și scăderii ponderale
- radiologic:
 - stenoză de o lungime cuprinsă între 1 și 10 cm
 - aspect tubular
 - net conturată
 - rigidă
 - dilatarea esofagului suprajacent
 - interesează treimea inferioară a esofagului și se întinde până la cardie, aceasta fiind de cele mai multe ori situată intratoracic (datorită proceselor retractile), cu producerea de brahioesofag
- ulcerul peptic poate reprezenta una din complicații
- examenul endoscopic și de multe ori biopsia stabilesc diagnosticul de certitudine, inclusiv al complicației majore reprezentate de ulcerul peptic

8.3.9.3. Stenoza esofagiană postcaustică

- cauzată de ingestia voluntară sau involuntară de substanțe caustice alcaline sau acide

- urmată de stenoze cicatriceale postcaustice esofagiene și eventual gastrice, cu evoluție progresivă
- substanțele corozive: soda caustică, acidul sulfuric, acidul azotic, acetic, clorhidric

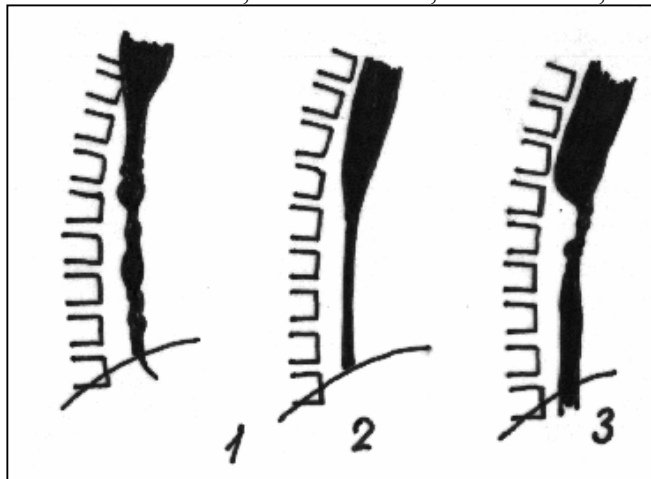


Fig. 8.7. Stenoză esofagiană post-caustică:

1 – aspect de pâlnie simetrică, cu stenoze cicatriceale etajate; 2 – aspect de pâlnie simetrică cu stenoză tubulară post-caustică; 3 – stenoza canceroasă, asimetrică, excentrică comparativ cu cea post-caustică.

- incidență mai mare la copii și la sexul feminin
- leziunile gastrice sunt mai grave la ingestia de baze, deoarece acestea nu sunt neutralizate de sucul gastric, producându-se un tip special de necroză – necroza de colicvație
- deasupra strâmtorilor fiziologice ale esofagului apar leziunile cele mai grave, urmate de stenoze cicatriceale postcaustice
- în cazul ingestiei involuntare, accidentale, stenozele se găsesc în porțiunea superioară a esofagului
- în cazul ingestiei voluntare (tentativă de suicid), leziunile interesează cu precădere regiunea inferioară esofagiană

8.3.9.4. Esofagita postcaustică

- două faze de evoluție: **acută** și **cronică**
- stenoza are caracter evolutiv și retractil, rămâne toată viața și duce la stenoză datorită faptului că straturile peretelui esofagian sunt înlocuite cu țesut conjunctiv, fibros, scleros
- **faza acută** de congestie:
 - câteva zile după ingestia substanțelor caustice este contraindicat examenul radiologic
 - suspiciune de perforație esofagiană ⇒ examen radiosopic și radiografic toracic simplu, de față și de profil și pasaj esofagian cu substanță de contrast radioopacă sterilă (Odiston)
 - complicații: emfizem mediastinal, fistule eso-traheale și/sau eso-bronșice
- perioada imediat următoare ingestiei de substanțe corozive
 - stenoza este strânsă datorită edemului
 - radiologic stenoza apare filiformă, cu margini neregulate, prezentând mici dințături pe contur, peristaltica mult diminuată, adesea absentă
- după aproximativ 40 zile de la ingestie se poate face examenul radiologic cu suspensie sau chiar cu pastă baritată pentru a se evidenția exact sediul stenozei
- în cazul când stenoza este mai veche, substanța opacă își încetinește tranzitul și chiar este oprită la nivelul regiunii îngustate

- după forma pe care o ia stenoza, se descriu următoarele aspecte radiografice:
 - *stenoza valvulară*
 - realizată de o bridă, de obicei unilaterală, care produce o incizură pe unul din pereții esofagului
 - *stenoza inelară*
 - dată de un diafragm care lasă un orificiu îngust pentru tranzit, plasat excentric
 - radiografic - incizură dublă care îngustează lumenul esofagian
 - *stenoza tubulară*
 - cea mai frecventă formă
 - reducere a lumenului pe o distanță mai întinsă (5-15 mm)
 - traiectul esofagului este sinuos și neregulat datorită periesofagitei secundare
 - cu timpul, stenoza ia formă de pâlnie datorită dilatării segmentului suprastenotic
 - vârful pâlniei, în vârf de creion, este situat central față de axul lung al esofagului
 - marginile pâlniei sunt ușor bombate și net conturate
 - dilatarea lumenului esofagian suprastenotic este cu atât mai accentuată cu cât stenoza este mai veche, mai strânsă
 - segmentul dilatat este lipsit se peristaltică, adesea plin cu lichid de stază și chiar resturi alimentare
 - stenozele pot fi multiple și etajate dând aspect moniliform esofagului, uneori cu diverticoli de pulsiune mici
 - esofagul apare scurtat datorită procesului de fibroză

Complicații:

- **Perforația esofagului**
 - apariția aerului în mediastin (pneumomediastinul spontan)
 - localizat de obicei în regiunea paravertebrală
 - poate ajunge până la nazofaringe și se poate infiltra de-a lungul marilor vase, producând uneori emfizem subcutanat
- **Mediastinita acută localizată (abcesul mediastinal)**
 - datorită fistulei esofago-mediastinale
- **Stenoza pilorică sau antro-pilorică**
 - îngustarea lumenului gastric sub forma unui tub rigid, inert
- **Perforația gastrică**
 - evidențierea aerului pătruns spontan în cavitatea peritoneală (pneumo-peritoneului)
- **Fistula esofago-traheală / esofago-bronșică**
 - evidențiată la examenul radiologic cu substanță de contrast sterilă
 - poate fi acompaniată de pneumotorace și apoi de piopneumotorace

8.3.10. Ulcerul esofagian

- **clinic**
 - dureri retrosternale sau retroxifoidiene, ritmate de mese (mai ales după primele deglutiții)
 - disfagie
 - uneori regurgitații, sialoree
- incidență este mai mare în caz de esofag scurt (brahiesofag), de hernie hiatală și de ulcer gastric sau duodenal
- patogenează:
 - acțiunile sucului gastric refluat în esofag
 - reținerea lui prin spasmul cardiei, cu sediul în treimea inferioară a esofagului
- semn radiologic direct - **nișa în relief**:

- inconstant vizibilă
- dimensiuni mici
- formă conică sau ghimpe
- mai frecvent localizată pe peretele anterior, proeminând din conturul esofagian
- văzută de față - pată persistentă între pliurile esofagului, care trebuie diferențiată de resturile de substanță baritată
- semne radiologice indirecte: îngustarea lumenului esofagian la nivelul nișei (incizură spasmodică)
- după vindecarea nișei rămâne aspectul de stenoză esofagiană

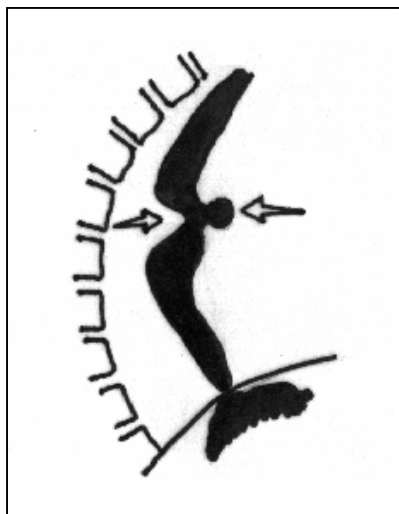


Fig. 8.8. Ulcer esofagian cu nișă în relief și contractură spastică pe versantul opus.

- **diagnosticul diferențial:**
 - cancerul esofagian infiltrant sau ulcerant incipient
 - diverticul epifrenic de mici dimensiuni (care nu este însoțit de stenoză și își modifică volumul)

8.3.11. Tumorile esofagului

8.3.11.1. Tumori benigne

- rare comparativ cu cele maligne
- se pot dezvolta în lumenul esofagului și în peretele acestuia
- cele ce se dezvoltă în lumenul esofagului sunt tumorile pornite din mucoasă:
 - papilomul
 - polipul
 - adenomul
- tumorile intramurale:
 - leiomioame (cele mai frecvente)

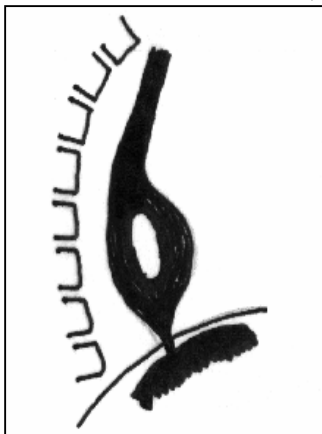


Fig. 8.9. Proces expansiv esofagian, cu punct de plecare intramural, sub forma unei radiotransparențe net conturate în lumenul esofagului opacefiat.

- fibroame (localizate mai ales în treimea medie și inferioară)
- lipoame
- neuroame
- angioame
- diagnosticul pozitiv este cel radiologic, endoscopic și biopsic
- examenul radiologic cu suspensie baritată pune în evidență deseori tumori pediculate:
 - radiotransparente net conturate, mobile, în lumenul esofagului opacefiat
 - peretele este suplu și nu se evidențiază pliuri ale mucoasei cu amputarea acestora

8.3.11.2. Tumori maligne

Cancerul faringo-esofagian

- leziunile pot fi situate:
 - pe marginea liberă a epiglotei
 - la nivelul sinusurilor piriforme
 - la gura esofagului
 - la nivelul esofagului cervical juxtatraheal
- semnele clinice nu sunt concludente la început
- bolnavii se prezintă relativ tardiv, când apare:
 - disfagia
 - disfonia
 - tusea (cu expectorație purulentă sau hemoragică)

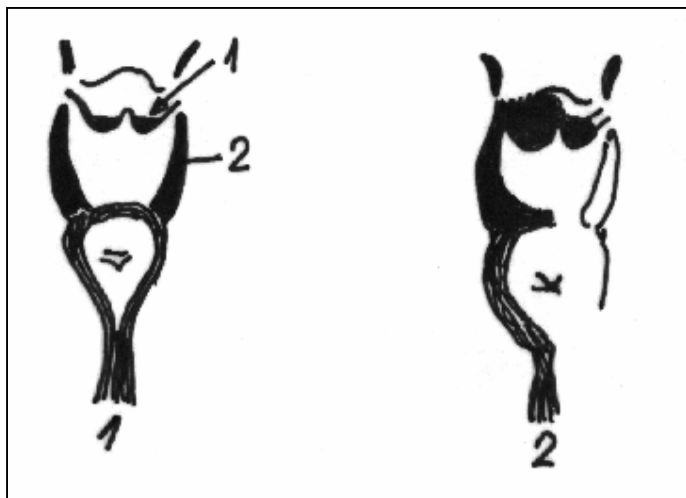


Fig 8.10. Tulburări funcționale în cancerul faringo-esofagian:

1 – stază valeculară și în sinusurile piriforme (1și 2); 2 – deglutiție asimetrică.

- examenul radiologic - tulburări funcționale:
 - deglutiție ezitantă, fracționată și asimetrică;
 - hipotonia cu stază în valecule și în sinusurile piriforme;
 - spasticitatea gurii esofagului;
 - refluxul în căile aeriene superioare
- semnele radiologice directe:
 - relieful mucos este dezorganizat, cu imagini lacunare, contur neregulat și rigiditate segmentară
 - spațiul faringovertebral lărgit, evidențiat pe radiografiile de profil perfect efectuate în momentul când trece bolul opac
 - modificări ale reliefului mucos, semn radiografic important pentru depistarea formelor incipiente de cancer, vizibile pe radiografiile de profil după ce a trecut bolul opac

- modificarea contururilor prin prezența rigidității segmentare pusă în evidență mai ales după proba Valsalva
- imagini lacunare bine vizibile când esofagul este evacuat
- refluxul substanței de contrast în căile aeriene datorat lipsei de coordonare a reflexului deglutiției, prin infiltrarea neoplazică a epiglotei
- stenoza malignă, este întinsă pe o mică distanță, are contururi neregulate și cu aspect de semiton
- examenul radiologic poate fi completat cu examenul faringo-esofagoscopic și biopsic.

Cancerul esofagului toracic

- situat pe orice segment al esofagului, nu numai la nivelul strâmtorilor fiziologice
- toate cele trei varietăți anatomopatologice:
 - **infiltrativ**
 - **vegetant**
 - **ulcerant**
- explorarea cu substanță de contrast - suspensie baritată, pastă baritată, metoda distensiei gazoase a esofagului, prin dublu contrast, cu substanțe de contrast sterile (Odiston)
- examinarea radiologică trebuie să aprecieze starea:
 - aparatului respirator
 - aparatului cardiovascular
 - mediastinului
 - diafragmului

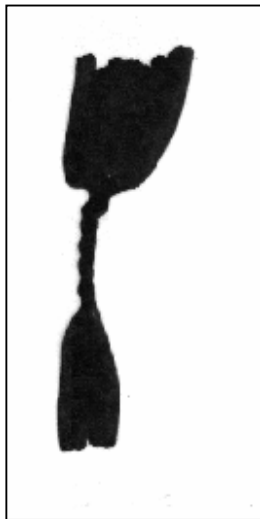


Fig. 8.11. Cancer al esofagului toracic – forma infiltrantă.

Forme anatomopatologice:

- **Forma infiltrantă**
 - rar întâlnită ca formă de sine stătătoare
 - dificil de diagnosticat în stadiul incipient când infiltrarea se produce la început în profunzime, respectând mucoasa, pe care o împinge spre lumenul esofagian
 - după câteva luni apare stenoza, iar procesul infiltrativ este redus ca extindere (3-4 cm)
 - stadiul incipient este caracterizat prin:
 - lipsa peristaltismului și la nivelul leziunilor infiltrative
 - **rigiditate segmentară** pe zona afectată, datorită infiltrării stratului submucos

- dacă procesul cuprinde musculoasa \Rightarrow stenoza fusiformă, excentrică și asimetrică față de axul esofagului, iar deasupra leziunii apare frecvent o ancoșă cauzată de un spasm accentuat
- deasupra zonei stenozate - dilatație a lumenului esofagian \Rightarrow esofagul ia aspect de pânză asimetrică, excentrică, cu stază secundară

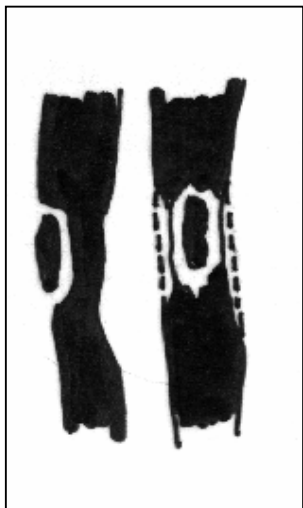


Fig. 8.12. Cancer de esofag toracic – forma ulcerată, cu nișă încastrată, în incidență de față și de profil.

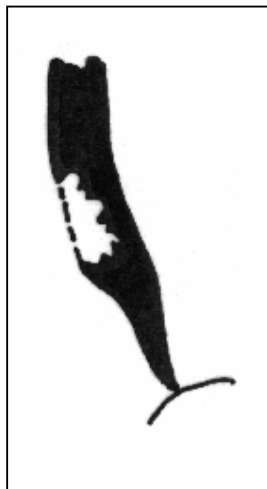


Fig. 8.13. Cancer de esofag toracic – formă vegetantă, cu defect de umplere sub formă de imagine lacunară, cu contur anfractuos.

- **Forma ulcerantă**
 - rar în formă pură
 - radiologic
 - defect de umplere (imagine de adiție), cu nișă malignă pe unul din contururi
 - din profil nișa poate ieși puțin din contur sau poate lua aspect de “**nișă încastrată**”
 - din față nișa realizează o imagine de opacitate persistentă
 - aspectul radiologic al cancerului ulcerat - “în farfurie” sau “menisc”:
 - meniscul = ulcerăție înconjurată de un burelet cu versante simetrice, la marginile căruia pliurile mucoasei se opresc brusc
 - fundul nișei poate fi plat, curb sau neregulat, crenelat
 - bureletul care înconjoară nișa produce deasupra și sub nișă, 2 ancoșe constante care delimitează ulcerăția, iar spre lumenul esofagului o zonă de transparență care separă bariul din ulcerățiile de cel din esofag
 - ulcerăția este însoțită frecvent de zone infiltrative și imagini lacunare
- **Forma vegetantă**
 - rareori întâlnită ca modalitate evolutivă
 - aspect de **imagine sau imagini lacunare multiple**
 - dau esofagului aspect conopidiform sau pseudopolipoid
 - contururi neregulate și rigiditate supra- și subiacent procesului tumoral
- **Forma mixtă**
 - cea mai des întâlnită
 - semne radiografice - combinație a celor trei forme descrise mai sus:
 - defecte de umplere cu contururi neregulate
 - aspect polipoid
 - prezența nișei
 - contur întrerupt

- imagine de semiton neregulat
- dezorganizarea pliurilor pe o anumită zonă limitată
- îngustarea lumenului esofagian cu dilatare moderată supraiacentă
- diagnosticul cancerului esofagian - cel mai ades într-un stadiu tardiv al evoluției bolii, astfel încât aspectele radiografice sunt mixte
 - în toate formele de cancer se adaugă procese inflamatorii perilezionale
 - în toate formele infiltrante cancerul evoluează spre stenoză (stadiu avansat), care este rareori completă și evoluează lent

Complicații:

- pneumonia de aspirație
- fistula esotraheală sau esobronșică

8.3.12. Varicele esofagiene

- dilatații venoase în submucoasa esofagiană
- se produc atunci când curgerea sângelui din venele esofagului inferior în vena cavă inferioară, se face dificil datorită unei hipertensiuni portale
- reprezintă o circulație colaterală între vena cavă superioară și cea inferioară, prin venele esofagiene
- varicele pot apare în caz de:
 - ciroză hepatică
 - tromboză a venei splenice
 - neoplasm hepatic
 - anomalii congenitale ale sistemului venos cardioesofagian
 - în absența hipertensiunii portale
- se dezvoltă mai ales în treimea inferioară a esofagului deoarece aici rețeaua venoasă din submucoasă este foarte bogată, iar diafragmul prin contracția sa favorizează dezvoltarea acestor dilatări venoase
- simptomatologia clinică este mult timp neconcludentă
- varicele sunt puse în evidență pornind de la afecțiunea de bază, cel mai des secundară suferinței hepatice
- pot determina disfagie, iar în cazuri grave hematemeză
- examenul radiologic necesită o tehnică adecvată, adaptată fiecărui caz în parte:
- pastă baritată semiconsistentă urmată imediat de suspensie foarte fluidă, chiar lichidă
- asocierea manevrei Valsalva evidențiază bine varicele esofagiene prin creșterea presiunii abdominale, când se accentuează volumul varicelor
- examinarea se face în ortostatism, decubit dorsal, poziție Trendelenburg, în incidență oblică, pentru a proiecta esofagul în profil mediastinal posterior

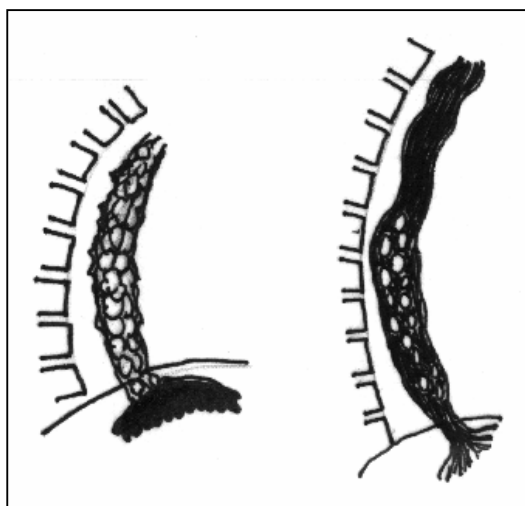


Fig. 8.14. Varice esofagiene în stadii diferite de evoluție

- aspectul radiologic tipic - “**piele de șarpe**”, “**șirag de mărgele**”, “**mozaic**”
- datorat unor imagini multiple lacunare, rotunde sau ovalare, de diferite dimensiuni, dispuse în axul lung al esofagului pe pliurile de mucoasă (ectaziile venoase)
- substanța de contrast se scurge printre ele sub formă de opacități în V sau Y
- mucoasă cu aspect serpiginos
- deseori relieful mucos este complet dezordonat, iar lumenul esofagian este dilatat, cu tranzitul încetinit
- când varicele sunt de mari dimensiuni, conturul exterior esofagian apare neregulat, chiar întrerupt (datorită proiectării la acest nivel a ectaziilor venoase) cu aspect de ancoșe multiple
- varicele esofagiene nu pot fi întotdeauna evidențiate radiologic
- **diagnosticul diferențial radiologic:**
 - **bule de aer** - la orice nivel, fiind tranzitorii și mobile
 - **neoplasmul esofagian** vegetant incipient, mai ales cel vegetant - varicele nu prezintă zone de rigiditate, ca în cancer
 - **contractiile terțiare** - apar în faza de contracție, sunt tranzitorii, în timp ce varicele apare în faza de repaus ce urmează unde peristaltice, fiind permanente
 - **hernia hiatală** - datorită pliurilor neregulate ale fornixului gastric ce se pot angaja, poate crea confuzii, dar examinarea în poziția cu trunchiul flectat anterior în inspir profund tranșează diagnosticul pozitiv.

8.3.13. Corpii străini esofagieni

- examenul radiologic pune în evidență:
 - corpul străin
 - forma
 - localizarea
 - eventualele complicații
- corpii străini au o mare varietate; sunt înghițiți de cele mai multe ori accidental de către copii (insigne, nasturi, monezi, sâmburi, oase, coji) sau adulți (proteze dentare, ace, butoni, cuie)
- mai rar pot fi înghițiți voluntar de către psihopați (cozi de lingură, cuie)
- pot proveni din stomac (alimente, ascarizi, cheaguri de sânge) sau din plămâni (sânge, bronholiți)
- de obicei ei se găsesc la nivelul strâmtorilor fiziologice ale esofagului, cel mai des la gura esofagului (Killian) când determină contracția mușchiului cricofaringian
- pot avea formă regulată, cu contur neted (respectă mucoasa esofagului și pot produce obstrucție), cu suprafețe tăioase, ascuțite (ce pot leza peretele esofagian)
- se pot fixa de perete
- pot produce ulceratii, perforatii și complicații septice
- **radiologic:** radiotransparenți (cei de natură nemetalică) și radioopaci
- **clinic** - durere sau/și disfagie
- examen radiologic în incidente diferite, obligatoriu în 2 incidente perpendiculare, una pe cealaltă
 - corpii străini radioopaci sunt mai ușor de evidențiat, chiar la examenul radiosopic
 - cei cu opacitate redusă și de mici dimensiuni se pot evidenția mai greu, necesitând administrare de substanță de contrast opacă (băriu sau substanță sterilă)
 - corpii străini radiotransparenți pot crea o obstrucție aproape completă și cu dilatare supradiacentă a lumenului esofagului
 - pot provoca stenoză parțială când substanța de contrast trece printr-un defileu îngust, conturând corpul străin

- dacă nu obturează, iar suspensia opacă trece aproape normal prin esofag, trebuie folosite bucățele de vată înmuiate în bariu, care se opresc în dreptul corpului străin, se agață de el
- dacă folosim pastă baritată, după trecerea bolului opac, contururile corpului străin, pot rămâne tapetate cu bariu, evidențiindu-l
- perforația esofagului poate produce **semnul lui Minni Gerode** - bule de aer de-a lungul peretelui posterior al esofagului, sau emfizem subcutanat cervical
- examenul radiologic va trebui să pună în evidență prezența unor eventuale procese patologice preexistente și/sau concomitente:
 - anevrism de crosă aortică
 - stenoză caustică veche
 - proces inflamator periesofagian
 - fistulă esotraheală sau esobronșică, mediastinită, etc.

8.3.14. Sclerodermia

- colagenoză care interesează și esofagul, la nivelul căruia se constată dispariția epitelului și înlocuirea lui cu un țesut de granulație, concomitent cu abundența de țesut conjunctiv din submucoasă
- simptomatologie:
 - disfagie de decubit (în stadiu incipient) prin pierderea progresivă tonusului și a peristalticii
 - durere retrosternală cu senzație de oprire a alimentelor solide în esofag, în stadiile avansate
- examenul radiologic:
 - diminuarea peristalticii esofagiene până la dispariție
 - esofagul se evacuează numai în ortostatism
 - apariția aspectului de megaesofag, datorită atoniei
 - esofagul are cu calibru mărit și îngustat la 3-4 cm deasupra diafragmului (datorită fibrozei musculaturii esofagiene)
 - aerul rămas în esofag îl menține destins, realizând aspectul de “tub de sticlă” sau de imagine hidroaerică proiectată la nivel toracic
 - pliurile mucoasei sunt șterse, chiar dispărute (este necesar examen în strat subțire)
 - mucoasa nu se curăță de substanța de contrast, rămâne tapetată, datorită insuficienței musculaturii submucoasei, care nu se contractă suficient

8.3.15. Radiodiagnosticul esofagului operat

- perioadă imediată postoperatorie și perioadă tardivă, în care controalele periodice sunt esențiale pentru urmărirea adaptării funcționale, precum și pentru punerea în evidență a modificărilor morfofuncționale postoperatorii: spasme, ulcere, esofagite, etc.
- complementar se examinează aparatul respirator, mediastinul și stomacul
- apariția cardiospasmului reclamă operația Heller - esofagocardiomiectomie extramucoasă
- chirurgia esofagului are o amploare deosebită ce decurge din combinațiile dintre o chirurgie abdominală largă și una toracică profundă, datorită poziției anatomice și raporturilor viscerului cu organe de importanță vitală
- radiologia esofagului operat cuprinde:
 - perioada imediată intervenției (chirurgicale)
 - perioada tardivă care cuprinde urmărirea adaptării funcționale

- **Tipuri de intervenții pe grupe de afecțiuni:**

Gastrostomia

- uneori singura metodă de ajutorare a bolnavului (gastrostomia definitivă)
- cea mai fiziologică metodă - gastrostomia minimă cu guler peritoneal prin procedeul Gavriliu

Esofago-cardiomiotomia extramucoasă

- acalazia - tratament chirurgical: cardiomiotomie extramucoasă (rezeția 2/3 superioare gastrice împreună cu cardia și esofagoplastie)

- **Grupe de afecțiuni**

Diverticulii esofagieni

- tratament chirurgical când, din cauza dimensiunii lor, jonează tranzitul sau organele vecine, sau când au apărut complicații (hemoragie, stază cu inflamație, etc.)
- postoperator există posibilitatea apariției fistulei în ziua 4-8

Hernia hiatală

- tratament chirurgical când este mare, jonează organele din torace sau s-a complicat (strangulare, hemoragie, esofagită peptică)

Esofagita peptică (de reflux)

- tratate chirurgical când nu mai răspund la tratamentul medicamentos

Ulcerul esofagian

- tratament chirurgical în funcție de complicații: perforație, hemoragie, stenoză
- examenul radiologic în caz de anastomoză esojejunală cu fistulă Braun urmărește ansa aferentă și ansa eferentă
- fistula Braun se examinează în strat subțire

Tumorele esofagiene

- intervenție practică cel mai des - rezeția polară superioară cu anastomoză esogastrică
- neoplasmul esofagian din 1/3 superioară sau mijlocie obligă cel mai adesea la esofagectomie totală, urmată de esofagoplastie
- examenul radiologic urmează postoperator la aproximativ 2-3 zile urmărindu-se plămânul, pleura, mediastinul, tubul digestiv (esofagoplastia)
- se poate administra și substanță de contrast sterilă (lipiodol)
- aspecte posibile după esofagoplastie:
 - pneumotoraxul rezidual: se resoarbe la 24-78 ore post-operator
 - exudatul pleural: este minim, (rar sau foarte rar suspiciune de hemoragie)
 - atelectazia pulmonară - relativ rară; se observă în caz de anastomoză esogastrică intratoracică
 - pneumonia acută apare rar dar complică grav evoluția
 - abcesul pulmonar apare foarte rar
 - desfacerea suturilor și constituirea fistulelor: către ziua a 5-a
 - adevăratul control radiologic începe după ziua a 10-a, când suturile sunt vindecate și bolnavul se hrănește în mod obișnuit
 - examenul urmărește starea plămânului, pleurei, mediastinului, esofagoplastia sau anastomoza esogastrică sau esojejunală

Stenoza postcaustică

- esofagoplastia Gavriliu, cu utilizarea mării curburi gastrice, pilor și bulb
- postoperator pot apare o serie de complicații: desfacerea suturilor (echivalează cu exitus), hidropneumotorace (după desfacerea suturilor), dilatarea bontului gastric intratoracic, atelectazie, edem pulmonar acut, pleurezie purulentă, emfizem mediastinal, infarct pulmonar, infarct miocardic

o tardiv pot să apară: recidiva de bont, bride cicatriceale, ulcer peptic, esofagită de reflux; boala anastomozei: tranzit dificil, dilatare pseudodiverticulară la nivelul anastomozei tubului gastric cu esofagul superior sau faringele, acalazia tubului transplantat: tranzit mult întârziat, dilatare în partea superioară.

LUCRAREA PRACTICĂ NR. 9

RADIODIAGNOSTICUL TUBULUI DIGESTIV (II) – STOMACUL ȘI DUODENUL

9.1. Radiodiagnosticul stomacului

9.1.1. Anatomie și fiziologie

9.1.2. Explorarea radiologică a stomacului

9.1.3. Malformații congenitale ale stomacului

9.1.4. Gastritele

9.1.5. Ulcerul gastric

9.1.6. Tumori benigne

9.1.7. Tumori maligne

9.1.8. Stomacul operat

9.2. Radiodiagnosticul duodenului

9.2.1. Considerații preliminare

9.2.2. Noțiuni de anatomie radiologică

9.2.3. Metodele radiologice de investigație ale duodenului

9. RADIODIAGNOSTICUL TUBULUI DIGESTIV (II): STOMACUL ȘI DUODENUL

9.1. Radiodiagnosticul stomacului

9.1.1. Anatomie și fiziologie

- organ cavităar, cu musculatură foarte bine dezvoltată;
- situat sub diafragm, fixat la cardia și genunchiul superior duodenal;
- forma stomacului o dă musculatura proprie;
- poate prezenta următoarele forme:
 - **în formă de cârlig:**
 - cea mai des întâlnită;
 - caracterizează stomacul normoton și normochinetic, cu două porțiuni: verticală și orizontală (ușor ascendentă);
 - polul inferior gastric este situat cu două degete mai sus de linia creștelor iliace, sau până în dreptul acestei linii;
 - **în formă de “corn de taur” sau “cimpoi”:**
 - stomacul este așezat oblic spre dreapta, pilorul fiind cel mai jos situat (seamănă cu stomacul cadavrului);
 - hiperton și hiperkinetic (cu peristaltica și evacuarea accentuată);
 - umplerea se face traversând oblic coloana vertebrală;
 - **stomac alungit:**
 - polul inferior gastric este coborât sub nivelul creștelor iliace;
 - antrul are orientare ascendentă;
 - bulbul duodenal este situat vertical;
 - hipoton și hipokinetice;
 - întâlnit la longilini și multipare;

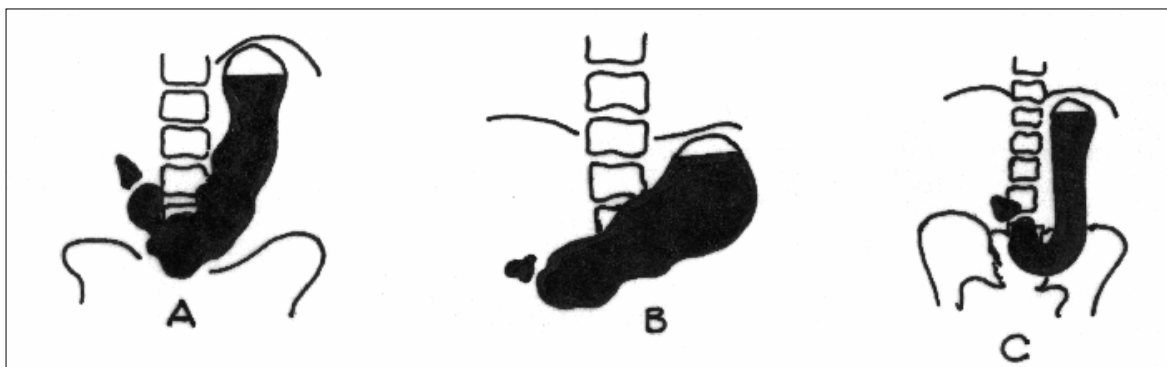


Fig. 9.1. Principalele tipuri de stomac: A - în formă de cârlig (normoton); B - formă de corn de taur (stomac hipertonic); C - alungit (hipoton).

- stomacul prezintă din punct de vedere anatomic mai multe porțiuni:
 - esofagul gastric (porțiunea verticală):
 - situat la stânga coloanei vertebrale;
 - polul superior (fornixul):
 - situat sub hemidiafragmul stâng;
 - conține camera cu aer și este așezată sub unghiul stâng al colonului;

- pe conturul postero-intern se află cardia, la 3-3, 5 cm sub diafragm, vizibilă când bolul alimentar trece din esofag în stomac;
- antrul gastric (sinus sau vestibul) precede canalul piloric;
- prezintă uneori un pli transversal, denumit pli de graniță, situat între sinus și canalul piloric;
- canalul piloric reprezintă porțiunea distală dispusă între antru și pilorul propriu-zis prin care are loc evacuarea;
- stomacul are două fețe: anterioară și posterioară (examinează bine în poziții oblice);
- două curburi: curbura mică (marginea dreaptă) și curbura mare (marginea stângă), care formează cu esofagul unghiul lui Hiss;

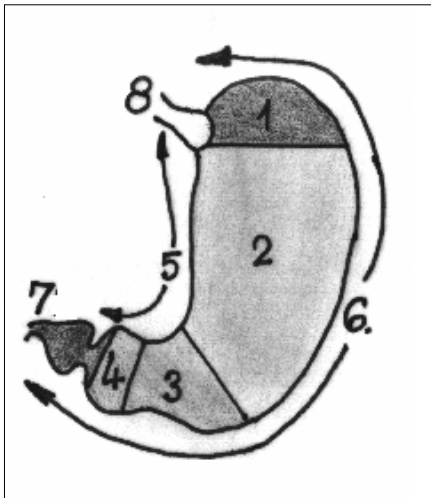


Fig. 9.2. Nomenclatura (terminologia stomacului) - după Forsell:

1 – fundus; 2 – pars media; 3 – pars pilorica; 4 – antrum piloricum; 5 – curvatura minor; 6 – curvatura major; 7 – bulbus duodeni; 8 – cardia

- peretele stomacului este format din patru straturi:
 - seros,
 - muscular (alcătuit din trei straturi: extern - din fibre longitudinale, mijlociu - din fibre circulare, intern - din fibre oblice),
 - submucos,
 - mucos.

9.1.2. Explorarea radiologică a stomacului

- metode:
 - radioscopia simplă nativă și cu substanță de contrast prin care se obțin informații dinamice;
 - radiografierea simplă nativă și cu contrast care permit obținerea de detalii de finețe și care pot fi de ansamblu și țintite asupra leziunii în diferite incidențe și poziții;
- modalități de opacifiere cu contrast:
 - **suspensia baritată** (amestec a 150-200 grame de sulfat de bariu chimic pur cu 200 ml apă);
 - **pastă baritată**, de consistență ceva mai crescută;
 - **dublul contrast** prin poziune opacă care pune în libertate CO₂;
 - **substanțe de contrast sterile** (Odiston, Ultravist, etc.);
- examenul radiologic permite obținerea de informații morfo-funcționale, care constituie suportul diagnosticului pozitiv în cele mai multe cazuri;
- **examenul cu substanță de contrast** se desfășoară în trei etape:
 - **în strat subțire** care permite examinarea reliefului mucoasei gastrice;
 - **în semiumplere** care permite distensia parțială a pereților stomacului;
 - **în umplere completă**, care evidențiază dimensiunile, forma, conturul și chinetica stomacului.

- se începe cu un examen radiosopic simplu, de orientare toracic și abdominal, care poate evidenția:
 - focar pneumonic / focare pneumonice;
 - aerul prevertebral (din perforația esofagiană);
 - pneumoperitoneul;
 - litiaza radioopacă renală și veziculară;
 - resturile de medicamente radioopace;
 - resturile radioopace de la un examen anterior;
 - calcificări patologice la diferite nivele, etc.
- examenul continuă cu administrarea substanței de contrast:
 - după prima înghițitură se examinează trecerea bolusului opac prin esofag și cardie;
 - după primele două-trei înghițituri se examinează relieful mucoasei gastrice, folosind palparea și compresia dozată (cu lingura lui Holczknekt sau compresorul atașat în spatele ecranului);
 - bolnavului i se cere să înghită toată cantitatea de substanță de contrast și se examinează: umplerea stomacului, peristaltica, tonusul, mobilitatea, evacuarea;
 - pereții stomacului se examinează în poziții oblice: spre exemplu peretele posterior se examinează în poziția OAD;
 - regiunea antrală gastrică se examinează bine în decubit lateral drept și ventral
 - polul superior gastric este studiat în decubit și/sau în poziție Trendelenburg;
- examenul radiologic este urmat de examinarea pilorului, bulbului duodenal, cadrului duodenal până la unghiul lui Treitz;
- după 2-4 ore bolnavul este reexaminat pentru studiul evacuării gastrice;
- apoi la intervale de timp diferite se examinează intestinul subțire și gros, inclusiv apendicele;

De reținut:

Nu se administrează sulfat de bariu în caz de: perforații, ocluzie intestinală și hemoragii digestive (hematemeză, melenă).

Relieful gastric normal

- determinat de plicaturarea mucoasei gastrice pe musculatură ;
- la examinarea “în strat subțire” alternanță de linii, benzi radioopace în șanțuri sau văi, cu benzi transparente “dealurile sau pliurile gastrice”;
- relieful gastric poate fi abia schițat, chiar șters la stomacul hipoton și accentuat la stomacul hipertonic;
- fornixul are pliuri neregulate, asemănătoare cu circumvoluțiunile cerebrale;
- cardia are aspect stelat;
- porțiunea verticală are pliurile orientate paralel, 3-5 pentru fiecare perete;
- de-a lungul micii curburi există două pliuri care realizează calea gastrică Waldeyer;
- restul pliurilor sunt sinuoase și dau aspectul dințat, neregulat al mării curburi;
- în porțiunea orizontală pliurile sunt orizontale, spiralate, ca și “ghinturile de la țeava de tun”, convergente spre pilor;
- în porțiunea orizontală poate fi evidențiat uneori un pli ce coboară vertical și separă sinusul de regiunea antro-pilorică, numit **pliul de graniță Chaoul**;
- lățimea pliurilor normale este cuprinsă între 3-6 mm;
- palparea sau compresia dozată turtește pliurile și le lățește sau le îndepărtează;
- tonusul gastric dă forma stomacului;
- peristaltismul apare datorită contracției fibrelor musculare circulare, orientate în sens cranio-caudal;
- tonusul și peristaltismul pot fi:

- normale - stomac normoton;
- diminuate - stomac hipoton hipokinetic;
- accentuate - stomac hipertonic și hiperkinetic;
- absența peristaltismului ridică suspiciunea de infiltrație tumorală;
- evacuarea gastrică, în mod normal, a suspensiei baritate este de maximum $2\frac{1}{2}$ - 3 ore;

Secreția gastrică

- lichidul de secreție plutește deasupra coloanei baritate sub forma de slabă opacitate între aer și bariu;
- grosime de aproximativ 3 cm, formând un strat intermediar;

Probe farmacodinamice

- **proba cu Atropină:**
 - administrare i.v.;
 - efectul apare după 5-10 minute;
 - poate evidenția: peristaltism accentuat, pilorul beant, megabulbul;
 - fiind parasimpaticolitică, relaxează pilorul și distinde bulbul duodenal;
 - se folosește pentru evidențierea stenozelor organice (sau spastice) și în patologia bulbului duodenal (se pot evidenția diverticuli);
- **proba cu Morfină:**
 - administrare s.c., cu 10 minute înaintea examinării;
 - produce hipertonie și hiperkinezie gastrică pe o durată de aproximativ 15 minute, urmată de atonie;
 - pune mai bine în evidență leziunile din cancerul gastric incipient:
 - nișă în platou care proemină puțin în afară, accentuând aspectul încastrat, impregnat;
 - nișă în canalul piloric, care se umple mai greu și apare bine opacifiată;
- **proba cu Scobutil sau Glucagon:**
 - administrare i.v.;
 - produce distensia pereților gastrici;
 - utilă în examinarea cadrului duodenal (duodenografia hipotonă).

Modificările poziției și formei stomacului

- deplasat spre dreapta în:
 - flexura colică stângă destinsă aeric;
 - splenomegalie;
 - rinichi mare stâng (hipernefrom, tumoră);
 - megadolicocolon;
- devierea spre stânga în:
 - hepatomegalii;
 - tumoră renală dreaptă;
 - hipernefrom drept;
 - tumoră de pancreas;
 - chiste pancreatice;
- deviație în sens cranial în:
 - tumoră de pancreas;
 - uter gravid;
 - tumoră de ovar;
 - tumori mezenterice;
- deplasare în sens caudal în:
 - splenomegalie;
 - cardiomegalie;

- pleurezie masivă bazală stângă;
- tumori hepatice;
- în cadrul explorării radiologice a stomacului trebuie făcut diagnosticul diferențial între:
 - *ptoza gastrică adevărată*:
 - fornixul este coborât sub hemidiafragul stâng;
 - stomacul este hipoton și alungit;
 - polul inferior coborât sub linia creștelor iliace;
 - *stomacul alungit*:
 - fornixul rămâne în contact cu diafragul stâng;

Stomacul în cascadă

- stomacul în întregime sus situat;
- îngustare în treimea medie a corpului gastric ce determină bilocularea acestuia;
- examenul radiografic de profil evidențiază bine cele două pungi gastrice:
 - superior, fornixul orientat posterior;
 - inferior, restul stomacului, orientat anterior;
- întâlnit în ulcere gastrice, tumori abdominale, relaxări diafragmatice.

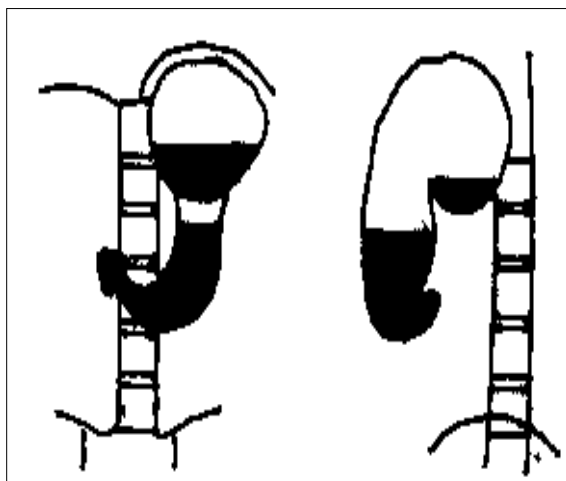


Fig. 9.3. Stomac în “cascadă”:
în incidență de față, imaginea este în “cupă de șampanie”;
examenul în incidență oblică relevă “cascada”

Volvulusul gastric

- torsiunea parțială sau completă a stomacului, astfel încât o parte sau întreaga față posterioară gastrică va fi situată anterior;
- în caz de volvulus total, stomacul este rotit în jurul axului longitudinal (volvulus organo-axial) sau în jurul axului transversal (volvulus mezenterico-axial);
- cardia și pilorul rămân fixe, astfel că stomacul se rotește în jurul micii curburi.

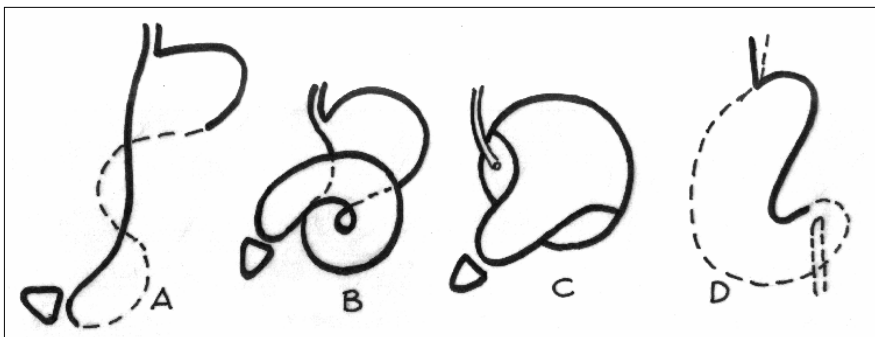


Fig. 9.4. Tipuri de volvulus gastric : A – volvulus organo-axial ; B – volvulus mezenterico-axial ; C – volvulus cardio-spleno-axial ; D – volvulus organo-axial total ;

Stomacul la sugari și copilul mic

- la naștere stomacul are formă conică, așezat transversal sub diafragm;
- la sugari stomacul are camera cu aer voluminoasă care crește în timpul suptului;
- pe măsură ce copilul crește, stomacul se dezvoltă în jos și spre stânga, la vârsta de 10 ani, stomacul având formă asemănătoare cu cel al adultului;
- stomacul se evacuează lent, în 7-8 ore la 4 zile după naștere și în 3-4 ore după 4 luni, datorită poziției de decubit.

9.1.3. Malformații congenitale ale stomacului

9.1.3.1. Perforația neonatală

- foarte rară;
- caracterizează un defect congenital al musculaturii stomacului;
- se evidențiază pneumoperitoneu.

9.1.3.2. Diverticuli

(vezi capitolul de sinteză privind diverticuli)

9.1.3.3. Hernia diafragmatică prin brahiesofag

(vezi radiodiagnosticul diafragmului)

9.1.3.4. Omfalocelul

- herniere intestinală împreună cu o porțiune din stomac;
- datorat rezistenței scăzute a peretelui abdominal la nivel ombilical;

9.1.3.5. Stenoza hipertrofică de pilor

- patogenie: insuficienta dezvoltare a plexurilor nervoase din peretele stomacului ⇒ spasm și hipertrofia musculaturii la nivelul canalului piloric (prepiloric);
- nu interesează inelul piloric;
- semnele clinice:
 - vărsături puternice,
 - deshidratare,
 - scădere ponderală accentuată,
 - formațiune tumorală palpabilă în hipocondrul drept sau periombilical, apărută la 3-6 săptămâni după naștere;
- examenul radiologic nativ, fără substanță de contrast:
 - distensie aerică accentuată a stomacului;
- examenul cu substanță de contrast:
 - stomac dilatat, hipoton sau aton;
 - lichid de stază abundent;
 - la administrarea suspensiei baritate (cu biberonul sau cu sonda Einhorn) stomacul prezintă un peristaltism viu, care nu reușește să evacueze stomacul;
 - pilorul este hiperton;
 - apoi peristaltica încetinește și chiar încetează pentru un timp, pentru ca să reapară din nou, realizând **peristaltismul altern** descris de Barret sau **“peristaltismul de luptă”**;
 - substanța de contrast tranzitează greu (cu excepția substanței iodate hidrosolubile care trece ușor) prin regiunea îngustată prepiloric, cu aspect tubular, filiform;
 - normal, la copil, pilorul are 0, 5 cm lungime;
 - în caz de stenoza hipertrofică de pilor, regiunea prepilorică îngustată are o lungime de aproximativ 2-3 cm;

- stomacul rămâne opacifiat și după 6-8 ore de la examinare și uneori și a doua zi, datorită evacuării deficitare.

9.1.4. Gastritele

- de natură inflamatorie;
- pot fi:
 - hipertrofice - îngroșarea pliurilor mucoasei gastrice;
 - atrofile - ștergerea reliefului mucoasei gastrice;

9.1.4.1. Gastritele acute

- etiologie:
 - infecțioasă (în faza de debut a bolilor infecțioase);
 - toxică (după arsuri cu lichide fierbinți, medicamente, substanțe caustice, alimente, alcool);
 - alergică;
- datorită dilatării vaselor din stratul submucos, edemului, microhemoragiilor și leziunilor mucoasei, aspectul radiologic este caracterizat prin:
 - pliurile de mucoasă gastrică de aspect normal sau îngroșate;
 - suc gastric abundent, datorită hipersecreției;
 - mucus în exces secretat de mucoasă, care fragmentează suspensia opacă sub formă de grunji;
 - pliurile mucoasei gastrice sunt suple și deformabile la compresie;
 - stomacul poate fi hipo sau hiperkinetic.

9.1.4.2. Gastrita subacută

- leziunile mucoasei gastrice au caracter circumscris, interesând în special antrul gastric;
- pliurile mucoasei sunt de asemenea deformabile la compresie dozată, repetată sub ecran, cu suplețea păstrată.

9.1.4.3. Gastrita cronică

- pliuri îngroșate, care dau aspect neregulat, crenelat al mării curburi;
- greu deformabile sau nedeformabile la compresie;
- pliurile mai pot fi dispărute datorită infiltrării în întregime a mucoasei.

9.1.4.4. Gastrita hipertrofică Menetrier

- datorită unei hiperplazii glandulare, pliurile mucoasei gastrice prezintă aspect hipertrofic monstruos, gigant, neregulat;
- mucusul se găsește în cantitate mult crescută, dând naștere la grunji opaci.

9.1.4.5. Gastrita pseudopolipoidă

- pliuri hipertrofiate antral, cu aspect de imagini lacunare, ovalare ca și polipii;
- între aceste pliuri îngroșate există și zone cu pliuri de aspect normal radiologic;
- se deosebesc de polipii adevărați, deoarece aceștia au aspect “în șirag de mărgele” de-a lungul pliurilor mucoasei.

9.1.4.6. Prolapsul bulbar de mucoasă antrală

- la baza bulbului duodenal - zonă lacunară, radiotransparentă, cu **aspect de umbrelă deschisă (“parașută”, “ciupercă”)**, pseudo-polipoid, datorat alunecării prin pilor în bulbul duodenal a unei porțiuni de mucoasă gastrică antrală;
- frecvent aspectul este descoperit întâmplător, fără a prezenta simptomatologie clinică proprie;

- uneori poate acompania un ulcer duodenal, sau poate fi sursa unei hemoragii digestive superioare !

9.1.5. Ulcerul gastric

- cea mai mare frecvență pe porțiunea verticală a micii curburii;
- mai poate apare în regiunea pilorică, peretele posterior al micii curburii și cardia;
- rareori se găsește pe peretele anterior;
- se poate asocia cu ulcerul duodenal, realizând localizarea dublă, bipolară a ulcerului.

9.1.5.1. Ulcerul micii curburii gastrice

Semne directe - *nișa în relief*

- dată de eroziunea mucoasei sau submucoasei gastrice și chiar a muscularei în care intră substanță de contrast, realizând o opacitate, care **proemină din contur**;
- ulcerățiile superficiale ale mucoasei, până la 2 mm adâncime nu sunt vizibile radiologic;

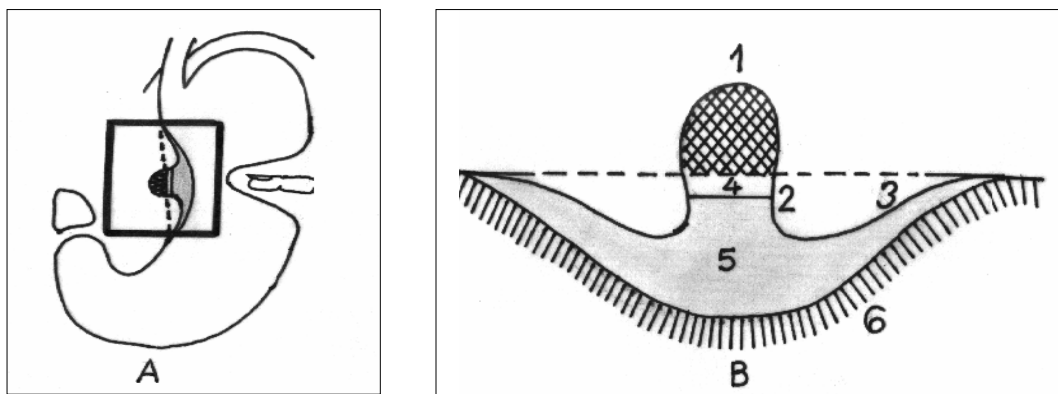


Fig. 9.5. Ulcer gastric acut : A – imagine de ansamblu, cu nișă în relief, în treimea mijlocie a micii curburii și ancoșă (semnul degetului arătător în marea curbură) ; B – nișă în relief – detalii : nișă proeminentă din conturul gastric (1) , versant abrupt la baza nișei (2), versant lin (3), bandă transparentă Hampton (4), zonă de edem semilunar (5), mucoasa gastrică (6).

- nișa văzută din față are aspect de „cocardă”, opacitate rotundă sau ovalară înconjurată de un halou transparent, cu pliurile mucoasei gastrice convergente spre nișă;
- din profil, aspectul corespunde unui plus de umplere ce iese din conturul micii curburii, de formă rotund-ovalară, semi-lunară, conică, triunghiulară, „în ghimpe”, etc.;
- dimensiunile nișei pot varia de la câțiva mm, până la câțiva cm (nișă gigantă);
- nișa poate fi sesilă sau pediculată;
- dacă pediculul este îngust poate fi întâlnit **aspectul de „nișă Haudeck”, stratificată**: la polul inferior al nișei bariu, la mijloc lichid de hipersecreție, iar deasupra aer (în total trei straturi);
- nișa poate conține mici transparente date de cheaguri de sânge sau resturi alimentare;
- când pediculul este foarte îngust, el nu reține bariu, nișa prezentând aspect „suspendat”; pediculul filiform sau “izolat” față de mica curbură (nu se vede pediculul);
- cu cât conturul nișei este mai regulat, cu atât nișa este mai recentă !

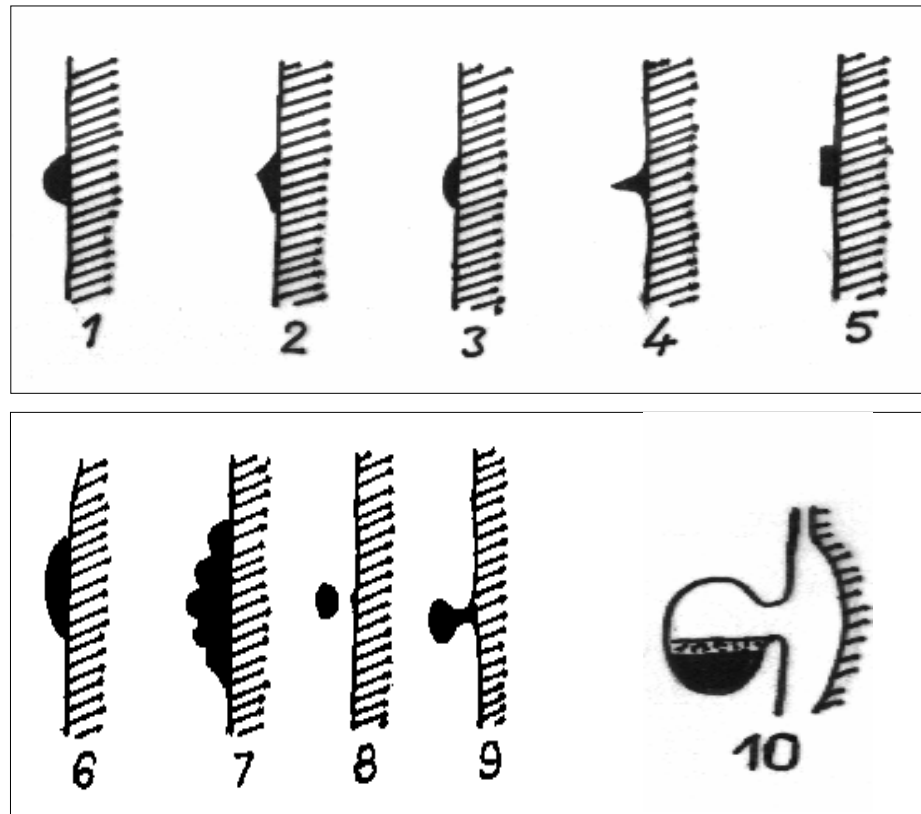


Fig. 9.6. Tipuri de nișă: 1 – semisferică ; 2 – triunghiulară ; 3 – ovalară ; 4 – în spin ; 5 – dreptunghiulară ; 6 – gigantă ; 7 – gigantă în arcuri ; 8 – suspendată ; 9 – pediculată ; 10 – nișă tip Haudeck.

- mucoasa gastrică îngroșată din jurul nișei formează un burelet sau inel periulceros cu aspect de transparentă inelară (din față) sau semilunară (din profil), numită **“dig” periulceros** (ulcus wall);
- de o parte și de alta a nișei digul periulceros se realizează un **șanț cu versante asimetrice inegale, abrupt spre nișă și lin spre lumenul gastric**;
- pliurile mucoasei gastrice (datorită reacțiilor scleroase din submucoasă) din jurul nișei iau aspect convergent spre ulceratie;
- dacă nișa este localizată pe peretele anterior sau posterior, bolnavul trebuie examinat în poziții oblice sau din profil;
- diagnosticul diferențial al nișei gastrice benigne se face cu:
 - cancerul gastric;
 - resturi de substanță de contrast reținute între pliurile mucoasei;
 - calcul renal radioopac;
 - ganglion mezenteric calcifiat;
 - diverticul al cardiei;
 - unde peristaltice lente;
 - unghiul lui Treitz suprapus pe mica curbura.

Modificări organice ale stomacului

- **Rigiditatea segmentară:**
 - în dreptul ulceratiei, pe o mică distanță (2-3 cm) apare o zonă ce nu prezintă peristaltism, unde peristaltice se opresc în dreptul acestei regiuni, trec peste ea și reapar sub ulceratie, care este mică și poate trece neobservată la un examen sumar;
 - aspect de **“scândură pe apă”**.

- **Rectitudinea și rețracția micii curburi:**
 - porțiunea orizontală a micii curburi este scurtată și rețracată și nu se destinde de către undele peristaltice;
 - împreună cu pilorul este deviată spre stânga, fiind cauzată de rețracția fibroasă din peretele stomacului;
 - marea curbura se poate alungi, cu dilatarea stomacului în regiunea prepilorică;
 - aspectul poate corespunde unui ulcer situat pe mica curbura gastrică, la nivelul unghiului sau prepiloric;
 - **stomacul poate fi deformat “în ceainic”.**

Bilocularea gastrică

- stomacul este îngustat în porțiunea mijlocie a micii curburi, cu aspect excentric luând naștere două puni gastrice;
- întâi se umple cu substanță de contrast puna superioară și apoi cea inferioară, aspect ce este caracteristic pentru **stomacul deformat în “B” majuscul**;
- aspectul este caracteristic pentru ulcerul micii curburi.

Semne radiologice indirecte

- ✓ peristaltismul accentuat;
- ✓ secreția gastrică abundentă;
- ✓ hipertonia;
- ✓ evacuarea gastrică accelerată sau diminuată;
- ✓ spasme;
- spasmul produce o ancoșă pe conturul mării curburi ⇒ **semnul “indicatorului”** sau al **degetului “arătător”**, arătând sediul nișei de pe mica curbura;
- organizarea fibroasă duce la apariția biloculării gastrice datorită incizurii;
- procesul este datorat contracturii și sclerozării musculaturii circulare a corpului gastric;
- ulcerul gastric poate fi însoțit de o gastrită hipertrofică;
- ulcerul se poate vindeca lăsând o cicatrice stelată, cu scurtarea micii curburi, cu pilor excentric și stomac bilocular;
- radiologic - nișa poate să nu se observe dacă are dimensiuni mai mici de 2 mm;
- procesele inflamatorii din jurul nișei sunt accentuate și nu permit substanței de contrast să intre în nișă;
- dacă sunt resturi alimentare, coaguli de sânge, mucus, care pot ocupa nișa, ea nu se opacefiază cu bariu.

Complicațiile ulcerului

- **perforația** (pneumoperitoneu);
- **penetrația**, în organele vecine: pancreas, ficat, splină - în acest caz nișa este de dimensiuni mai mari, fixă și situată la distanță de contur;
- **hemoragia**;
- **malignizarea**.

9.1.5.2. Ulcerul gastric cu alte localizări

Ulcerul regiunii antrale, prepiloric

- nișa are sediul pe porțiunea orizontală a micii curburi;
- se evidențiază mai ușor în poziție de decubit;
- se produce scurtarea porțiunii orizontale a micii curburi, cu rețracția acesteia, fără a se destinde de către undele peristaltice;

- mica curbura și pilorul sunt deviate spre stânga, datorită reacției fibroase din peretele gastric;
- marea curbura se alungește, iar stomacul se dilată în jos, în regiunea prepilorică, luând aspect de “ceainic”.

Ulcerul piloric propriu-zis

- aspectul de “mărgică pe ață”;
- duce frecvent la tulburări de evacuare gastrică, chiar stenoză pilorică.

Ulcerul feței posterioare a stomacului

- situat la nivelul corpului gastric;
- poate duce la bilocularea gastrică;
- examinarea “în strat subțire” și în poziții oblice, semiumplere și umplere completă evidențiază modificările.

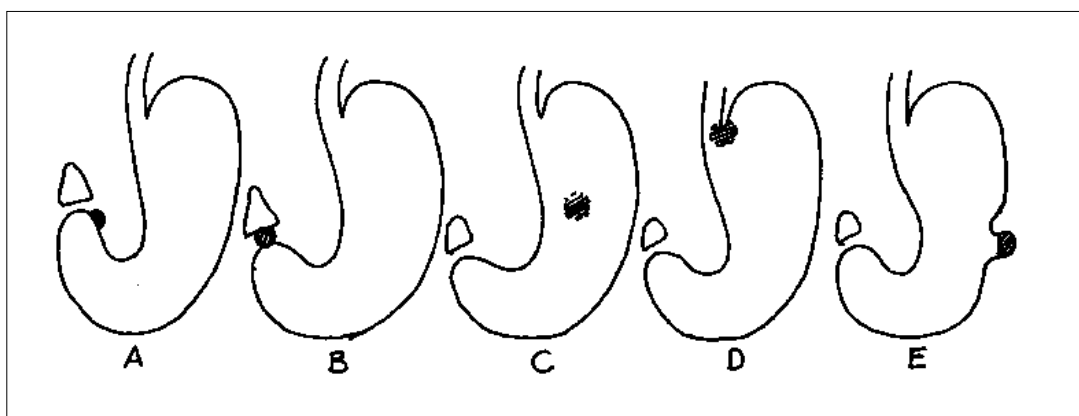


Fig. 9.7. Alte localizări ale nișei gastrice: A – prepiloric ; B – piloric ; C – fața posterioară gastrică ; D – cardia ; E – marea curbura gastrică

Ulcerul marii curburii

- aspect de nișă în lacună;
- **trebuie diferențiată corect de un cancer gastric !**

Ulcerul cardiei

- foarte rar întâlnit;
- trebuie diferențiat de resturi de bariu și de diverticulul cardiei (care își schimbă dimensiunile în funcție de gradul de umplere având pliuri de mucoasă în interior);
- în ulcer, pliurile convergente se opresc la nivelul nișei;
- pereții stomacului din vecinătatea diverticulului sunt supli;

9.1.6. Tumori benigne

- sunt rare;
- reprezentate de: polipi, mioame, lipoame, schwanoame, pancreas accesoriu.

9.1.6.1. Polipii gastrici

- tumora unică are formă de transparentă rotundă sau ovalară, net conturată, nedureroasă la palpare;
- dacă este multiplă, realizează transparente rotund-ovalare, de diferite dimensiuni, cu contur regulat;

- pereții gastrici sunt supli, peristaltica este normală, iar pliurile mucoasei sunt nemodificate;
- dacă tumora este pediculată, atunci poate fi mobilizabilă la compresia dozată, repetată sub ecran.

9.1.6.2. Linita plastică

- boală rară, considerată benignă;
- cauzată de infiltrația cu plasmocite, limfocite și fibroblaști, ce duce la îngroșarea pereților gastrici și sclerozarea lor;
- stomacul are volumul mult diminuat este un “stomac mic”, fără peristaltică, rigid, fără relief;
- se însoțește de reflux gastro-esofagian;
- pilorul este insuficient sau stenozat;
- procesul poate interesa tot stomacul sau numai regiunea antro-pilorică, ce se îngustează conic sau tubular;
- diagnosticul diferențial cu cancerul gastric infiltrant este greu de făcut; doar biopsia tranșează diagnosticul pozitiv de linită !

9.1.7. Tumori maligne

9.1.7.1. Cancerul gastric

- adenocarcinom în marea majoritate a cazurilor;
- din punct de vedere radiologic se diferențiază:
 - **cancerul gastric incipient**, cu cele trei forme antomo-patologice:
 - **infiltrant**,
 - **ulcerant**,
 - **vegetant**,
 - **cancerul gastric în perioada de stare**.

Cancerul gastric incipient

- leziunile care se produc sunt în funcție de varietatea morfopatologică:
 - **rigiditate** în cancerul infiltrant;
 - **nișă** în cancerul ulcerant;
 - **lacună** în cancerul vegetant.

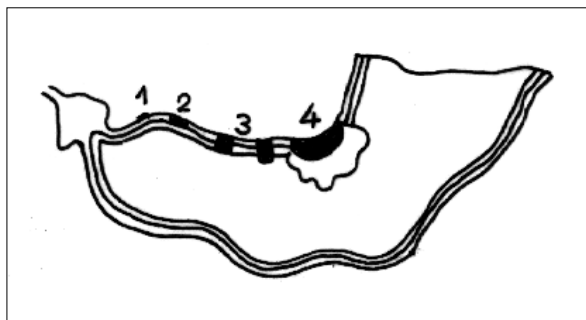


Fig. 9.8. Etapele invaziei peretelui gastric: 1 – etapa histologică sau stadiul 0 ; 2 – etapa cancerului mucoasei, stadiul 1 ; 3 – cancer gastric în etapa submucoasă ; 4 – cancerul gastric în etapa parietală.

Cancerul infiltrant

- **Cancerul infiltrant al micii curburii**
 - mica curbura ia aspect rigid pe teritoriul afectat;
 - devine imobilă și liniară;
 - nu este animată de unde peristaltice;
 - aspect de “scândură pe apă”, evidențiată pe poligrafie;
 - la compresie este rigidă, iar dacă se poate totuși deforma, ea revine la forma inițială imediat după încetarea compresiei, asemenea unei lame de oțel;
 - nu se produce scurtarea micii curburii, iar pilorul nu este deviat excentric;
 - porțiunea infiltrată tumoral prezintă spre zona sănătoasă o mică proeminență numită “**pintene**” sau “**treaptă Haudeck**”, vizibilă mai ales la extremitatea superioară a leziunii (la examinare de profil), sau poate prezenta o subdenivelare, zona rigidă fiind încastrată cu pintenii canceroși evidenți;
- **Cancerul infiltrant al unghiului micii curburii**
 - în mod normal, unghiul micii curburii este ascuțit;
 - cancerul localizat la acest nivel produce aspect liniar de unghi drept sau lărgeste unghiul micii curburii.
- **Cancerul infiltrant al regiunii prepilorice**
 - poate infiltra pereții gastrici de jur-împrejur, realizând **aspectul de îngustare conică**, „**în căpățână de zahăr**” cu rigiditatea micii și a marii curburii;
 - dacă este interesată numai mica curbura, antrul este îngustat excentric, deviat la stânga, împreună cu pilorul;
 - pilorul infiltrat este beant și permite trecerea continuă a substanței de contrast, lipsind peristaltismul;

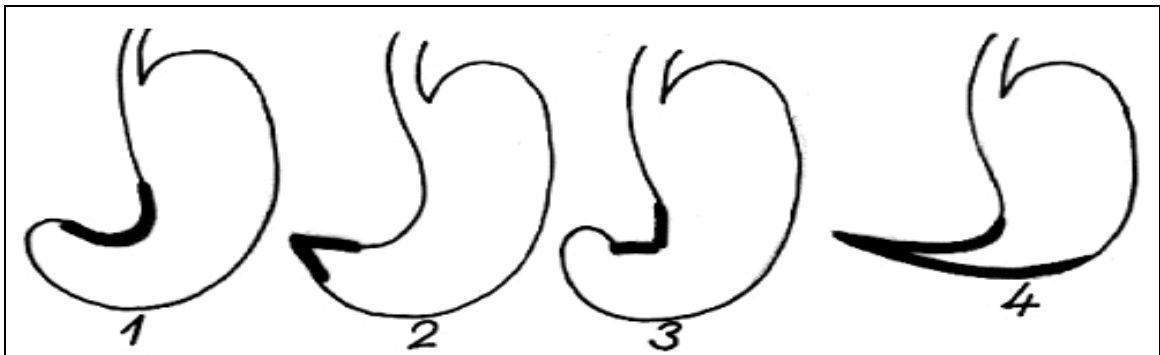


Fig. 9.9. Modalități de infiltrație canceroasă: 1 – rotunjirea unghiului micii curburii; 2 – infiltrație prepilorică; 3 – rigiditate în treaptă; 4 – infiltrație a regiunii antropilorice.

Cancerul ulcerant

- aspecte radiologice multiple, **nișa în platou**, **în menisc** sau **încastrată**, fiind leziunea de bază;
- formă rotundă sau ovalară;
- fundul cu dimensiuni de 1, 5-3 cm, cu aspect rigid și liniar, bombat sau ondulat;
- fundul nișei poate fi proiectat pe linia inferioară a micii curburii, puțin supradenivelat față de conturul micii curburii sau subdenivelat, cu aspect de **nișă “încastrată”**, “**îngropată**”;
- șanțurile periulceroase (datorită infiltrării tumorale a mucoasei) proemină în jurul nișei realizând un inel transparent și delimitând bariul din nișă de cel din restul lumenului gastric;

- șanțurile au versante egale și simetrice:

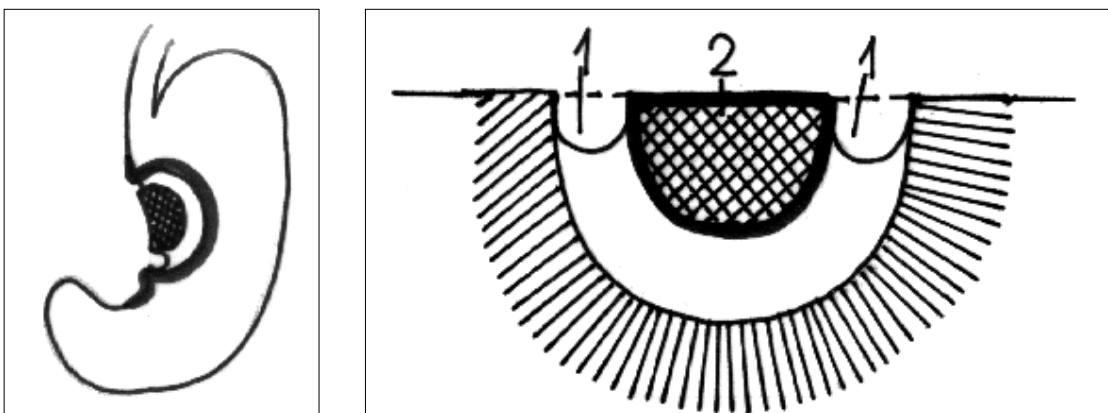


Fig. 9.10. Cancer ulcerant al micii curburii gastrice, cu nișă încastrată sau “în menisc” ; caracteristicile nișei “în menisc”: 1 – versante simetrice, 2 – nu proemină din contur

- **Nișa „în lacună”**
 - nișa superficială se opacifiază, dar mucoasa antro-pilorică infiltrată tumoral nu permite opacifierea acestei zone care rămâne rămasă cu minus de umplere sub formă de lacună.
- **Marea nișă triunghiulară prepilorică**
 - plus de umplere care proemină ușor din conturul porțiunii orizontale a micii curburii;
 - formă conică, cu bază largă de implantare;
 - persistentă în timpul examinării;
 - trebuie diferențiată de relaxarea micii curburii între două unde peristaltice.
- **Nișa cu aspect de menisc**
 - descrisă de Carman;
 - apare la examenul din profil ca o opacitate de formă semilunară;
 - pliurile mucoasei gastrice sunt convergente spre leziune, hipertrofiat monstruos în măciucă, nedeformabile la compresie (prin infiltrarea tumorală a submucoasei) și amputate (nu ajung la nișă):

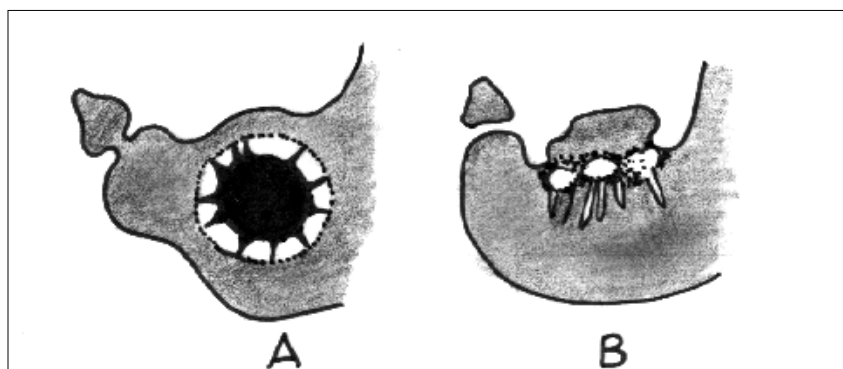


Fig 9.11. Cancer ulcerant: A – nișă pe peretele posterior cu imagine “în farfurie” în incidența de față ; B – leziunea similară pe mica curbura, văzută din profil, realizează imaginea de nișă cu rădăcini

Cancerul vegetant

- formațiune tumorală mică;
- produce **image lacunară cu contur imprecis**, neregulat, cu semiton (zonă de opacifiere palidă, dată de limitele periferice ale tumorii);
- se mai pot evidenția formațiuni vegetante, cu caracter difuz, contur imprecis și șters.

Cancerul gastric în perioada de stare

- tumora localizată pe mica curbă realizează lipsă marginală de contur, cu aspect neregulat;
- cancerul situat pe una din fețele stomacului dă aspect lacunar tradus prin transparență rotundă sau ovalară, înconjurată de bariu, cu contur crenelat și semitonuri;
- dacă tumora se dezvoltă conopidiform, se evidențiază imagini lacunare multiple, confluențe, cu contur poliociclic;
- când pereții stomacului sunt invadați de jur împrejur, se realizează stomacul bilocular cu stenoză mediogastrică;
- îngustarea gastrică este axială cu contur neregulat, iar bariul curge continuu, ca și printr-un tunel rigid;
- diagnosticul diferențial se face cu bilocularea ulcerosă (stomacul ia în ansamblu forma literei "B", cu îngustare excentrică).

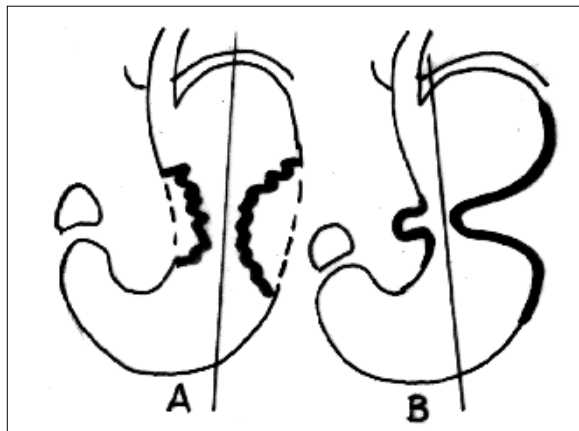


Fig. 9.12. Biloculare gastrică:

A – prin stenoză canceroasă în care ismul îngust este situat axial, conturul pereților dințat, cu trecerea continuă a contrastului prin zona rigidă îngustată; B – stenoză medio-gastrică ulcerosă în care porțiunea istmică este situată excentric, aproape paralelă cu mica curbă, stomacul fiind deformat în "B".

Cancerul ulcero-vegetant

- pe mica curbă, tumora vegetantă cu centrul ulcerat realizează o nișă mare, opacifiată inomogen (datorită mugurilor tumorali care tind să umple lacunele) cu margini neregulate;
- nișa nu iese din conturul miciei curburi având aspect încastrat;
- dacă se localizează la nivelul antrului, la examenul din profil are aspect de **nișă cu rădăcini**, iar din față aspect de **"nișă în farfurie."**

Cancerul vegetant piloric

- interesează inițial mica curbă, apoi pereții circumferențial, cu aspect **"în virolă"** sau **"cotor de măr"**, lăsând un tunel canceros rigid și neregulat prin care bariul curge continuu;
- cancerul infiltrant cuprinde treptat regiunea antro-pilorică, sinusul și corpul gastric, astfel încât apare schirul gastric - stomacul este mic (microgastric) și sus situat, îngustat în pânză, cu pereți rigizi;
- bariul curge prin pilorul infiltrat în mod continuu;
- stomacul nu prezintă unde peristaltice.

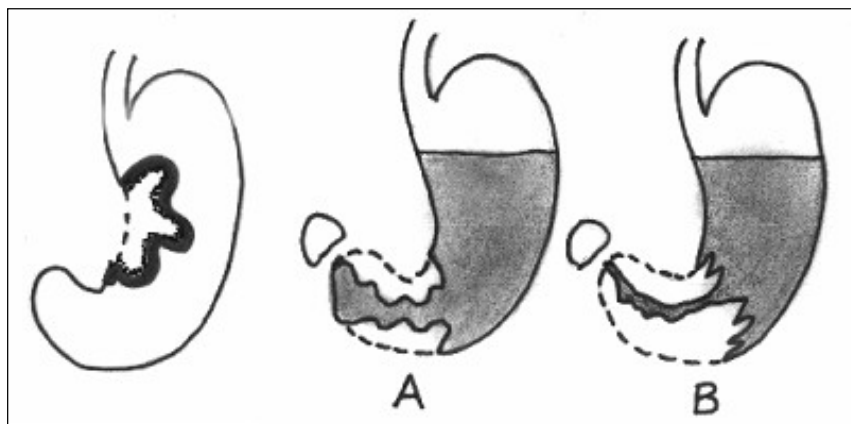


Fig. 9.13. Cancer gastric vegetant al micii curburii gastrice: imagine lacunară pe mica curbură gastrică; cancer vegetant prepiloric în virolă, cu îngustarea lumenului antral, cu contur ca de “cotor de măr” (A) ; amputarea porțiunii din stomac invadate de tumoră (B)

Cancerul eso-cardio-tuberozitar

- cele trei forme anatomopatologice: infiltrativ, vegetant și ulcerant sunt rareori întâlnite ca entități de sine stătătoare, de cele mai multe ori evidențiindu-se forma mixtă, cu leziuni combinate, predominând unul din aspecte, de obicei cel vegetant;
- formele incipiente pot interesa esofagul abdominal, cardia sau regiunea juxtacardială separat;
- în cele extinse este cuprins esofagul terminal, cardia și polul superior gastric (fornixul);
- bolnavii se prezintă în general tardiv, radiologic evidențiindu-se un cancer avansat, de formă mixtă;
- simptomatologie:
 - disfagie,
 - eructații, uneori dureroase (de tip pseudoanginos),
 - sialoree;
- aspectele radiologice:
 - o tumoră vegetantă care poate fi evidențiată la examenul în poziție ortostatică;
 - formațiune opacă de părți moi, care transpare prin camera cu aer a stomacului;
 - în poziție de decubit sau Trendelenburg se poate evidenția o lacună (transparență) în masa de bariu;
 - dacă tumora are dimensiuni mici, este posibil să nu se observe la examinarea în această poziție, fiind acoperită de substanța de contrast;
 - tumora situată imediat sub cardie deviază coloana de bariu, ridicând-o;
 - când se dezvoltă în partea superioară a cardiei tranzitul baritat este deviat brusc în jos;
 - substanța de contrast ajunsă în dreptul tumorii se desparte în două benzi opace ce ocolesc formațiunea, dând **aspect în “deltă de fluviu”**, contrastul insinuându-se printre mugurii tumorali;
 - esofagul terminal are lumenul îngustat, stenoizat, neregulat, crenelat, cu lacune și ulcerații, în ansamblu fiind rigid;
 - segmentul supraiacent zonei interesate tumoral este moderat dilatat;
 - cardia infiltrată este rigidă și beantă, și permite tranzitul baritat continuu, sau în jet;
 - unghiul Hiss este deschis, mica curbură rigidă;
 - fornixul gastric poate prezenta un contur neregulat, cu imagini lacunare (mai evidente la examinarea în poziția Trendelenburg), evidențiind extinderea procesului neoplazic;

- mica curbura poate fi deplasată, chiar cu realizarea unei cascade gastrice datorită metastazelor hepatice sau maselor ganglionare retrogastrice;
- la examenul în decubit sau Trendelenburg apare refluxul gastro-esofagian, cauzat de cardia beantă:

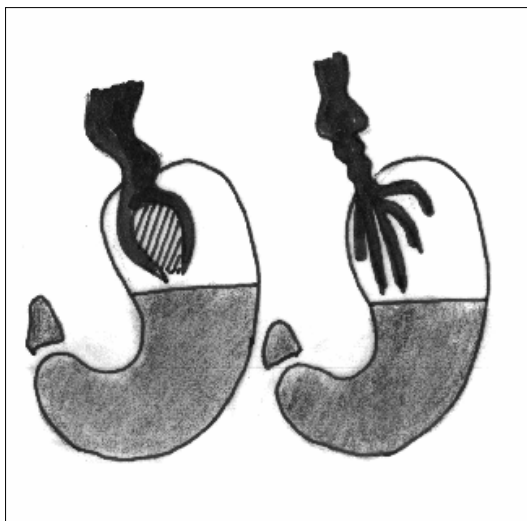


Fig. 9.14. Cancer eso-cardio-tuberozitar: contrastul ocolește tumora care transpare prin camera cu aer a stomacului realizând imaginea în “deltă de fluviu”.

Sarcomul gastric

- tumoră rară (limfosarcom sau reticulosarcom);
- poate apare la vârstele tinere mai ales;
- forme:
 - localizată,
 - vegetantă,
 - aspect difuz – infiltrativ,
 - uneori prezintă ulceratii;
- radiologic:
 - în faza de stare - imagini multiple polipoide sau pliuri ale mucoasei gastrice monstruos hipertrofiat și neregulate, cu aspect pseudolacunar.

9.1.8. Stomacul operat

Important de reținut:

- examenul radiologic se efectuează numai în mod excepțional în primele zile de la intervenția chirurgicală, când este justificat de apariția unui accident neprevăzut !
- examenul este concludent la 3-8 săptămâni, când au dispărut fenomenele inflamatorii;
- se studiază:
 - joncțiunea eso-gastrică,
 - bontul gastric,
 - gura de anastomoză,
 - ansele intestinale,
 - aspectul pliurilor de mucoasă,
 - aspectul gurii de anastomoză (mărime, poziție, funcționare),
 - suplețea bontului,
 - aspectul pliurilor anelor anastomotice;
- examen în strat subțire, în semireplețiune, examen în replețiune completă și examen privind evacuarea.

9.1.8.1. Intervenții operatorii fără rezecție gastrică

- vagotomia,
- piloroplastia,
- gastrorafia – duodenorafia,
- gastrostomia-gastroduodenostomia,
- gastropexia,
- gastro-entero-anstomoza antecolică anterioară cu fistulă Braun, retrocolică posterioară și excizia ulcerului, urmată de sutură.

9.1.8.2. Intervenții operatorii cu rezecție gastrică

Gastrectomiile :

- **subtotale:**
 - gastroduodenostomia termino-terminală;
 - gastrojejunostomia termino-laterală;
 - gastrectomia polară superioară;
- **totale:**
 - gastrectomia totală cu eso-jejunostomie termino-terminală.
- pasajul baritat pune în evidență evacuarea gastrică prin gura de anastomoză (mai ușor decât prin pilor);

Rezecția gastrică

- **tip Pean-Bilroth I** - rezecție gastrică subtotală cu anastomoză gastro-duodenală terminoterminală;
- **tip Bilroth II** - rezecție gastrică cu anastomoză termino-laterală Reichel-Polya sau Hoffmeister-Finsterer;
- **rezecție gastrică polară superioară** cu anastomoză eso-gastrică în cazul ulcerului gastric sus situat;
- **gastrectomie totală** (în cazul cancerului gastric înalt și eso-gastric), urmată de anastomoză eso-jejunală cu ansă în omega sau în “Y” (Roux);
- **gastrectomia subtotală** cu anastomoză gastro-duodenală Pean-Bilroth I;
- **Examenul radiologic baritat al stomacului operat**
 - se poate face după 3-4 săptămâni postoperator;
 - dacă se examinează în primele 10-15 zile după operație se poate constata:
 - penumoperitoneu;
 - dilatarea bontului gastric;
 - stază și evacuare gastrică întârziată datorită edemului gurii de anastomoză și protruziei bontului cu pliurile îngroșate în vecinătatea gurii de anastomoză.

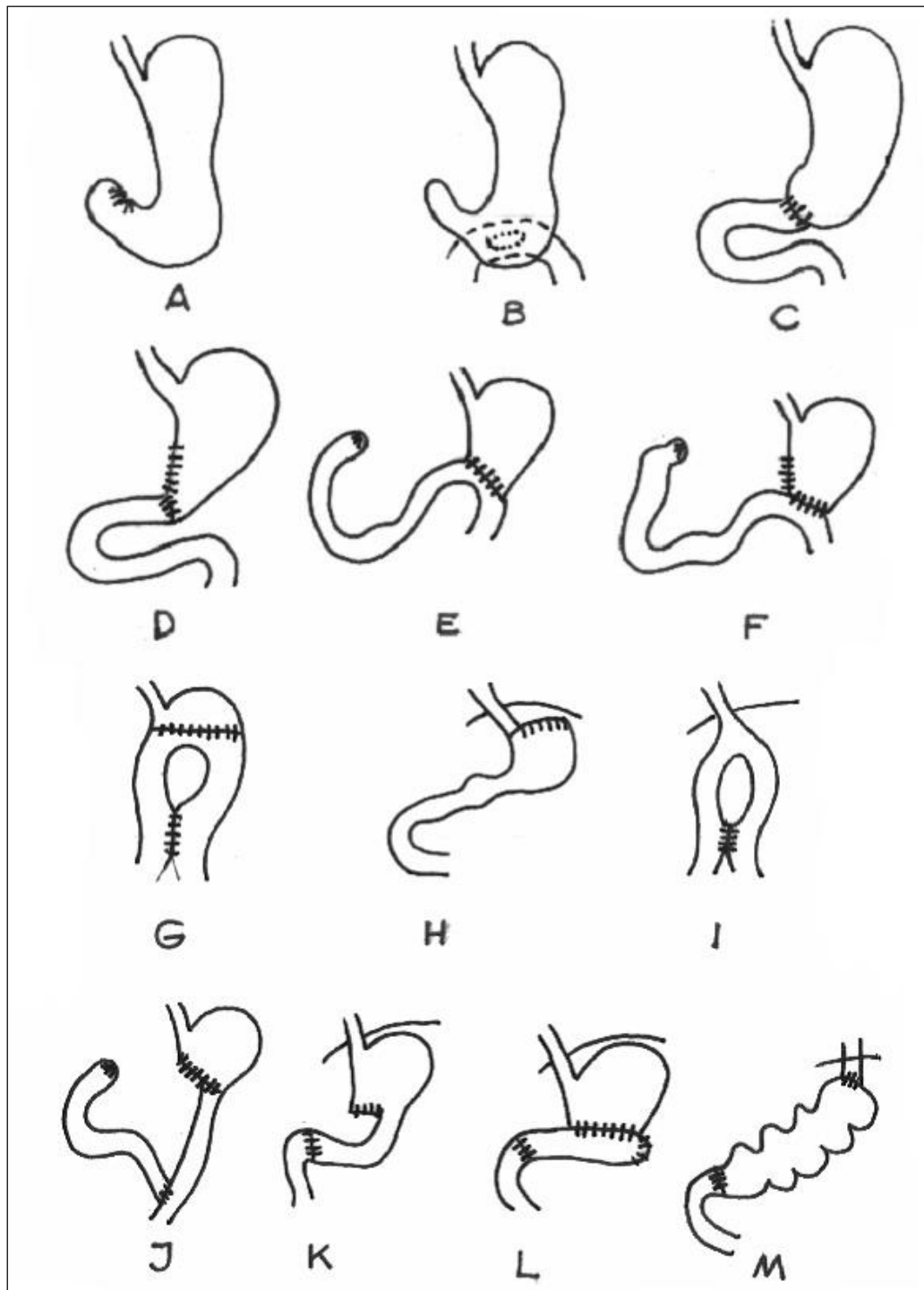


Fig. 9.15. Principalele tipuri de intervenții chirurgicale pe stomac:
 A – sutura și înfundarea perforației; B – gastro-entero-anastomoză transmezocolică posterioară; C – rezecție gastrică, procedeu Haberer; D – rezecție gastrică, procedeu Pean-Billroth I; E – rezecție gastrică tip Billroth II, procedeu Reichel-Polya; F – rezecție gastrică Billroth II, procedeu Hoffmeister-Finsterer; G – rezecție subtotală, cu anastomoză tip Braun; H – rezecție fundică; I – gastrectomie totală; J – anastomoză după Roux; K, L – rezecție cu interpoziție de intestin subțire sau colon; M – gastrectomie totală, cu interpoziție de colon sau intestin subțire.

9.1.8.3. Complicații postoperatorii ale stomacului operat

Stenoza gurii de anastomoză

- stagnarea substanței baritate;
- distensie gastrică;
- reflux în ansa aferentă (care se dilată);
- contracții puternice (ineficiente);
- trebuie deosebite dilatațiile organice de cele de natură funcțională.

Tulburări postprandiale precoce (Dumping-sindrom)

- evacuarea precipitată a bontului;
- pasaj accelerat în intestin;
- reflux în ansa aferentă;
- ansa eferentă destinsă, animată de mișcări antiperistaltice care determină refluxul.

Tulburări postprandiale tardive

- la 2-4 ore postprandial;
- diskinezie a intestinului subțire;
- antiperistaltism jejunal;
- fără reflux în ansa aferentă.

Sindromul de ansă aferentă

- refluxul de bariu în ansa aferentă;
- distensiune și stază secundare refluxului;
- relief al ansei îngroșat, sinuos, animat de mișcări peristaltice și antiperistaltice foarte puternice;

Microgastria

- datorată bontului gastric restant care este mult prea mic.



Fig. 9.16. Sindrom de ansă aferentă: stază în ansă cu distensia acesteia

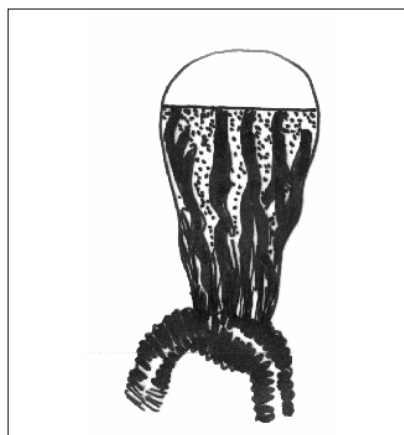


Fig. 9.17. Gastrită de bont după rezecție gastrică tip Billroth II

Gastrita bontului

- datorată bontului gastric cu relief hipertrofic, cu pliuri groase, convergențe spre gura de anastomoză;
- uneori realizează aspect pseudopolipoid.

Stomita

- cauzată de procesul inflamator localizat la nivelul gurii de anastomoză.

Jejunita

- apare datorită procesului inflamator la nivelul jejunului;
- tranzit accelerat al contrastului;
- ștergerea pliurilor mucoasei;
- îngroșarea peretelui intestinal;
- îngustarea lumenului;
- sensibilitate dureroasă la compresie dozată, repetată sub ecran, localizată în epigastru.

Jejuno-ileita

- se datorește procesului inflamator al jejunului și ileonului;
- tranzit accelerat al contrastului;
- sensibilitate dureroasă la compresie dozată, repetată sub ecran, localizată în epigastru.

Invaginarea anselor jejunale în stomac

- complicație rară;
- imagine lacunară situată pe gura de anastomoză sau în imediata vecinătate, ovalară sau rotundă, cu contur neregulat, la nivelul căreia se desenează pliuri de mucoasă jejunală, cu dilatare a bontului gastric și a ansei aferente;
- dacă invaginarea interesează ambele anse jejunale, imaginea lacunară este dedublată.

Neoplasmul primar al bontului gastric

- apare după rezecții pentru ulcer;
- se constată sensibilitate dureroasă la compresie dozată, repetată sub ecran, localizată în epigastru, cu imagine lacunară, rigiditate, amputarea pliurilor și gură de anastomoză rigidă, îngustată.

Ulcerul peptic postoperator

- una din cele mai redutabile complicații;
- apare la 1-2 ani postoperator pe gura de anastomoză și porțiunea inițială a ansei eferente, sub forma unui plus de umplere tipic, sub formă de nișă în relief;
- convergența pliurilor spre nișă;
- semne indirecte: gastrita, stomita, jejunita;
- se poate complica cu fistulizare și constituirea de fistulă gastro-jejuno-colică.

Refluxul gastroesofagian

- apare după gastrectomia distală ;
- cauze:
 - tracțiunile operatorii din timpul suturărilor;
 - întinderea ligamentului gastro-frenic;
 - explorarea violentă a etajului supramezocolic;
 - dezinserția membranei esofago-diafragmatice ca element de fixare al cardiei;

- urmărirea bontului prin atonia produsă de vagotomie mărește tracțiunea asupra cardiei;
- gura de anastomoză prea strâmtă are același efect;
- cardia este beantă;
- unghiul His este obtuz;
- curentul baritat este continuu și nu se întrerupe la nivel de joncțiune eso-gastrică;
- calibrul esofagian este crescut:

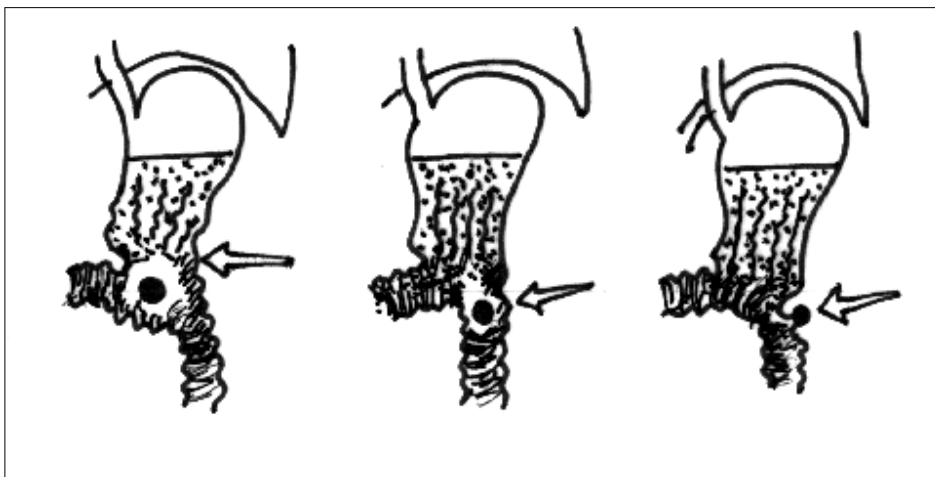


Fig. 9.18. Ulcer peptic postoperator cu localizări diferite : în fața gurii de anastomoză și pe primii 5 cm ai ansei eferente sub forma unui plus de umplere de mici dimensiuni.

9.2. Radiodiagnosticul duodenului

9.2.1.Considerații preliminare

- Duodenul a fost un organ care o lungă perioadă de timp a fost considerat ca fiind un segment al tubului digestiv interpus între pilor și valvula ileo-cecală, negându-se individualitatea.

- Printre pionierii individualizării duodenului se situează la loc de frunte **prof.dr.Iuliu Hațieganu**:

“Duodenul este ignorat, duodenului nu i se atribuie rolul pe care îl are în patologie. . . Simptomatologia suferințelor duodenului nu se cunoaște și este greșit interpretată. Poziția anatomică a duodenului - în centrul abdomenului visceral. . . și legăturile intime viscerele ne explică variabilitatea simptomatologiei și dificultățile ce le întâmpinăm în diferențierea simptomelor de vecinătate.” (I. Hațieganu - Clinică și patologie medicală)

- Mai trebuie menționat faptul că tot la acea dată, marele medic a acuzat și radiologia de lipsă de inițiativă în evidențierea rolului cadrului duodenal în patologie: ”. . . **la aceasta a contribuit și laboratorul de radiologie, care îl vede tot atât de fugitiv pe cât îi și este de obicei și tranzitul.**”

- Dar așa cum spunea regretatul profesor Bîtnzu, ”. . . această situație a fost mult ameliorată printr-o serie de lucrări valoroase ale școlii românești de gastroenterologie: Hațieganu, Lupu, Spîrchez, Bruckner, Păun, Fodor, Stoichiță, Niculescu precum și de școala românească de radiologie. . .”

9.2.2. Noțiuni de anatomie radiologică

- duodenul se distinge prin calibru și aspect particular, are conexiuni cu canalul coledoc și pancreatic, este separat de stomac prin șanțul duodeno-piloric și de ileon prin unghiul duodeno-jejunal TREITZ;
- radiologic se disting patru porțiuni: prima porțiune sau D1 - bulbul duodenal; a doua porțiune, D2 - între genunchiul inferior și bulb; a treia porțiune, D3 - corespunde genunchiului inferior; a patra porțiune, D4 - ultima porțiune între genunchiul inferior și unghiul Treitz;
- variantele anatomice - cadrul duodenal în "U", cadrul duodenal în "V" și cadrul duodenal în "O";
- raporturile anatomice cu organele de vecinătate sunt de o deosebită importanță:
 - **prima porțiune D1** - bulbul duodenal: dispus oblic în sus, înapoi și la dreapta, având raporturi strânse cu fața inferioară a ficatului și colul vezicii biliare ;
 - **a doua porțiune D2**: cu fața anterioară vine în raport cu colonul transvers, extremitatea lui dreaptă ; mezocolonul o împarte în două :
 - porțiunea supramezocolică: în raport cu colonul transvers, VCI, rinichiul drept, bazinet și ureter ;
 - porțiunea inframezocolică: în raport cu ileonul
 - **a treia porțiune D3** - raporturi importante prin fața sa anterioară cu rădăcina mezenterului și vasele mezenterice ;
 - **a patra porțiune D4** - raport prin fața sa anterioară cu stomacul, mezocolonul transvers, ansele intestinale; fața posterioară are raport cu rinichiul stâng și vasele renale.

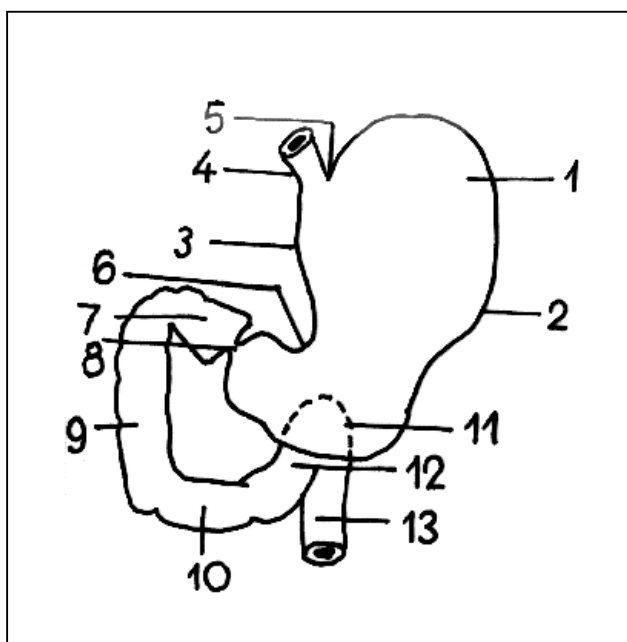


Fig 9.19. Aspect anatomo radiologic normal a esofagului și duodenului : 1 – marea tuberozitate ; 2 – curbura mare ; 3 – curbura mică ; 4 – esofagul ; 5 – unghiul His ; 6 – unghiul gastric ; 7 – bulbul duodenal sau duodenul I ; 8 – pilor ; 9 – duodenul II ; 10 – duodenul III ; 11 – unghiul duodeno-jejunal Treitz ; 12 – duodenul IV ; 13 – jejun.

9.2.3. Metodele radiologice de investigație ale duodenului

- metodele de investigație ale duodenului sunt același ca și în cazul stomacului;
- trebuie avute în vedere corelațiile anatomo-funcționale strânse care există între aceste două segmente ale tubului digestiv.
- **examenul radioscopic televizat, nativ**
 - pune în evidență corpi străini radioopaci ingerați involuntar sau voluntar (în scop de suicid).
 - pune în evidență gradul de implicare al duodenului în cazul suferințelor abdominale acute chirurgicale.
- **explorarea cu contrast** a duodenului se face prin administrarea orală a acestuia, urmată de:
 - examinarea în diferite incidențe și poziții,
 - un riguros examen în strat subțire, în semiumplere și umplere completă.
 - incidențele utilizate sunt cea de față (AP) urmată de incidențele oblice (OAD și OAS), chiar de profil dacă situația cazului în speță o cere, asociind în mod obligatoriu compresia dozată, repetată sub ecran.
- **examinarea în poziție Trendelenburg** pune în evidență cu mai multă acuitate cadrul duodenal, mai ales când acestei poziții de examinare i se asociază o serie de metode speciale de examinare (ex. duodenografia hipotonă).
- **examinarea în decubit dorsal, în decubit ventral și decubit lateral drept** se utilizează pentru a evidenția unele aspecte particulare de patologie, în special când evacuarea inițială este dificilă sau nu are loc.
- **examenul în dublu contrast** este de asemenea util pentru punerea în evidență a unor procese patologice specifice.
- examinarea endoscopică se va efectua mai ales în cazurile problematice, cu patologie intricată, când explorarea radio-logică simplă, nativă și cu contrast nu a fost suficient de concludentă.

Este important de reținut faptul că nu există un examen standard al duodenului, ci numai un examen corect și bine făcut.

- la examenul radiologic, bulbul duodenal normal are o formă aproximativ triunghiulară ; cel hipertonic este asemănător unei castane, în vreme ce bulbul duodenal hipoton are o formă care a fost comparată cu o flacără de lumânare.

9.2.3.1. Examenul radiologic simplu, nativ (fără substanță de contrast)

Constituie o primă metodă prin care se pun în evidență:

- imagini aerice și hidro-aerice ale duodenului și intestinului subțire;
- imagini de stenoze prin compresii de origine extrinsecă, periviscerită sau invadare neoplazică din afară;
- pneumoperitoneu după perforație de organ;
- calcificări ganglionare în diferitele grupe ganglionare;
- calculi radioopaci biliari/renali;
- calcificări în peretele chistelor hidatice;
- calcificări pe aria de proiecție a pancreasului;
- opacitatea hepatică mărită;

- refularea colonului datorită modificărilor de poziție prin aerocolia pronunțată.

9.2.3.2. Examenul radiologic cu substanță de contrast

- reprezintă metoda fundamentală pentru punerea în evidență a modificărilor morfo-funcționale ale cadrului duodenal;
- pentru a avea garanția unei investigații radiologice corecte este nevoie de o pregătire prealabilă a bolnavului care va trebui să fie efectuată cu atenție și seriozitate;
- bolnavului i se va indica un regim alimentar adecvat cu cel puțin 24 ore înaintea examinării; se vor evita alimentele care fermentează și care se evacuează cu dificultate, sau lasă reziduu în cantitate crescută;
- bolnavului i se va cere să facă un post alimentar premergător explorării baritate cu cel puțin 8-10 ore, iar eventualele secreții gastrice prea abundente din stenoze, din alte tulburări de evacuare gastro-intestinală (gastroduodenite, ulcer gastric, ulcer duodenal, etc.) vor fi extrase prin sondă;
- se impune evitarea fumatului și a constipației care influențează funcția duodenului;
- se va interzice în această perioadă administrarea de droguri care modifică comportamentul funcțional al tubului digestiv în general și șterge aspecte morfo-funcționale duodenale valoroase pentru diagnostic, sau provoacă false reacții duodenale;
- suspensia baritată, bine omogenizată, fără a fi prea fluidă sau cu bule de aer, se va administra în funcție de ora examinării și aspectele morfo-funcționale care se urmăresc: o secreție crescută va necesita un prânz baritat mai consistent, în vreme ce în caz de strâmțări duodenale cantitatea va fi mai mică și mai fluidă;
- radiosopia televizată după ingerarea prânzului baritat opac este utilizată ca o fază obligatorie a examinării radiologice în scopul verificării generale a tranzitului gastro-duodenal, a aprecierii tonusului și peristaltismului duodenal, a evidențierii în linii mari a modificărilor morfologice, în vederea fixării lor pe radiografii, pentru a putea stabili care vor fi pozițiile în care se vor efectua radiografiile;
- această primă fază are un caracter orientativ pentru a putea lua contact cu aspectul general morfo-funcțional al duodenului; este de asemenea momentul cel mai oportun pentru efectuarea radiografiilor în strat subțire;
- **considerăm lipsită de oportunitate o radioscopie prelungită, deoarece este inutilă ca informație definitivă și este periculoasă în privința iradierii**; la fel compresia cu intenție de malaxare a organului nu reprezintă altceva decât pierdere de timp util pentru înregistrarea aspectelor radiologice semnificative pentru radiografii.

9.2.3.3. Examenul radiografic

- este a doua fază importantă a examenului baritat, pentru că ea reprezintă baza materială esențială pentru înregistrarea dinamică a aspectelor radiologice duodenale;
- efectuând radiografii multiple (de ansamblu și seriografii) există posibilitatea evidențierii unor detalii semnificative care nu pot fi sesizate cu ochiul la radioscopie;
- examenul baritat în strat subțire pe radiografiile de ansamblu și seriografii cu compresie dozată este o altă fază deosebit de importantă și de valoroasă pentru diagnosticul diferențial dintre modificările mucoasei de origine intrinsecă sau extrinsecă, dar mai ales pentru diagnosticul de etapă în procesele extrinseci;
- compresia dozată, repetată sub ecran este menită a verifica aspectul mucoasei și modificările de contur; efectuată cu multă atenție, răbdare și blândețe, evidențiază clar amprente marginale existente, iar pe de altă parte nu creează modificări false ale conturului duodenal cu ajutorul compresorului;

- tehnica examenului în semiumplere și apoi în umplere completă, împreună cu fazele amintite mai sus se folosește în toate cazurile, deoarece ea furnizează cele mai prețioase informații asupra conturului, volumului, formei, raporturilor anatomice și funcției motorii a duodenului;
- punerea duodenului sub tensiune în urma umplerii lui cu contrast, combinată cu cele mai variate poziții și incidente ale bolnavului, creează posibilitatea descoperirii celor mai discrete amprente, refulări, compresii și tulburări mecanice de tranzit. Se pun în evidență atât modificările conturului intern cât și extern ale duodenului, în raport cu modul de acțiune al procesului expansiv, respectiv din afară sau din interiorul potcoavei duodenale.

9.2.3.4. Probele farmacodinamice

- creează condiții cât mai favorabile unei mulări perfecte a duodenului pe capul și corpul pancreatic, prin încetinirea tranzitului și relaxarea peretelui duodenal datorită substanțelor farmacodinamice;
- morfina este una dintre cele mai folosite substanțe farmacodinamice; ea produce hipertonia și hiperchinezia stomacului, cu dilatarea duodenului și stază, dar păreri sunt contradictorii, unii autori susținând că la nivelul duodenului există inițial o fază de hipertonie, urmată de hipotonie;
- dintre substanțele farmacodinamice mai puțin utilizate azi trebuie amintite insulina (10 U în cursul examinării), atropina (0,25 mg subcutanat cu acțiune asupra bulbului), papaverina, nitritul de amil, histamina, etc.;
- metoda hipotoniei duodenale, care se realizează fie prin introducerea bariului direct în duoden cu ajutorul unei sonde duodenale prin suprapresiune, fie prin introducerea contrastului în duoden cu ajutorul sondei, asociată cu ganglioplegice;
- în opinia noastră, administrarea de substanțe modificatoare de comportament, împiedică orice apreciere a tonusului și chineticii, precum și a dinamicii mucoasei duodenale;
- în fine, dar nu în cele din urmă trebuie să amintim o serie de investigații radiologice sau neradiologice mai complicate și laborioase care pot aduce elemente de diagnostic pentru evidențierea proceselor patologice de vecinătate ale cadrului duodenal.

9.2.3.5. Metodele de explorare vasculară (arterială și venoasă)

- aduc date interesante în privința diagnosticului tumorilor extrinseci duodenului și intestinului.

9.2.3.6. Explorarea izotopică a pancreasului cu metionină marcată cu seleniu-75

- este laborioasă, necesită regim special și tratament prealabil al bolnavului (scintigrafie hepatică prealabilă cu aur coloidal 198), urmată de scintigrafia pancreasului (prin ecranizarea ficatului).

9.2.3.7. Pancreatografia peroperatorie prin cateterism al canalului Wirsung

- este de mare valoare pentru diagnosticul intra-operator al afecțiunilor pancreasului.

9.2.3.8. Pancreato-colangiografia endoscopică retrogradă

- efectuată cu ajutorul fibroduodenoscopului
- este o metodă care ține de domeniul radiologiei intervenționale, fiind laborioasă și necesitând aparatură specială costisitoare, înalt specializată.

9.2.3.9. Ecografia

- este o metodă imagistică prin care pancreasul și retroperitoneul se pot examina neinvaziv, dar există o serie de dezavantaje legate de meteorismul accentuat, starea de obezitate și conținutul postprandial care împiedică buna lor vizualizare.

9.2.3.10. Tomografia computerizată

- este metoda imagistică de mare randament care în cazul proceselor patologice de vecinătate ale cadrului duodenal le pune în evidență cu acuitate.

9.2.3. Ulcerul duodenal bulbar

- boala ulceroasă constă în contradicția dintre agresiunea clorhidropeptică și rezistența scăzută a mucoasei duodenale;
- în ulcerul duodenal, agresiunea clorhidropeptică este mai pronunțată, mucoasa duodenului fiind mai puțin rezistentă (este mai subțire);
- simptomatologie clinică este foarte diversă și cuprinde foame dureroasă, durere tardivă/hipertardivă, cu periodicitate (mică sau mare), grețuri, vărsături, scădere ponderală;
- la examenul clinic se constată durere epigastrică cu iradieri din cele mai diverse.
- ulcerul duodenal poate evolua concomitent cu ulcerul gastric când vorbim de boală ulceroasă în balanță;
- ulcerul duodenal afectează vârsta tânără în general, cu o repartitie pe sexe masculin/feminin de 4: 1;
- ulcerul duodenal este localizarea cea mai frecventă a bolii ulceroase, cu o mare variabilitate de aspecte radiologice în raport cu faza de evoluție (90%);
- investigația radiologică poate fi negativă pentru ulcerul duodenal deoarece radiologul nu găsește modificări evidente ale bulbului duodenal - astfel boala există, fără a avea un corespondent radiologic evident; se descriu o serie de modificări morfofuncționale ale bulbului duodenal sub forma unor semne indirecte sau semne minore;
- examinarea radiologică în formele de debut ale ulcerului duodenal poate pune în evidență fenomene inflamatorii la nivelul bulbului reprezentate de bulbite.

Relația bulbită - ulcer duodenal constituie faze de evoluție ale aceleiași afecțiuni, având ca argumente în acest sens următoarele:

- **bulbita are o simptomatologie identică cu cea a ulcerului duodenal;**
- **bulbita reprezintă o etapă intermediară în apariția ulcerului duodenal la examenul endoscopic;**
- **bulbita urmărită radiologic evoluează spre un ulcer duodenal cu apariția nișei;**
- **bulbita necesită același trata-ment ca ulcerul duodenal în evoluție;**
- **radiologul are sarcina de a pune diagnosticul de bulbită, cu diferitele ei forme evolutive, spre a descoperi din timp elementele care o apropie de ulcerul duodenal.**

9.2.3.1. Aspectele radiologice ale bulbitei

- în **bulbita simplă** explorarea radiologică evidențiază pliuri paralele, îngroșate, curburi bulbare mai groase, evacuarea incompletă, cu faze lungi de acalmie, resturi de bariu între pliuri;
- în **bulbita edematoasă** vorbim de un stadiu mai avansat prin edem deoarece nu se recunoaște mucoasa normală, bulbul este mărit de volum, evacuarea este deficitară, din cauza unor zone de edem;
- în **tipul reticulat** există o rețea reticulată cu proeminența zonelor de edem, iar în tipul polipoid se constată multiple imagini lacunare, ovalare care dislocă bariul și acoperă pliurile realizând aspect fals polipoid - confuzia cu polipii este posibilă în multe cazuri.

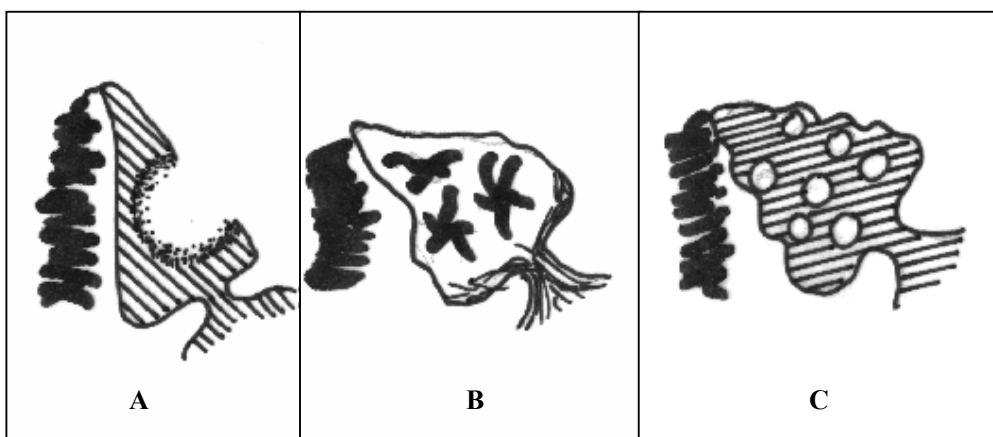


Fig 9.20. Aspectul mucoasei și conturul bulbului duodenal în bulbite : A – bulb duodenal, cu imagine scobită în semilună ; B – forma reticulată, cu mucoasă turgescentă, cu resturi de contrast între proeminențele bulbului, realizând aspect stelat sau în “fagure de miere” ; C – forma polipoidă, cu aspect de “panou găurit” datorită dislocuirii contrastului prin mameloanele mucoasei (după Chișleag, modificat).

- **tipul nouros** se caracterizează prin edem bulbar extins, conturul și pliurile bulbare șterse, de aspect „flou” cu opacifiere neomogenă, cu un bariu cenușiu – murdar, cu tendința bariului la precipitare;
- **tipul pseudoulceros** prezintă cele mai variate modificări ale conturului bulbar datorită zonelor de edem;
- **bulbita pătată** este dominată de evoluția procesului inflamator spre ulcerare cu eroziuni ale mucoasei și microulcerări;
- este de reținut că **evidențierea se poate face printr-o foarte bună tehnică a stratului subțire, cu dozare a compresiei și interpretare corectă.**

N. B. : bulbita constituie o fază premergătoare sau chiar prima fază a evoluției unui ulcer duodenal.

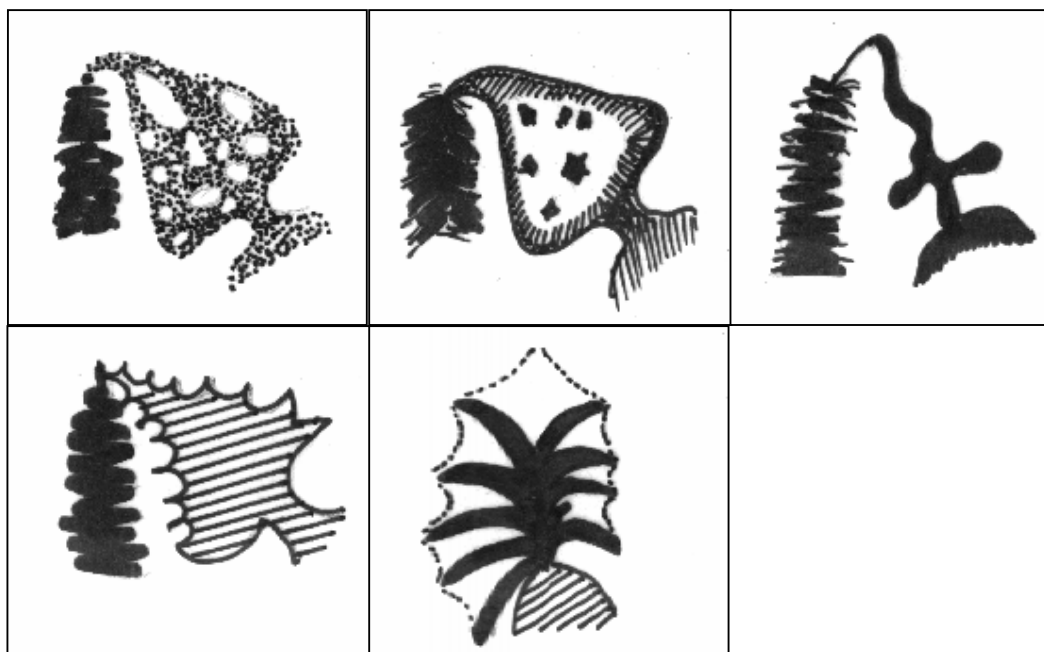


Fig 9.21. Aspectul mucoasei și conturul bulbului duodenal în bulbite : A – aspect nouros al bulbului ; B – bulbită de aspect pătat ; C – bulb fizic în cadrul bulbitei stenozante ; D – bulbită cu margini dințate și aspect în “timbru de carte poștală” ; E – aspect al bulbului în “snop de spice” (după Chișleag, modificat).

9.2.3.2. Aspecte radiologice ale ulcerului duodenal

- **nu se poate vorbi de ulcer duodenal decât în prezența nișei bulbare în relief;**
- **Nișa bulbară** este un semn major direct, de bază care se aseamănă cu nișa gastrică foarte mult, având o serie de caracteristici distincte după cum urmează:
 - în evoluția nișei bulbare predomină procesul inflamator exudativ și infiltrativ;
 - ulcerele bulbare sunt mai puțin profunde din cauza peretelui subțire al duodenului;
 - nu se poate observa gulerul nișei și implicit nișele nu sunt mari;
 - vindecarea are loc cu importante deformări ale peretelui bulbar;
 - penetrația până la seroasă provoacă periviscerită cu punct de plecare intrinsec;
 - aspectul nișei este în funcție de prezența deformației bulbului și a sediului ei (fețe sau pe curburi).
- **Nișa bulbară fără deformarea bulbului**
 - constituie expresia unui ulcer recent, care oferă posibilitatea unui tratament medicamentos și nu chirurgical.

a. Nișa în incidență de față

- are aspect în “cocardă”, “rozetă”, sub formă de pată rotundă, ovalară, persistentă, centrolulbară, cu zonă de edem periulceros, bulb mărit de volum, cu evacuare dificilă și convergență de pliuri spre nișă;

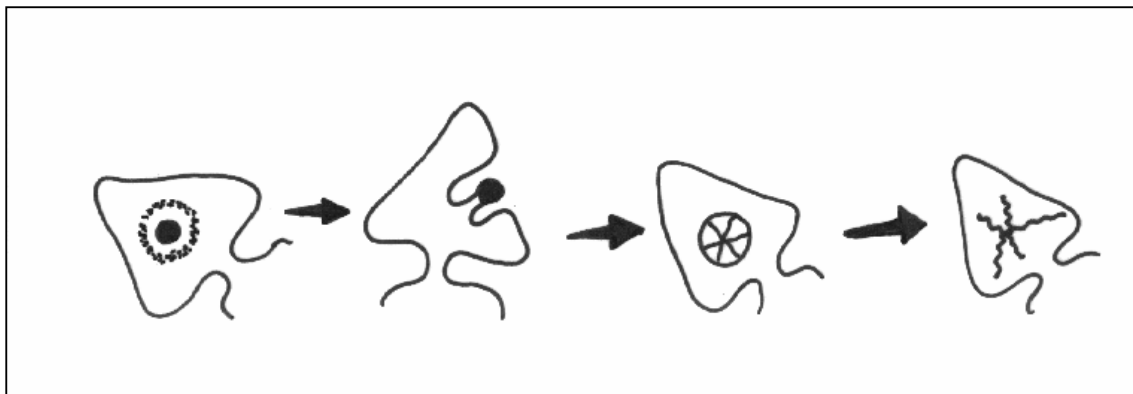


Fig 9.22. Nișă bulbară, fără deformarea bulbului, cu aspect “în cocardă” sau “rozetă”, prezentă pe mica curbura bulbară, cu convergență de pliuri spre nișă și cicatrice stelară în stadiul final.

- aspectele radiologice sunt diverse : **kissing ulcer Moynihan**, cu o nișă pe peretele anterior și o nișă pe peretele posterior, nișă izolată (din cauza edemului mare) și nișe față în față (care se aplaudă);
- diagnostic diferențial va trebui să aibă în vedere petele de bariu restante, pilorul prins ortograd la baza bulbului, (o adevărată capcană care trebuie evitată).

• Nișă bulbară cu deformarea bulbului

- nișă bulbară în incidența de față pe fond de edem (mai mult sau mai puțin extins) împiedică vizualizarea unei porțiuni din bulb din cauza acestuia;
- nișă bulbară de față prezintă variate deformări ale bulbului ;

b. Nișă curburilor și recesurilor

- este caracterizată printr-un plus de umplere ce proemină din contur, fiind greu de pus în evidență (chiar și cu endoscopul).

• Deformațiile bulbare

Constituie al doilea element definitoriu și marcă sigură a evoluției unui ulcer duodenal. Sunt descrise cele mai variate forme:

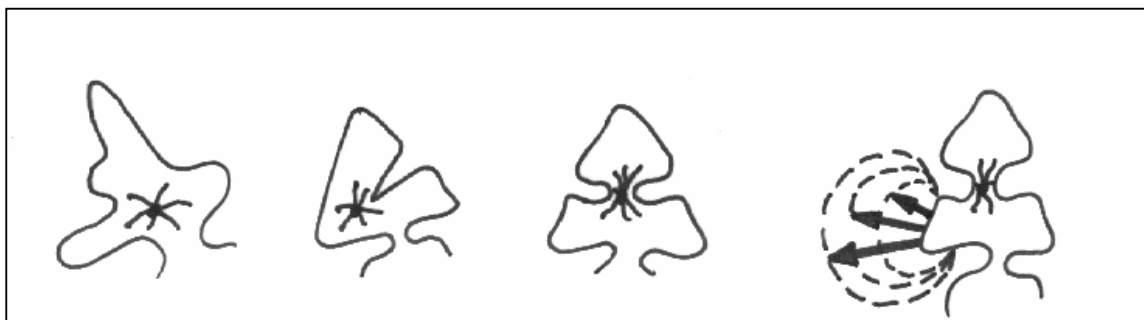


Fig 9.23. Deformații bulbare ca elemente definitorii în evoluția ulcerului duodenal ; sunt prezente ancoșe și incizuri pe curbură unilateral și bilateral, producând stenoză mediobulbară ; recesul mării curbură dilatată diverticular în etape.

Aspecte radiologice de rigiditate bulbară

- rigiditatea deformează bulbul datorită modificărilor edematoase și inflamatorii ale mucoasei și submucoasei;
- scurtarea imaginii bulbare datorită retracției realizează “aspect în pălărie mexicană”.
- Imaginile de retracție bulbară sunt:
 - **incizurile bulbare:** tracțiuni ale peretelui bulbar spre zona ulcerăției când urmărirea în evoluție poate arăta caracterul funcțional sau organic, ca expresie a unui proces cronic de scleroză, periviscerită;
 - **ancoșele bulbare:** minus de umplere rotunjit, ovalar, regulat de tracțiuni ale peretelui bulbar spre zona ulcerăției fiind expresia unui proces acut; urmărirea în evoluție demonstrează caracterul trecător, funcțional.



Fig 9.24. Ulcer duodenal bulbar cronic, cu recesul marii curburi deformat pe fondul de scleroză în evoluția ulcerului duodenal – diverticul Cole.

• Imaginile pseudodiverticulare

Prezintă expansiuni ale pereților bulbului ulceros cronic când după localizare și persistență se deosebesc:

- **diverticulul Cole** definit ca dilatare progresivă a recesului extern al bulbului duodenal, când musculatura mai slabă a recesurilor (mai ales cel extern) cedează în fața obstacolului stezonat al ulcerăției cât și din cauza procesului inflamator fragilizant;
- este important de reținut că diverticulul Cole marchează procesul de scleroză în evoluția ulcerului duodenal.



Fig 9.25. Pungă Hart pe recesul intern al micii curburi, datorită diverticulizării peretelui bulbar între două zone de scleroză ; diverticul Akerlund, ca plus de umplere sub impulsul undelor peristaltice.

- **punga Hart** constituie o diverticulizare a peretelui bulbar între două zone de scleroză; apar mai ales pe curbura mare are formă alungită, rotunjită, colțuroasă prin reținerea contrastului.
- **diverticuli Akerlund** sunt imagini pseudodiverticulare, pasagere, fugace, care apar în unele zone situate între punctele sclerozate, ca dilatații sub impulsul undelor peristaltice, în evoluție și care își pot schimba topografia.

Bilocularea bulbară

- este reprezentată de strâmtări neregulate, de diferite intensități și forme și este asociată cu tulburări de evacuare;
- **tipuri de imagini : imagini în treflă, imagini în ciocan, imagini în ceas de nisip, imagini în fluture imagini în formă de viespe, etc.**

Modificările funcționale și morfo-funcționale

- asociate ulcerului duodenal sunt reprezentate în primul rând de bulbul duodenal intolerant, cu evacuare bulbară accelerată, care relevă acuitatea procesului inflamator;
- vizibilitatea prelungită a bulbului cauzată de hipotonia și dilatarea bulbului, (reprezintă reversul bulbului nouros intolerant);
- modificările morfo-funcționale ale cadrului duodenal în ansamblu se datoresc confluenței bilio-pancreatico-duodenale și care conduc la duodenita generalizată

Modificările morfo-funcționale ale pilorului

- se datoresc lărgirii pilorului când nișa este în apropierea lui;
- urmată de excentrizarea pilorului prin procese cicatriceale, când evacuarea nu mai are loc prin pilorul central.

Forme clinico-radiologice de ulcer duodenal

Elemente radiologice ale bulbului ulceros cronic după Gutmann:

- obligativitatea nișei bulbare;
- noțiunea de edem bulbar;
- elementul funcțional cu defor-mări spastice: ancoșe, incizuri, diverticuli;
- îmbinarea elementului scleros definitiv cu noțiunea de edem conduce la clasificarea ulcerelor duodenale bulbare în forma următoare :

1. Forma edematoasă: cazurile acute, la primele crize cu :

- nișă în relief;
- zonă de edem;
- vizibilitatea prelungită a bulbului sau bulbul cu imagine durabilă Groedel;
- dilatație inflamatorie atonă tranzitorie Gutmann.

2. Forma edemato-scleroasă:

- nișă;
- zonă de edem cu scleroza submucoasei (care dă aspect striat cu imagine în ocardă, rozetă);
- cicatrice stelară (care reprezintă eticheta bolii ulcerose);

- modificarea curburilor prin incizuri.

3. Forma sclero-edematoasă

- caracterizată prin pusee ulceroase repetate, care duc la scleroză submucoasă și musculoasă;
- retractare;
- modificare care se finalizează prin deformarea bulbului.

4. Ulcerul calos

- sau cronic înglobează nișa cicatricială și deformări mari de contur ale bulbului.

5. Ulcerul duodenal cu periduodenita

- are loc atingerea stratului seros cu periviscerită și accentuarea deformărilor.

Ulcerul post-bulbar

- este dispus post-bulbar și pe porțiunea supravateriană a lui D2 având elemente constitutive nișa în relief, îngustarea duodenului pe porțiunea interesată;
- prezența sa aduce în discuție posibilitatea unui ulcer Zollinger-Ellison (care nu se vindecă cu tratament obișnuit).

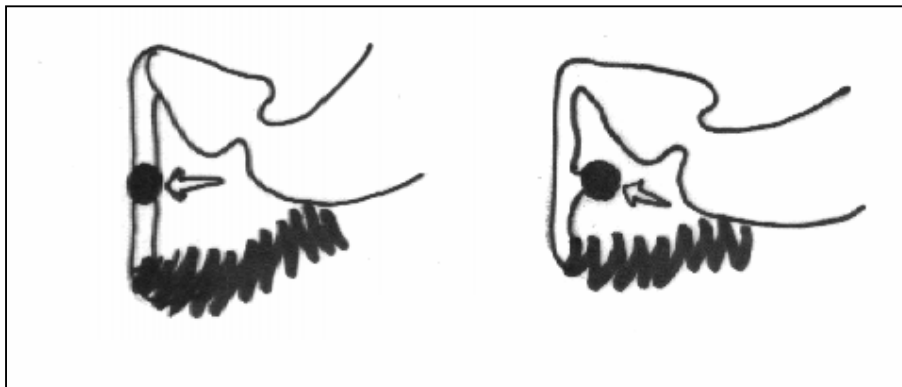


Fig 9.26. Ulcer duodenal post-bulbar, cu porțiunea II-a duodenului mult îngustată, prin fenomene inflamatorii supra-adăugate.

9.2.3.3. Diagnosticul diferențial radiologic

Ulcerul duodenal bulbar se va diferenția de:

- **diverticolul duodenal**
- **resturile de contrast opac în bulb (sulfat de bariu, medicamente radioopace)**
- **corpi străini radioopaci**
- **pilor prins ortograd**
- **calculi radioopaci biliari**
- **calculi radioopaci renali;**

9.2.3.4. Complicațiile ulcerului duodenal bulbar

Sunt date de **hemoragia, perforația, stenoza pilorică, fistulele bilio-digestive, periviscerita** cu constituirea de **sindrom aderențial**.

Stenoza pilorică

- în producerea stenozei pilorice există cauze organice produse de ulcerul duodenal cronic, ulcerul piloric, mai rar ulcerul micii curburii gastrice din regiunea antro-pilorică, cancerul gastric, precum și cauze de natură spastică datorită unui ulcer din vecinătate, a unei colecistite sau apendicite;
- suspensia baritată este evacuată în mod normal în $2\frac{1}{2}$ -3 ore; în caz de stenoză pilorică, bariul este reținut peste 4-6-8 ore de la administrare;
- examenul radiologic se efectuează după aspirație sau spălătură gastrică, îndepărtând lichidul alimentar de stază și resturile alimentare;
- în cazul stenozei pilorice de cauză spastică, pilorul permite la început tranzitul unei cantități reduse de suspensie baritată, urmat apoi de instalarea spasmului și îngustarea tubulară a regiunii;
- deși zona antro-pilorică este animată de un peristaltism accentuat nu se produce evacuarea gastrică, decât când cedează spasmul;
- stenoza pilorică organică inițial este spastică, apoi se instalează scleroza ce determină procese retractile.

Stadiul inițial

- face ca stenoza pilorică să se caracterizeze prin peristaltism accentuat (chiar disecant), sindrom altern descris de Barret - episoade de peristaltism viu alternând cu perioade de acalmie (lipsite de peristaltism) ;
- se observă “aripioarele” descrise de Schlesinger pe ambele curburii în regiunea antropilorică; care apar cu intermitență și sunt datorate ineficienței perioadei hiperkinetice;
- evacuarea gastrică se produce în intervalele de liniște, lipsite de peristaltism, în rest pilorul este spastic;
- dacă se instalează progresiv fenomenele organice stenozante, apare în plus dilatarea stomacului, la început la nivel antral cu devierea pilorului spre dreapta, stomacul luând aspect de “galoș”; mai târziu antrul se destinde în jos.

Perioada de stare

- se evidențiază staza gastrică cu lichid alimentar de stază abundent și substanța de contrast dispersată sub formă de flocoane mari, ce cad ca și fulgii de zăpadă și se sedimentează în partea declivă a stomacului dilatat, ptozat;
- pot fi prezente perioade de hiperkinezie gastrică cu unde disecante alternând cu perioade lungi de atonie;
- canalul piloric se evidențiază cu dificultate (eventual în poziția de decubit lateral sau ventral), fiind alungit și îngustat;
- aspectul persistă și la testul cu morfină, explicând natura organică a stenozei. Stomacul se evacuează după 8-10 ore, chiar 24 ore, uneori deloc;
- stenoza pilorică decompensată corespunde insuficienței musculaturii gastrice, cu aspect de “chiuvetă”, aton, mult dilatat și cu cantitate crescută de lichid de stază; stomacul ptozat coboară sub linia creștelor iliace, uneori până în micul bazin;

- după 24 ore de la ingestia substanței de contrast poate rămâne în stomac 1/2 sau 1/3 din cantitatea inițială;
- examenul radiologic trebuie să stabilească natura stenozei și gradul ei.

Diagnosticul diferențial se face cu:

Stenoza canceroasă

- dilatația gastrică nu este atât de pronunțată, ca în cea ulceroasă, cancerul infiltrând pereții stomacului, iar spasmul piloric nu este așa de accentuat;
- antrul are pereții rigizi și nu supli și destinși accentuat ca în ulcer;
- tunelul canceros permite trecerea bariului în mod continuu și filiform, în schimb spasmul din ulcer nu permite evacuarea stomacului.

Ptoza gastrică cu atonie

- stomacul alungit are polul inferior dilatat situat la stânga coloanei vertebrale nu la dreapta ca în stenozele pilorice;
- la examenul în decubit lateral drept sau ventral pilorul permite evacuarea gastrică normală;
- stenoza pilorică de natură inflamatorie însoțește gastrita hipertrofică sau atrofică cu localizare antrală;

De reținut:

- **diagnosticul pozitiv radiologic al ulcerului duodenal se pune pe baza unui examen complex baritat în strat subțire, semiumplere, umplere completă, asociat cu compresie dozată sub ecran;**
- **semiologia radiologică se compune din semne directe: nișă în relief cu zonă de edem și semne indirecte: hipertonie, hipersecreție, hiperchinezie, rectitudine, rigiditate, retracție (3H+3R);**
- **este important de reținut că bulbita reprezintă o verigă de bază în lanțul evolutiv al ulcerului duodenal;**
- **totodată asocierea examenului radiologic cu cel endoscopic(în cazuri neconcludente sau în caz de dubiu!) conduce la beneficii reciproce, fapt pentru care urmărirea în evoluție se impune cu necesitate.**

BIBLIOGRAFIE SELECTIVA

1. **Aledescu C.** –“Neurodiagnostic”, Editura Junimea, Iasi, 1982;
2. **Varcan Fl., Popescu P., Voicu Tr.** –“Diagnosticul radiologic in patologia orangelor toracale”, Editura Medicala, Bucuresti, 1980;
3. **Barcan Fl.** –“Diagnosticul diferential radiologic in patologia organelor toracale”, Editura Medicala, Bucuresti 1981;
4. **Birzu I.** “Radiologie medicala”, Editura Didactica si Pedagogica, Bucuresti, 1996;
5. **Buruian M.** –“Radiologia Stomatologica”, Editura Didactica si Pedagogica, Bucuresti, 1996;
6. **Buruian M.** – “Radiologie- Manual practic”, Editura Imprimeria de Vest R.A., Pradean, 1998;
7. **Chapman St., Nakielny R.**- “Aids to Radiological Differential Diagnosis W.B”. Saunders Company Ltd. ,1992
8. **Chisleag Gh.**- “Radiologie Medicala”,Editura Litera, Bucuresi, 1986;
9. **Grancea V.** –“Bazele Radiologiei si Imagisticii Medicale”, Editura Medicala, Analtea, Bucuresti, 1996;
10. **Lunderquist A.,Pettersson H.** –“Gastrointestinal and Urogenital Radiology”, Butler & Tanner Ltd, London, 1991;
11. **Nubert Gh., bignion H.**, -“Radiodiagnosticul rihichiului si ureterelor”, Editura Facla, Timisoara, 1983;
12. **Ordeanu A.** –“Tratat de radiologia Tubului Digestiv”, Editura Dacia, Cluj Napoca, 1985;
13. **Pana I., Vladarescu M.** – “Radiologie - aparatul respirator”, Editura Dacia, Cluj Napoca, 1983;
14. **Radulescu D.** –“Radiologie Medicala ” Atelierul de multiplicare IMF Cluj-Napoca,1983
15. **Schmitzer Gh.**, -“Radiologie Medicala”, Editura Didactica si Pedagogica, Bucuresti, 1967;
16. **Sfrangeu S.,Elezterescu R., Covalcic M., Vaida M.** –“Bazele imagisticii medicale”, Editura Polsib Sibiu, 1995.
17. **Grainger G., Allison D.** –“Diagnostic Radiology”, Ed. Harcourt Publishers Ltd. Vol I,II, III 2001;
18. **Sutton D. et all.** A Textbook of Radiology and Imaging. Elsevier Sciences, 2003;
19. **Dahnert W.**, - “Radiology Review Manual”, 4 th ed; 1998;
20. **Resnik D., Kransdorf M. J.**, - “Bone and Joint Imaging” ,3rd edition, Elvevier Inc, 2005;